

KARADENİZ TEKNİK ÜNİVERSİTESİ \* FEN BİLİMLERİ ENSTİTÜSÜ

JEOLOJİ MÜHENDİSLİĞİ ANABİLİM DALI  
JEOLOJİ MÜHENDİSLİĞİ PROGRAMI

ÇAYELİ-PAZAR (RİZE) ARASI ANA YOL ŞEVLERİNİN  
MÜHENDİSLİK JEOLOJİSİ AÇISINDAN İNCELENMESİ

9821

YÜKSEK LİSANS TEZİ

Jeo.Müh.Ali İSKENDEROGLU

MAYIS-1990  
TRABZON

# KARADENİZ TEKNİK ÜNİVERSİTESİ \* FEN BİLİMLERİ FAKÜLTESİ

JEOLOJİ MÜHENDİSLİĞİ ANABİLİM DALI  
JEOLOJİ MÜHENDİSLİĞİ PROGRAMI

ÇAYELİ-PAZAR (RİZE) ARASI ANA YOL ŞEVLERİNİN  
MÜHENDİSLİK JEOLOJİSİ AÇISINDAN İNCELENMESİ

Jeo.Müh.Ali İSKENDEROĞLU

Karadeniz Teknik Üniversitesi Fen Bilimleri Enstitüsünce  
"Jeoloji Yüksek Mühendisi"  
Ünvanının Verilmesi İçin Kabul Edilen Tezdir

T. C.  
Yükseköğretim Kurulu  
Dokümantasyon Merkezi

Tezin Enstitüye Verildiği Tarih : 01.06.1990  
Tezin Sözlü Savunma Tarihi : 13.07.1990

Tez Danışmanı : Prof.Dr.Fikret TARHAN  
Jüri Üyesi : Prof.Dr.Remzi DİLEK  
Jüri Üyesi : Yrd.Doç.Dr.Fikri BULUT

Enstitü Müdürü : Doç.Dr.Temel SAVAŞCAN

Mayıs 1990  
TRABZON

## ÖNSÖZ

Bu çalışmada, Çayeli-Pazar (Rize) arasında yaklaşık 36 km<sup>2</sup>.lik bir sahanın 1/25000 ölçekli Jeoloji haritası yapılmıştır. Kaya ve zeminlerin mühendislik jeolojisi özelikleri gerek arazide, gerekse kaya ve zemin mekanigi laboratuvarlarında bulunmuş, ana yol güzergahındaki kaya ve zemin şeuilderden beş tanesinin duraylılık (stabilite) analizleri yapılarak güvenlik katsayıları hesaplanmıştır. Tehlikeli bulunanlar için alınabilecek önlemler üzerinde de durulmuştur. Bütün bu çalışmaları; arazi, laboratuvar ve büro çalışmaları olmak üzere üç aşamada gerçekleştirılmıştır.

Bu çalışmalar sırasında her türlü yardım ve önerilerini esirgemeyen danışman hocam Sayın Prof.Dr.Fikret TARHAN'a, Prof.Dr.Remzi DILEK'e ve Yrd.Doç.Dr.Fikri BULUT'a, ince kesitlerin incelenmesinde yardımları gördüğüm Prof.Dr.Mustafa ASLANER'e, Jeo.Yük.Müh.Arif SAGLAM'a (MTA), Jeo.Yük.Müh.Osman TÜRK'e (MTA), harita ve kesitlerin boyamalarına yardımcı olan Jeo.Müh.Zeki KÖSE'ye, laboratuvar çalışmalarında yardımını esirgemeyen Jeo.Müh.Ali SEMERCİ'ye, teknisyen Yakup YAVUZ'a, Kemal BAYRAM'a, arazi çalışmalarında şantiyele rinde kaldığım İnş.Yük.Müh.Atakan AKSOY'a teşekkür ederim.

Ayrıca çalışmaları yürütürken idari konularda yardımını gördüğüm MTA Genel Müdür Yardımcısı Sayın Temel Yılmaz NEBOĞLU'na da teşekkür ederim.

## İÇİNDEKİLER

BZET .....	VII
SUMMARY .....	IX
BÖLÜM 1. GİRİŞ .....	1
BÖLÜM 2. COGRAFI DURUM ve MORFOLOJİ .....	2
2.1. Giriş .....	2
2.2. Çalışma Sahasının Konumu .....	2
2.3. Ulaşım ve Yerleşim .....	2
2.4. Morfoloji .....	3
2.5. İklim ve Bitki Örtüsü .....	4
2.6. Akarsular .....	6
BÖLÜM 3. GENEL JEOLOJİ .....	7
3.1. Giriş .....	7
3.2. Önceki Çalışmalar .....	7
3.3. Stratigrafi ve Petrografi .....	9
3.3.1. Melyat Formasyonu ( $T_m$ ) .....	11
3.3.2. Pazar Formasyonu ( $T_p$ ) .....	17
3.3.3. Hamidiye Formasyonu ( $T_{kh}$ ) .....	20
3.3.4. Deniz Taraçaları .....	22
3.3.4.1. Taraça-1 ( $T_1$ ) .....	22
3.3.4.2. Taraça-2 ( $T_2$ ) .....	23
3.3.5. Alüvyonlar ( $Q_{ml}$ ) .....	24
3.4. Yapısal Jeoloji .....	24
3.4.1. Tabakalar .....	25
3.4.2. Çatlaklar .....	25
3.4.3. Faylar .....	33

BÖLÜM 4. ÇAYELİ-PAZAR (RİZE) ARASI ANA YOL SEVLERİNİN MÜHENDİSLİK ÖZELLİKLERİ.....	34
4.1. Giriş .....	34
4.2. Jeoloji .....	34
4.3. Mühendislik Özellikler .....	34
4.3.1. Yapısal Özellikler .....	34
4.3.1.1. Tabaka Kalınlığı .....	35
4.3.1.2. Çatlaklar .....	35
4.3.1.2.1. Çatlak Ara Uzaklığı .....	36
4.3.1.2.2. Çatlakların Açıklık, Dolgu ve Türleri.	37
4.3.1.2.3. Çatlak Yüzü Pürüzlülükleri ve Dalgalan-	
maları .....	37
4.3.1.2.4. Kaya Kalitesi Özelliği (RQD) .....	39
4.3.2. Fiziksel ve Mekanik Özellikler .....	40
4.3.2.1. Kayac Örneklerinin Hazırlanması .....	40
4.3.2.2. Kayaçların Fiziksel Özellikleri .....	43
4.3.2.3. Kayaçların Mekanik Özellikleri .....	45
4.3.2.3.1. Tek Eksenli Basınç Direnci .....	45
4.3.2.3.2. İndirekt Çekme Direnci .....	48
4.3.2.3.3. Üç Eksenli Basınç Direnci .....	50
4.3.2.4. Zemin Örneklerinin Hazırlanması .....	51
4.3.2.5. Zeminlerin Fiziksel Özellikleri .....	53
4.3.2.6. Zeminlerin Mekanik Özellikleri .....	56
4.3.3. Zeminlerki Kil Minerallerinin Tayini .....	62
* 4.3.4. Ayırışma .....	65
 BÖLÜM 5. ÇAYELİ-PAZAR (RİZE) ARASI ANA YOL SEVLERİNDEKİ KİTLE HAREKETLERİNİN İNCELENMESİ .....	67
5.1. Giriş .....	67
5.2. İncelenen Sevlerde Krokilerinin Çıkarılması.	67
5.3. İncelenen Sevler ve Hareketin Türleri .....	70
5.4. İncelenen Sevlere Ait Özellikler .....	71
5.5. İncelenen Sevlerde Uygulanan Analiz Yöntem-	
lerinin Esasları .....	72
5.5.1. Kaya Sevlerinde Duraylılık Analiz Yöntemleri	73
5.5.1.1. Analistik ve Grafik Yöntemler .....	73
5.5.1.1.1. İki Boyutlu Analiz (Düzlemsel Kayma)	73
5.5.1.1.2. Kama Tipi Kayma Analizi .....	78

5.5.1.1.3. Sadece Sürtünme Açısı İçeren Kama Tipi Kaya Bloğu, Stabilité Diyagramları ...	79
5.5.1.2. Stereografik İzdüşüm Yöntemi .....	85
5.5.1.2.1. Kohezyon( $c$ ), içsel Sürtünme Açısı( $\phi$ ) ve Su Basıncını içeren Kama Tipi Kayma Analizi	89
5.5.2. Zemin Sevlerinde Uygulanan Analiz Yöntemi.	92
5.5.2.1. Janbu'nun Dairesel Olmayan Kayma Analizi	92
5.6. İncelenen Sevlerin Analizleri .....	98
5.6.1. Kaya Sevlerin Analizleri .....	98
5.6.1.1. Kaya Sevi-1'rin Analizi .....	99
5.6.1.2. Kaya Sevi-2'nin Analizi .....	117
5.6.2. Zemin Sevlerin Analizleri .....	123
5.6.2.1. Zemin Sevi-3'ün Analizi .....	123
5.6.2.2. Zemin Sevi-4'ün Analizi .....	125
5.6.2.3. Zemin Sevi-6'nın Analizi .....	127
 BÖLÜM 6. SONUÇ ve ÖNERİLER .....	129
6.1. Sonuçlar .....	129
6.2. Öneriler .....	134
 KAYNAKLAR .....	136
EKLER .....	138
ÖZGEÇMİŞ .....	155

## ÖZET

Bu çalışmada, Çayeli-Pazar (Rize) arasında yaklaşık 36 km<sup>2</sup>.lik bir sahanın jeolojisi yapılmış ve ana yol güzergâhındaki şeşlerin mühendislik jeolojisi incelenmiştir. Sahaya ulaşım, Trabzon-Hopa Devlet Karayolu ile daima sağlanabilecektedir.

Çalışma sahasında litostratigrafi birimleri, yaşıdan gence doğru; Melyat Formasyonu, Pazar Formasyonu, Hamidiye Formasyonu, Deniz Taraçaları ve Alüvyonlardır.

Melyat Formasyonu, çalışma sahasının %50'den fazmasını kapsar ve genelde volkanik piroklastlardan oluşur. Bunlar; bazaltik lav, tüf, breş ve aglomeralardır. Çok yoğun bir ayırtma gösterirler. Formasyona, KORKMAZ ve GEDİK (1988) tarafından saptanan fosillere göre Eosen yaşı verilmiştir. Yer yer tabakalanma gösterir ve genelde "kalın tabakalı" olup, tabakaların doğrultuları yaklaşık KD-GB, eğimleri 13°-20° arasında GD'yadır.

Pazar Formasyonu, altta bloklu çakıltılarıyla başlar üstte doğru kumtaşı, marn, silttaşısı ve killi silttaşısı, en üstte kırmızı renkli çakıllı kil seviyesi gelir. Yaşı yine önceki çalışmacılar tarafından Miyosen olarak bulunmuştur. Formasyon "kalın-orta-ince tabakalı" olup, tabaka doğrultuları yaklaşık KD-GB, eğimleri 10°-27° arasında KB-GD'yadır.

Hamidiye Formasyonu, gevşek cimentolu bloklu-kumlu çakıllar ile kum ve kil merceklerinden oluşur. Yaşı Pliyo-Kuvaterner olarak önceki çalışmacılar ile aynı şekilde düşünülmüştür.

Deniz taraçaları iki seviyede tespit edilmiştir. Taraça-1; gevşek cimentolu bloklu çakıl, kum, siltli kum ve çok az da killerden oluşur. Taraça-2 ise tabanda yaklaşık 5m.kalinlığında gevşek cimentolu, bloklu kumlu çakıl seviyesi ile bunun üzerine çakıllı kumlu kalın bir silt ve kil seviyesi gelir.

Alüvyonlar deniz ve nehir çakıllarından meydana gelir.

Formasyonları oluşturan birimlerde ölçülen çatlakların analizleri sonucu maksimum deformasyon kuvveti Melyat Formasyonunda K66°B, Pazar Formasyonunda K79°D olarak bulunmuştur.

Çalışma sahasındaki kayaç ve zeminlerin mühendislik özelliklerini bulmak için arazi ve laboratuvara çalışmalar yapılmıştır.

Arazide formasyonların yapısal özelliklerini araştırılmıştır. Kaya şeşlerinde bir çatлага ait yüzeyler birbirleri üzerinden kaydırılarak deneyler yapılmış, ortalama kayma açısı 35° bulunmuş ve "icsel sürtünme açısı ( $\theta$ )" etkisi olarak alınmıştır (pürüzlülük dahildir).

Laboratuvar deneyleri ile kayaç ve zeminlerin basınc dayanımları, içsel sürtünme açıları ( $\theta$ ) ve kohezyon (c) değerleri bulunmuştur.

Tek eksenli basınc dirençlerine göre kayacılar "çok düşük ve orta dirençli" kaya sınıfında bulunmuştur. Kayaçlarından litik-kristal tüfler laboratuvara yapılan tek eksenli çekme ve üç eksenli basınc deneyi sonuçları ile içsel sürtünme açıları ( $\theta$ ) kuru halde  $52^\circ$ , doygun halde  $44^\circ$  ve kohezyon değerleri ( $c$ ), kuru halde  $67\text{ kg/cm}^2$  ve doygun halde  $45\text{ kg/cm}^2$  olarak bulunmuştur.

Zeminlerde konsolidasyonlu-drenajlı kesme kutusu deneyleri yapılmış ve ortalama efektif kohezyon ( $c'$ )  $0,27\text{ kg/cm}^2$ , ortalama efektif sürtünme açısı ( $\theta'$ )  $26^\circ$  değerleri bulunmuştur.

Çalışma sahasında ana yol üzerinde kaya ve zemin şevi olmak üzere toplam beş şevin duraylılığı incelenmiştir.

Kaya şevlerinde düzlemsel kayma için "İki Boyutlu Analiz Yöntemi", kama tipi kayma için "Kama Tipi Kayma Analizi", "Sadece Sürtünme Açısı İçeren Kama Tipi Kaya Bloğu Stabilite Diyagramları" ve "Kohezyon( $c$ ), İçsel Sürtünme Açısı( $\alpha$ ) ve Su Basıncını İçeren Kama Tipi Kayma Analizi" yöntemleri uygulanarak çözümler yapılmış ve güvenlik katsayıları bulunmuştur.

Zemin şevlerinde arazi gözlemlerine dayanılarak kabul edilen birçok kayma yüzeyi boyunca "Janbu'nun Dairesel Olmayan Kayma Yöntemi" zeminin kuru, sızıntı, yeraltı su seviyesi (YASS) ve doygun durumları gözönüne alınarak uygulanmış ve güvenlik katsayıları bulunmuştur.

Kaya Şevi-1'de, öncelikle düşmenin meydana gelebileceği anlaşılmış olup, düzlemsel ve kama tipi kayma analizleri yapılmış ve güvenlik katsayıları 1 ile 1.6 arasında bulunmuştur. Şevde alınacak en önemli ve ekonomik tedbir şeve giren yüzey ve yeraltı sularının drene edilmesidir. Bunun yanısıra hemen düşebilecek bloklar kontrollü olarak düşürülmelidir. Kontrollü olarak düşürülmesi mümkün olmayan, ilerde tehlike oluşturabilecek bloklar da kaya civileri ile sağlamlaştırılmalıdır. Blok ve küçük parçaların düşüşünü sürekli kontrolde tutabilmek için çelik hasırlardan da yararlanılabilir.

Kaya Şevi-2'de, yalnızca düşme-devrilme olabileceğiinden Kaya Şevi-1'deki önlemler burada da geçerlidir.

Zemin Şevi-3'de, zemin kuru halde iken şev genelde "duraylı" olduğu, doygun durumda ise her an bir kaymanın meydana gelebileceği anlaşılmıştır. Şevin altındaki yolum emniyetli alana çekilmesi gerekliliği görülmüş, çok dar kıyı şeridine bunun ancak dolgu ile mümkün olacağı kanısına varılmıştır.

Zemin Şevi-4'de, zemin kuru halde iken şev genelde "uzun süreli duraylı" olduğu, YASS (yeraltı su seviyesi) dikkate alındığında 3'ncü kayma yüzeyi hariç şev genelde "kısa süreli duraylı" olduğu ve doygun durumu gözönüne alındığında 2, 3 ve 4'üncü kayma yüzeyleri boyunca kaymanın olabileceği ortaya konmuştur. Diğer yüzeylerin ise "kısa süreli duraylı" olduğu anlaşılmıştır. Şevde, duraylılığın sağlanması için yüzey ve yeraltı suları öncelikle drene edilmelidir. Bunun yanısıra, yamac düzenlemesinden traşlama veya kademelendirme yapılarak çözüme gidilebilir.

Zemin Şevi-6'da, zemin kuru halde iken şev genelde "kısa süreli duraylı" olduğu ve doygun durumu göz önüne alındığında kabul edilen her kayma yüzeyi boyunca kaymanın olabileceği anlaşılmıştır. Bu şevde duraylılığın sağlanabilmesi için, şeve girebilecek tüm sular drene edildikten sonra yolu hemen şev tarafından sağlam temele inilerek yoldan itibaren 9 m.'lık bir istinat duvarı yapılması ile çözüme gidebilir. Daha sonra zemin yüzeyi sertleştirilerek suyun zemin ile teması da önlenmelidir.

## SUMMARY

In this study, an area approximately 36km<sup>2</sup> between Cayeli and Pazar (RIZE) was geologically searched and slopes around the coast-road were also analysed in terms of geological engineering. The area is reached via the Trabzon-Hopa State Highway.

The lithostratigraphic units in the study area from the oldest to the youngest are Melyat Formation, Pazar Formation, Hamidiye Formation, Sea-Terraces and Alluviums.

The Melyat Formation comprises more than 50 % of the study area and consists of volcanic pyroclastics. The volcanic pyroclastics including lavas, tuffs, breccias and agglomerates have a wide range of alteration. On the basis of their fossil contents Korkmaz and Gedik (1988) classified them as Eocene in age. The Formation is partially layered. Layers are generally thick and strike approximately NE-SW and dip SE between 13° and 20°.

The Pazar Formation starts with pebblestone including blocks at the lower levels followed by sandstone, marl, clayey siltstone toward the upper levels, and reaches the clayey level in red pebbles at the uppermost level. Age of the formation was attributed as Miocene by Korkmaz and Gedik in 1988 based on their fossil contents. The formation, being "thick-middle-thin" layered, strikes approximately in NE-SW direction and dips to NW-SW at 10° and 27°.

The Hamidiye Formation is composed of blocky-sandy pebbles and clay-lenses with unconsolidated cement. It's age is considered to be Plio-Quaternary as putforward by previous researchers (Korkmaz and Gedik, 1988).

Sea-terraces were differentiated into two different levels. Terrace-1 comprises blocky-pebbles with unconsolidated clays, sands, silty-sands and very little clayes. Terrace-2 is made of a block-sandy pebble level with approximately 5 m. thick unconsolidated cement at the base, and above is a pebbled-sand combined with a thick silt and clay level. Alluviums are made up of beach and river pebbles.

Analysis of fracture measurements taken from the Melyat Formation revealed the maximum deformation power to be N66°W and those measured at the Pazar Formation to be N79°E.

Labaratory and field studies were carried out to discover the engineering characteristics of the rocks and the soil.

Structural characteristics of the formations were investigated in the field. Experiments were done by sliding the surfaces belonging to a fracture in the rock-slopes over each other and an average angle of 35° was obtained and "the angle of internal friction" was taken as "(θ)" (the roughness hurdle has been taken into account).

The values of pressured-resistance of the soil and the rocks, the angle of internal friction ( $\theta$ ) and cohesion (c) were ascertained through lab experiments.

Rocks were classified as "very low" and "middle resistance" rocks according to the Unconfined Compressive Strength. The angle of internal friction ( $\theta$ ) of litic-crystal tuffs of rocks was found to be  $52^\circ$  when dry, and  $44^\circ$  when saturated. The cohesion values were  $67 \text{ kg/cm}^2$  when dry and  $45 \text{ kg/cm}^2$  when saturated through the Unconfined Compressive, Indirect Tensile and, Triaxial Compressive strength experiment.

In the field, the consolidated drained shear box experiments were conducted and the following were found out; average friction angle ( $\theta'$ )  $26^\circ$  and average effective cohesion (c')  $0,27 \text{ kg/cm}^2$ .

On the studying area totally five rock and soil slopes at the coastal road have been analysed.

At rock slopes "Two Dimensional Analysis Method" for plane slipping analysis, "Wedge-Type Slipping Analysis", "Rock-Block Stabilite Diagrams including Only Friction-Angle" and "Cohesion(c), The Angle of Internal Friction ( $\theta$ ) and Wedge-Type Slipping Analysis including Water Pressure" were applied to get solutions; thereon safety coefficients were estimated.

"Janbu's Non-Circular Failure Method" was applied by considering underground-water level, its dry and saturated states along many slipping soil found out as a result of area observations on soil slopes, then safety coffients were obtained accordingly.

It has been found out that an immediate fall down is likely to occur at rock-slope 1. Safety coefficients of 1 to 1.6 were obtained by carrying out plane and Wedge-Type Slipping Analysis.

The most important and economic precoution to be taken with the slope is to drain underground and surface waters. Moreover, blocks likely to fall down soon must be lowered under control, on the ather hand, those blocks which cannot be lowered and may cause, harm in the future must be connected to rocks with rock nails. Steel wicker can also be utilized to control the fall of block and small pieces.

The precautions to be taken for Rock-Slope 1 can olse be taken for Rock-Slope 2 where falling or upsetting is li-  
kely to happen.

it has been found out that, on the soil slope 3, the slope, is generally " stable " when the soil is dry and a sudden slip when it is saturated is likely to occurs at any time. The road by the slope must be reconstructed in safe ares. This reconstruction is possible only through filling the sea along side the narrow sea coast.

It has been determined that on the soil slope 4, the slope is generally "long-term stable" when the soil is dry and the slope is generally "short-term stable" except the 3 rd surface slipping when considered U.W.L. (Underground Wa-  
ter Level) and along 2 nd, 3 rd and 4 th slipping surfaces slope may occur when its saturtured state is taken into acco-  
unt. All other surfaces are "short-term stable". Surface and Underground Waters are to be drained immediately to provide

the stability with the slope. On the other hand, the regulation of the slope and making steps on it may help solve the problem.

It has been found out that, on the soil slope 6, the slope is generally "short-term stable" when the soil is dry and it is likely to slip along each accepted slipping surface when considered its saturated state. After draining the water leaking into the slope, a 9m. high reliance wall can be built by the road after reaching the stiff soil. Then the contact of water with the soil must be prevented by hardening the soil surface.

## BÖLÜM 1

### GİRİŞ

Bu çalışmada, Çayeli-Pazar (Rize) arasında kalan 18 km. uzunlığında ve 2 km. genişliğinde yaklaşık 36 km<sup>2</sup>.lik bir saha "Mühendislik Jeolojisi" açısından incelenmiştir. İncelemede problemlere mümkün olduğunda somut çözümler getirilmeye çalışılmıştır. Çalışma sahası içerisinde kalan ana yol şeşlerinde olabilecek kitle hareketlerinin duraylilikleri, deneysel çalışmalarla bulunan veriler kullanılarak hesaplanmış, ve alınabilecek önlemler üzerinde de durulmuştur.

Bu çalışma, altı ana bölümden oluşmaktadır:

İkinci bölümde; çalışma sahasının yer aldığı yörenin "Coğrafi Durum ve Morfoloji" sine deғinilmiştir.

Üçüncü bölümde; çalışma sahasının "Genel Jeoloji"si incelenmiş ve yüzeylenen kayaçların stratigrafik, litolojik ve yapısal özellikleri ortaya konmaya çalışılmıştır.

Dördüncü bölümde; çalışma sahasında "Çayeli-Pazar (Rize) Arası Ana Yol Şeşlerinin Mühendislik Özellikleri" ele alınmıştır. Şeşleri oluşturan kayaç ve zeminlerin jeolojik, yapısal, fiziksel, ve mekanik özellikleri arazi ve laboratuvar deneyleriyle araştırılmıştır. Ayrıca volkanik piroklastda görülen ayırtma durumuna da kısaca deғinilmiştir.

Beşinci bölümde; çalışmanın esas amacını teşkil eden "Çayeli-Pazar (Rize) Arası Ana Yol Şeşlerindeki Kitle Hareketlerinin İncelenmesi" yapılmıştır. Bu nedenle önce şeşlerin krokileri çıkarılmış, sonra hareketin türü saptanmış ve özellikleri de gözönüne alınarak uygulanacak duraylilik analizlerine karar verilmiştir. Uygulanan duraylilik analizlerinin teorilerine de kısaca deғinildikten sonra incelenen şeşlerin duraylilik analizleri yapılmıştır.

Altıncı bölümde; tüm bu çalışmalarla ilgili konulardan elde edilen "Sonuçlar ve Öneriler" sunulmuştur.

## BÖLÜM 2

### COGRAFI DURUM VE MORFOLOJİ

#### 2.1. Giriş

Bu bölümde, çalışma sahasının konumu, ulaşımı ve yerlesimi, morfolojisi, iklimi, bitki örtüsü, akarsuları konularına kısaca değinilmiştir. Ayrıca çalışma sahasına ait meteorolojik veriler değerlendirilerek yöreye ait sıcaklık ve yağış grafikleri çıkarılmıştır.

#### 2.2. Çalışma Sahasının Konumu

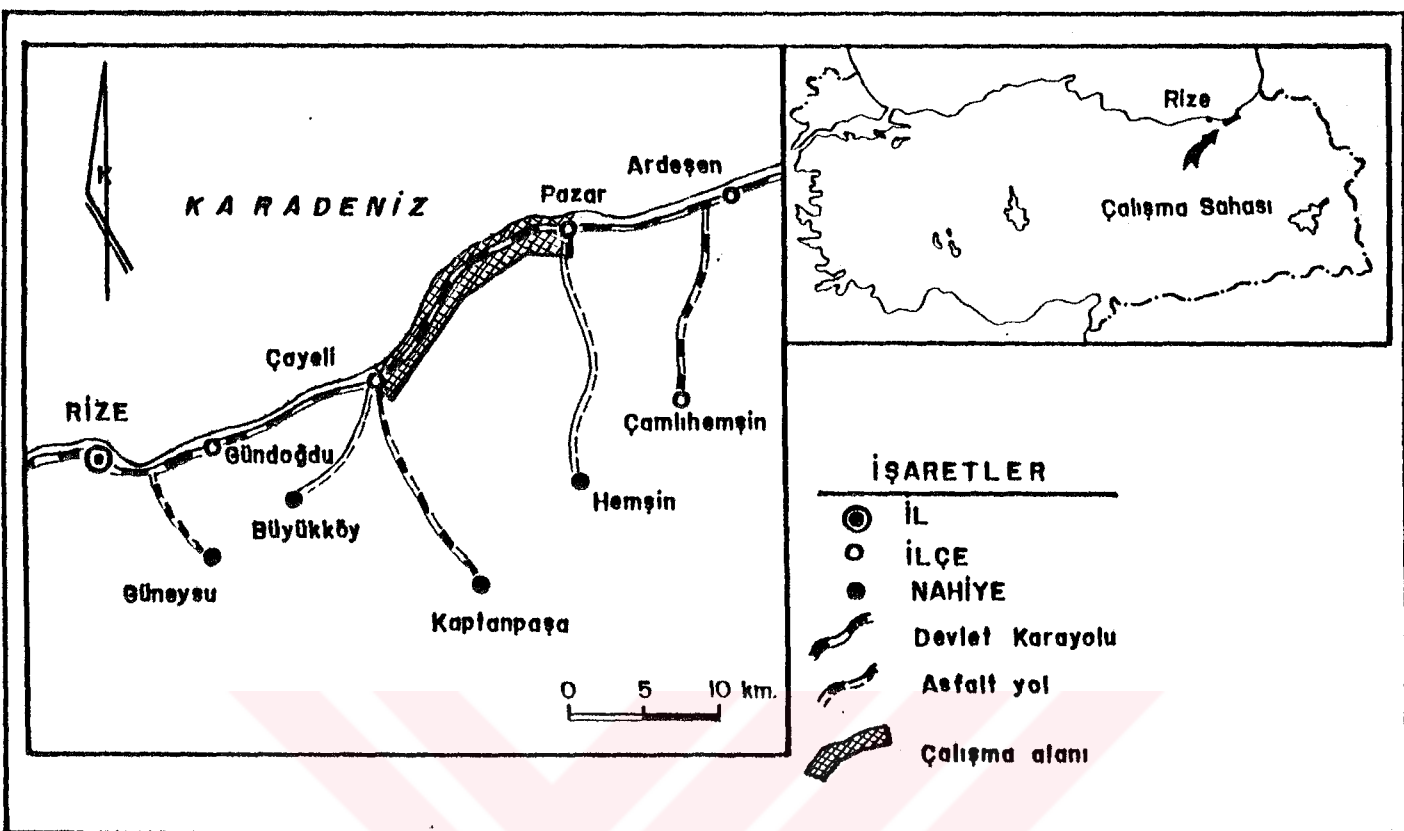
Çalışma sahası, Türkiye'nin kuzeydoğusunda ARTVIN-F<sub>45</sub>-d<sub>3</sub>, C<sub>4</sub>, C<sub>1</sub> ve C<sub>2</sub> paftaları içerisinde yer almaktadır. Kuzeyi Karadeniz, güneyi sahilden yaklaşık 2km. içerdenden geçen bir hatla, doğusu Pazar ve batısı Çayeli ilçeleriyle sınırlanmıştır. Saha yaklaşık 36 km<sup>2</sup>.lik bir alanı kapsar (Şekil 2.1).

#### 2.3. Ulaşım ve Yerleşim

Çalışma sahasına ana ulaşım, Trabzon-Hopa devlet kara-yolu ile sağlanır. Bu karayolu, sahil boyunca denize paralel devam etmekte ve bu yol ile sahaya heran ulaşım mümkündür.

Çalışma sahasından geçen anayolda ulaşımın daha rahat ve daha kolay yapılabilmesi için iki tünel açılmış bulunmaktadır. Bunlar, Çayeli ve Pazar tünelleridir. Çalışma sahası içerisinde kalan iç kısımlardaki yerleşim merkezlerine ulaşım genellikle stabilize yollarla yapılmaktadır. Yalnız Çayeli ve Pazar'dan iç kısımlara giden yollar ile Hisarlı mahallesinden geçip Radar'a giden yol da asfalttır.

Bu yollar ulaşımı her zaman açıktır. Stabilize yollar yağışlı mevsimlerde ulaşımı genellikle zorlaştırmaktadırlar.



Sekil 2.1 : Çalışma sahasının konum haritası

Ayrıca çalışma sahasında mevcut patika yollar (bir çoğu beton yapılmış basamaklar şeklindedir) ve teleferiklerden ulaşımda belirli ölçüler dahilinde yararlanılmaktadır.

Çalışma sahasında, Doğu Karadeniz Bölgesi'nin tipik yerleşim özelliği görülür. Ana yerleşim merkezleri Çayeli ve Pazar ilçeleri olup, Rize iline bağlıdır. Bu ilcelere bağlı birçok köy bulunur. Bu köylerin yerleşim düzeni toplu olmayıp, mahalleler düzeyindedir.

Sahada yer alan mahalleler ise şunlardır: Ayazlı, Sabuncular, Sairler, Yenipazar, Şerifoglu, Büyüktاشan, Küçüktaşhan, Taşhane, Küçüktaş, Kesmetas, Katilya, Meydan, Kemer, Avcılar, Örnek, Merdivenli, Balıkçı, Hisarlı, Sivrikale, Miyliva, Yeşerti, İkiztepe, Kukulak ve Soğuksu.

#### 2.4. Morfoloji

Çalışma sahası, Doğu Karadeniz Bölgesi'ne özgü bir morfoloji gösterir. Arazi oldukça dik ve engebelidir.

Topografya, çok dar kıyı şeridinden sonra hemen dikleşir ve doğu-batı doğrultusunda uzanan dağlar, doğal bir engel oluştururlar. Yükseklik genelde kıyıdan 1 km. içerde en fazla 415 m. dir. Saha içerisindeki tepeler isimsiz olup, yükseltileri 155 m. ile 415 m. arasında değişir.

## 2.5. İklim ve Bitki Örtüsü

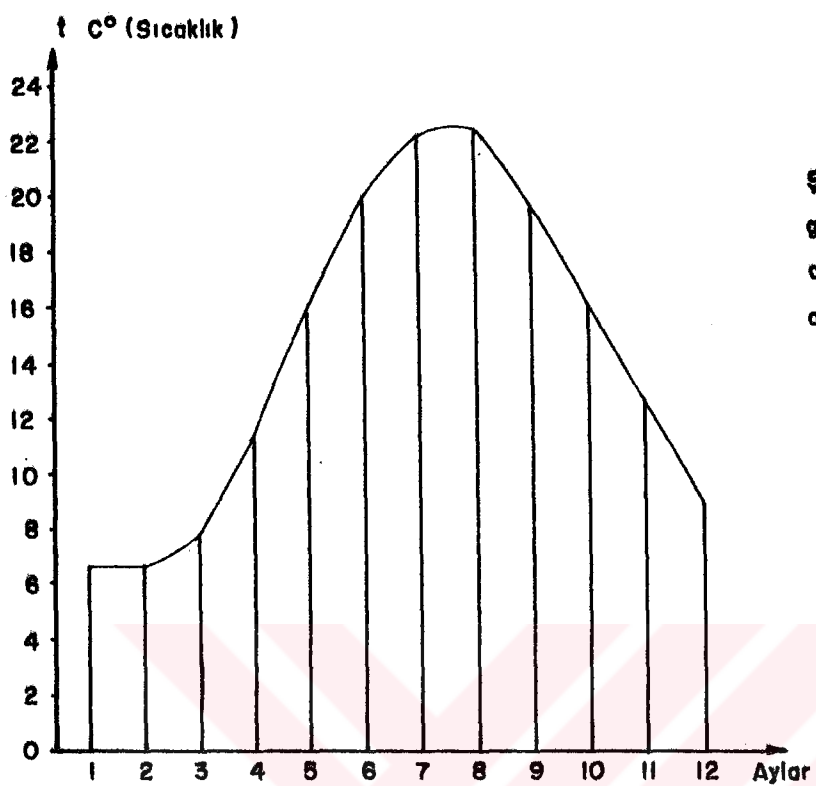
Doğu Karadeniz Bölgesi'nde yer alan çalışma sahası, yurduzun en çok yağış alan yöresidir. Çalışma sahasında Doğu Karadeniz Bölgesi'ne özgü ılıman iklim türü görülür. Yükseltilerin kıyıdan sonra hemen başlaması ve doğu-batı doğrultusunda uzanması hemen hemen her mevsimin yağışlı geçmesine, denizin varlığı da sıcaklık farklarının azalmasına ve nem oranının yükselmesine neden olmaktadır.

Rize meteoroloji gözlem istasyonunda ölçülen ortalama iklim verileri Çizelge 2.1 de verilmiştir. Bu çizelgeden yararlanarak yörede sıcaklığın ve yağışın aylara göre dağılımı grafikleri çizilmiştir. (Şekil 2.2 ve Şekil 2.3).

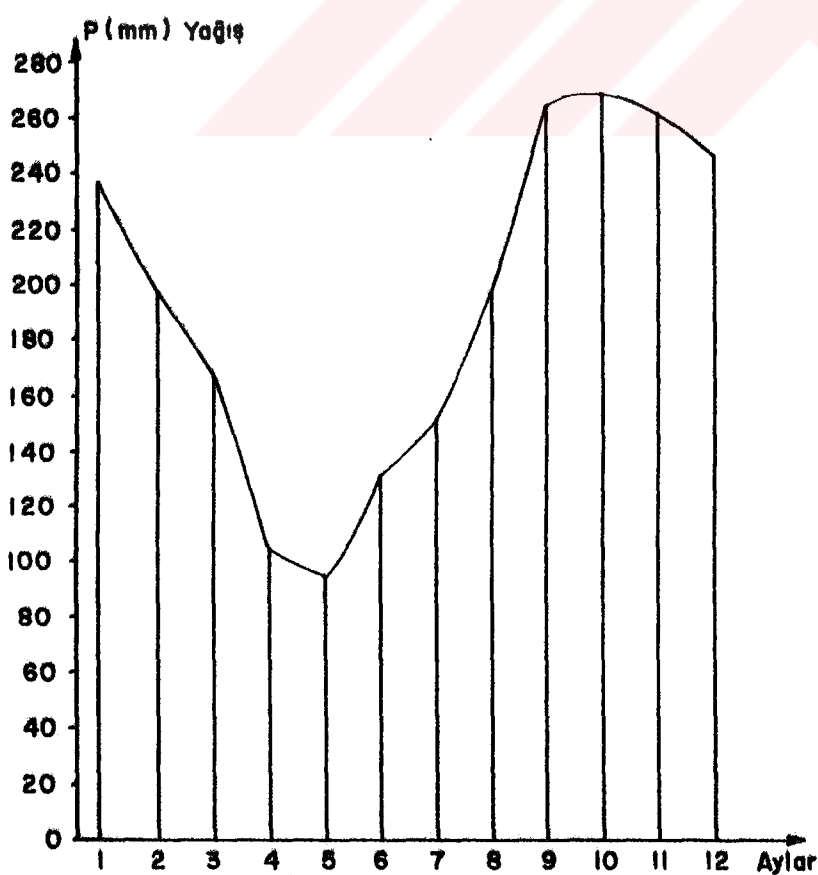
Sekillerin incelenmesiyle bölgede en çok sıcaklık 7 ve 8, yağmur ise 9 ve 10 aylarda olduğu anlaşılır.

**Cizelge 2.1 : Rize Meteoroloji Gözlem İstasyonuna Göre  
Ortalama İklim Verileri**

Rasat İstasyonum Adı Rasat İstasyonu YÜKSEKLİĞİ Rasat İstasyonu Konumu Rasat Süresi METEOROLOJİK VERİLER	RIZE												
	4 M.												
	Enlem(ℓ) : 41 02 N							Boylam(λ) : 40 31 E					
	1938-1988							(50 Yıllık)					
	AYLAR												
	1	2	3	4	5	6	7	8	9	10	11	12	Yıllık Toplam
Ortalama Sıcaklık (°C)	5.70	6.70	7.90	11.30	15.30	19.80	22.20	22.50	19.50	16.00	12.40	8.80	169.6
En yüksek sıcaklık (°C)	23.40	26.60	31.30	32.50	38.20	34.50	32.50	35.60	33.20	33.80	30.40	26.20	378.2
En düşük sıcaklık (°C)	-5.60	-6.20	-7	-1.60	4.60	7.80	12.90	13.50	4.60	2.50	-4.80	-5.40	15.3
Ortalama nisbi nem (%)	73	74	75	77	80	78	80	81	81	79	77	72	927
Ortalama yağış miktarı (mm)	236.80	198.10	168.60	105	94.30	121.90	151.40	197.10	264.20	269.10	260.80	245.90	2323.2
Yağışlı gün sayısı	15	15	15	15	14	14	14	14	15	15	13	14	73
Ortalama açık günler sayısı	3.60	3.10	3.70	3.40	3.50	5.20	4	4.30	4.90	6.30	5.10	4.2	51.30
Ortalama bulutlu günler sayısı	11.10	11.20	12.40	12.60	16	16	13.80	13.30	13.60	14	13.50	13.90	163.4
Ortalama kapalı günler sayısı	14.30	13.70	14.90	14	11.50	9.30	13.20	13.40	11.50	10.70	11.40	12.90	150.3
Ortalama rüzgar hızı (M/Sn)	1.20	1.20	1.10	1.10	1.10	1.20	1.10	1.10	1.20	1.20	1.20	1.20	13.9
En kuvvetli rüzgar hızı ve yönü (M/Sn)	BKB	BKB	BKB	QB	B	BKB	BKB	259					
Donlu günler sayısı	3.30	3.50	2.00	0.10	-	-	-	-	-	-	0.20	1.20	10.3



Şekil 2.2 : Rize Meteoroloji gözlem istasyonunda ölçülen ortalama sıcaklık değerlerinin aylara göre değişimi



Şekil 2.3 : Rize Meteoroloji gözlem istasyonunda ölçülen ortalama yağış değerlerinin aylara göre değişimi (1938-1988)

### Bitki Örtüsü :

Çalışma sahası sınırları içinde oldukça zengin bitki türü gelişmiştir. 0-350 m.yükseltileri arasında "Sert Yapraklı Bitkiler" yetişmektedir. Ancak Doğu Karadeniz Bölgesi'nde olduğu gibi çalışma sahasında da bu zon, insanlar tarafından kaldırılmış, genellikle çay, yer yer mandalina, portakal dikilmiştir. Sahada bitki örtüsü kaldırılmış, cıplak araziler de mevcuttur. Sert yapraklı bitkiler dik yamaçlarda ve kayalık yerlerde kalmıştır. 350 m.den yukarıdaki seviyelerde "Yapraklı Orman Zonları" yer almaktadır, sahada bu zon, yerleşim yerlerinde kaldırılmış, yerine genellikle çay dikilmiştir. Buna rağmen yer yer Kestane, Meşe, Kızıllagac, Hurma, İhlamur, Kumar gibi ağaç türlerine de rastlanmıştır.

### 2.6. Akarsular

Çalışma sahasında irili-ufaklı genellikle GD-KB ve yer yer de G-K doğrultulu birçok akarsu yer alır. En büyük akarsular çalışma sahasının doğu ve batı sını�ında yer alır. Bunlar Sabuncular, Şahinler, Aşıklar, Melyat ve Hemşin d勒eridir. Saha içerisinde küçük dereler: Zancal, Küçüktań, Kesmetaş, Kanlı, Degirmen, Çerkez, Radar, Gala, Kalecik, Sivrikale ve Hunar olup, aralarındaki mesafe 0.2 ile 1.5 km. arasındadır. Bu dereler düzensiz rejime sahiptir. Yaz aylarında suları oldukça azalmasına karşın kış mevsiminde suları kabariktır.

Bu büyük ve küçük dereler arasında adsız birçok akarsu mevcuttur.

## BÖLÜM 3

### GENEL JEOLOJİ

#### 3.1. Giriş

Bu bölümde; önce, çalışma sahasında günümüze kadar yapılmış olan belli başlı jeolojik çalışmalarдан kısaca bahsedilmiştir. Sonra çalışma sahasındaki birimler stratigrafik ve petrografik olarak incelenerek özellikleri ortaya konmuştur. Ayrıca birimlerin yapısal özellikleri araştırılarak yöredeki kayaçlarda deformasyonu oluşturan basınç kuvvetleri saptanmıştır.

#### 3.2. Önceki Çalışmalar

Çalışma sahاسını içeresine alan ilk jeolojik çalışmaların çoğunuğu metalik maden aramalarına yönelik olup, zaman zaman da petrol sızıntıları nedeniyle bu bölgede petrol arama amaçlı çalışmalar yapılmıştır. Değişik amaçlar taşıyan bu çalışmaların başlıcaları; Taşman (1948), Kiraner (1956), Kawada ve Engin (1972), Can (1974), Özsayar (1977), Önalp ve Tarhan (1987), Korkmaz ve Gedik (1988) tarafından gerçekleştirılmıştır.

TASMAN, C.E.(1948) Çayeli ve güneyinde yaptığı araştırmalarda, aglomeraların Pliyosen, çakıltaşları, kumtaşları ve marnların Üst Miyosen, kumtaşları, kumlu marnlar, gri marnlar ve şeyllerin ise Miyosen yaşlı olduğunu, petrol sızıntısının ise deniz altındaki bir yapıdan geldiğini belirtmektedir.

KIRANER, F.(1956) Çayeli yöresindeki çalışmasında, bölgede 1/25000 ölçekli jeoloji haritası yapmış ve Çayeli güneyinde bir dom yapısı saptamıştır. Kretase Üzerine Miyosen yaşlı birimlerin diskordansla geldiğini ve bu birimlerin de

üzerine Pliyosen yaşı kumtaşı ve çakıltaşlarının yer aldığıni vurgulamıştır.

KAWADA ve ENGIN (1972) Çayeli bölgesindeki çalışmalarında, bölgedeki volkanitleri alt dasitik seri ve üst bazik seri olarak iki bölüm halinde incelemişlerdir. Tersiyer yaşılı birimler olarak lav-tüp-aglomera ile tortul birimler ayırtlanmıştır. Üst Kretase volkanitlerinin granitik kayaçlar tarafından kesildigini belirtmişlerdir.

CAN, M.(1974) Artvin F<sub>45</sub>-c<sub>4</sub> paftasında yaptığı çalışmada, bölgedeki birimleri alt bazik, alt dasitik, üst bazik ve üst dasitik olmak üzere dört seride ayırmıştır. Kretase yaşılı volkanitlerden başka Tersiyer yaşı granit, kuvars porfir, diyorit ile genç volkanit serileri de saptamıştır.

ÖZSAYAR, T.(1977) Pazar yörenin jeolojisini ve stratigrafisini, topladığı fosillerle saptamamış, çalıştığı sahanın paleocografyasını belirlemiştir.

ÖNALP, A. ve TARHAN, F.(1987) Yörende Üst Kretase yaşı volvano-tortul seriden bahsettiğleri ve bu serinin diğer yörelerde olduğu gibi lav-tüp, aglomeralar ile bunlar arasında yer alan kırmızı ve beyaz renkli kireçtaşları, marn, kumtaşı ara katkılarından ibaret olduğunu belirtmişlerdir. Bunlar Gündogdu nahiyesinin doğusunda karayolu şevelerde, Çayeli ve Pazar ilçesinin güneyinde yüzlek verir.

Yörende volvano-tortul seriyi, Rize-Pazar dolaylarında Eosen yaşı andezit, dasit ve bunların tüplerinden, porfirlerden oluşmuş diğer bir volvano-tortul seri üstler. Bu seri içinde de konglomera, kumtaşı, kil, marn ve kireçtaşlarından oluşmuş fliş fasiyesinde, ara katkıları izlenmiştir.

Yörende daha genç oluşukları Çayeli-Pazar ve Ardeşen sahil kesiminde görülen Pliyosen yaşı sig deniz, göl ya da lagün ortamda depolanmış konglomera, kumtaşı, kil ardalanması şeklindeki tortular oluşturmaktadır. Zayıf derecede cimentolanmış olan bu tortular yer yer yanal geçiş gösterirler.

Yörenin en genç tortularını deniz ve akarsu taraçaları ile alüvyon ve yamaç molozları oluşturur. Deniz taraçaları özellikle Pazar yöreninde, Pliyosen tortuları ile birlikte görülmektedir. Tek bir seviyede gözlenen deniz taraçaları

Fındıklı'dan sonra görülmezler (Erguvanlı-Tarhan, 1982). Alüvyonlar, dere yatakları ve bunların deltalarında izlenir. Sahilde ise plaj kumlarının yer aldıklarını saptamışlardır.

KORKMAZ, S. ve GEDİK,A.(1988) Rize-Fındıklı-Çamlıhemşin arasında kalan yaklaşık 850 km<sup>2</sup>.lik bir alanın 1/25000 ölçekli jeoloji haritası ile 1/10000 ölçekli kompilasyonunu gerçekleştirmiştir. Birimler ilk defa litostratigrafi esasına göre formasyon ölçüğünde ayırtlanmış paleontolojik verilerden de yararlanılarak 7 formasyon adlandırılmıştır.

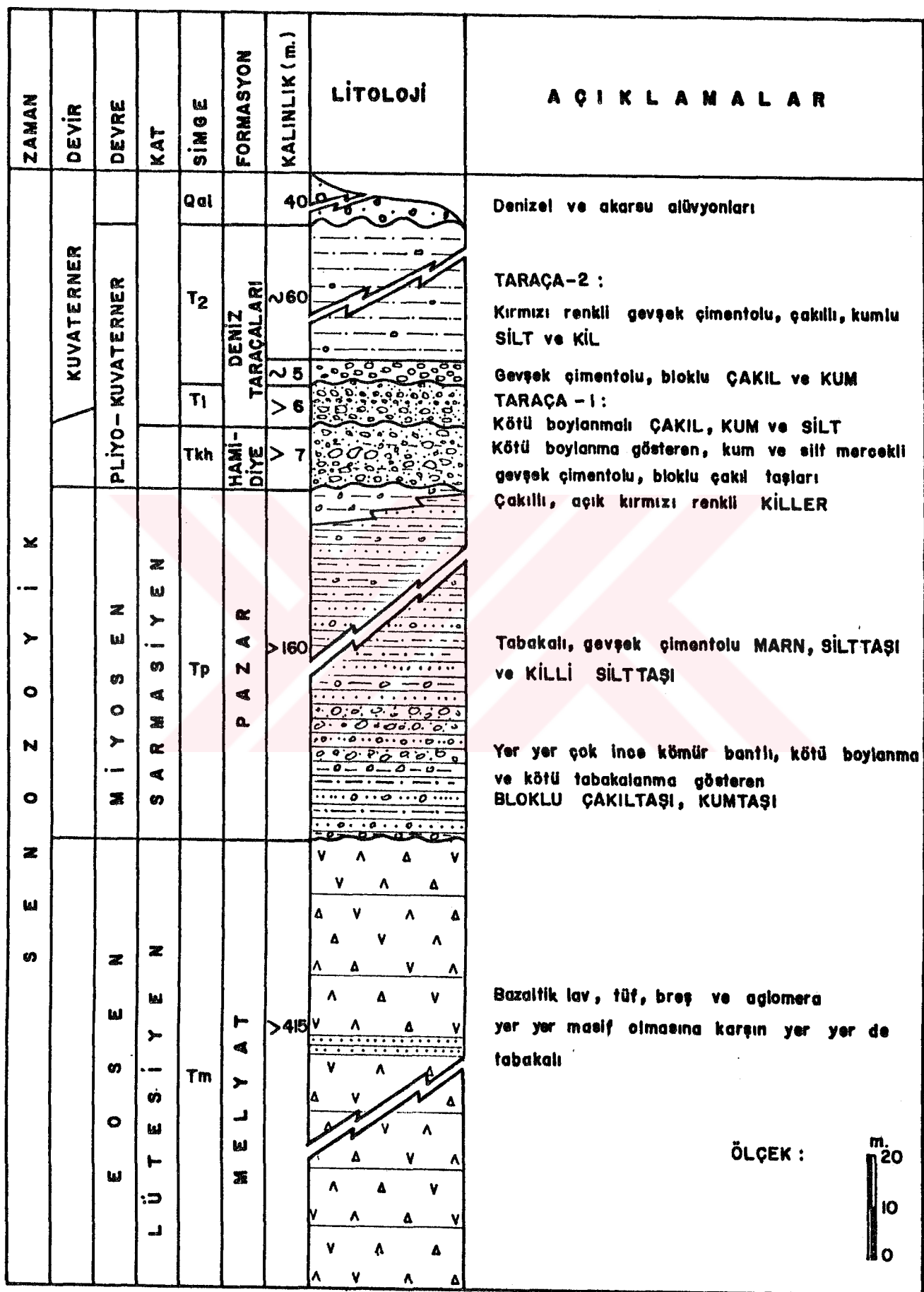
Yazarlar çalışma sahasında kumtaşı, marn ve kırmızı kireçtaşları arakatkıları içeren andazit, bazalt, dasit lav ve piroklastlarından oluşan Üst Kretase yaşı Hemşindere Formasyonunu en yaşlı formasyon olarak tesbit etmişlerdir. Bölgesel olarak geniş bir yayılım gösteren bu formasyon yer yer bazik ve asitik intruzifler tarafından kesilmiş olduğunu saptamışlardır.

Hemşindere Formasyonu üzerine uyumlu olarak marn, kilit taşı ve kireçtaşları ardalanmasından oluşan Üst Kretase-Paleosen yaşı Rize Formasyonu geldiğini, bu formasyonun üzerinde hafif bir uyumsuzlukla Alt-Orta Eosen yaşı kumtaşı, marn ardalanmasından oluşan, Kaplıca Formasyonunun oturduğunu, bu formasyonun da üzerine uyumlu olarak andezitik-bazaltik lav, tuf ve aglomerallardan oluşan Melyat Formasyonun geldiğini, bu formasyonun da üzerine fosilli kumtaşı ve marn ile çakıltaşısı, kıl ve kumlardan oluşan Miyosen yaşı Pazar Formasyonunun yer aldığıini, bu formasyonun alttaki bütün birimleri açısal uyumsuzlukla üstlediğini ortaya koymuşlardır. Ayrıca, Pliyo-Kuvarterner(?) yaşı Hamidiye Formasyonunun ise kum ve çakıl taşlarından meydana geldiğini, en genç çökeller olarak da Kuvarterner yaşı taraca ve alüvyonları saptamışlardır.

### 3.3. Stratigrafi ve Petrografi

Çalışma sahasındaki Litostratigrafi birimleri yaştan gence doğru sıralanırlar (Şekil 3.1).

Çalışma sahasında ayırt edilen birimlerin formasyon ölçüğünde adlandırılmamasında KORKMAZ ve GEDİK (1988) tarafından yayınlanan makale esas alınmıştır.



Şekil 3.1: Çalışma sahasının genelleştirilmiş dikme kesiti

### 3.3.1. Melyat Formasyonu (Tm)

Tanımı ve Dağılımı: Formasyon, çalışma sahasında en alta izlenir.

İnceleme sahasında hakim olan bu formasyon, sahil şeridi boyunca ve Yenipazar mahallesinin güneyinde Büyüktاشan Küçüktaşan, Taşhane, Küçüktaş, Kesmetaş, Katilya, Meydan, Kemer, Avcılar, Örnek, Merdivenli, Balıkçı, Hisarlı, Sivrikale, Yeşerti, Miyliva, İkiztepe, Kukulak mahallelerinde yayzyelenmektedir (Ek 3.1). Formasyon, çok tipik olarak önceki çalışmacılar olan KORKMAZ ve GEDIK (1988) tarafından Melyat dere boyunca gözlendiği için "Melyat Formasyonu" olarak adlandırılmıştır. Bu adlandırma aynen kabul edilmiştir.

Litolojisi: Formasyon, genelde masif ve yer yer de tabakalanma gösteren bazaltik lav, tuf, bres ve aglomeralardan oluşur (Foto 3.1).

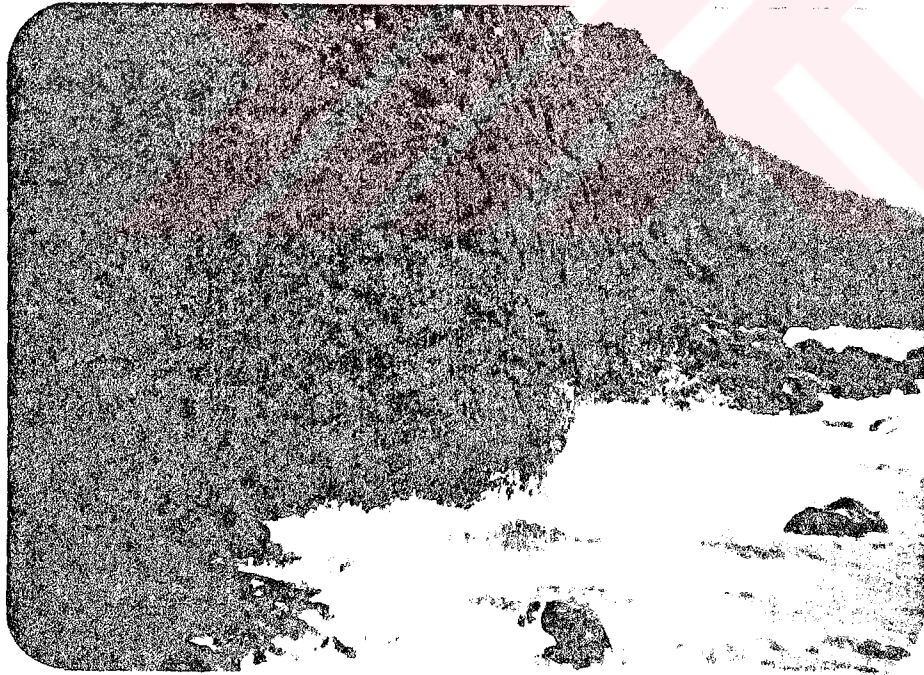


Foto 3.1: Melyat Formasyonundan bir görünüş (Hisarlı Mahallesine ayrılan yolun altında deniz kenarı)

Formasyon içerisinde boyutları birkaç mm. den 1 m. ye kadar değişen volkanik kökenli piroklastlar (küllapilli, blok) yer almaktadır (Foto 3.2).



Foto 3.2: Melyat Formasyonunun vokanik piroklastlardan (bres ve aglomera) bir görünüş (Kukulak Mahallesine ayrılan stabilize yolun şevinde)

Formasyon tüf ve lav kısımlarında cıplak gözle öz şekilli iri piroksen kristalleri ve boşluklarda yer yer zeolit kristalleri izlenir. Renk, ayrışma göstermeyen kısımlarda koyu gri-yesil olup, ayrılmış kısımlarda ise yer yer kırmızımsı, yer yer de açık kahverengimsidir.

Çalışma sahasında Melyat Formasyonunun değişik yerlerinden alınan 7 kayac örneğinden petrografik analiz için ince kesit yapılmıştır ( $A_1$ ,  $A_2$ ,  $A_6$ ,  $A_{10}$ ,  $A_{11}$ ,  $A_{12}$ ,  $A_{14}$  no'lu, Ek 3.2). Ince kesitlerin mikroskopik incelenmesi sonucu, bazilarının ( $A_2$ ,  $A_6$  ve  $A_{11}$ ) boşluklu -mikrolitik - porfirik ve boşluklu porfirik entersertal-entergranüler doku gösterdikleri görülmüştür (Foto 3.3).

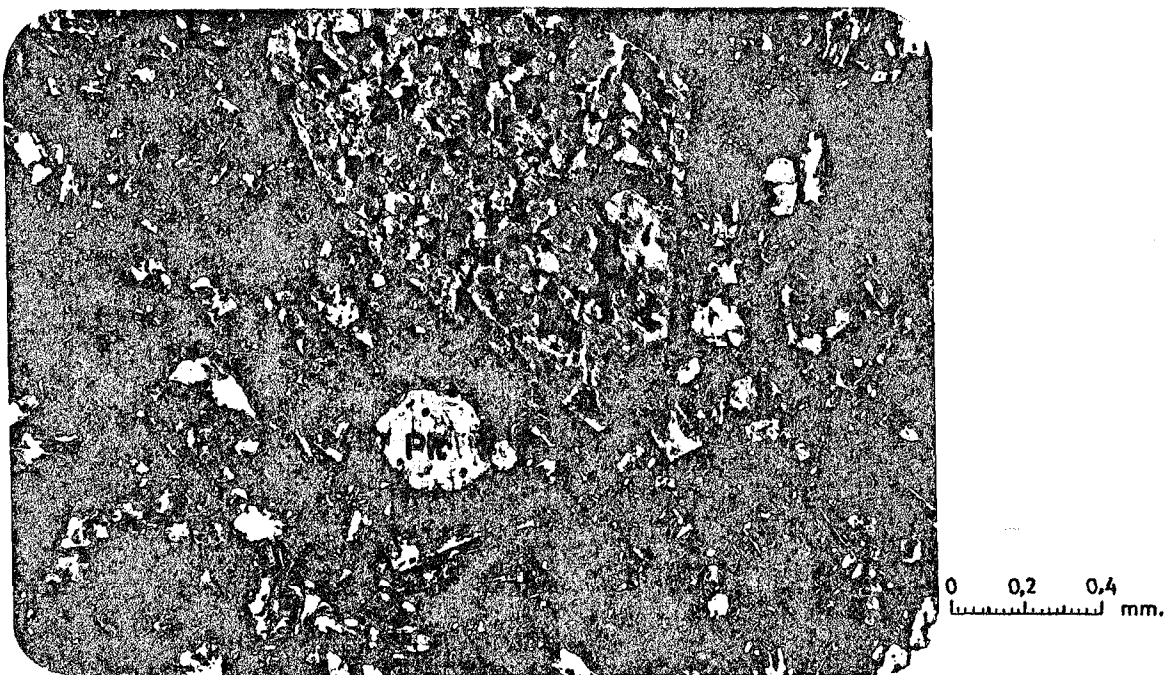


Foto 3.3 : Melyat Formasyonu bazaltlarının ince kesiti  
(örnek A<sub>2</sub>) Piro : Piroksen

Digerleri (A<sub>1</sub>, A<sub>1c</sub>, A<sub>1z</sub>, A<sub>14</sub>) tuf özelliği göstermektedirler. A<sub>2</sub>, A<sub>6</sub> ve A<sub>11</sub> no'lu örneklerinde feno ve mikro kristal olarak olivin, piroksen (ojit), plajiyoklaz ve opak mineraler izlenir. Olivinlerin serpentinleşmesi yanında piroksenlerin kloritleştiği anlaşılmıştır. Plajiyoklazların ise zeolitleştiği, kalsitleştiği, albitleştiği ve yer yer de silisleştigi görülür (Foto 3.4).

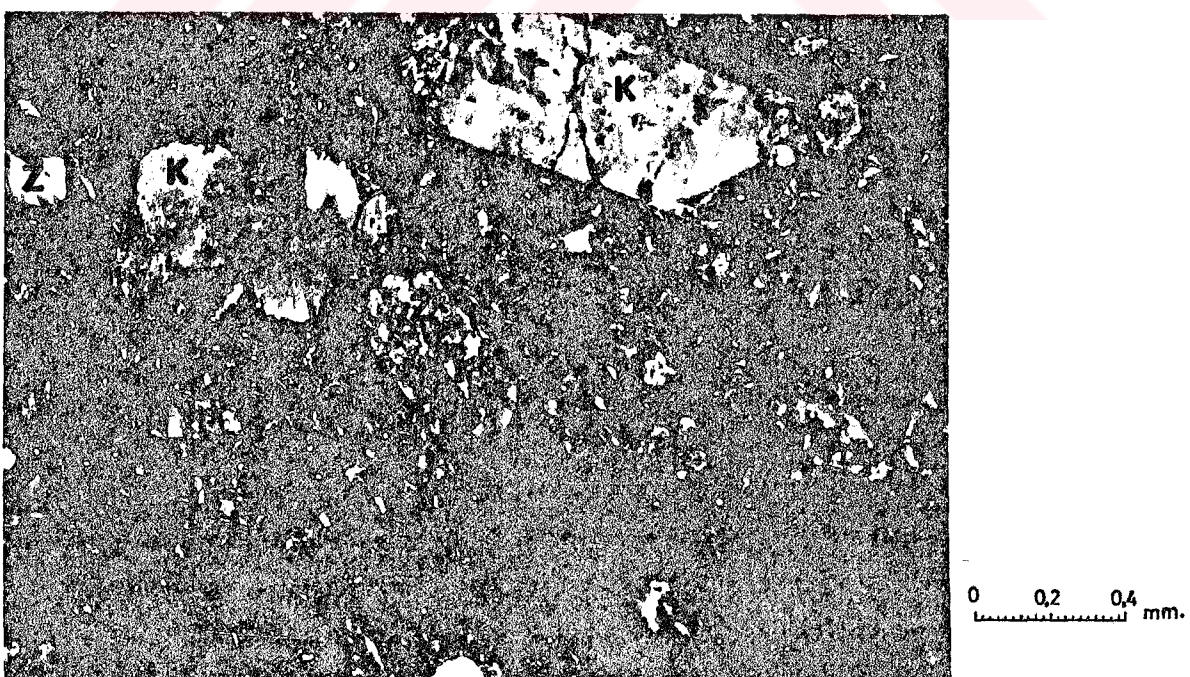


Foto 3.4 : Melyat Formasyonu bazaltlarının ince kesiti  
(örnek A<sub>6</sub>) K : Kalsit, Z : Zeolit

Kayaçların boşluklarını zeolit, kalsit, klorit doldurur (Foto 3.5).

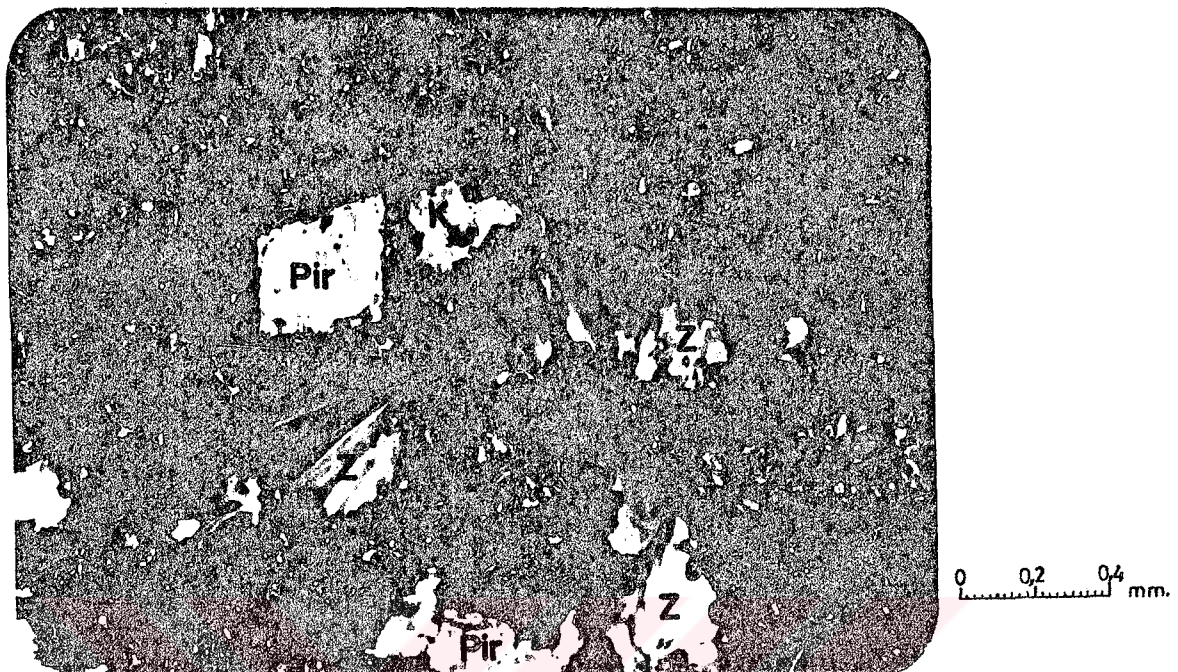


Foto 3.5 : Melyat Formasyonu bazaltlarının ince kesiti  
(örnek A<sub>6</sub>) Pir: Piroksen Z: Zeolit, K:Kalsit

Bu mineraller tek tek izlenebildiği gibi beraber de izlenirler. (Foto 3.6).

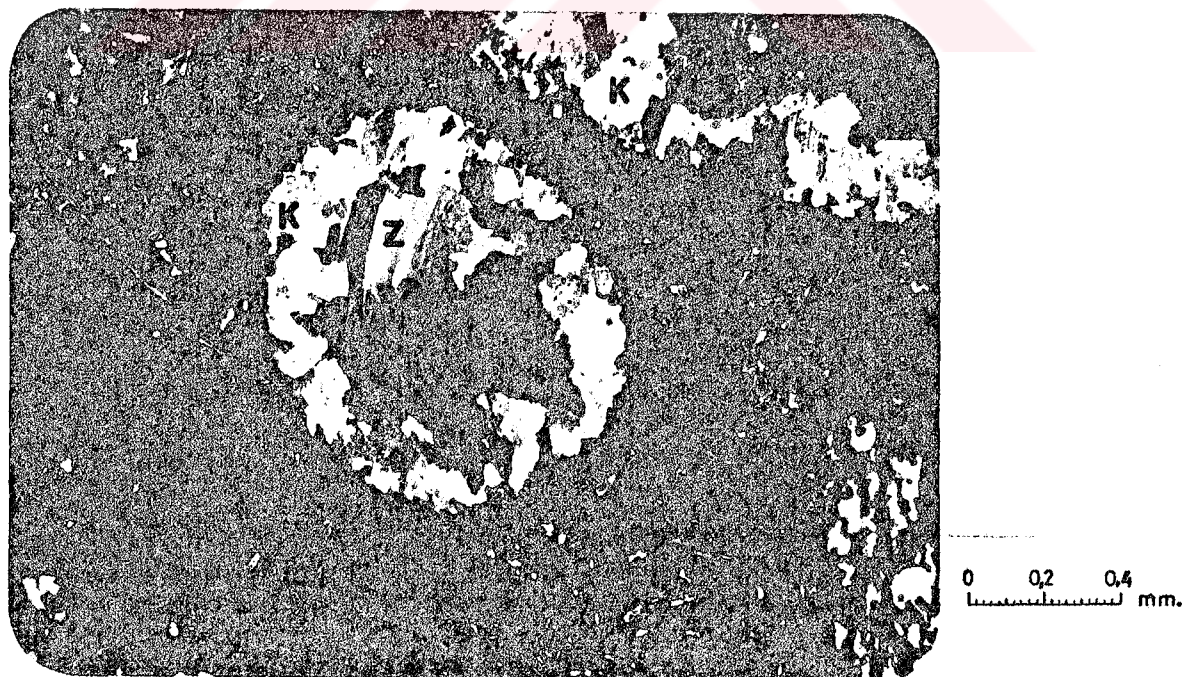


Foto 3.6 : Melyat Formasyonu Bazaltlarının ince kesiti  
(örnek A<sub>11</sub>) K: Kalsit, Z: Zeolit

Böşluklar gelişigüzel ve daireseldir.

Kloritin, bazen plajiyoklaz fenokristallerinin çatlak ve dilinim düzlemleri boyunca yerlesdiği de izlenmiştir.

Hamurun ise mikrolit, bol klorit, piroksen kriptokristalleri yanında opak minerallerden meydana geldiği anlaşılmıştır. Tüm bu bulgular ışığında kayacların bazalt olabileceği kanısına varılmıştır.

$A_1$ ,  $A_{10}$ ,  $A_{12}$  ve  $A_{14}$  no'lu örnekler üzerinde yapılan mikroskopik incelemelerde kayacın, bol miktarda kayac parçaları ile kristal parçalarından meydana geldiği anlaşılmıştır (Foto 3.7).

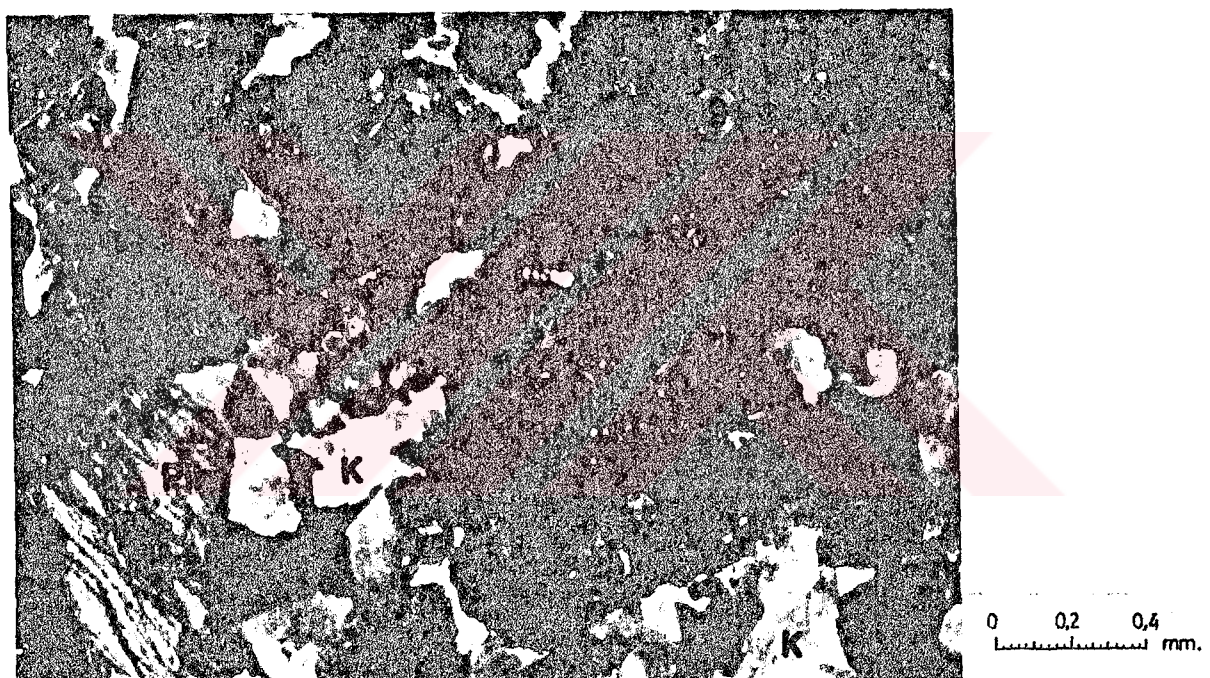


Foto 3.7 : Melyat Formasyonu Litik-kristal tüflerin ince kesiti (Örnek  $A_{10}$ ) K: Kalsit Pir:Piroksen

Kayaç parçalarının çoğulluğu halo-porfirik dokulu olup, hamuru yer yer sadece kloritten, bazen klorite ilaveinden opak mineraller, bazen de mikrolitlerden ibaret olup, bunların karışımından meydana gelen hamurda görülmüştür. Bu hamur içerisinde feno ve mikro piroksen plajiyoklaz ve opak mineraller izlenir. Buradaki piroksen feno ve mikro kristallerinin sferolitler şeklinde ileri derecede kloritleştiği ve yarı opaklaştiği, plajiyoklazların ise zeolitleştiği az da silisleştigi anlaşılmıştır.

Kayaç parçalarının boşluklarında zeolit ve klorit dolgusu görülmüştür.

Ayrıca kayaçta feno ve mikro olivin, piroksen ve plajiyoklaz kristal ve kristal parçaları izlenir. Olivin feno ve mikro kristallerinin yer yer kloritleşmiş olduğu gözlenmiştir. Piroksen kristallerinin ise hem kloritlestiği hem de opaklaştiği, az da silisleştigi anlaşılmıştır. Plajiyoklaz kristallerinin ise zeolitleştigi, albitleştigi ve az da silisleştigi izlenmiştir. Bütün bu mineralleri birbirine bağlayan cimento genelde kalsit olup, yer yer klorit veya opak minerallerdir (Foto 3.7). Cimentoada zeolitleşme izlenmiştir. Bu bulgular ışığında kayaçlara "litik-kristal tuf" adı verilmiştir.

Korkmaz ve Gedik (1988)'in Melyat Formasyonundan saptıkları incekesit sonuçları ile bulduğumuz sonuçlar uygunluk gösterir. Ancak farklı olarak olivin kristalleri saptanmıştır.

Korkmaz ve Gedik (1988) tarafından çalışma sahasında Melyat Formasyonundan alınan örneklerde kimyasal analiz yapılmıştır. Analiz sonuçları aşağıda verilmiştir (Çizelge 3.1).

**Çizelge 3.1 : Melyat Formasyonundan alınan örneklerin kimyasal analiz sonuçları (Korkmaz ve Gedik (1988)'den)**

Oksit ve/veya Element- ler	KAYAC NO		
	Kayaç NO: SK-8 Yer: Pazar-Tünel	Kayaç No: SK-9 Yer: Pazar-Kemer M.	Kayaç No: SK-10 Yer: Çayeli-Tünel
Kimyasal Analiz Sonuçları			
CaO	%7.04	%6.43	%7.60
MgO	%4.05	%9.30	%2.95
Na <sub>2</sub> O	%3.50	%3.07	%3.49
K <sub>2</sub> O	%1.74	%0.65	%2.25
A.Za	%5.65	%8.92	%2.86
FeO	%2.66	%3.97	%3.19
SiO <sub>2</sub>	%50.4	%43.4	%52.0
Al <sub>2</sub> O <sub>3</sub>	%17.3	%13.7	%19
Top Fe <sub>2</sub> O <sub>3</sub>	%8.0	%10.4	%6.9
TiO <sub>2</sub>	%0.7	%0.9	%0.7
MnO	%0.2	%0.2	%0.1
P <sub>2</sub> O <sub>5</sub>	%0.3	%0.2	%0.3
CO <sub>2</sub>	%0.45	%0.58	%0.41
H <sub>2</sub> O	%0.40	%0.74	%0.42

Cizelge 3.1 de bulunan değerler "Siliç bazlı kimyasal sınıflama" için aşağıdaki oranlardan yararlanılmıştır.

1. Asit taşlar : > %66 SiO<sub>2</sub>
2. Nötr (intermediate) taşlar : %66.-52 SiO<sub>2</sub>
3. Bazik taşlar : %52-45 SiO<sub>2</sub>
4. Ultrabazik taşlar : < %45 SiO<sub>2</sub>

Buna göre ortalama %48.6 SiO<sub>2</sub> bulunmuş ve sahaya bazik kayaçların hakim olduğu anlaşılmıştır.

Alt, Üst, Yanal Sınırlar ve Kalınlık : Melyat Formasyonunun alt sınırı çalışma sahası içerisinde izlenmemiştir. Ancak sahanın batısında yer alan Kaplıca formasyonunun üzerine geçişli ve uyumlu geldiği, güneydeki dokanağının ise tektonik olduğu Korkmaz ve Gedik (1988) tarafından ortaya konmuştur.

Melyat Formasyonunun üzerine açısal uyumsuzlukla Sarmaşıyen (Miyosen) yaşı Pazar Formasyonu oturur. Formasyonun kalınlığı en fazla 415 m. olarak saptanmıştır (Ek 3.1, Kesit B-B').

Fosil topluluğu ve yaşı : Formasyonun yaşıni doğrudan verebilecek bir faunaya rastlanamamıştır. Ancak Korkmaz ve Gedik (1988) tarafından Alt-Orta Eosen yaşı Kaplıca Formasyonu ile geçişli ve uyumlu olduğu için aynı yaşı kabul edilmiş ve aynı şekilde benimsenmiştir.

Gökkelme Ortamı : Formasyonun kül boyutundan 1m.'ye kadar varan malzeme ve yer yer lav içermesi volkanızmanın havaya püskürdüğü, yüksek ısılı ve yüksek basınçlı ortamındaki hızlı enerji değişimlerinin bir sonucu olduğunu göstermektedir. Yer yer masif, yer yer de tabakalanma gösteren bu volkanik piroklastik kayaçların muhtemelen yoğun volkanik faaliyetlerin egemen olduğu denizel bir ortamda gelişmiştir.

### 3.3.2. Pazar Formasyonu (Tp)

Tanımı ve Dağılımı : Pazar Formasyonu, çalışma sahasında, Melyat Formasyonunun üzerine uyumsuzlukla gelir.

Cayeli'nin hemen güneyinde ve güneydoğusunda yer alan Ayazlı ve Sabuncular mahallesinde ve Yenipazar mahallesinin kuzeybatısında, Pazar ilçesinin de hemen güneyinde, Soğuksu mahallesini içine alacak şekilde yüzeylenir. Ayrıca yer yer çok az kalınlıklarda ve yayılımda dağınık olarak 110 m.'den

fazla yükseltilerde yer alır. Formasyon en güzel Pazar doyaylarında yüzeylendiğinden Korkmaz ve Gedik (1988) yaptıkları çalışmada "Pazar Formasyonu" olarak adlandırmışlar ve bu adlandırma aynen alınmıştır.

Litolojisi : Formasyon tabanda yer yer kötü boyanma ve kötü tabakalanma gösteren bloklu çakıltası, kumtaşı, Üste doğru ince tabakalı, gevşek çimentolu marn, silttaşısı ve kılıçlı silttaşısı ile en üstte yer yer yanal geçiş özelliği gösteren kırmızı renkli çakıllı kil seviyesi ile son bulur (Foto 3.8).

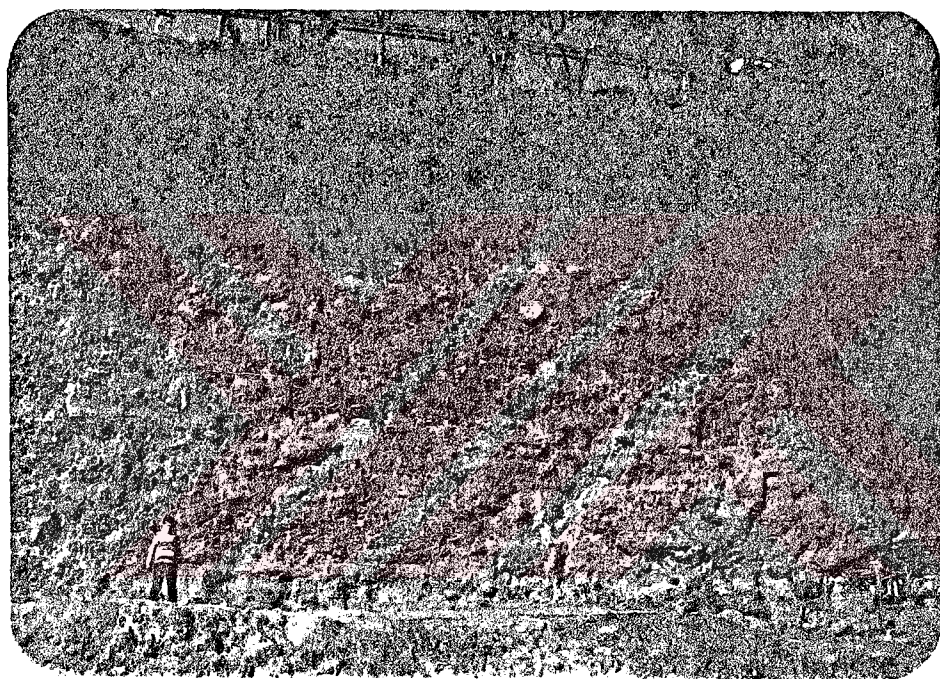


Foto 3.8 : Pazar Formasyonu tabanındaki bloklu çakıltası seviyesinin görünüşü (Cayeli'nde)

Birimin alt ve orta seviyelerinde çok ince bantlı ve mercek şeklinde kömür seviyeleri izlenmiştir. Çakıl boyutları 3 mm. ile 25 cm. arasında değişmektedir. Yer yer 1 m.'ye varan büyük boyutlu bloklar görülür.

Cakılların kökeni ise genelde volkanik olup, Melyat Formasyonundan türemiştir. Bazan derin kökenli kayaçlarından granit cakıllarına da rastlanmaktadır. Bunlar güneydeki plutonik kayaçlardan türemiştir.

Kırmızı renk gösteren çakıllı killerde yine volkanik kökenli malzemenin taşınmasıyla oluşmuşlardır.

Formasyonun çalışma sahasının dışında kalan (özellikle Yukarı Bulıp dere ile Aydın mahallesinin batısı, ana yol kenarları) kumlu ve marnlı düzeyleri bol olarak makro ve mikro fauna içermektedir.

Alt, Üst, Yanal Sınırlar ve Kalınlık : Pazar Formasyonu açısal uyumsuzlukla Melyat Formasyonunun üzerine oturur. Birimi yersel olarak Hamidiye Formasyonu uyumsuzlukla üstler.

Pazar Formasyonu düşey ve yanal yönde litolojik değişimler gösterir. Özellikle açık gri renkli marn ve kumlu silttaşları yanal yönde, üstte doğru kırmızımsı renkli çakılı killere geçmektedir. Birçok yerde üstteki kırmızımsı renkli çakılı killer doğrudan Melyat Formasyonu üzerine gelmektedir.

Formasyonun kalınlığı, yaklaşık en fazla 160 m. olarak ölçülmüştür (Ek 3.1, Kesit A-A').

Fosil Topluluğu ve Yaş : Çalışma sahasında gerek makro ve gerekse mikro çalışmalar sonucu formasyonun doğrudan yaşıını verebilecek bir faunaya rastlanmamıştır. Formasyonun çeşitli yerlerinden alınan örneklerin bazlarında fosil izlerine ve organik kalıntılarla rastlanılmasına rağmen bunlardan herhangi bir yaş tayini yapılamamıştır.

Pazar'ın daha güneyinde Formasyon içindeki makro ve mikro Faunanın ayrıntılı olarak incelenmesi ÖZSAYAR,T.(1977, 1980, 1983,1984), tarafından yapılmış olup, birime Sarmasiyen yaşı verilmiştir. Formasyonun içindeki marnlı düzeylerden derlenen örneklerin paleontolojik incelenmesinde aşağıdaki fosil toplulukları tayin edilmiştir.

*Ervilia cf. trigonula* Sokolov,

*Mohrensternia cf. inflata* (Hörnes),

*Cardium* sp.,

*Gibbula*,

*Gastrapoda*,

*Lamellibranch*,

(Tayin : A.Inal, 1985),

*Delphinus* sp. (cetacea, balinagillerden),

(Tayin : G.G. Sarac, 1985),

Bu tayinlere dayanılarak Pazar Formasyonuna "Sarmasiyen" yaşı verilmiştir.

Korkmaz ve Gedik (1988), tarafından gerçekleştirilen araştırmada da Formasyon daha geniş kapsamlı çalışılmıştır. Formasyonun kömürlü düzeylerinden alınan kömür örneklerinin palinolojik tayinleri yapılarak formasyonun yaşı yine "Sarmasiyen" olarak saptanmıştır.

Palinolojik tayinlerde tanımlanan spor ve polenlerin önemlileri şunlardır:

*Inaporturopollenites dubius* (R.Pot.) pf., Th.

*Pityosporites microalatus* (R.Pot.) pf., Th.

*Triatriopollenites bituitus* (R.Pot.) pf. Th.

*Triatriopollenites myricoides* Kremp.

*Triatriopollenites coryphaeus* (R.Pot.) pf.

*Subtriporopollenites simplex* (R.Pot.) pf. Th.

*Tricolpopollenites retiformis* (pf., Th.)

*Tricolpopollenites microhohrici* (R.Pot.) pf.

*Tricolpopollenites liblarensis* Thomp.

*Tricolpopollenites villensis* Thomp.

*Tricolpopollenites cingulum* (R.Pot.) pf., Th.

*Tricolpopollenites megaexactus* (R.Pot.)

*Tricolpopollenites pseudocingulum* (R.Pot.) pf., Th.

*Tricolpopollenites margaritatus* (R.Pot.) pf.

(Tayin : N. Gülgör, 1986)

Cökelme Ortamı : Pazar Formasyonu, litolojik ve paleontolojik özelliklerden dolayı gittikçe sağlamış denizel bir kıyı ortamında cökelmıştır. Özellikle formasyonun üst düzeylerinde gözlenen yanal ve düşey yöndeği litolojik değişimler birimin Üste doğru flüyyal özellikteki cökellere geçtiğini ve Sarmasiyen (Miyosen) sonunda tamamen karasal bir ortama dönüştüğünü göstermektedir.

### 3.3.3. Hamidiye Formasyonu (Tkḥ)

Tanımı ve Dağılımı : Hamidiye formasyonu, çalışma sahanında, Pazar formasyonu üzerine uyumsuz olarak gelir. Çalışma sahası içerisinde Pazar, Hemşin derenin doğusunda ve Çayeli, Sabuncular deresinin doğusunda olmak üzere iki yerde yüzeylenir. Birim en güzel Hamidiye köyü civarında görüldüğü için KORKMAZ ve GEDIK (1988) tarafından "Hamidiye Formasyonu" olarak adlandırılmıştır ve bu adlandırma tarafımızdan da benimsenmiştir.

Litoloji : Formasyon, kötü boylanma gösteren kum ve kil mercekleri içeren, gevşek cimentolu, bloklu çakıl taşlarından oluşur (Foto 3.9). Çakıl boyutları bir cm.'den 45 cm.'ye kadar değişmektedir.

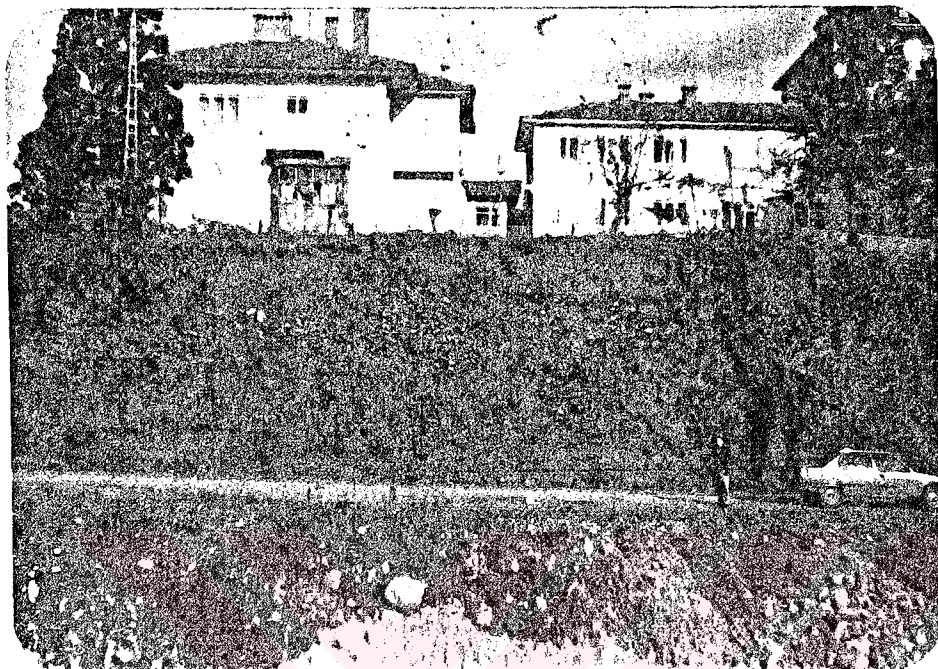


Foto 3.9 : Hamidiye Formasyonunun görünüsü (Pazar'dan Hemsin'e ayrılan yol sevinde)

Alt, Üst, Yanal Sınırlar ve Kalınlık : Hamidiye formasyonunun alt sınırı Sarmasiyen yaşı Pazar formasyonu ile uyumsuzdur. Formasyonu taracıalar uyumsuzlukla üstler. Formasyonun görünüm kalınlığı en fazla 7 m. ölçülmüş olup, daha da fazla olduğu sanılmaktadır.

Fosil Topluluğu ve Yaşı : Formasyonun yaşını doğrudan verebilecek bir faunaya rastlanmamıştır. Sadece bazı organik kalıntılarına rastlanılmıştır (Çayeli-Sabuncular derenin kuzeydogusundaki mostrada).

Birim Sarmasiyen yaşı Pazar Formasyonunu uyumsuzlukla üstlendiği için Pliyo-Kuvaterner (?) yaşında olduğu kabul edilmiştir. Buradaki kabulde. Korkmaz ve Gedik (1988), yaptıkları yayın esas alınmıştır.

Cökelme Ortamı : Formasyonda herhangi bir faunaya rastlanmaması yanısıra litolojik özelliklerinden dolayı birinin karasal bir ortamda (daha ziyade delta ortamında) geliştiği düşünülmüştür.

### 3.3.4. Deniz Taracaları

Çalışma sahası içerisinde, daha önceki çalışmalarla ilaveten iki seviyede taraca gözlenmiş bunlar haritalanmıştır (Ek 3.1).

#### 3.3.4.1. Taraca-1

Tanım ve Dağılımı : Çalışma sahasında Pazar ilçesinin güneyinde, Kukulak, Yeşerti ve Sivrikale mahallelerinin kuzeyinde 80 m. ile 110 m. yükseltileri arasında yer alır.

Litoloji : Taraca-1 kötü istiflenme gösteren gevşek çimentolu, bloklu, çakıl, kum, siltli kum ve çok az killerden oluşur (Foto 3.10).

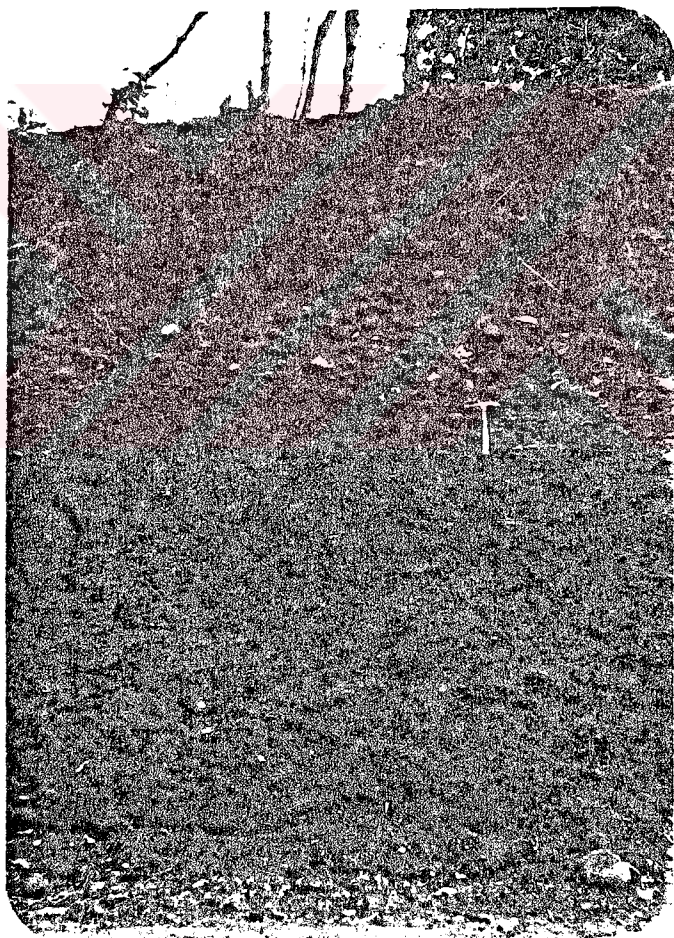


Foto 3.10: Taraca -1'den bir görünüş (Pazar'ın güneyinde)

Cakıl boyutları 1cm.'den 25 cm.'ye kadar değişmektedir. Çakılların cinsi ise; bazalt, dasit ve granittir. Çakıllar genelde yatay konumludur.

Alt, Üst, Yanal Sınırlar ve Kalınlık : Taraça-1 çalışma sahasında melyat ve Pazar Formasyonları üzerine uyumsuzlukla gelir. Bu birimin görünür kalınlığı 6 m. olarak ölçülmüştür.

Fosil Topluluğu ve Yaş : Taraça - 1'in yaşını doğrudan verebilecek bir faunaya rastlanmamıştır. Ancak litolojik özellikler ve konum gözönüne alınarak Kuvaterner yaşında olabileceği kanısına varılmıştır (konu üzerinde ÖZSAYAR, T. görüş birliği sağlanmıştır).

Cökelme Ortamı : Herhangi bir faunaya rastlanılmaması ve malzemenin kaba kırıntılarından meydana gelişinin çok sık ortamında cökeldiğini ortaya koymustur.

#### 3.3.4.2. Taraça - 2

Çalışma sahasında sahil boyunca deniz seviyesinden 9 m. yükseklikte, devlet karayoluna paralel olarak izlenir.

Litoloji : Taraça - 2 tabanda kalınlığı yaklaşık 2 m. ile 5 m. olan, gevşek çimentolu ve kötü boyanmalı, bloklu, kumlu, çakıl seviyesi ile başlar. Üste doğru çakılılı, kumlu silt ve kıl seviyesi gelir (Foto 3.11).



Foto 3.11:Taraça-2'den bir görünüş (Hisarlı Mah.Kuzeyi)

Tabandaki çakilların boyutları 1 cm. ile 25 cm. arasında olup, oval ve elips şekillidirler. Birim genelde yatay konumlu olup, yer yer  $10^{\circ}$ - $15^{\circ}$  arasında KB'ya eğimlidir. Çakillardan alınan örneklerden yapılan ince kesitlerde bunların bazalt ve granit oldukları anlaşılmıştır.

Alt, Üst, Yanal Sınırlar ve Kalınlık : Taraça - 2'nin alt sınırı Taraça-1, Melyat ve Pazar Formasyonları üzerine uyumsuzlukla gelir. Birimin görünür maksimum kalınlığı 65 m. olarak ölçülmüştür.

Fosil Topluluğu ve Yaş : Taraça-2'nin yaşını doğrudan verebilecek bir faunaya rastlanmamıştır. Ancak litolojik özellikler ve konum gözönüne alındığında Kuvaterner yaşında olabileceği kanısına varılmıştır.

Cökelme Ortamı : Taraç-2'de herhangi bir faunaya rastlanılmamıştır. Altta gevşek cimentolu çakıl seviyesi ile bunun üzerine çakılı kumlu silt-kil seviyesinin gelişti cökelmenin önce çok sık bir kıyı ortamında başladığı, sonra göl ortamına geçtiği kanısını doğurmusmuştur.

### 3.3.5. Alüvyonlar

Çalışma sahası içerisinde daha çok büyük dere yatakları ile deniz kıyılarında görülür. Değişik boyutlardan meydana gelen bu alüvyonlar, daha çok çakıl niteligidinde olup, yer yer blok ve iri çakıllar da içerirler.

Sahilden 350 m. güneyde Hemşin deresi üzerinde DILEK (1979), tarafından yapılan rezistivite ölçümü sonucu, alüvyonun yaklaşık olarak 40 m. kadar bir kalınlığa sahip olduğu ortaya konmuştur. Ayrıca ölçü noktasıının yakınından alınan örneğin elek analizinden malzemenin yarısının blok, diğer yarısının da çakıl ve kum, silt ve killerden meydana geldiğini göstermiştir.

Alüvyonların kaynak kayacı, çalışılan birimler ile güneydeki volkano tortul seri ve bu seriyi kesen intrüziflerdir.

### 3.4. Yapısal Jeoloji

Kuzeydoğu Pontid Tektonik Birliğindedeki yer alan çalışma sahasının, bol bitki örtüsü ile kaplı olması yapısal özellikleri gizlemektedir. Yapısal özellikler, yol şevelerde,

bitki örtüsünün bulunmadığı dik yamaç ve dere yatakları ile deniz kenarlarındaki falezlerde izlenebilmektedir.

Çalışma sahasında büyük ölçekli tektonik hareketler izlenmemiştir. Sahaya kırık ve çatlak tektoniği hakim olup, küçük ölçekli normal fayların varlığı ortaya konmuştur. (Ek 3.3).

#### 3.4.1. Tabakalar

Çalışma sahasında Melyat ve Pazar Formasyonlarında tabakalanma izlenmiştir (Ek 3.1 ve Ek 3.3).

Melyat Formasyonundaki tabakalar KD-GB doğrultulu olup, eğimleri GB'yadır. Doğrultu değerleri ise K5°-35°D arasında, eğimleri ise 10°-20° arasında GD'yadır. Pazar Formasyonunda tabakalanmalar KD-GB doğrultulu olup, eğimleri GD-KB'yadır. Doğrultu değerleri K10°-85°D arasında, eğimleri ise 10°-27° GD-KB arasında değişir.

#### 3.4.2. Çatlaklar

Çalışma sahası içerisindeki kayaçlar göz önüne alındığında değişik orijinli çatlaklar gözlenmiştir. Bunlar jeotektonik hareketlere bağlı olanları ki, bu tür çatlaklar her tür kayaçta izlenir. Bunlardan başka bazı yerlerde yük kalkması sonucu oluşan topografya yüzeyine paralel çatlaklar görülür. Diğer bir tür suni çatlaklar ise özellikle yol yapımında ve çeşitli amaçlara yönelik yapılan dinamit patlamaları sonucu oluşur.

Çalışma sahasında görülen kayaclardaki çatlaklar formasyonu temsil edecek şekilde alınmış ve incelenmiştir (Ek 3.3).

Melyat Formasyonundan alınan çatlak ara uzaklığı (Deere 1963'e göre) ve çatlak açıklığı ölçülerine göre kayaç "orta" çatlaklı ve "orta açık" çatlaklı olduğu saptanmıştır. Çatlak ara uzaklıkları 11 cm. ile 300 cm. arasında, çatlak açıklıkları 0.1 mm. ile 8 cm. arasında değiştiği belirlenmiştir. Çatlakların yüzeyde atmosferik etkilerle genişlemiş, derinlere inildikçe açıklıkların daralmakta olduğu arazi gözlemleri sonucu ortaya konmuştur. Çatlakların dolgu türü genellikle kil, kalsit, zeolit yer yer silis ve yer yer de boş oldukları gözlenmiştir. Çatlak yüzeylerinin çoğu pürüzlü ba-

zilarının ise düzgün ve ondülasyonlu (dalgalanmalı) dur.

Melyat formasyonundan alınan 253 çatlak ölçüsünden eşit alanlı projeksiyon ağı yardımıyla kontur diyagramı çizilmiş ve hakim çatlakların doğrultuları K52°B ( $P_1$  ve  $P_1'$  kutuplarının), K81D ( $P_2$  kutpunun), K51°D ( $P_3$  kutpunun) ve K80°D ( $P_4$ , - kutpunun) yönünde sırasıyla 87°KD-GB, 80°KB-GD, 69°GD ve 69° GB ya eğimli oldukları saptanmıştır (Şekil 3.2 ve Şekil 3.3).

Bölgeye etki eden deformasyon kuvvetinin Melyat Formasyonu için K66°B yönünde olduğu görülür (Şekil 3.3).

Ayrıca aynı çatlak ölçülerinden hazırlanan gül diyagramlarında eğim yönünün en çok KD ile GD'ya olduğu ve eğimlerinin ise en fazla 60°-80° arasında değiştiği anlaşılmıştır (Şekil 3.4).

Pazar Formasyonundan alınan çatlak ara uzaklığı (Deere, 1963'e göre) ve çatlak açıklığı ölçülerine göre kayac "çok seyrek" çatlaklı ve "ince - çok ince" açık çatlaklı olduğu saptanmıştır.

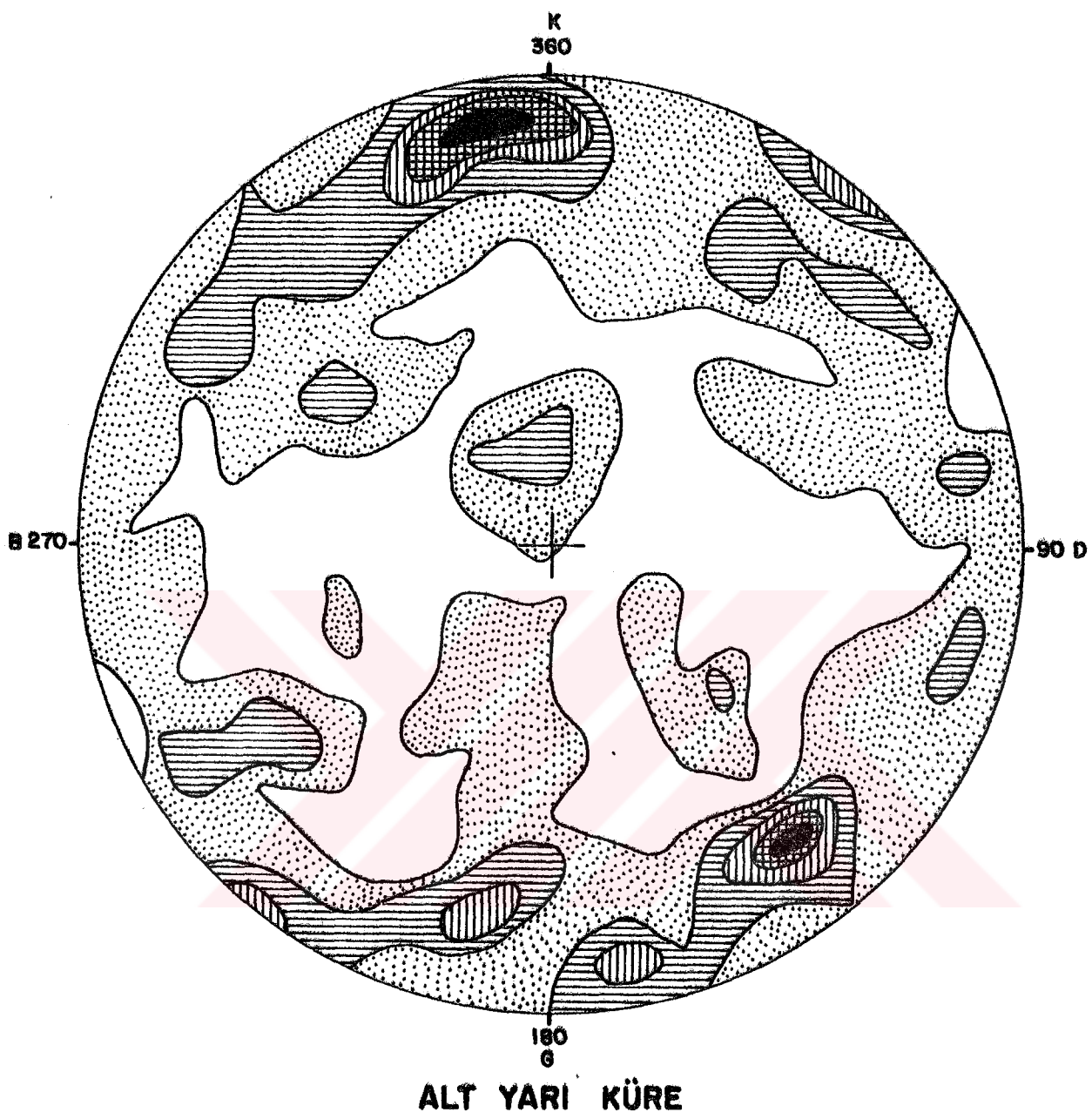
Catlak ara uzaklıklarını 20 cm. ile 300 cm. arasında değiştiği belirlenmiştir. Çatlak açıklıklarının yüzeyden derinlere inildikçe daraldığı arazi gözlemleri sonucu ortaya konmuştur. Çatlaklar genellikle boş olup, yer yer kil ve kalsit dolgulu oldukları gözlenmiştir. Çatlak yüzeylerinin çoğu pürüzlü, bazlarının ise düz ve ondülasyonlu (dalgalanmalı) dir.

Pazar Formasyonundan alınan 50 çatlak ölçüsünden eşit alanlı projeksiyon ağı yardımıyla kontur diyagramı çizilmiş ve hakim çatlak doğrultuları K56°D, K80°B ve K80°D, eğimlerinin ise sırasıyla 86°KB-GD, 87°KD-GB ve 80°KB-GD'ya olduğu saptanmıştır (Şekil 3.5 ve Şekil 3.6).

Bölgeye etki eden deformasyon kuvvetinin Pazar Formasyonu için K79°D olduğu anlaşılmıştır (Şekil 3.6).

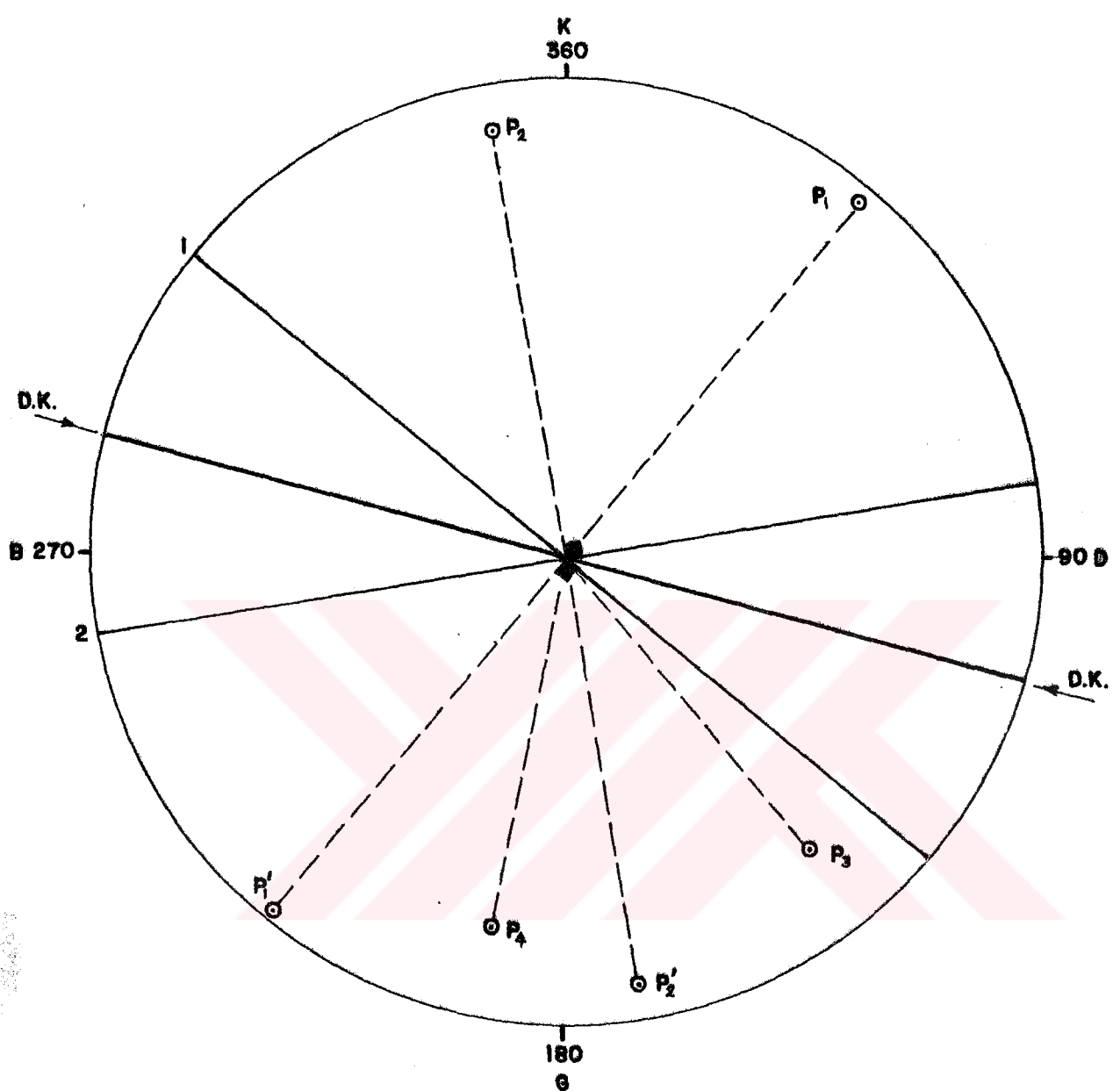
Ayrıca aynı çatlak ölçüsünden hazırlanan gül diyagramlarında eğim yönünün en çok KB'ya olduğu ve eğimlerinin ise en fazla 80°-90° arasında değiştiği anlaşılmıştır (Şekil 3.7).

Gerek Melyat ve gerekse Pazar Formasyonlarından elde edilen maksimum basınc kuvvetleri arasında 28° lik bir açı bulunmaktadır. Bunun nedenleri kısaca şöyle izah edilebilir;



%	> 25	25-20	20-15	15-10	10-5	< 5
İŞARETLER						

**Sekil 3.2 :** Melyat formasyonundan elde edilen 253 çatlak ölçüsünden yararlanarak hazırlanan kontur diyagramı

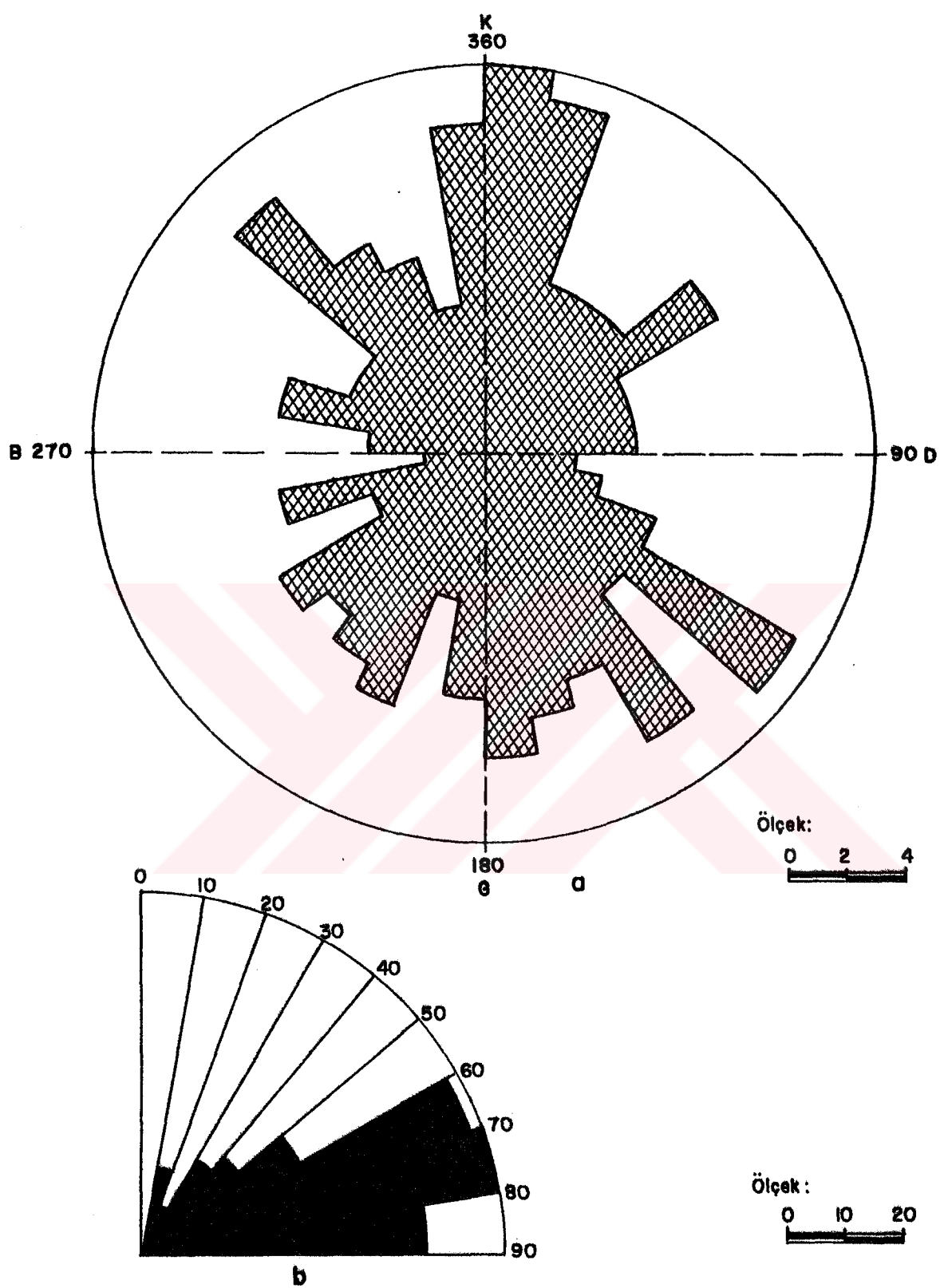


○ : Çatılar takımılarına ait kutup noktaları

1,2 : Çatılar ana doğrultu yönleri

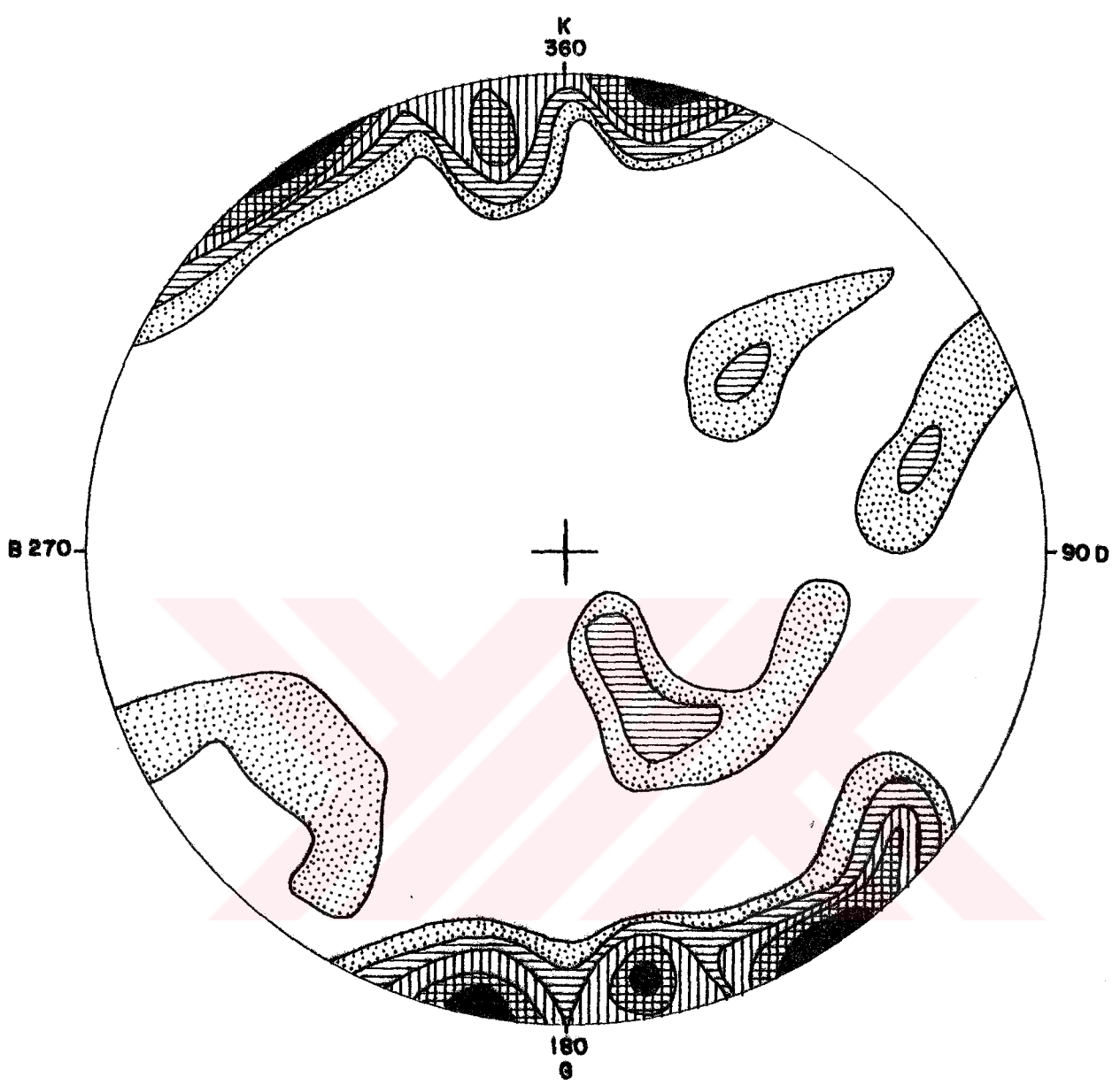
D.K. : Deformasyonu oluşturan basıncı kuvveti

**Şekil 3.3** : Melyat formasyonuna ait 253 çatığın kutup noktalarını birleştiren doğrullularla deformasyonu oluşturan basıncı kuvveti arasındaki ilişki.



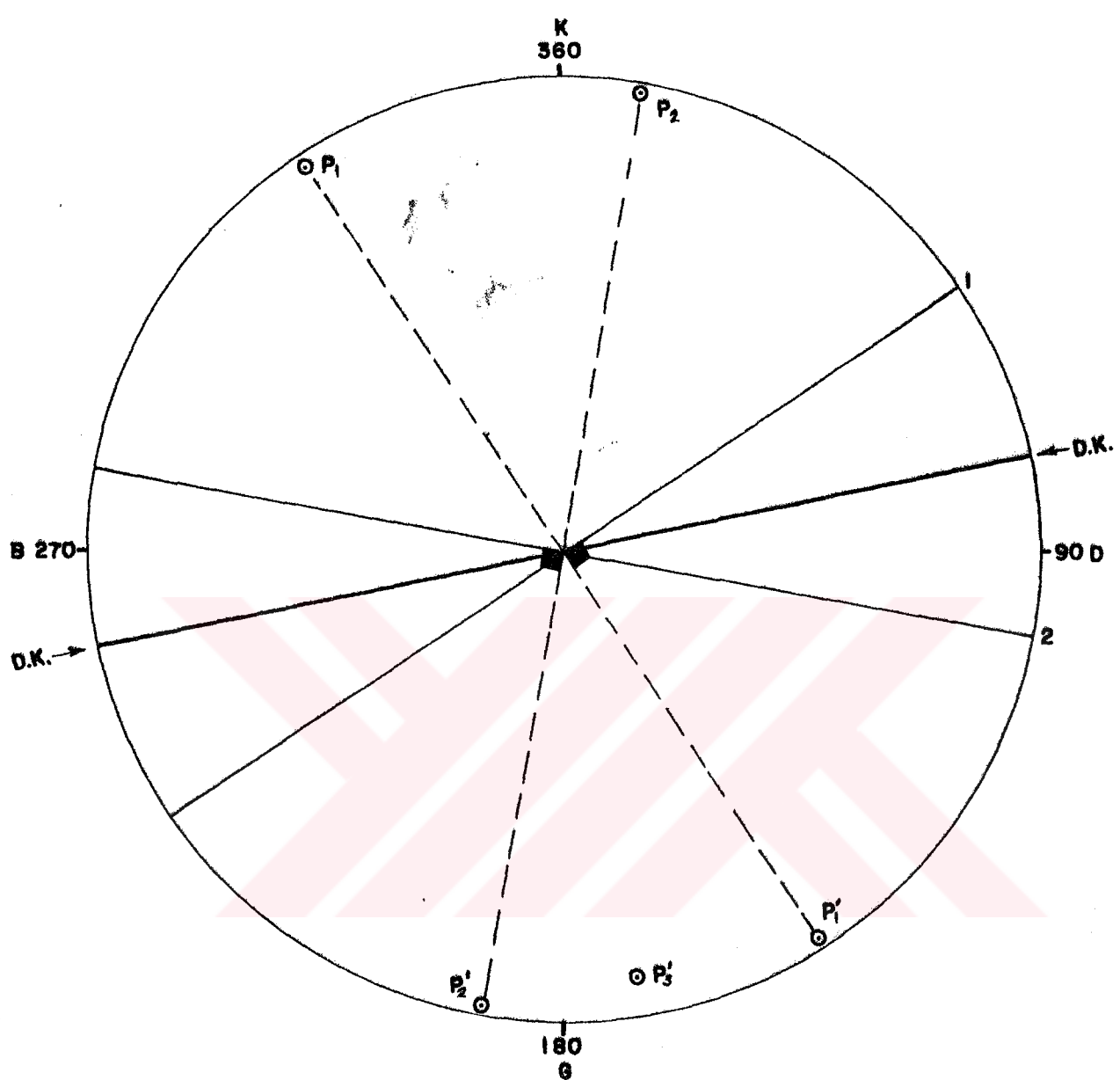
**Şekil 3.4 :** Melyat formasyonundan alınan 253 çatlağın eğim yönü ve eğim açısı değerlerinden elde edilen gül diyagramı:

- a - Eğim yönü açısı gül diyagramı
- b - Eğim açısı gül diyagramı



%	12-10	10-8	8-6	6-4	4-2	< 2
İŞARETLER						

**Şekil 3.8 :** Pazar formasyonundan alınan 50 çatılaç diğesinden yararlanarak hazırlanan kontur diyagramı

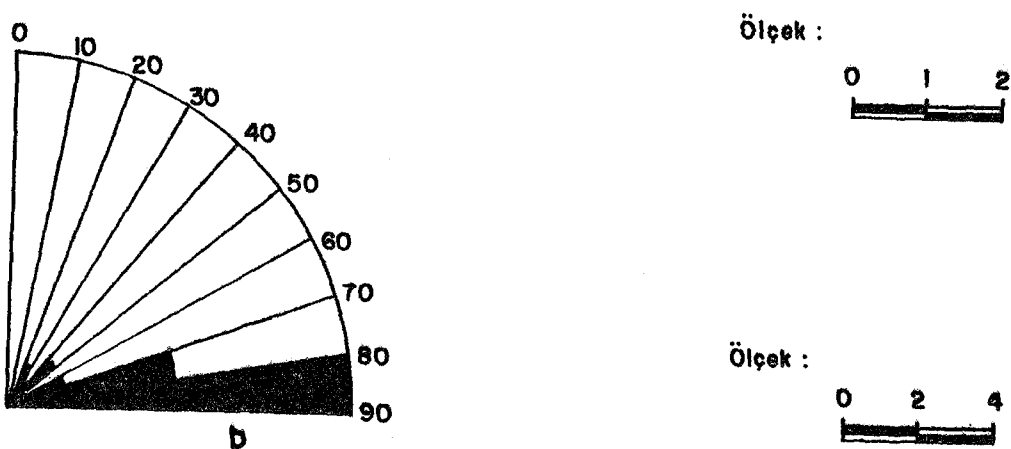
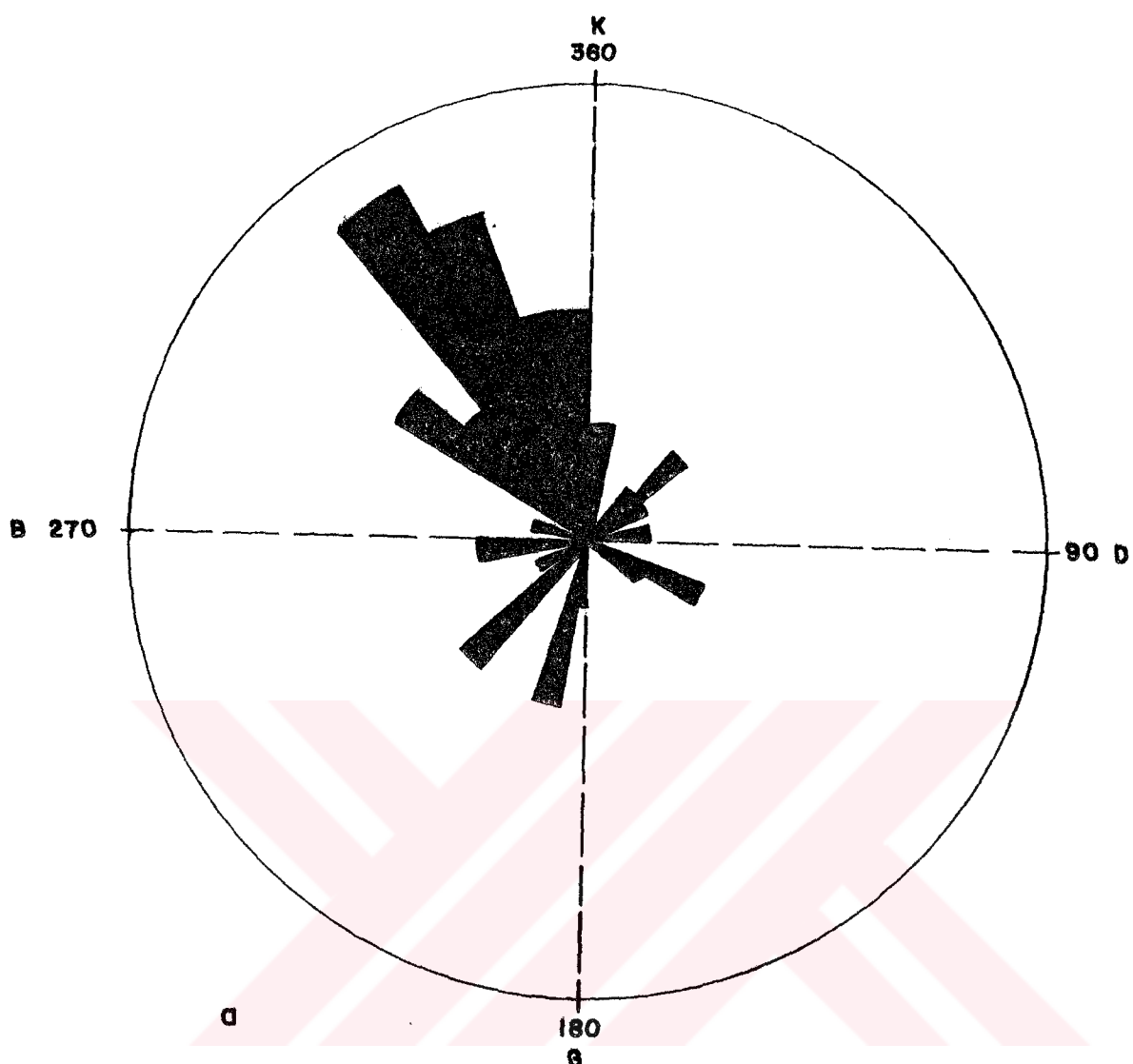


○ : Çatılok takımlarına ait kutup noktaları

$l, 2$  : Çatılok ana doğrultu yönleri

D.K. : Deformasyon oluşturulan basınç kuvveti

Şekil 3.6 : Pazar formasyonunda alt 50 çatloğın kutup noktalarını birleştiren doğrultularla deformasyon oluşturulan basınç kuvveti arasındaki ilişki.



**Şekil 3.7 :** Pazar formasyonundan alınan 50 çatılığın eğim yönü ve eğim açısı değerlerinden elde edilen güл diyagramları

**a :** Eğim yönü açısı güл diyagramı

**b :** Eğim açısı güл diyagramı

- Her iki formasyondan alınan ölçü sayısı eşit değil,
- Kontur diyagramlarında bütün makaslama kırıklarının yatay basınc gerilmesiyle oluştuğunun kabul edilmesi,
- Pazar formasyonu etkileyen deformasyon kuvveti aynı zamanda Melyat Formasyonunu da etkilemiştir.

#### **3.4.3. Faylar**

Çalışma sahasında üç küçük fay saptanmıştır. Fayların graviteye bağlı olarak gelişikleri sanılmaktadır (Ek 3.3).

##### **E<sub>1</sub> Fayı :**

Doğrultusu K60°B olup, eğimi 76°GB'dır. Çayeli'nden 6. km.'re Pazar'a doğru ana yol şevidinde izlenmekte ve Meydan mahallesine kadar devam edebileceği düşünülmektedir (Ek 3.3).

Fay düzlemi boyunca yer yer kertikler yanında ayırtma da izlenir.

##### **E<sub>2</sub> Fayı :**

Doğrultusu K59°B olup, eğimi 77°GB'dır. F<sub>1</sub> fayının 250 m. kuzeydoğusunda yer alır. Sahil yolu şevidinde dik vadi oluştururan bu fayın iç kısımlara fazla devam etmediği sanılmaktadır. (Ek 3.3).

Fay düzlemlerinde çertikler açıkça izlenmekte, ayırtma ise yüzeyler boyunca geliştiği görülmüştür.

##### **E<sub>3</sub> Fayı :**

Doğrultusu K41°D olup, eğimi 75°GD'yadır. Çayeli tüneline 150 m. Pazar'a doğru sahil yolu şevidinde gözlenir ve yaklaşık 1km. iç kısma devam ettiği sanılmaktadır (Ek 3.3).

## BÖLÜM 4

### ÇAYELİ-PAZAR (RİZE) ARASI ANA YOL ŞEVLERİNİN MÜHENDİSLİK ÖZELLİKLERİ

#### 4.1. Giriş

Bu bölümde Çayeli-Pazar (RİZE) arasında yer alan sahil yolu şeveleri mühendislik jeolojisi açısından incelenmiştir. Bunun için kayac ve zeminler üzerinde gerek arazide gerekse laboratuvara bir çok deney yapılmıştır. Kayaçlar üzerinde kaya mekanığı, zeminler üzerinde ise zemin mekanığı deneyleri yapılarak fiziksel ve mekanik özelliklerini araştırılmıştır.

#### 4.2. Jeoloji

Çalışma sahasında, mühendislik jeolojisi incelenen yol şevelerdeki birimler; Melyat, Pazar Formasyonları ve Taraça -2' dir.

#### 4.3. Mühendislik Özellikleri

Çalışma sahasında ana yol şevelerdeki kayaçların yapısal, fiziksel, mekanik ve ayrisma özellikleri araştırılmıştır. Ayrıca zeminlerin fiziksel ve mekanik özellikleri yanında kil minerallerinin tayini de yapılmıştır.

##### 4.3.1. Yapısal Özellikler

Çalışma sahasında yol şevelerdeki kayaçların (volkanik piroklastiklerin ve bloklu çakıltaşlarının) yapısal özelliklerinden tabaka kalınlıkları, çatlak ara uzaklığı, çatlak açıklığı, çatlak dolgu ve türleri, çatlak yüzey pürüzlülükleri ve dalgalanmaları araştırılmış olup, bu özellikler sayısal olarak ortaya konmaya çalışılmıştır.

#### 4.3.1.1. Tabaka Kalınlığı

Tabaka kalınlığı, tabakalanma düzlemleri arasındaki dik mesafeden hareket edilerek bulunmuştur.

Çalışma sahasında genelde masif ve yer yer tabakalanma gösteren Melyat Formasyonu ile genelde tabakalanma gösteren ve Pazar Formasyonunda ölçülen tabaka kalınlıkları Çizelge 4.1'de verilmiştir.

**Cizelge 4.1 : Melyat ve Pazar Formasyonlarının yol şevlerinde ölçülen tabaka kalınlığı değerlerinin dağılımı**

Tabaka Kalınlığı (cm.)	Kayaç Tanımı Deere(1963)	Melyat Formasyonu (Bazaltik lav,tüf, bres,aglomera)		Pazar Formasyonu (Bloklu çakıltaşısı kumtaşı, marn)	
		Ölçü Sayısı	%	Ölçü Sayısı	%
>300	Çok kalın tabakalı	18	37,5	6	13,33
300-100	Kalın tabakalı	9	18,75	9	20
100-30	Orta tabakalı	6	12,5	11	24,44
30-5	Ince tabakalı	10	20,83	9	20
< 5	Çok ince tabakalı	5	10,42	10	22,22
<b>Toplam</b>		<b>48</b>	<b>100</b>	<b>45</b>	<b>99,99</b>

Cizelge 4.1. incelendiğinde Melyat Formasyonunu oluşturan volkanik piroklastik kayaçlar genelde "çok kalın ve ince" tabakalı kaya sınıfında yer aldıkları görülmektedir. Pazar Formasyonunda ise genelde "orta ve çok ince" tabakalı kaya sınıfında yer almaktadır.

#### 4.3.1.2. Çatlaklar

Yol şevlerindeki egemen süreksizlikleri çatlaklar oluşturur. Çatlaklar mühendislik jeolojisinde son derece önemlidirler. Kayaçların fiziksel, mekanik ve elastik özelliklerini etkilerler ve ayrışmaya neden olurlar.

#### 4.3.1.2.1. Çatlak Ara Uzaklılığı

Kayaçların içerdigi çatlak takımları ayrı ayrı ele alınmış, mühendislik açısından, bu tür kayaçların davranışları tabakalı kayaçların davranışına benzetilmiş ve çatlak ara uzaklıkları tabaka kalınlığı gibi düşünülmüştür. Bu düşünceden hareketle pekçok araştırmacı tarafından çatlak ara uzaklığı, sınıflandırma parametresi olarak kullanılmış ve kayaçları sınıflandırmıştır. Yapılan sınıflandırmalar tabaka kalınlığına göre yapılanlara benzemektedir.

Bir çatlak takımında, iki çatlak arasındaki dik uzaklık olarak tariflenen çatlak ara uzaklığı, çatlakların iyi izlenebildiği şev ve mostralarda ölçülmüştür.

Çalışma sahasında çatlaklı yapı gösteren Melyat Formasyonu ile Pazar Formasyonuna ait ölçülen çatlak ara uzaklıkları belli aralıklarda gruplandırılarak sonuçları Çizelge 4.2'de verilmiştir.

Cizelge 4.2 incelendiğinde Melyat Formasyonunu oluşturan volkanik piroklastik kayaçlar genelde "orta ve seyrek" çatlaklı, Pazar Formasyonunu oluşturan bloklu çakıltaşları seviyesinde izlenen çatlak ara uzaklıkları ise genelde "çok seyrek ve seyrek" çatlaklı kaya sınıfında yer alırlar.

**Cizelge 4.2 : Melyat ve Pazar Formasyonlarının yol şevlerinde ölçülen çatlak ara uzaklığı değerlerinin dağılımı**

Çatlak Ara Uzaklılığı cm.	Kaya Sınıfı Deere (1963)	Melyat Formasyonu Bazaltik, lav, tüf, breş, aglomera		Pazar Formasyonu Bloklu çakıltaşları	
		Toplam Sayı	Dağılım %	Toplam Sayı	Dağılım %
>300	Çok seyrek çatlaklı	21	20,19	18	31,03
300-100	Seyrek çatlaklı	25	24,04	14	24,14
100-30	Orta çatlaklı	42	40,38	13	22,41
30-5	Sık çatlaklı	16	15,39	8	13,79
< 5	Çok sık çatlaklı	-	-	5	8,62
<b>Toplam</b>		<b>104</b>	<b>100</b>	<b>58</b>	<b>99,99</b>

#### 4.3.1.2.2. Çatlakların Açıklık, Dolgu ve Türleri

Kayaçların içerdigi çatlaklıarda, aynı çatlağın iki duvarı arasındaki dik uzaklığa "çatlak açılığı" denir. Çatlak açıklıkları dolgusuz, dolgulu yada yarı dolgulu oldukları izlenmiştir. Dolgu maddesi kıl, silt, kalsit, zeolit ve kuvars'tır. Çatlakların dolgu türleriyle birlikte dolgu kalınlıkları özellikle mühendislik jeolojisi problemlerinde, maliyet, emniyet ve inşa süresi üzerinde önemli rol oynamaktadır.

Çatlak ara uzaklıklarını ölçülürken çatlak açıklıkları, dolguları ve türleri de ölçülmüş ve incelenmiştir. Gerek Melyat gerekse Pazar Formasyonuna ait çatlaklıarda ölçülen çatlak açıklıkları Cizelge 4.3'de verilmistir.

Cizelge 4.3 incelendiginde Melyat Formasyonu coğunlukla "ince ve orta" Pazar Formasyonu ise "ince ve çok ince" çatlak açılığı gösteren kaya sınıfında yer aldıkları anlaşılır.

**Cizelge 4.3: Melyat ve Pazar Formasyonlarının yol sevelinde çatlak açılığı değerlerinin dağılımı**

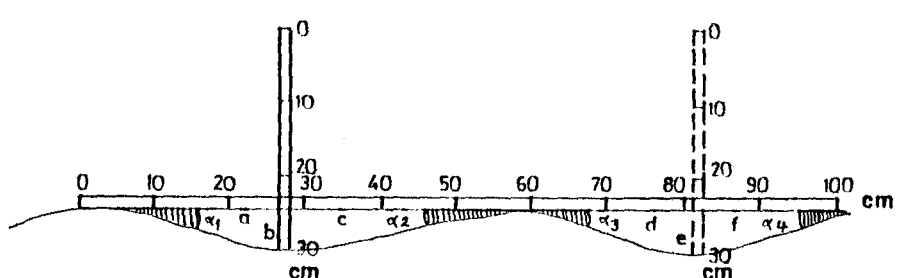
Çatlak Açılığı (mm.)	Kaya Sınıfı	Melyat Formasyonu Bazaltik, lav, tuf, bres, aglomera		Pazar Formasyonu Bloklu çakıltasları	
		Ölçülen Sayı	%	Ölçülen Sayı	%
0	Çatlaksız kaya	-	-	-	-
0-0,1	Cok ince çatlaklı ka.	13	20	15	28,30
0,1-1	Ince çatlaklı kaya	22	35,48	16	30,19
1-5	Orta çatlaklı kaya	15	24,19	14	26,42
< 5	Açık çatlaklı kaya	12	19,35	8	15,09
<b>Toplam</b>		<b>62</b>	<b>99,99</b>	<b>53</b>	<b>100</b>

#### 4.3.1.2.3. Çatlak Yüzü Pürüzlülükleri ve Dalgalanmaları

Çatlak yüzeylerinin iki özelliği olan dalgalanma ve pürüzlülük PIETEAU (1970) tarafından tanımlanmıştır. Bu özellikler kayaçların deformasyonu esnasında oluşmuş ve sürekli yüzeylerindeki sürtünme direncini etkilerler.

Çalışma sahasındaki Melyat ve Pazar Formasyonlarının içerdigi çatlak yüzeyleri degisik özellikler göstermektedir. Bazı çatlak yüzeyleri düz, baziları kayma izli ve genellikle de pürüzlüdür. Çatlak yüzeylerinde bu özelliklerin yanında dalgalanma (ondülasyon) da izlenmektedir. Bu özelliklerin en güzel görüldüğü yerler yol şevidir. Çatlak yüzeyleri doğal özelliklerini yağmur ve diğer etkenlerle kaybetmişlerdir. Çatlak yüzeyi pürüzlülüğü yol şevidindeki çatlak yüzeylerinde araştırılmıştır. Pürüzlülük PIETEAU (1970)'nun makroskopik gözlemlere dayanarak vermiş olduğu sınıflamaya göre yapılmıştır. Bu sınıflamaya göre çatlak yüzeylerinin genellikle "hafif ve orta" pürüzlü oldukları anlaşılmıştır.

Catlak yüzeylerindeki dalgalanmaların ölçülmesi için birbirine dik şekilde hareket eden iki cetvelden yararlanılmıştır. Bunun için 1 m.lik cetvel ile buna dik olarak tutulan 30 cm. uzunlukunda ikinci bir cetvel kullanılmıştır. 1m.lik cetvel çatlak yüzeyinde, dalgalanmaların eksene dik gelecek şekilde tutulmuş ve düşey 30 cm.lik cetvelden yararlanarak Şekil 4.1'de görüldüğü gibi her eksen arasında kalan yatay mesafenin bogum noktasından itibaren her iki tarafında kalan mesafeler ölçülür. Bogum noktasının derinliğinin (b) yatay mesafelere olan (a) oranlarındaki dalgalanmaların acıları trigonometrik bağıntıları yardımıyla bulunmuştur.



$$\operatorname{tg} \alpha_1 = \frac{b}{a}$$

$$\operatorname{tg} \alpha_2 = \frac{b}{c}$$

$$\operatorname{tg} \alpha_3 = \frac{e}{d}$$

$$\operatorname{tg} \alpha_4 = \frac{e}{f}$$

Şekil 4.1 : Çatlak yüzeylerindeki dalgalanmanın ölçülmesi

Melyat Formasyonunda açılan şevelerden (Kaya Sevi-1 ve Kaya Sevi-2'de) ve Pazar Formasyonuna ait bloklu çakıl taşlarının çatlak yüzeylerinin (ondülesyonlu) yapıları da Şekil 4.1'e göre ölçülmüş ve elde edilen sonuçlar Çizelge 4.4'de verilmiştir.

**Cizelge 4.4 : Melyat ve Pazar Formasyonlarına ait kayaçlarda ölçülen pürüzlülük değerleri**

Kayaç Türü	Ölçü Sayısı	Pürüzlülük Açısı		
		Max.	Min.	Orta
Bazaltik lav,tüp, bres ve aglomeralar	37	18.2°	1,5°	7°
Bloklu çakıllar	21	13°	1°	3,2°

#### 4.3.1.2.4. Kaya Kalitesi Özelliği (R.Q.D.)

Melyat ve Pazar Formasyonlarına ait kayaçların kaya kalitesi özelliği Priesnt ve Hudson (1976) tarafından önerilen aşağıdaki eşitlik kullanılarak hesaplanmıştır.

$$RQD = 100 \cdot e^{-0.1 \cdot (0,1 \cdot +1)}$$

Burada; : 1 m.deki ortalama çatlak sayısı.

Formasyonlarda 1 m.deki ortalama çatlak sayısı ve bulunan RQD (%) değerleri Çizelge 4.5'de verilmiştir.

**Cizelge 4.5 : Melyat ve Pazar Formasyonlarında 1 m.lik zonlardaki çatlak sayıları ve bulunan RQD (%) değerleri ortalamaları.**

Formasyon	Kayaç Türü	1 m.deki ortalama çatlak sayısı	RQD %
Melyat	Bazaltik lav,tüp, bres ve aglomera	5.2	90
Pazar	Bloklu Çakıltaşısı	3.3	96

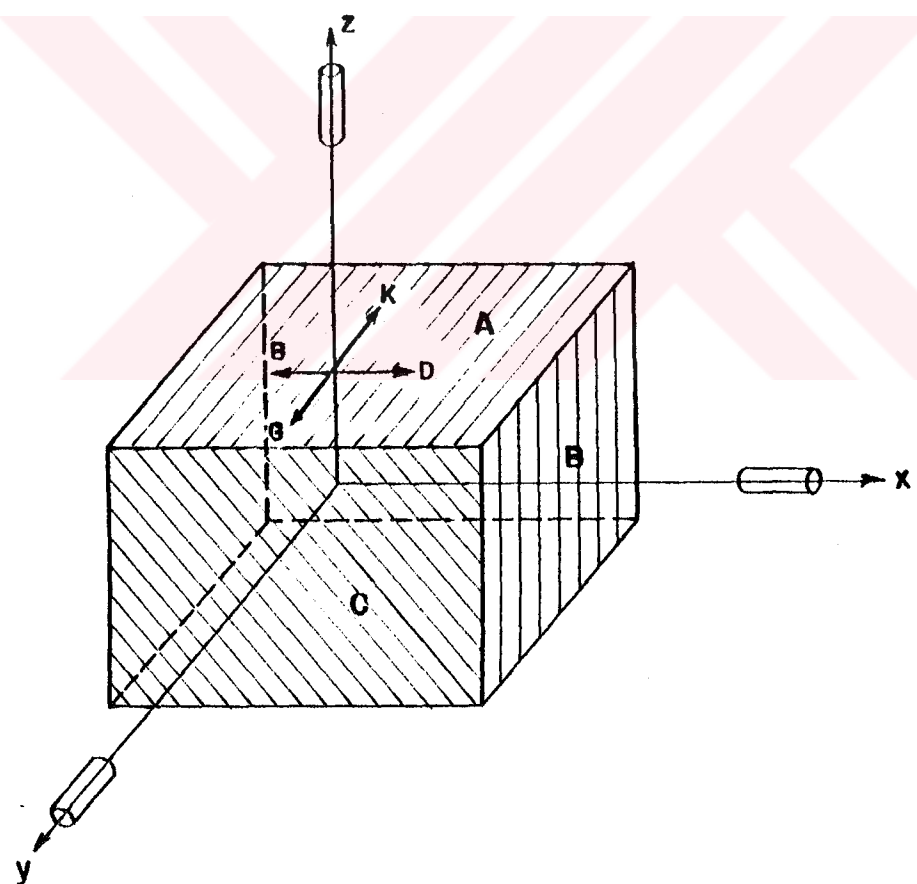
Cizelge 4.5 incelendiğinde bulunan RQD(%) değerleri, Deere(1963) tarafından verilen RQD sınıflaması ile karşılaştırıldığında Melyat ve Pazar Formasyonlarına ait kayaçların "çok iyi" kaliteli kaya sınıfında yer aldıkları görülür.

#### 4.3.2. Fiziksel Mekanik ve Elastik Özellikler

Çalışma sahası içerisinde yol şeritlerindeki kayaç ve zeminlerin fiziksel, mekanik ve elastik özellikleri laboratuvarda yapılan deneylerle araştırılmıştır. Deneylerde, Türk Standardları 1978, 699, UDK 962-2 "Doğal Yapı Taşları Muayene ve Deney Esasları" uygulanmıştır.

##### 4.3.2.1. Kayaç Örneklerinin Hazırlanması

Kaya Sevi-1 ve Kaya Sevi-2'deki kayaçların fiziksel ve mekanik özelliklerini araştırmak için arazide konumlu kuzey yönünün işaretlenmesi ile belirtilen yaklaşık 45x50x30 cm. boyutlu bloklar laboratuvara taşınmıştır. Şekil 4.2'de görüldüğü gibi alınan örnekler birbirine dik yöndedir.



Şekil 4.2 : Kaya bloklarında yönlü örnek alınması

A yüzü K-G, D-B yönlerinin belirttiği düzlemede B yüzü, K-G yönüne dik D-B yönüne paraleldir. C yüzü ise K-G yönüne paralel D-B yönüne diktir. Bloklardan laboratuvar tipi karot alma makinası yardımıyla toplam 127 karot alınmıştır (Foto 4.1).

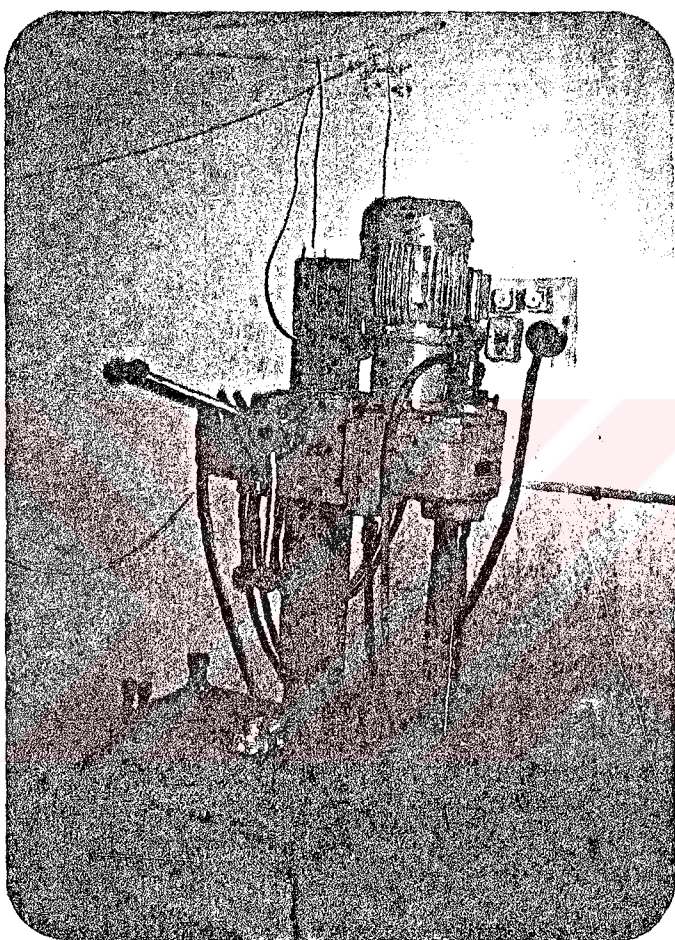


Foto 4.1 : Laboratuvar Tipi Karot Alma Makinası

Karotların çapları 38 mm. ile 31 mm. olup, boyutları çaplarının iki katı olacak şekilde taş kesme makinasında kesilmiştir (Foto 4.2). Karot uçları (cutrock) makinası ile kesilmiş ve birbirlerine paralelligi sağlanmıştır (Foto 4.3 ve Foto 4.4).

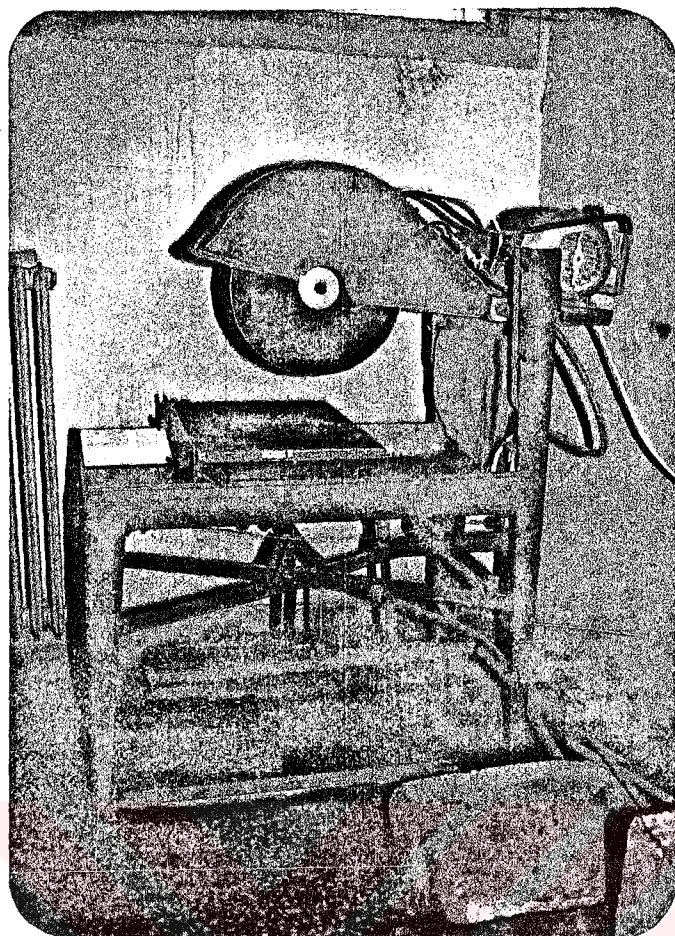


Foto 4.2 : Karot Ucu Kesme Makinası

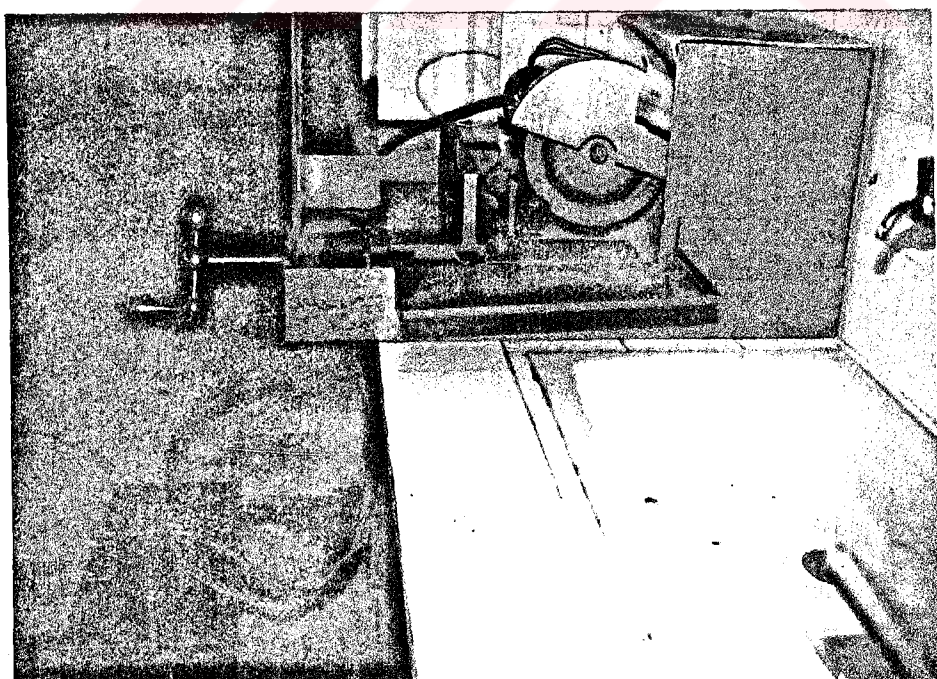


Foto 4.3 : Karot Ucu Kesme ve Düzeltme Makinası

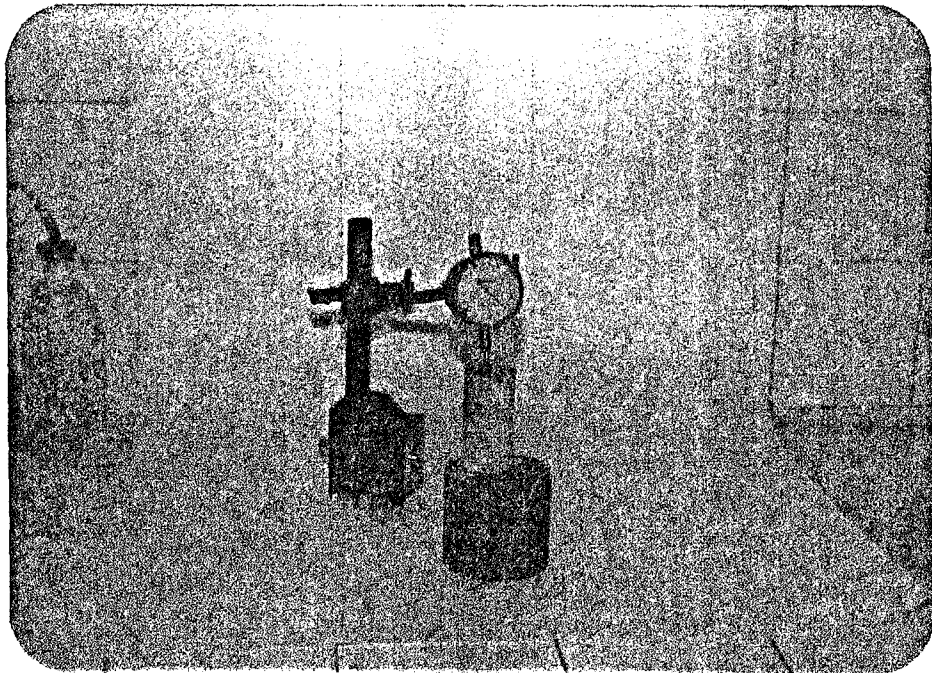


Foto 4.4 : Karot Yüzey Pürüzlülüğü ve Paralelliginin Komperatör ile Kontrolü

#### 4.3.2.1. Kayaçların Fiziksel Özellikleri

Hazırlanan karot örnekleri arı suda (48 saat) ve etüvde de degismez ağırlığa kadar (24 saat) bekletilerek doygun ve kuru ağırlıkları bulunmuştur.

Özgül ağırlık ise piknometre deneyleri yapılarak bulunmuştur.

Deney örneklerine ilişkin kullanılan simgeler şunlardır;

Örnek çapı ( $d$ ), mm

Örnek boyu ( $l$ ), mm

Kuru ağırlık ( $W_k$ ), gr

Doygun ağırlık ( $W_d$ ), gr

Özgül ağırlık ( $G$ )

Bu verilerden hareket edilerek kayaçların;

Kuru birim hacim ağırlığı  $B_k = W_k/V$  (gr/cm<sup>3</sup>) ,

Doygun birim hacim ağırlığı  $B_d = W_d/V$  (gr/cm<sup>3</sup>) ,

Porozite  $P = (1-B_k/G) \times 100$ ,

Böşluk oranı  $e = (P/1-P) \times 100$ ,

Ağırlıkça su emme  $g_s = W_d - W_k / W_k \times 100$  ,

Hacimce su emme  $h_v = B_k \times G \times 100$

değerleri bulunmuş (Ek 4.1) ve ortalama değerler çizelge 4.6'da verilmiştir.

**Cizelge 4.6 : Tüf ve Litik- Kristal Tüflerin Fiziksel Özelliklerinin Ortalama Değerleri**

Kayaç Türü	Örnek Sayısı	Bk gr/cm <sup>3</sup>	Bd gr/cm <sup>3</sup>	G	p %	hv %	gs %	e %
TÜF	24	2.00	2.17	2.65	24.68	17.5	8.75	32.77
LİTİK KRİSTAL TÜF	23	2.20	2.32	2.65	16.88	11.15	5.07	20.31

Cizelge 4.6 incelendiğinde kayaçların poroziteye bağlı olarak hacimce su emme oranlarının yüksek olduğu görülür.

#### SERTLİK

Laboratuvara sertlik, "Schmidt çekici" ile ölçülmüştür. Alet, kayaçlar üzerine bir yay yardımı ile fırlatılan silindirik çubukun geritepmesi esasına göre ölçü yapmaktadır. Deney sonuçları alet üzerindeki göstergeden okunur. Araziden alınan kaya bloklarının, laboratuvara, her yüzünde (A,B,C) blok kenarlarında ve ortasında olmak üzere Schmidt çekici geritepme sayısı ölçülmüştür. Aynı noktada 12 geritepme sayısı okunmuş ve ortalanması bulmuştur. Alınan kaya bloklarında aynı yüzeye ait ortalamalar cizelge 4.7'de verilmiştir.

**Cizelge 4.7 : Tüf ve Litik-Kristal Tüflerden Alınan Bloklarda Schmidt Çekici Geritepme Sayısı Ortalama Değerleri**

Kaya Türü	Yüzey A,B,C	Ö Z E L L İ K		
		Geritepme Sayısı (R)	Genel Ortalama	En fazla Anizotropi
TÜF	A	24		
	B	27	27	1.2
	C	29		
LİTİK- KRİSTAL TÜF	A	30		
	B	29	30	1.1
	C	32		

Cizelge 4.7'deki değerler incelendiğinde De Beer (1967)'in Schmidt çekici geritepme sayısını gözönünde bulundurarak yaptığı sınıflama ile karşılaştırıldığında litik-kristal tüfler "sert kaya" tüfler ise "yumuşak kaya" sınıfında yer aldığı anlaşıılır.

#### 4.3.2.3. Kayaçların Mekanik Özellikleri

Kayaçların mekanik özelliklerinden basınç dirençleri, indirekt çekme dirençleri, üç eksenli basınç dirençleri ve bunlardan yararlanılarak kayacın içsel sürtünme açısı ( $\theta$ ) ve kohezyonu (c) bulunmuştur. Bunun için kaya bloklarının her yüzünden olmak üzere toplam 84 örnek deneye tabi tutulmuştur.

##### 4.3.2.3.1. Tek Eksenli Basınç Direnci

Tek eksenli basınç direnci deneyinde, bloklardan A,B,C yüzeylerine dik olarak alınmış 38 mm. çaplı, 76 mm. uzunluğunda silindirik deney örnekleri kullanılmıştır. Her yüzey için 5 kuru 5 de dolgun olmak üzere toplam 60 örnek üzerinde deney yapılmıştır. Karotlar oynar başlıklı hidrolik basınç aletinde kırılıncaya kadar kuvvet uygulanmıştır (Foto 4.5). Uygulanan yükün hızı koronometreden ölçülmüş ve deneylerde yükleme hızı birliği sağlanmıştır. Yükleme hızı çoğunlukla  $90 \text{ kg/cm}^2/\text{dk.}$  olmuştur. Deneylerde kırılmalar genellikle ters koni biçiminde gerçekleştiği Foto 4.6 ve Foto 4.7'de görülmektedir. Bazı örneklerin dolgusuz mükrofissürler boyunca kırıldıkları anlaşılmıştır (Foto 4.6 ve Foto 4.7).

Deneylerde karot örneklerinin kırılma anındaki basınç kuvvetleri göstergeden okunmuş ve tek eksenli basınç direnci aşağıdaki eşitlik yardımıyla bulunmuştur.

$$\sigma_b = F/A$$

Formülde,

$\sigma_b$ : Gerçek basınç direnci,  $\text{kg/cm}^2$

F : Kırılma anındaki yük, kg

A : Basıncın uygalandığı yüzey alanı  $\text{cm}^2$

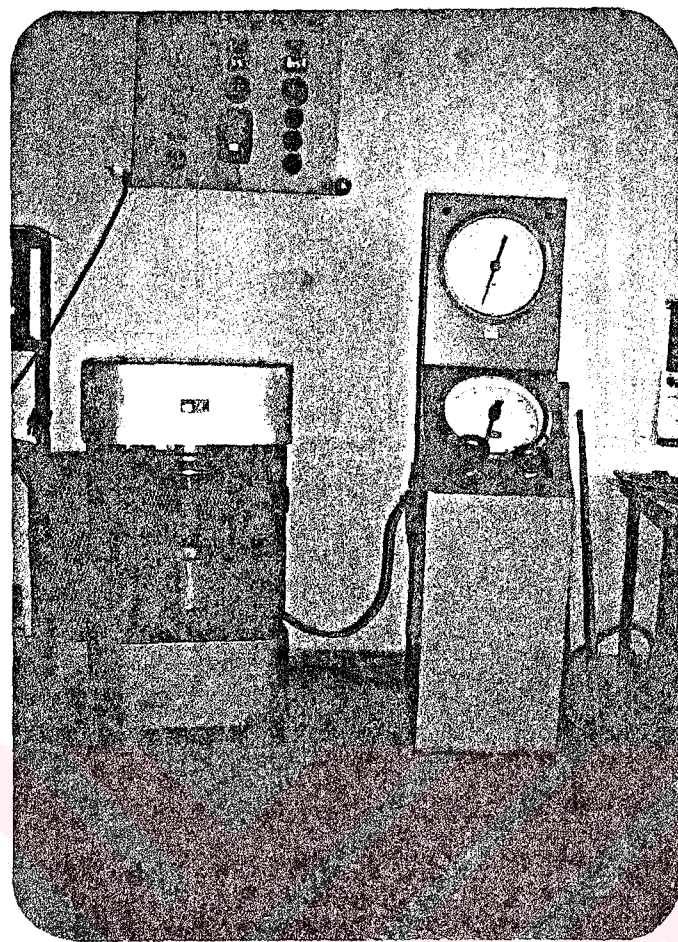


Foto 4.5 : Tek Eksenli Basınç Deney Düzenegi

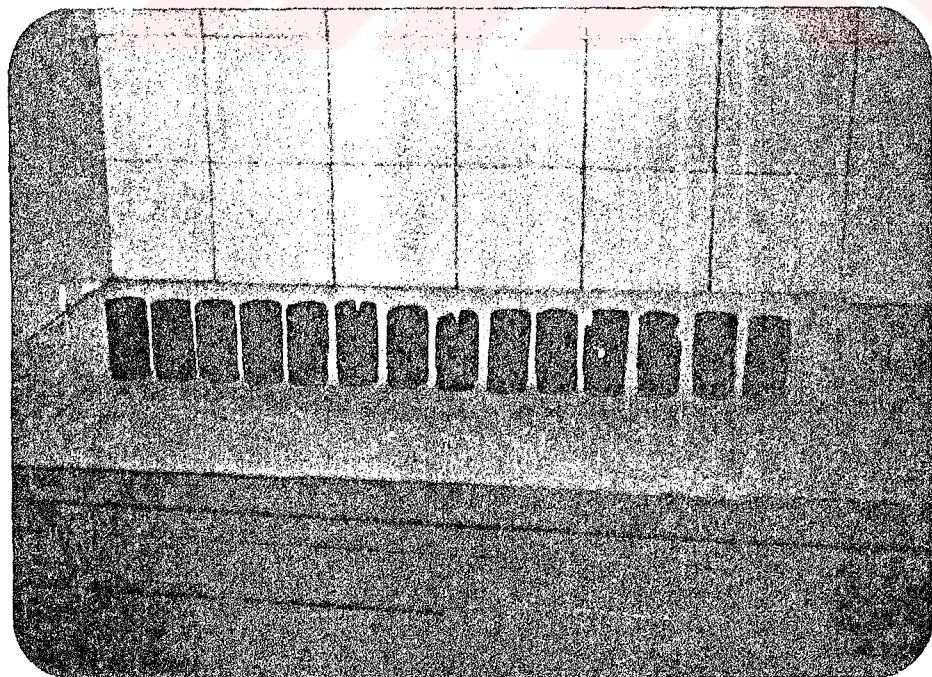


Foto 4.6 : Tek Eksenli Basınç Deney Sonunda Tüflerde  
Oluşan Kırılma Şekilleri

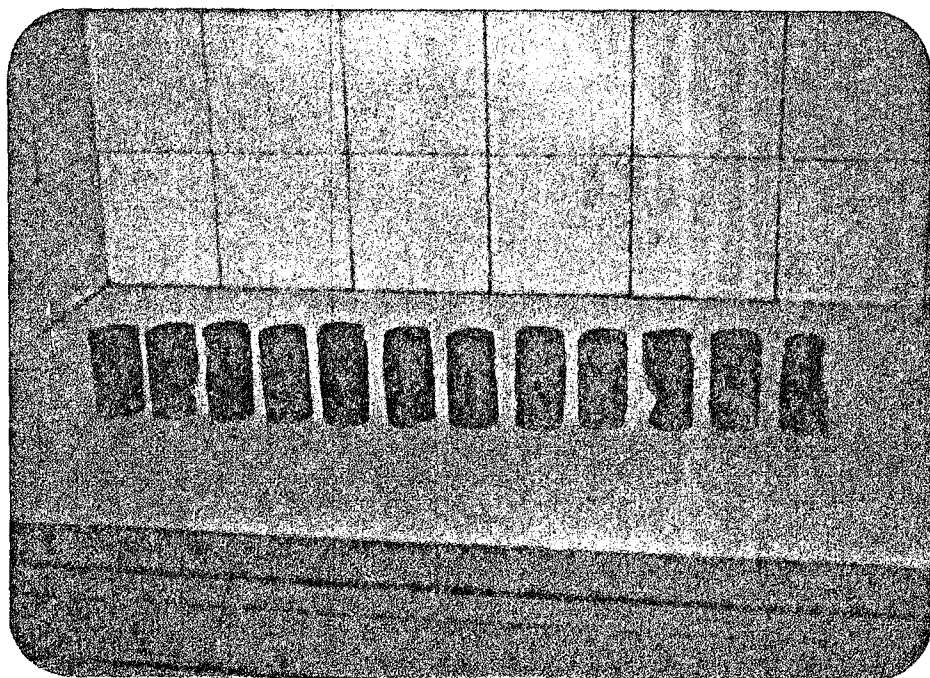


Foto 4.7 : Tek Eksenli Basınç Deneyi Sonucunda Litik-Kristal Tüflerden Oluşan Kırılma Şekilleri

Örneklerde boy, çapın iki katı olacak şekilde seçilmiş, fakat deney örneklerinin bazlarında bu şartın gerçekleşmemediği görülmüştür.

Deneysel çalışmalarında, çap-boy arasındaki oranın basınç direncini etkilediği bilinmektedir. Oran farkından ileri gelecek hatanın düzeltilmesi için Szlavin (1974) aşağıdaki formülü uygulamıştır.

$$\sigma_b = \sigma_{b'} / [(0,0304 \cdot D/L) + 0,848]$$

Formülde,

$\sigma_b$  : Gerçek basınç direnci,  $\text{kg/cm}^2$

$\sigma_{b'}$  : Deney sonucu bulunan basınç direnci,  $\text{kg/cm}^2$

L : Örnek boyu, cm

D : Örnek çapı, cm

Deneyleerde  $L=2D$  oranını saglamayan örneklerin, basınç dirençleri yukarıdaki formül yardımıyla düzeltilmiştir.

Deneysel sonuçları ve düzeltilen tek eksenli basınç direnç değerleri Ek 4.2 ve Ek 4.3'de, ortalama değerler ise çizelge 4.8'de görülmektedir.

Kuru ve doygun örnekler üzerinde yapılan deneyler sonucunda tüfler doygun durumda basınç direnci değerlerinde %7'lik, litik-kristal tüflerde ise %23'lük bir azalma görülmüşdür.

Deere ve Miller (1966)'ın tek eksenli basınc direncine göre verdiği sınıflamada tüflerin, "çok düşük dirençli" litik kristal tüflerin kuru halde "orta dirençli" doygun halde ise "düşük dirençli" kaya sınıfında yer aldıkları anlaşılır.

Cizelge 4.8 : Tüf ve Litik-Kristal Tüflerin Tek Eksenli Basınc Direnci Ortalama Degerleri

KAYAC TÜRÜ	Y Ü Z	$\sigma_{bk}$ kg/cm <sup>2</sup>			S.D. En fazla Anizot- ropi	$\sigma_{bd}$ kg/cm <sup>2</sup>			S.D. En fazla Anizot- ropi	Genel Ortalam $\sigma_b$ kg/cm <sup>2</sup>			
										Kuru			
		max.	min.	ort		max.	min.	ort		Doygun			
TÜF	A	138	119	126	5.97 1.127	132	110	118	6.05 1.127	126	117		
	B	139	128	133		132	115	124					
	C	123	115	118		115	106	110					
LİTİK KRİSTAL TÜF	A	571	442	492	19.69 1.097	388	370	377	5.6 1.034	501	384		
	B	529	422	482		432	362	390					
	C	565	510	529		406	362	386					

#### 4.3.3.3.2. İndirekt Çekme Direnci

İndirekt çekme direnci, indirekt yöntemlerden olan Brazilian deneyi ile bulunmaktadır. Kaya bloklarında her yüzey için (A,B,C,) 3 kuru, 3 de doygun olmak üzere toplam 18 örnek üzerinde deney yapılmıştır. Karotlar 38 mm. çapında olup uzunluğu çapının iki katı olacak şekilde alınmıştır.

Deneylerde örnekler Foto 4.8'de görüldüğü gibi yüklemeye doğrultusundan geçen düzlem boyunca kırılmıştır.

Cekme direnci değerleri aşağıdaki formül yardımıyla hesaplamıştır.

$$\sigma_c = 2F/\pi \cdot D \cdot L$$

Formülde,

F : Kirılma anındaki yük, kg

D : Örneğin çapı, cm

L : Örneğin boyu, cm

$\sigma_c$ : Cekme direnci, kg/cm<sup>2</sup>'dir.

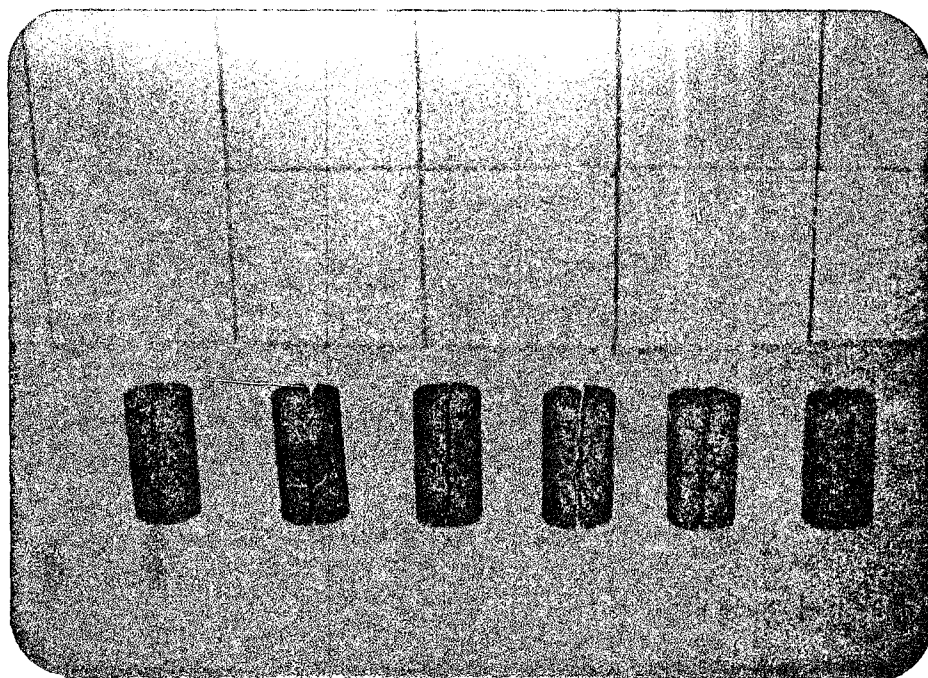


Foto 4.8 : Litik-Kristal Tüflerde Brazilian Deney Sonucu Oluşan Kırılma Şekilleri

Deney sonuçlarına göre bulunan indirekt çekme direnci ortalama değerleri Çizelge 4.9'da verilmiştir. Ayrıca deney sonuçları Ek 4.4'de verilmiştir.

Cizelge 4.9 : Litik-Kristal Tüflerin Indirekt Çekme Direnci Ortalama Değerleri

KAYAC TÜRÜ	Y Ü Z	$\sigma_{ck}$ $\text{kg/cm}^2$			S.D. En fazla Anizot-	$\sigma_{cd}$ $\text{kg/cm}^2$			Genel Ortalam $\sigma_c$ $\text{kg/cm}^2$	
		max.	min.	ort		max.	min.	ort	Kuru	Doygun
		52	40	47		39	36	38		
LITIK KRİSTAL TÜF	A	52	40	47	3.86 1.11	35	34	35	2.16 1.11	47 37
	B	52	50	50		40	39	39		
	C	48	44	45						

Cizelge 4.9 incelendiginde, doygun örneklerin kuru örnekler'e göre indirekt çekme direnci değerlerinde bir azalma olduğu görülmüştür.

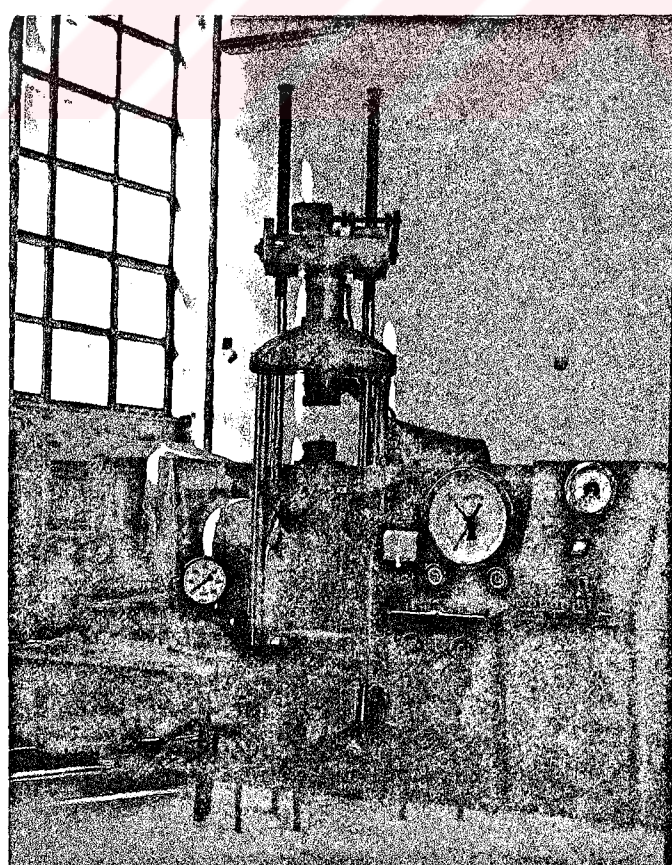
Indirekt çekme direnci yalnız litik kristal tüflerde uygulanmıştır.

#### 4.3.2.3.3. Üç Eksenli Basınç Direnci Deneyi

Deneyler için 31 mm.çaplı ve 62 mm.uzunluğunda karotlar kullanılmıştır. Tek eksenli basınç direnci deneyi sonuçlarına göre litik-kristal tüfler izotrop kabul edilebildiği için bu deneyde yönlü örnek kullanılmamıştır. Yanal gerilmeler 50,75 ve 100 kg/cm<sup>2</sup> olarak alınmış, her yanal gerilme değeri için 3 kuru,3 de doygun örnek kullanılmıştır. Deney için kullanılan deney araçları Foto 4.9'da, deneyler sonucu elde edilen kırılma şekilleri Foto 4.10'da verilmiştir. Ayrıca deney sonuçlarının ortalamaları Çizelge 4.10'da gösterilmiştir.

**Cizelge 4.10 : Litik-Kristal Tüflerin Üç Eksenli Basınç Direnci Değerleri**

KAYAC TÜRÜ	GERİLME TÜRÜ	KURU			DOYGUN		
		50	75	100	50	75	100
LITİK - KRİSTAL TÜF	YANAL GERİLME kg/cm <sup>2</sup>						
	DÜŞEY GERİLME kg/cm <sup>2</sup>	815	1060	1113	530	669	742



**Foto 4.9 : Üç Eksenli Basınç Deney Araçları**

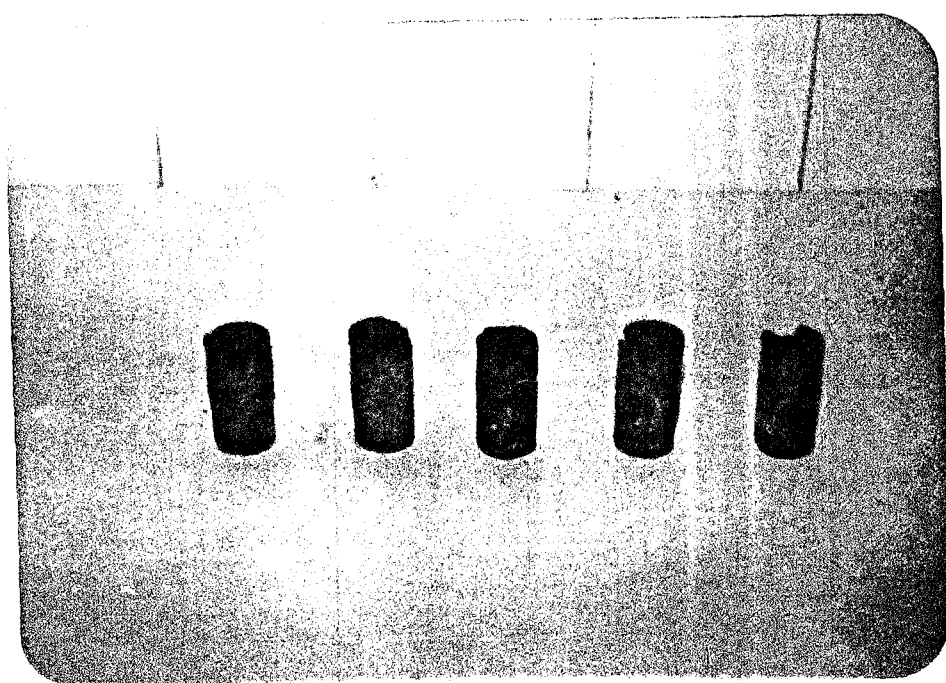


Foto 4.10 : Litik Kristal Tüflerde Üç Eksenli Basınç Deney Sonucu Elde Edilen Kırılma Şekilleri

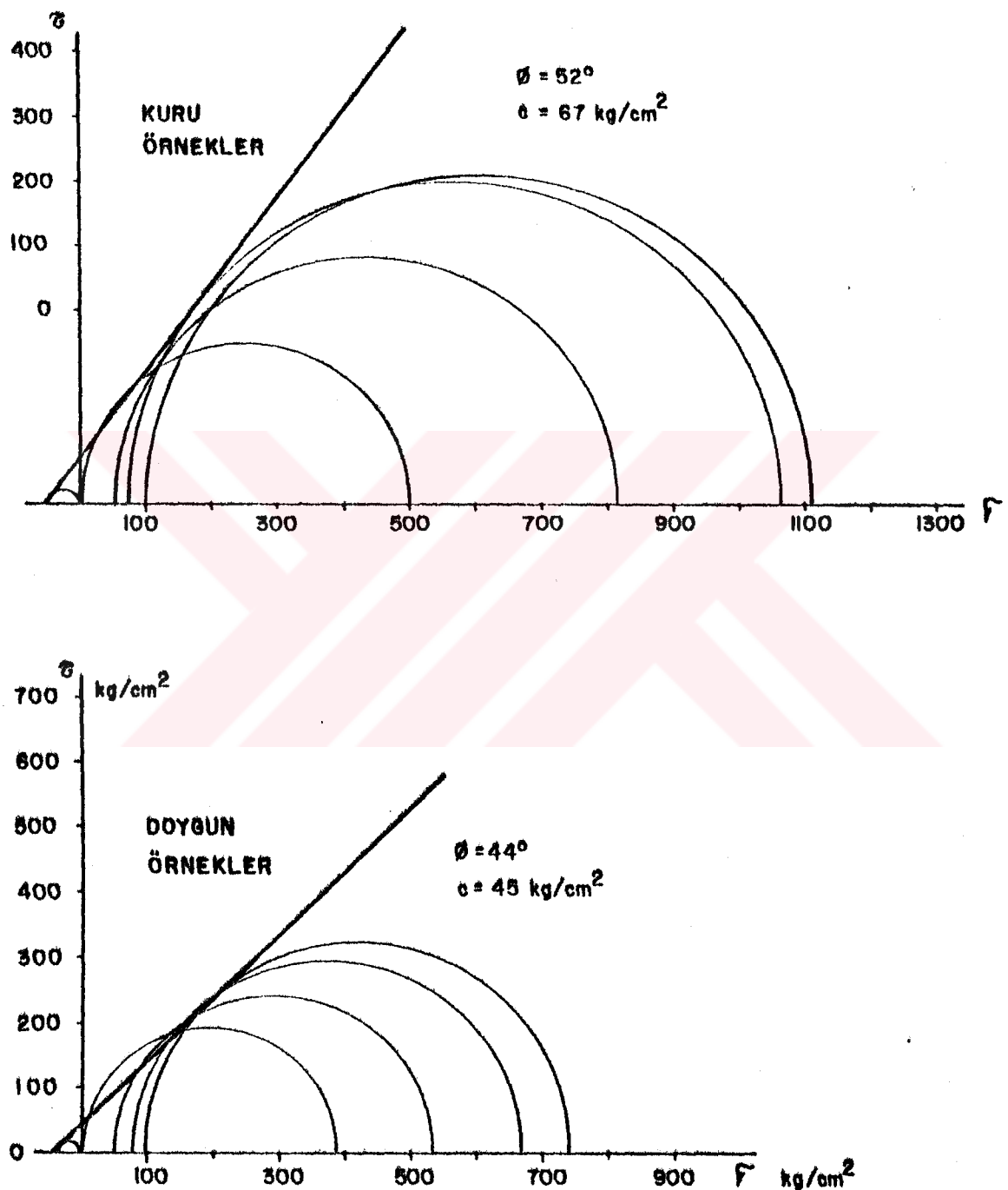
Bulunan üç eksenli basınç direnci ortalama sonuçları ile çökme ve basınç direnci ortalama sonuçlarından yararlanılarak Mohr kırılma zarfı çizilmiş, kayaçın kuru ve doygun halde içsel sürtünme açısı ( $\phi$ ) ile kohezyon ( $c$ ) değerleri bulunmuştur (Şekil 4.3).

Kuru örneklerde bulunan içsel sürtünme açısı ( $\phi$ )  $52^\circ$  kohezyon ( $C$ )  $67 \text{ kg/cm}^2$ , doygun örneklerde ise içsel sürtünme açısı ( $\phi$ )  $44^\circ$ , kohezyon ( $C$ )  $45 \text{ kg/cm}^2$  olarak bulunmuştur.

Bu değerler yalnızca çatlaksız kayaçlar için geçerlidir. Çatlak yüzeylerinde bu değerler daha da düşük olacaktır.

#### 4.3.2.4. Zemin örneklerinin Hazırlanması

Zeminlerin fiziksel ve mekanik özelliklerini araştırmak için zemin şevlerde organik madde içerikli kısmın altından; 14cm. çaplı, 16 cm. uzunlugundaki tüplerde toplam 11, 3.8cm. çaplı ve 15 cm. uzunlugundaki ufak tüplerle toplam 15 adet örselenmemiş örnek alınmış ve yerinde parafinlenerek zemin mekanigi laboratuvarına getirilmiştir (Ek 3.2). Büyük tüplerden kesme kutusu için üçer tane  $6 \times 6 \times 2$  boyutlu tek eksenli basınç direnci için küçük tüplerden 3.8cm. çaplı, 7.6cm. boylu doğal örnekler hazırlanmıştır.



Şekil 4.3 : Litik-kristal tütte Mohr daireleri ve kırılma zarfları

#### 4.3.2.5. Zeminlerin Fiziksel Özellikleri

Çalışma sahası içerisinde taşınarak oluşmuş zeminlerle rezidüel zeminlerin fiziksel özellikleri araştırılmıştır.

##### Dogal Birim Hacim Ağırlık : $\gamma_n$ gr/cm<sup>3</sup>

Zemin nüümnesinin doğal ağırlığının toplam hacmine oranından hesaplanmıştır.

##### Su Muhtevası : w(%)

Zemindeki su ağırlığının kuru ağırlığına bölünmesiyle bulunmuştur.

##### Özgül Ağırlık : G

Kısaca bir cismin, birim hacim ağırlığının, suyun birim hacim ağırlığına oranıdır. Zeminler için özgül ağırlık sadece katı kısımlar için geçerli bir değerdir.

Birim yoktur. Zeminlerin özgül ağırlıkları laboratuvarlarda "Piknometre" ile bulunmuştur.

##### Doygun Birim Hacim Ağırlık : $\gamma_d$ (gr/cm<sup>3</sup>)

Katı kısmın ağırlığının boşluk suyu ağırlığı ile toplanının toplam hacmine oranı ile bulunur. Yalnız laboratuvara buunu bulmak mümkün olmadığından formüller yardımcıla bulunmaya çalışılmıştır.

$$d: (G+w/1+e) \cdot \gamma_w$$

##### Böslük Oranı : e%

Böslüklerin toplam hacminin, katı kısmın hacmine oranıdır. Formülle bulunmaya çalışılmıştır. Birimsizdir.

$$e: [G \cdot \gamma_w / \gamma_k] - 1 \times 100$$

##### Porozite : n%

Böslüklerin toplam hacminin, numunenin toplam hacmine oranından hareket edilerek bulunur. Formüllerle bulunmaya çalışılmıştır.

$$n: (e/1+e) \times 100$$

Doygunluk Derecesi : S%

Dogal halde boşlukları bulunan bir numunenin içindeki su hacminin, boşlukların hacmine oranına "doygunluk derecesi" olarak adlandırılır.

$$S = V_w/V_v : (\text{Su Hacmi}/\text{Boşluk Hacmi}) \times 100$$

Laboratuvara tüm boşluk hacimlerini hesaplamak mümkün olmadığı için formüller yardımıyla "S" değeri bulunmuştur.

$$S = [W_n.G_s]/[G_s(1+W_n) - n]$$

#### Kıvam Limitleri:

Kıvam limitleri, Likit limit (LL), Plastik limit (PL) ve Rötre limit (RL) dir. Bunlara "Atterberg limitleri" denir. Buna göre likit limit (LL) ve plastik limit (PL) ve plastisite indisi saptanmıştır.

Likit Limit (LL %) : Kılın kendi ağırlığı altında deney aletinde açılan bir oyugun 25 vuruşla kapanması için gerekli minimum su muhtevesidir.

Plastik Limit (PL %) : Kılın kırılmadan 3 mm. capında bir silindir haline getirilebildiği minimum su muttevesidir.

Plastisite İndisi (PI %) ise;

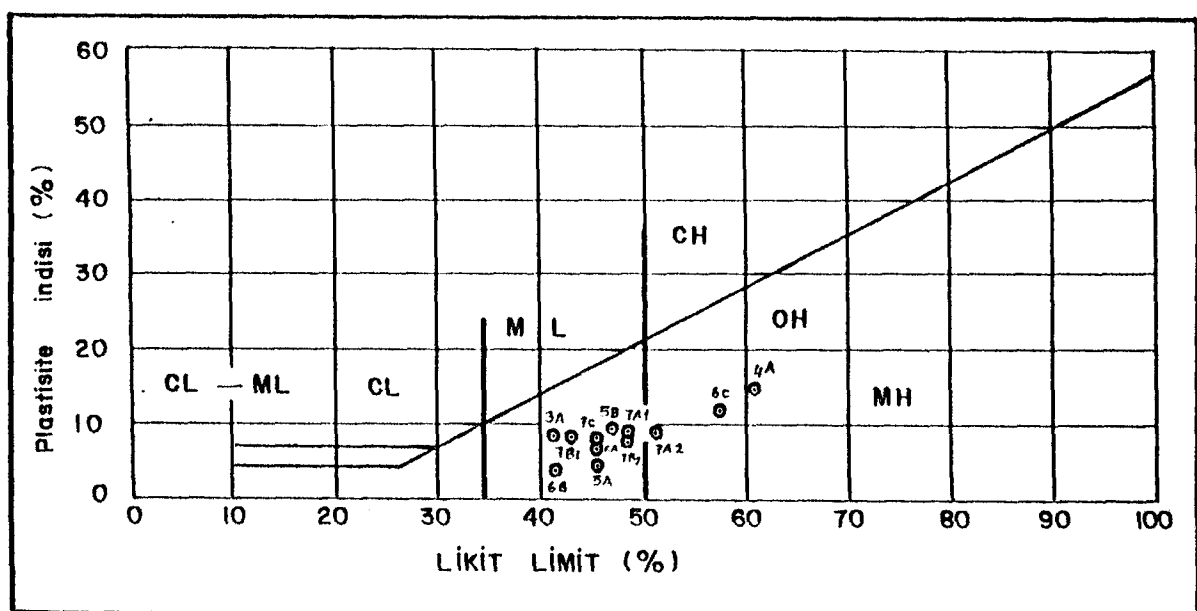
$$PI = LL - PL \text{ olarak tanımlanır.}$$

Zeminlerin, yukarıdaki eşitlikler yardımıyla hesaplanan, fiziksel özellikleri topluca Çizelge 4.11'de sunulmuştur.

Zeminlerin likit limit (LL) ve plastisite indisi (PI) değerleri yardımıyla plastisite kartındaki yerleri Şekil 4.4'de gösterilmiştir.

Cizelge 4.11 : Ana Yol Üzerindeki Zemin Şevlerinden Alınan Zemin Örneklerinin Bazı Fizksel Özellikleri

Fizksel özellikler	ÖRNEK NO											
	3A	4A	5A	5B	6A	6B	6C	7A <sub>1</sub>	7A <sub>2</sub>	7B <sub>1</sub>	7B <sub>2</sub>	7C
$\gamma_n(\text{gr/cm}^3)$	1.89	1.63	1.65	1.67	1.74	1.72	1.62	1.68	1.67	1.74	1.74	1.77
$\gamma_k(\text{gr/cm}^3)$	1.44	1.43	1.37	1.35	1.34	1.45	1.43	1.34	1.35	1.39	1.46	1.37
$\gamma_d(\text{gr/cm}^3)$	1.92	1.67	1.70	1.71	1.80	1.81	1.72	1.78	1.80	1.89	1.91	1.87
$G_s$	2.76	2.84	2.71	2.67	2.62	2.86	2.85	2.66	2.67	2.75	2.65	2.73
$W(\%)$	33	17	24	27	34	25	20	33	33	36	19	36
$e(\%)$	92	99	98	98	96	97	99	99	98	98	81	99
$n(\%)$	48	50	49	49	49	49	50	50	49	49	45	50
$s(\%)$	97	47	63	70	87	66	51	80	78	86	62	89
LL (%)	41.02	60.5	45.5	47.2	45.1	41.7	57.1	48	51	43.2	47.9	44.5
PL (%)	32.72	45.6	40.7	37.6	38.2	37.9	45.2	39	42	34.9	39.8	37
PI (%)	8.3	14.9	4.8	9.6	6.9	3.8	11.9	9	9	8.3	8.1	7.5



Şekil 4.4 : Plastisite kartında zeminlerin yerlerinin gösterilmesi

Şekil 4.4 incelendiğinde zemin örneklerinin genellikle "düşük plastisiteli silt" (ML) oldukları anlaşılır. Bulunan bu değerler (ML, CH, OH) "Birleşik Zemin Sınıflandırılması"nda yerine konduğu zaman "ince taneli zeminler" sınıfında yer aldıkları görülür.

#### 4.3.2.6. Zeminlerin Mekanik Özellikleri

Çalışma sahasında, yol şevelerde yer alan zeminlerin mekanik davranışlarını araştırmak için tek eksenli ve kesme kutusu deneyleri yapılmıştır, üç eksenli deneyler imkansızlıklar nedeniyle yapılamamıştır.

38 mm. çaplı ve 76mm. uzunlukunda toplam 12 doğal örnek üzerinde tek eksenli basınc deneyi yapılmış ve aşağıdaki sonuçlar bulunmuş ve bu sonuçlara göre kıvam ayrımı yapılmıştır (Çizelge 4.12).

**Çizelge 4.12: Sahil Yolu Şevelerinden Alınan Doğal Zemin Örneklerinin Serbest Basınc Dirençlerine Göre Kıvam Ayrımı (ÖNALP, 1982)**

ÖRNEK NO	$\sigma$ kg/cm <sup>2</sup>	Kıvam	A C I K L A M A
3A	0.62	Yumuşak	Ayrışmış zemin (Rezidüel)
4A	1.58	Sert	Taşınarak oluşmuş
5A	0.46	Yumuşak	Ayrışmış zemin (Rezidüel)
5B	0.72	Orta	Taşınarak oluşmuş
6A	1.90	Sert	Taşınarak oluşmuş
6B	1.28	Sert	Taşınarak oluşmuş
6C	1.59	Sert	Taşınarak oluşmuş
7A <sub>1</sub>	1.06	Sert	Taşınarak oluşmuş
7A <sub>2</sub>	0.97	Orta	Taşınarak oluşmuş
7B <sub>1</sub>	0.44	Yumuşak	Ayrışmış zemin
7B <sub>2</sub>	1.63	Sert	Taşınarak oluşmuş
7C	0.71	Orta	Taşınarak oluşmuş

Çizelge 4.12 incelendiğinde, zeminlerden alınan örneklerin büyük birçoğunluğu "sert kıvam" diğerlerinin "orta-yumuşak" kıvamda olduğu anlaşılır.

Burada taşınarak oluşmuş zeminlerin genelde "sert kıvam", yer yerde "orta kıvam" da, ayrışmış zeminlerin genelde "yumuşak kıvam" da oldukları ortaya çıkmıştır.

Zeminin kayma direnci parametrelerini ölçmek için 6x6x2 cm. boyutları hazırlanan toplam 12 örnek üzerine kesme kutusu deneyleri yapılmıştır (Foto 4.11).

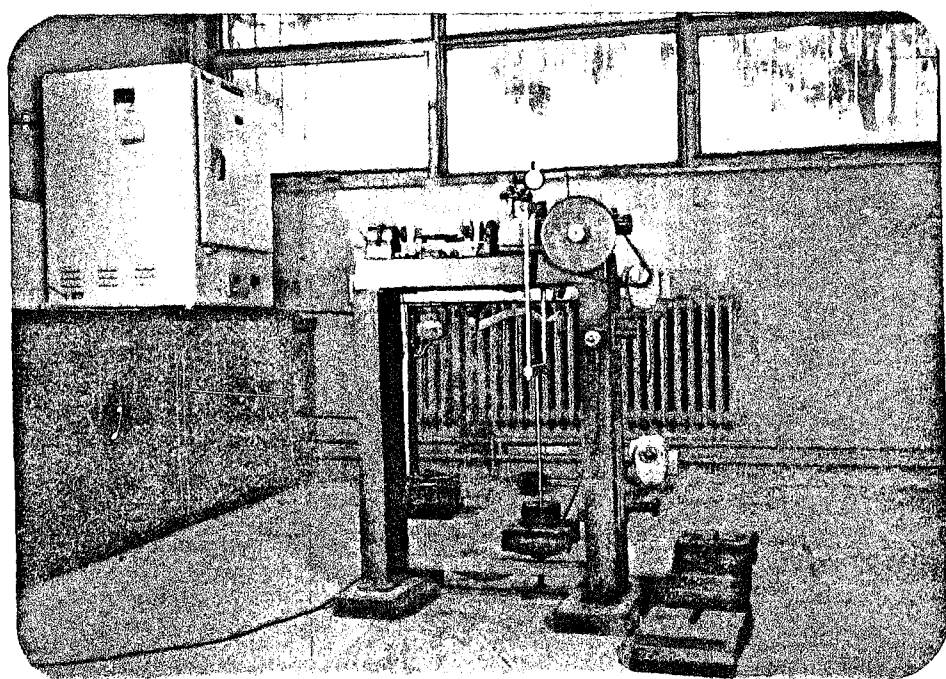


Foto 4.11 : Kesme Kutusu Deney Aleti

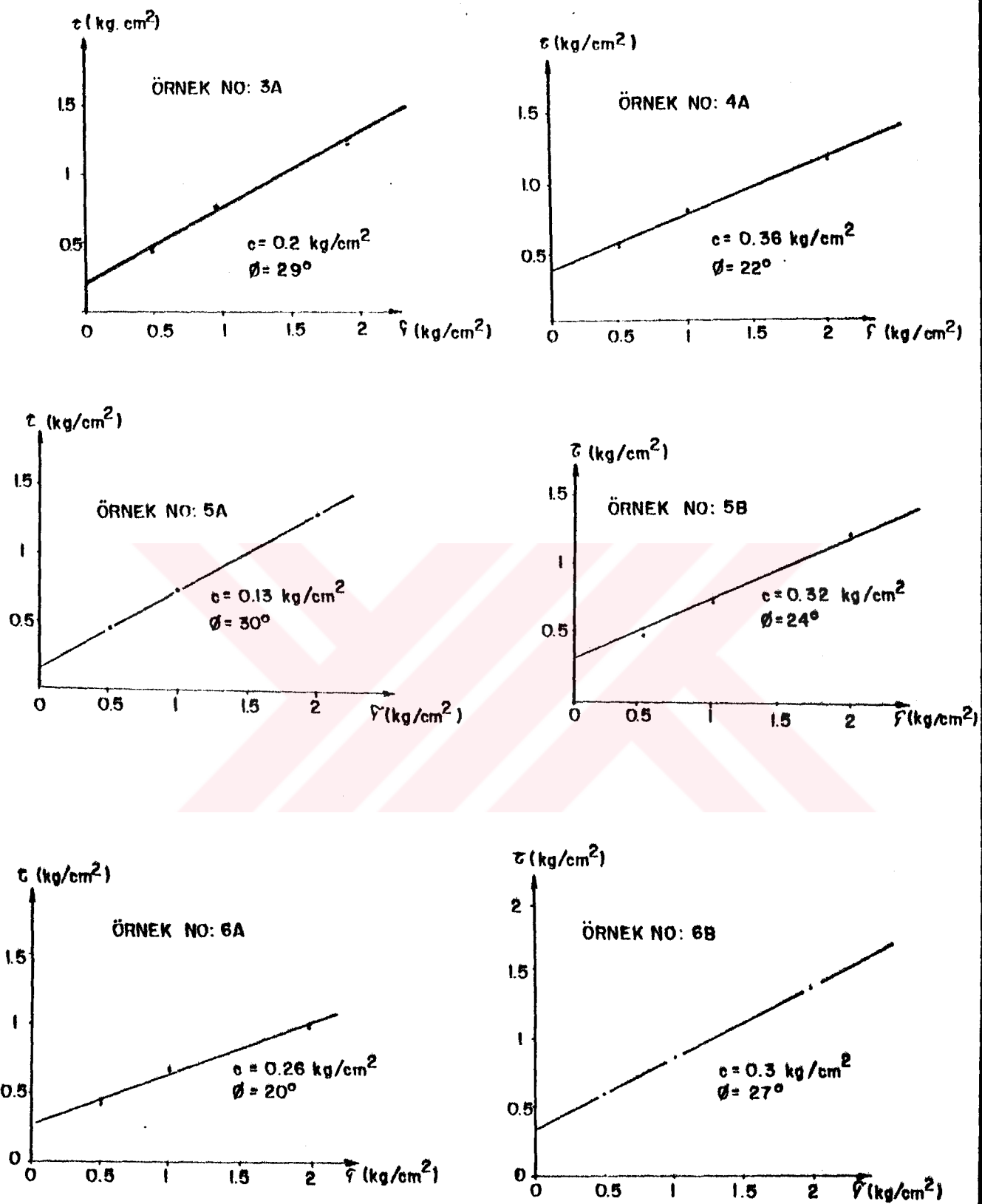
Bu deneyde degisik normal gerilmelere konsilide edilen örneklər sabit hızda makaslanarak kesilmiştir.

Normal gerilmelere bağlı elde edilen makaslama gerilmelerinden zeminlerin efektif kohezyon ( $c'$ ) ve efektif içsel sürtünme açıları ( $\theta'$ ) bulunmuştur.

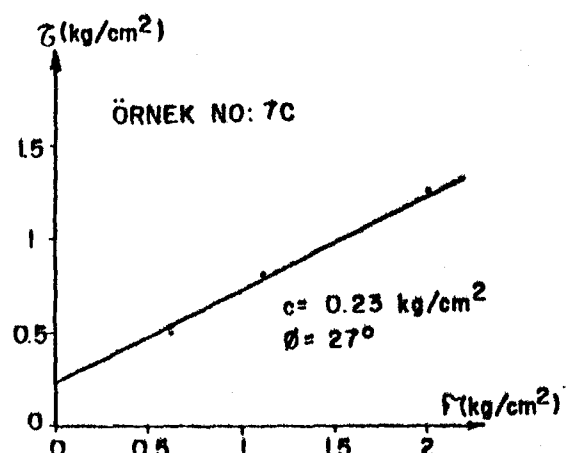
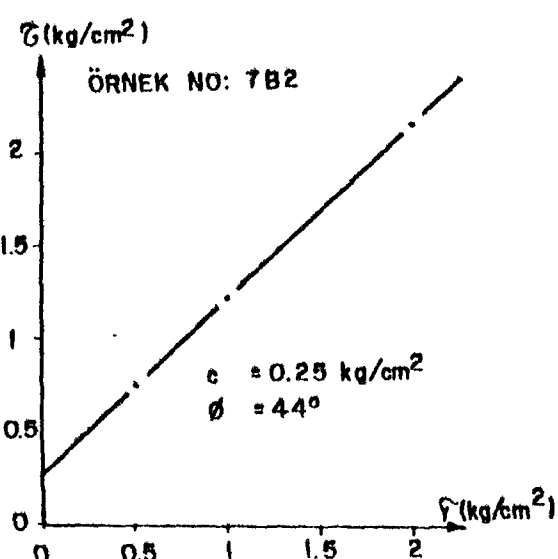
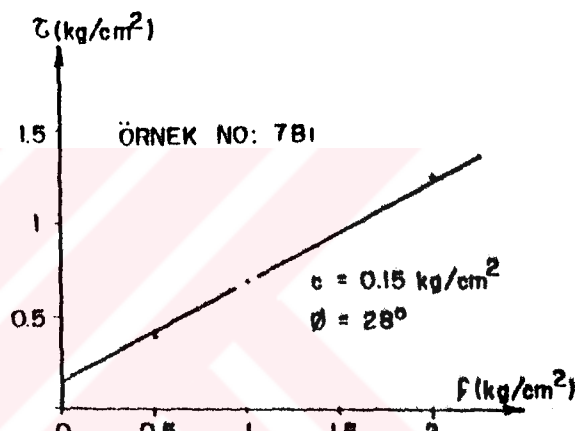
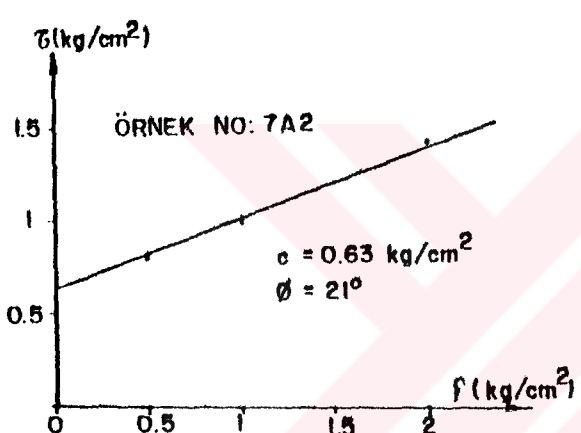
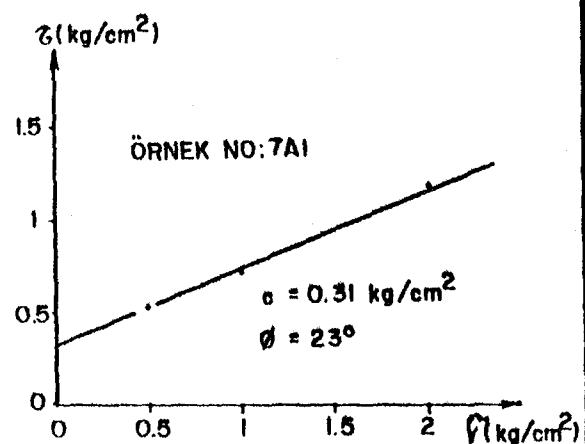
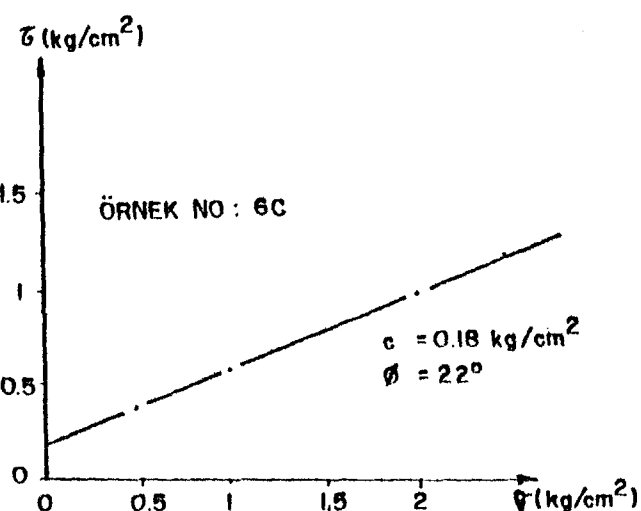
Sözkonusu grafikler Şekil 4.5 a,b'de gösterilmiştir. Bu grafiklerden elde edilen efektif kohezyon( $c'$ ) ve efektif içsel sürtünme açısı( $\theta'$ ) değerleri Çizelge 4.13'de verilmiştir.

Cizelge 4.13 : Sahil Yolu Zemin Sevlerinden Alınan Zemin örneklərinin efektif kohezyon ( $c'$ ) ve efektif içsel sürtünme açısı( $\theta'$ ) değerleri

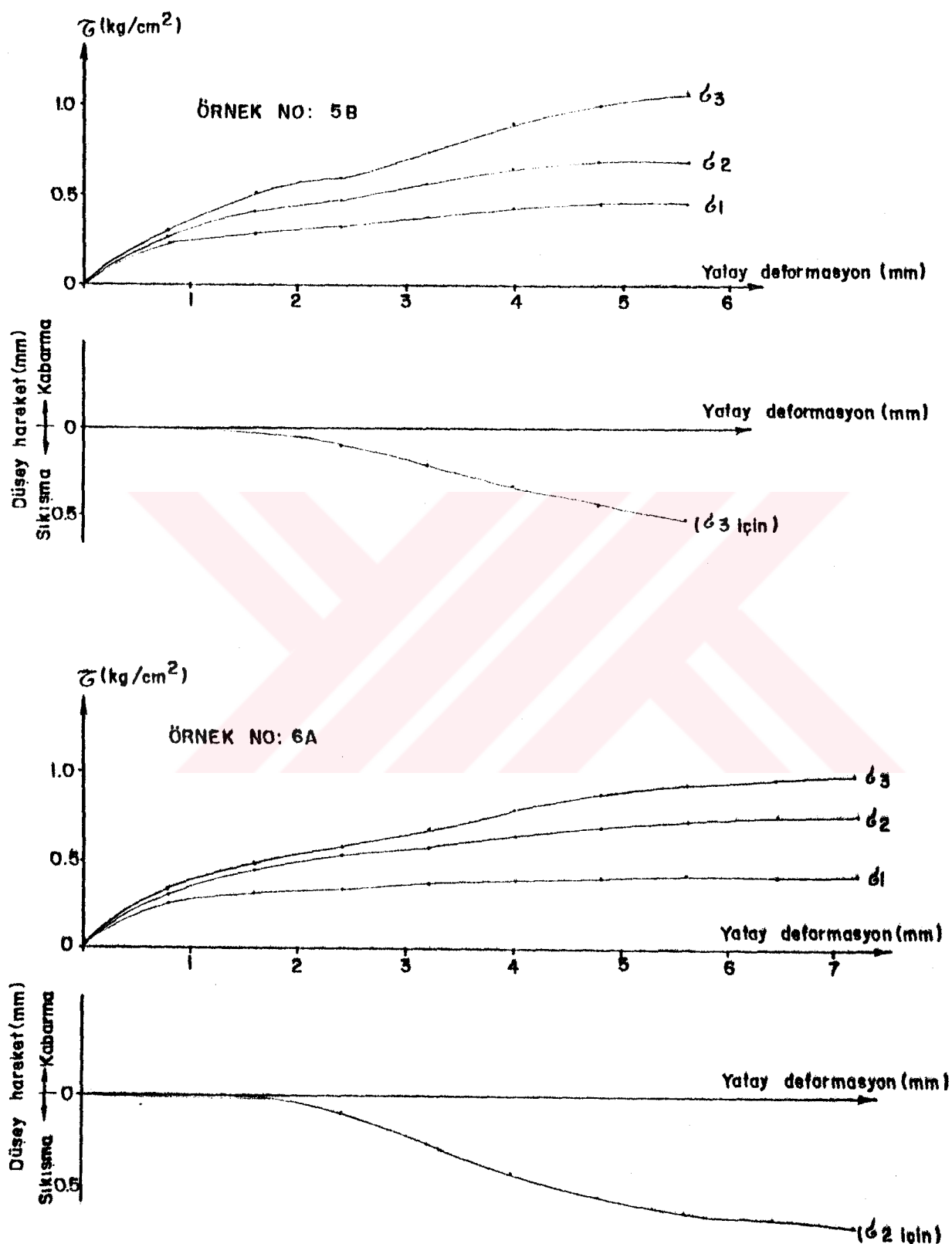
ÖRNEK NO	EFEKTİF KOHEZYON ( $c'$ ) kg/cm <sup>2</sup>	EFEKTİF İÇSEL SÜRTÜNME ACISI ( $\theta'°$ )	A C I K L A M A
3A	0.20	29	Ayrişmiş zemin (Rezidüel)
4A	0.36	22	Taşınmış zemin
5A	0.13	30	Ayrişmiş zemin (Rezidüel)
5B	0.32	24	Taşınmış zemin
6A	0.26	20	Taşınmış zemin
6B	0.30	27	Taşınmış zemin
6C	0.18	22	Taşınmış zemin
7A <sub>1</sub>	0.31	23	Taşınmış zemin
7A <sub>2</sub>	0.63	21	Taşınmış zemin
7B <sub>1</sub>	0.25	28	Ayrişmiş zemin (Rezidüel)
7B <sub>2</sub>	1.25	44	Taşınmış zemin
7C	0.23	27	Taşınmış zemin



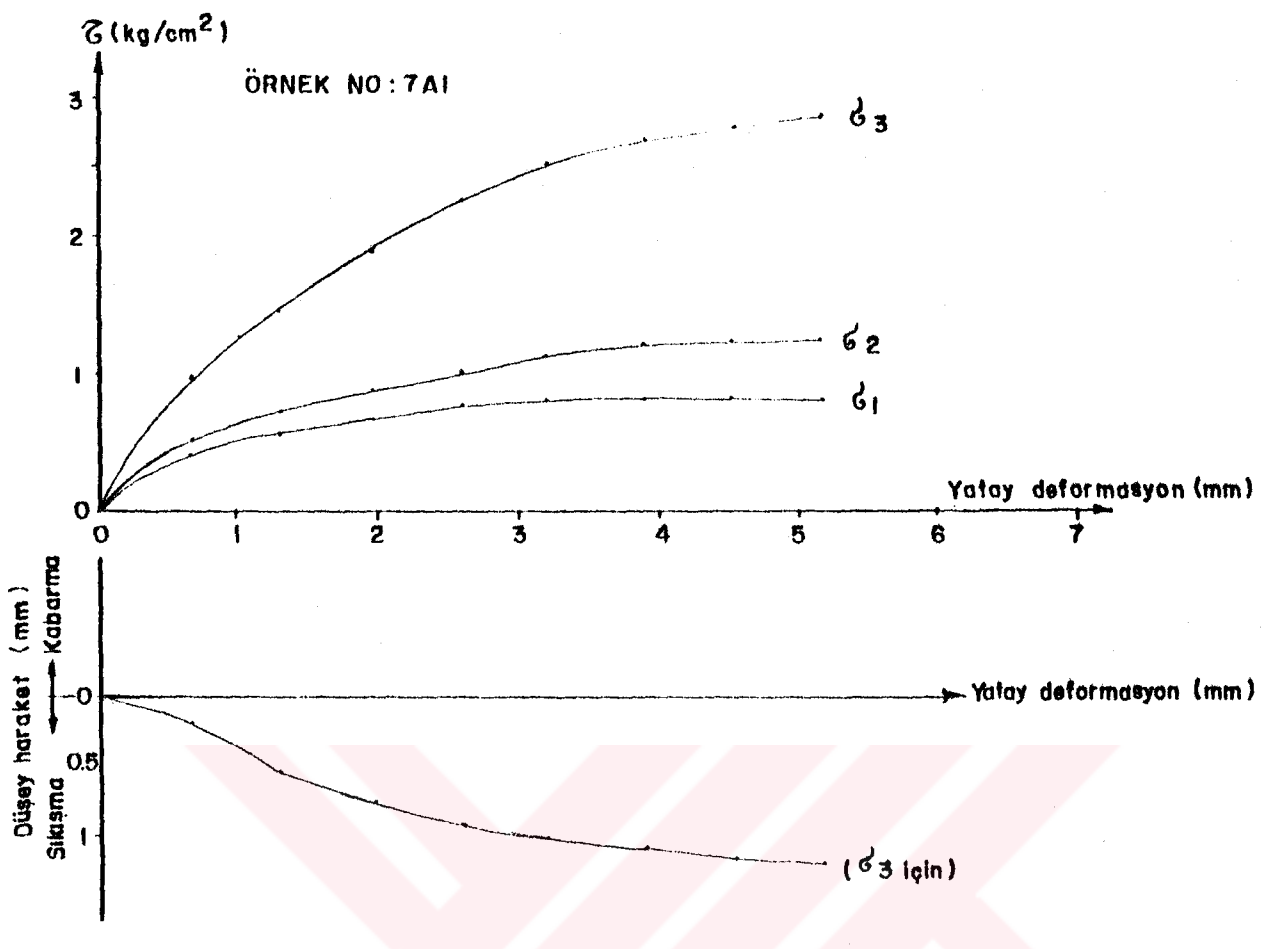
Sekil - 4.5 a : Zeminlerin Normal ve Kayma gerilmesi grafikleri



Şekil 4.8b : Zeminlerin Normal ve Kayma gerilmesi grafikleri



Şekil 4.8 a : Kayma gerilmesi – Yatay deformasyon ve Düşey hareket – Yatay deformasyon grafikleri



**Şekil 4.6 b : Kayma gerilmesi – Yatay deformasyon ve Düşey hareket – Yatay deformasyon grafikleri**

Bu grafiklerden kayma gerilmelerinin, Örneğin kırılmasından sonra azalmayıp, kalıcı kesme gerilmeleri şeklinde devam ettiği görülmektedir. Bu özellik killerin "normal konsolidé killer" olduğunu, geçmişte herhangi bir jeolojik yüze maruz kalmadıklarını göstermektedir.

Zeminler üzerinde yapılan kesme kutusu deney sonuçlarına göre ÖRNEK 5A, 6A ve 7A<sub>1</sub> rin yatay deformasyon makaslama gerilmesi, yatay deformasyon sıkışma grafikleri çizilmiştir (Şekil 4. 6a,b).

#### 4.3.3. Zeminlerdeki Kil Minerallerinin Tayini

Kristal yapıları gözle yada olagan laboratuvar mikroskopları ile görülemeyen kil minerallerinin tanımlanması differansiyel termik analiz yöntemleri ile yapılmıştır (Foto 4. 12).

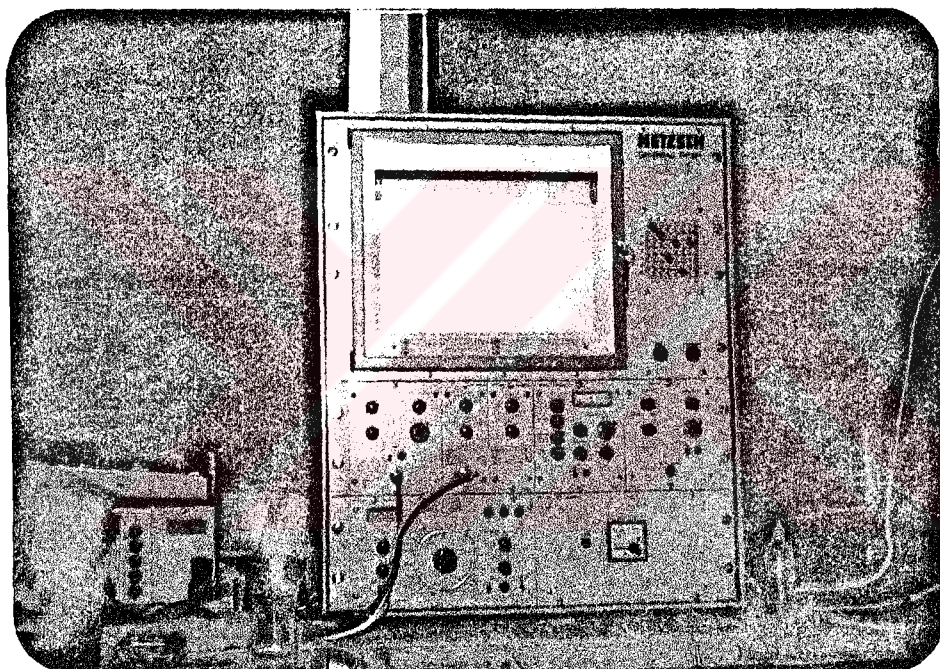
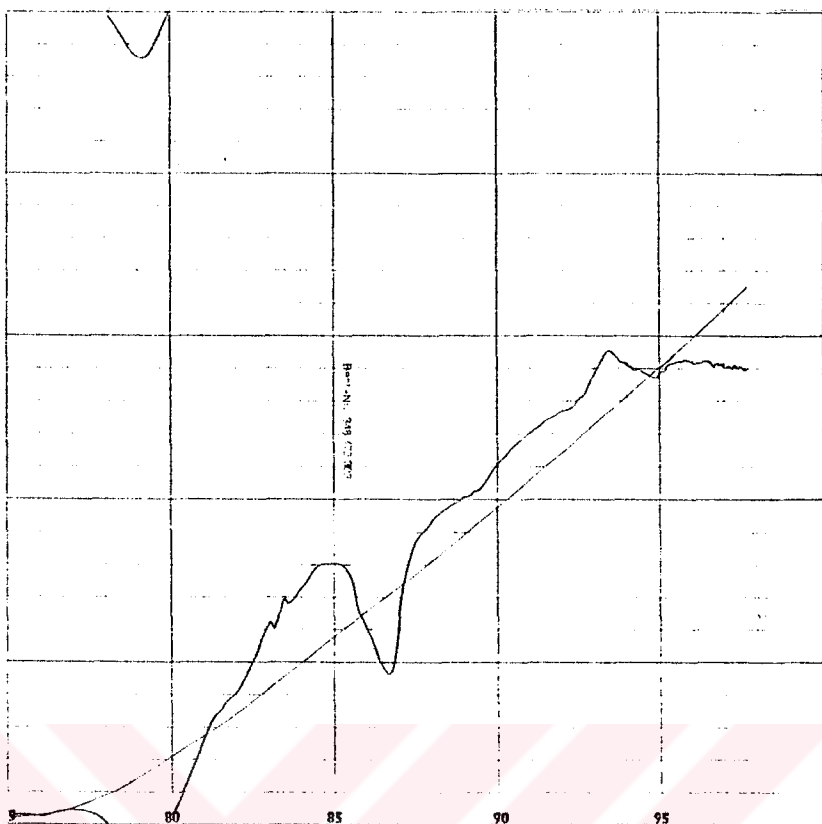


Foto 4.12 : Killerin Analizi İçin Kullanılan Diferansiyel Termik Analiz (DTA) Aleti

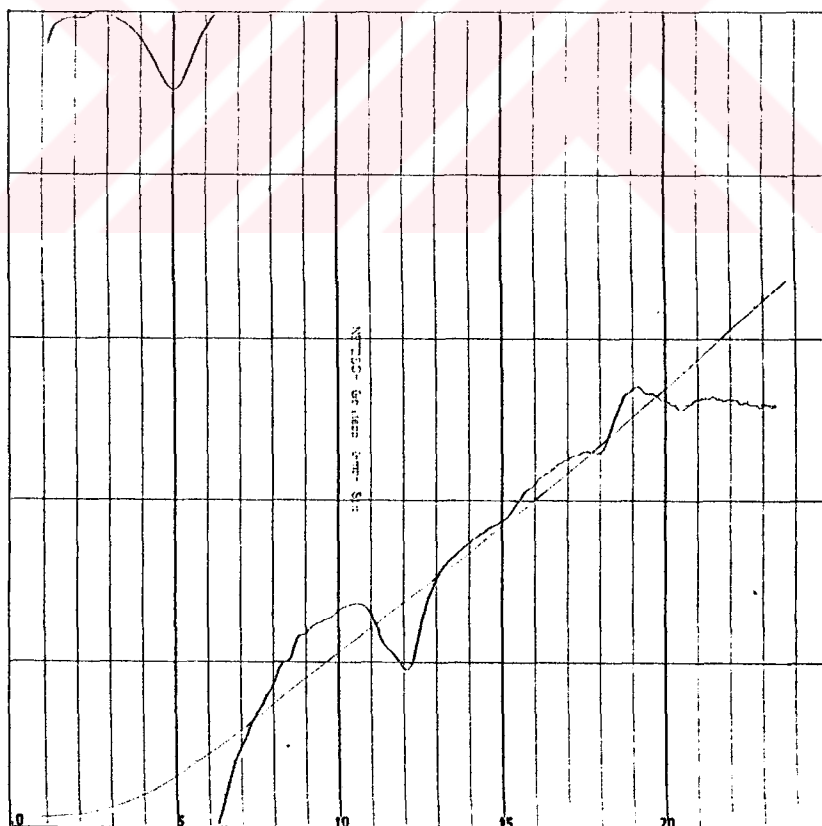
Diferansiyel Termik Analiz(DTA) zeminin oda sıcaklığından 1100°C'nin üzerine yaklaşık 10°C/dk. hızla ısıtılması sırasında örnegin gösterdiği tepkime özelliklerinden faydalananarak mineralleri tanımlayan bir deneydir.

Bu esasa göre, taşınarak oluşmuş zeminlerden alınan dört örnek üzerinde bu deneyler yapılmış Şekil 4.7a ve 4.7b' deki grafikler edilmiştir.

Şekil 4.7a ve Şekil 7b grafiklerinin incelenmesiyle zemin örneklerinin tümünün "illit" olduğu anlaşılmıştır.

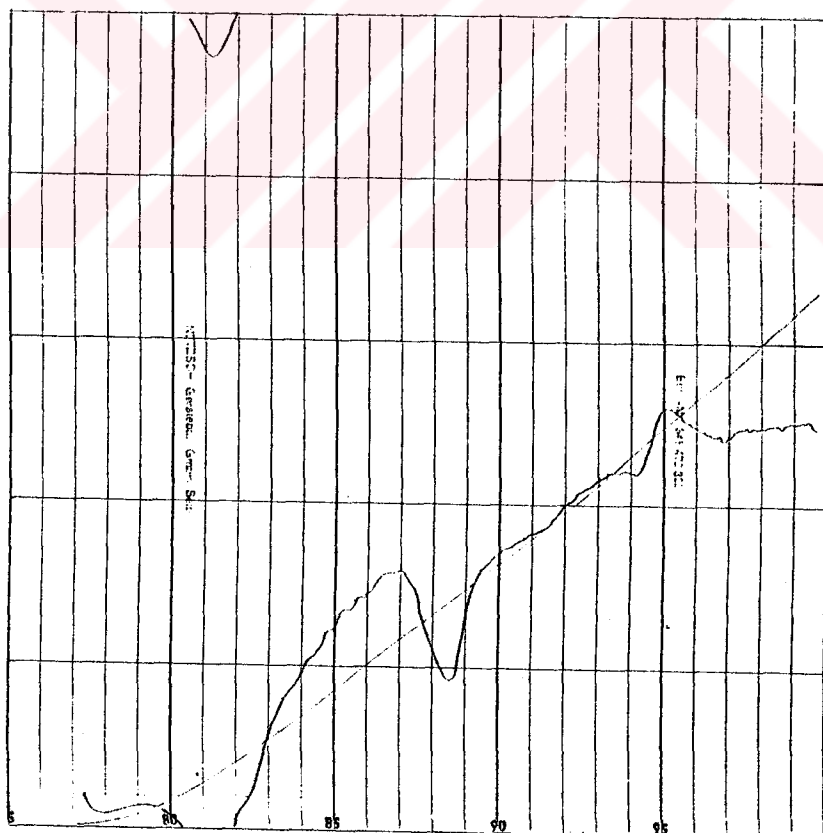
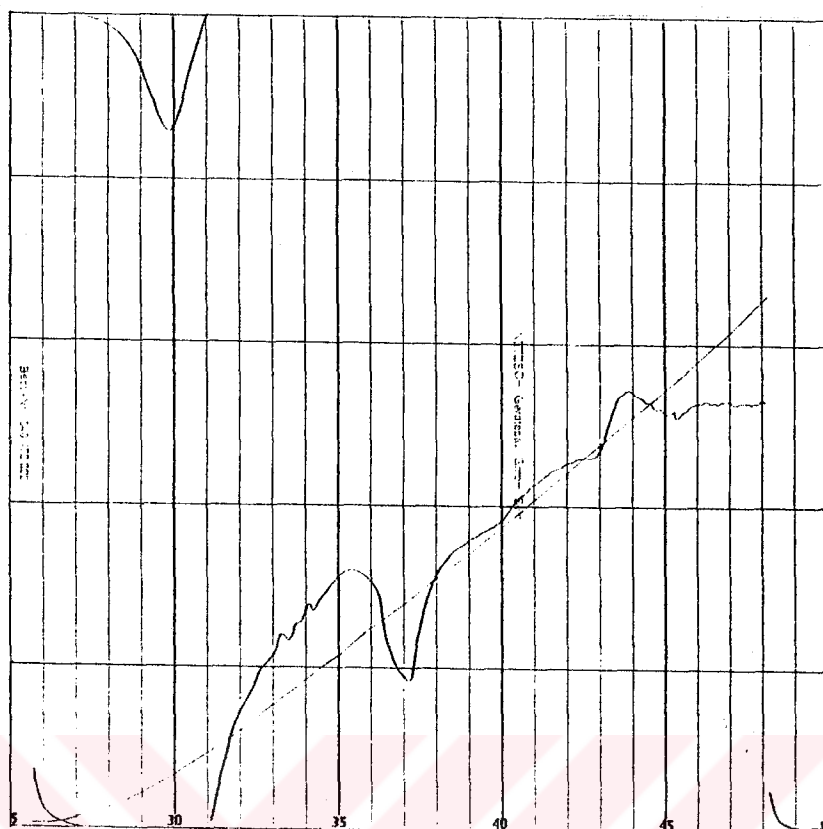


ÖRNEK NO:  
4A



ÖRNEK NO:  
5A

Şekil 4.7a :Zemin Örneklerinin DTA Grafikleri

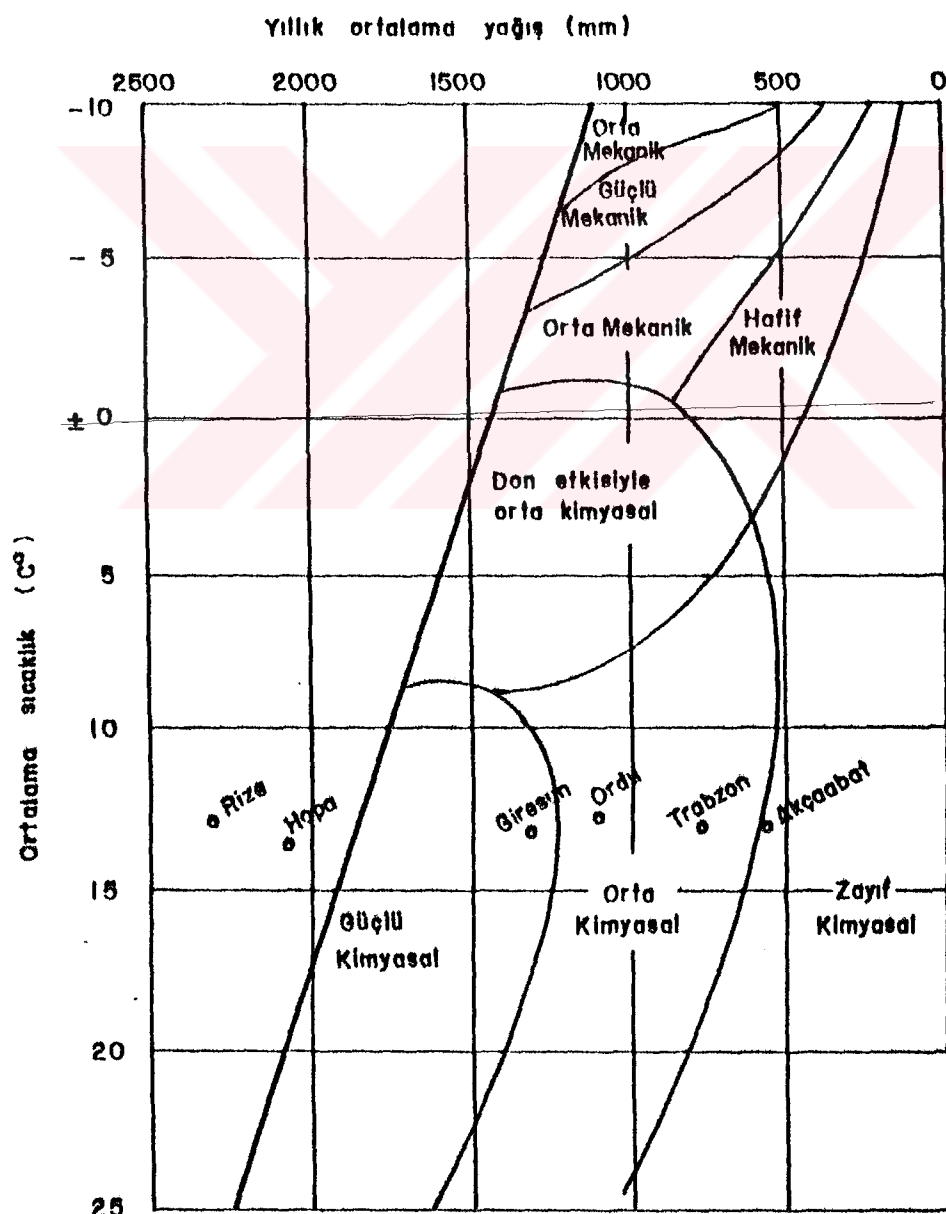


Sekil 4.7b : Zemin Örneklerinin DTA Grafikleri

#### 4.3.4. Ayrışma

Çalışma sahasında; ana kaya, deniz altı püskürükleri şeklinde gelişen piroklastik kayaçlar olup, bunlar; bazaltik lav, tuf, bres ve aglomerallardır. Bu kayaç türlerinin yer yer yüksek porozite göstermeleri, yörenin, oldukça bol yağış olması, nem oranının yüksek olması, topografya ve zaman gibi nedenler hızlı bir ayrışmanın varlığını göstermektedir.

Çevre şartlarının ayrışma hızına etkisi göz önüne alınarakta hazırlanan diyagrama göre yore "güçlü kimyasal ayrışma"dan da fazla ayrışma gösterebileceği kanısına varılmıştır (Şekil 4.8).



Şekil 4.8 : Çevre şartlarının ayrışma hızına etkisi (Önalp, 1983)

Arazi gözlemlerine göre volkanik piroklastlar ayrışma derecelerine göre sınıflandırılmışlardır. Little'nin (1969)'da yapmış olduğu sınıflandırmadan, I'ci dereceden VI'ci dereceye kadar ayrışma derecesi gözlenmiştir. Ayrışma dereceleri bir arada izlenebildiği gibi ayrı ayrı da izlenebilmektedirler (Foto 4.13 ve Foto 4.14).



Foto 4.13 : Volkanik piroklastların "tamamen ayrışması" (V. derece), Radar yolunda

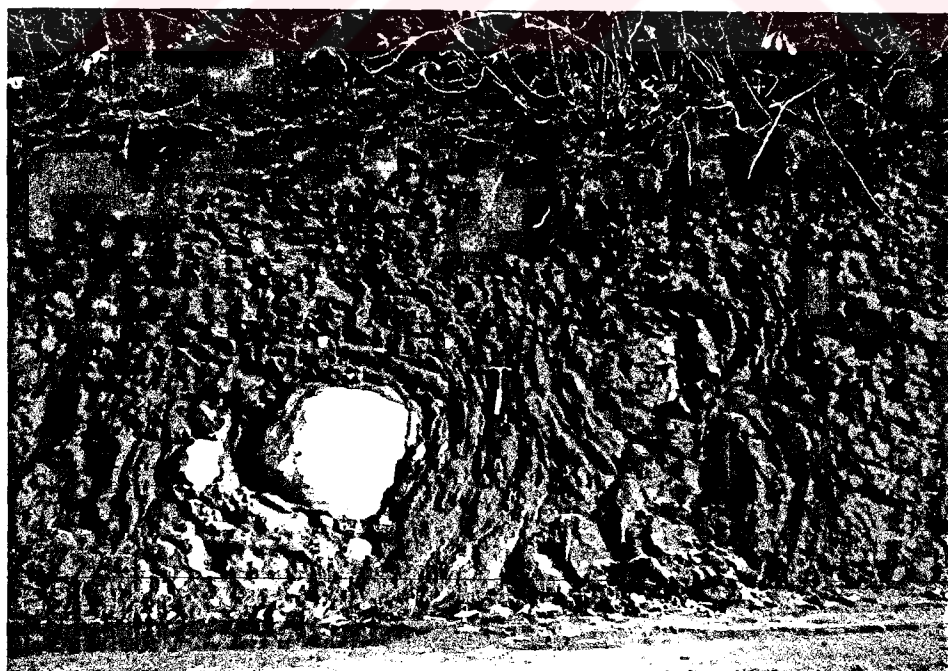


Foto 4.14 : Volkanik piroklastların "yüksek derecede ayrışması" (IV.derece). Eksfoliasyon ayrışması izlenmektedir, Radar yolunda

## BÖLÜM 5

### CAYELİ-PAZAR (RİZE) ARASI ANA YOL ŞEVLERİNDEKİ KİTLE HAREKETLERİİNİN İNCELENMESİ

#### 5.1. GİRİŞ

Bu bölümde, Cayeli-Pazar (RİZE) arası ana yolu üzerinde, kaya ve zemin şevlerinden 5 tanesi incelenmiştir. Şevlerin krokileri çıkarılarak alınan örneklerle özellikleri bulunmuştur. Şevlerde duraylılık analizi için uygulanan analiz yöntemlerinin esaslarına deginildikten sonra yöntemler uygulanmış ve güvenlik katsayıları bulunmuştur. Ana yol üzerindeki tüm kaya ve zemin şevleri işaretlenmiştir. (EK 5.6)

#### 5.2. İncelenen Şevlerin Krokilerinin Çıkarılması

İncelenen şevlerin krokilerinin çıkarılmasında takeometre, sehpası, mira ve pusula kullanılmıştır. Şevler sahilde ana yol üzerinde olduklarından deniz referans yüzeyi alınmıştır.

Şevin krokisini verebilecek noktalar seçilerek, alet şevin karşısında herhangi bir A noktasına kurulmuş ve mira yardımıyla şevin konumunu verecek noktalar okunmuştur. Gerekli durumlarda alet B noktasına taşınmış ve bu noktadan da ölçüler alınmıştır. Okumalarda, mira, yatay ve düşey açı, alet yüksekliği okunmuş olup, şeve ait noktaların yüksekliği hesaplanmıştır (Şekil 5.1 ve Şekil 5.2).

i : Miranın orta retiküle olan yüksekliği

a : Alet yüksekliği

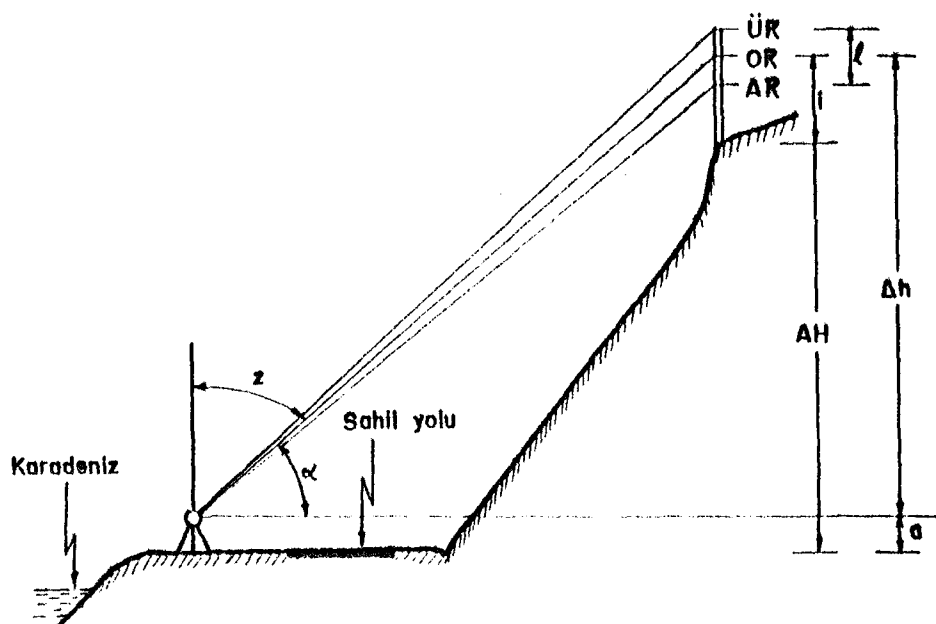
Z : Düşey açı (grad)

α : Yatay açı (grad)

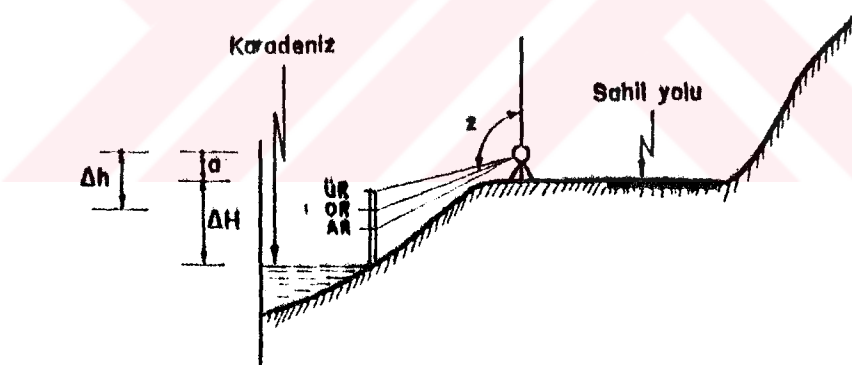
Δh: Dürbünle orta retikül arasındaki düşey mesafe

ΔH: Aletin orta retikül olan düşey mesafesi

K : Çarpım sabiti (100 olacak şekilde seçilir)



**Şekil 5.1 :** Şevlerdeki krokllerin çıkarılması için yapılan yükseklik okuması



**Şekil 5.2 :** Şevlerin deniz seviyesine göre yükseklik tayini

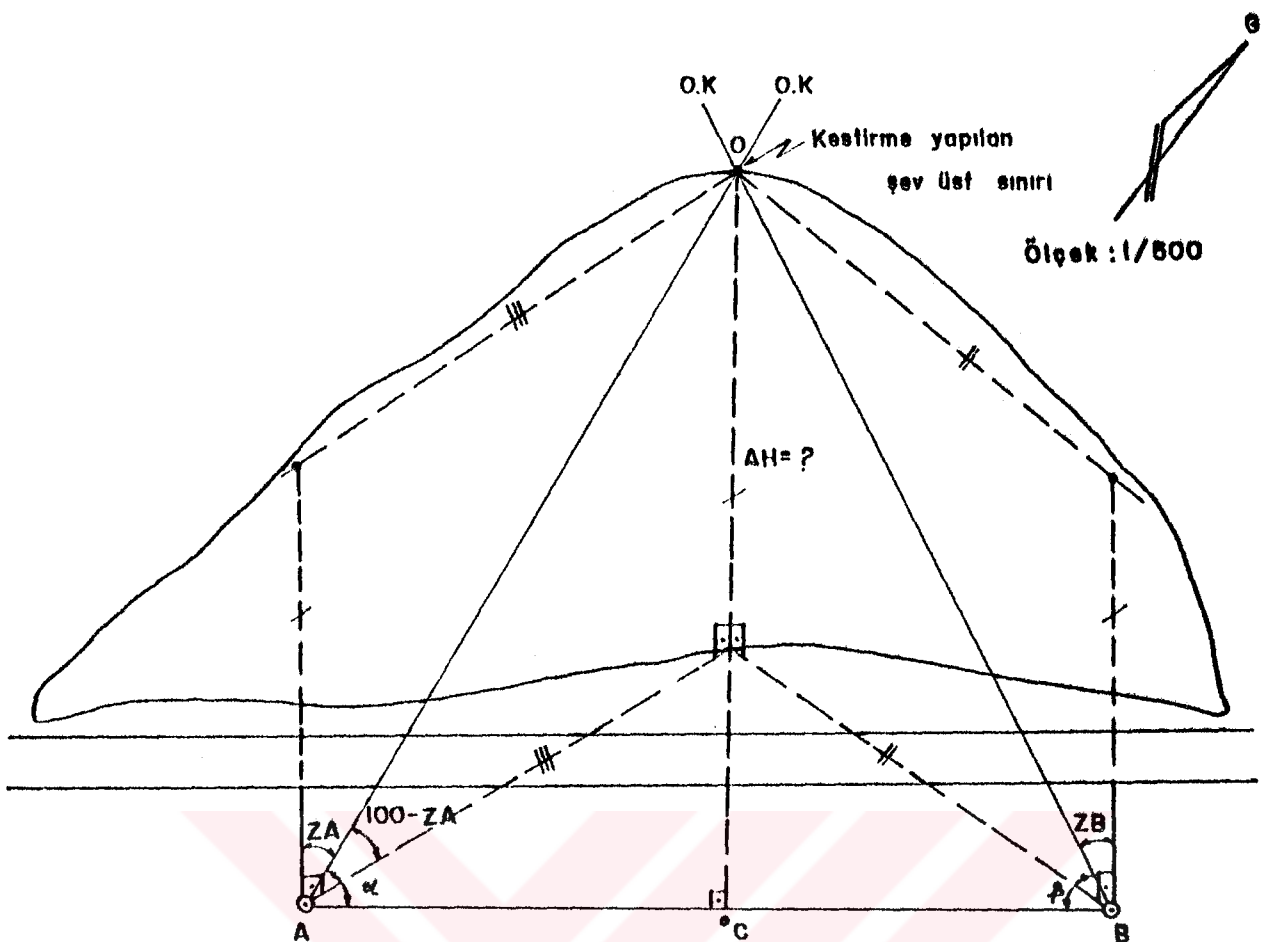
UR : Üst retikül

OR : Orta retikül

AR : Alt retikül

$i$  : Mirardin orta retiküle olan yüksekliği

$a$  : Alet yüksekliği



Şekil 8.3 : Şevlerde Kestirme yapılan noktaların yükseklik toyunu

- |AB| : Kroki üzerinden ölçümlü yapılan.
- ZA, ZB : Aletten okunan düşey eşitler.
- $\alpha, \beta$  : Kestirme doğrularının teşinin noktalar (A ve B) arasındaki doğruya yaptıkları eşitler (misişlerle bulunurlar).
- OA : Kestir überinden ölçülebildiği gibi trigonometrik haneler da bulunabilir.

$$\cos\alpha = \frac{AC}{AO} \implies AO = \frac{AC}{\cos\alpha}$$

L : Mirada okunan alt ve üst retikül okumalarının farkı

S : Yatay mesafe

H : Düşey mesafe (yükseklik)

$$S = K \cdot L \cdot \sin^2 z$$

$$H = S \cdot \cot g z - i + a$$

Şevlerde ölçülmeli istenen fakat çıkılamayan yükseklikler kestirme yolu ile trigonometrik hesapları yapılarak bulunmuştur.

Sevin tepe noktalarını görebilecek yere alet kurulmuş (A noktası) ve O noktaların yatay ve düşey açıları okunmuş, sonra alet B noktasına taşınarak aynı noktalara tekrar bakılarak yine yatay ve düşey açıları ayrı ayrı okunmuştur. Bulunan bu değerler ölçekli olarak (1/500) kağıt üzerine aktarılırak Şekil 5.3'de görüldüğü gibi hesaplar yapılarak yükseklikler bulunmuş ve şevlerin krokileri böylece çıkarılmıştır.

AC : Kesit üzerinden bulunur

$\Delta H$  : istenen yükseklik, tamamen trigonometrik hesaplama larla bulunur.

$$\sin(100-z_\alpha) = \Delta H / OH \Rightarrow \Delta H = OH \cdot \sin(100-z_\alpha)$$

H :  $\Delta H + a + A$ letin deniz seviyesinden yüksekliği

### 5.3. İncelenen Şevler ve Hareketin Türü

Çalışma sahasında ana yol boyunca yol şevlerinin tümü ölçülmüş ve işaretlenmiştir (Ek 5.6).

İncelenen şevler kaya ve zemin şevleri olmak üzere toplam 5 tanedir. Bunların iki tanesi kayada, iki tanesi taraçalı-2'de bir tanesinde ayrılmış (rezidüel) zeminde yer almaktadır.

Kaya şevlerinde; düzlemsel, düşme-devrilme ve kama tipi kaymaların, zemin şevlerinde dairesel olmayan kaymaların olabileceği ortaya konmuştur (Çizelge 5.1).

**Çizelge 5.1 : İncelenen Şevler ve Olabilecek Kitle Hareketleri**

Incelenen Şev No	Şevin Türü	Hareketin Türü	Kayma Yüzeyi
1	Kaya Şev	Düzlemsel Kama tipi Düşme-Devrilme	Var Var -
2	Kaya Şev	Düşme-Devrilme	-
3	Zemin Şev	Dairesel olmayan kayma	Muhtemel (olası)
4	Zemin Şev	Dairesel olmayan kayma	Muhtemel (olası)
6	Zemin Şev	Dairesel olmayan kayma	Muhtemel (olası)

#### 5.4. İncelenen Şevlere Ait Özellikler

Çalışma sahasında incelenen şevlerin özellikleri, laboratuvar, arazi ve büro çalışmaları sonucu bulunmuş ve elde edilen sonuçlar Çizelge 5.2'de verilmiştir.

**Çizelge 5.2 : İncelenen Şevlere Ait Özellikler**

SEV NO	ŞEVİN TÜRÜ	ÖZELLİKLERİ											
		Y <sub>k</sub> gr/cm <sup>3</sup>	Y <sub>d</sub> gr/cm <sup>3</sup>	C <sub>s</sub> kg/cm <sup>2</sup>	θ <sub>g</sub> %	C <sub>k</sub> kg/cm <sup>2</sup>	θ <sub>k</sub> %	θ <sub>a</sub> %	g <sub>s</sub> %	h <sub>v</sub> %	p %	e %	
1	KAYA	2.00	2.17	5.6	37	1.7	32	35	8.75	17.5	24.68	32.77	
2	KAYA	2.20	2.32	K:67 D:45	K:52 D:44	1.7	32	35	5.07	11.15	16.88	20.31	
		Y <sub>k</sub> gr/cm <sup>3</sup>	Y <sub>d</sub> gr/cm <sup>3</sup>	c'	θ <sub>g</sub> %	p %	e %	W %	LL %	PL %			
3	ZEMİN	1.44	1.92	0.17	25	47.8	91.67	33	41.02	32.72			
4	ZEMİN	1.43	1.67	0.36	22	63.73	175.71	57.6	60.5	45.6			
6	ZEMİN	1.45	1.81	0.30	27	56.29	128.78	42.1	41.7	37.9			

- K : Kuru halde  
 D : Doygun halde  
 $c_s$  : Saglam kayacın kohezyonu  
 $c_k$  : Cok yumusak kayanın kohezyonu  
 $\theta_s$  : Saglam kayacın içsel sürtünme açısı  
 $\theta_k$  : Kırıklı yüzeyin içsel sürtünme açısı  
 $\theta_a$  : Arazide ölçülen içsel sürtünme açısı  
 $\theta^e$  : Efektif içsel sürtünme açısı  
 $c'$  : Efektif kohezyon

#### 5.5. İncelenen Şevlerde uygulanan Analiz Yöntemlerinin Esasları

Çalışma sahasında ana yol üzerinde incelenen şevler "kaya ve zemin şevleri" olmak üzere ikiye ayrılmıştır. Şevlerde olabilecek hareketin türüne ve özelliklerine göre uygulanan yöntemler saptanmıştır (Çizelge 5.3).

**Çizelge 5.3 : İncelenen Şevlerde Hareketin Türüne Göre Uygulanan Analiz Yöntemleri**

SEN NO	HAREKETİN TÜRÜ	UYGULANAN ANALİZ YÖNTEMLERİ	
		ANALİTİK-GRAFİK YÖNTEMLER	STEREOGRAFİK İZDÜŞÜM
1	Düzlemsel Kama Tipi	-İki Boyutlu Analiz -Kama Tipi Kayma Analizi -Sadece İçsel Sürtünme Açısı İçeren Kama Tipi Kaya Bloğu Stabilite Diyagramları	- $c, \theta$ ve Su Basıncını İçeren Kama Tipi Kayma Analizi
	Düşme-Devrilme	-	-Lambert Eş-Alan Projeksiyonu
Düşme-Devrilme		-Lambert Eş-Alan Projeksiyonu	
3,4 ve 6	Karmaşık	Janbu'nun dairesel olmayan kayma analizi	

### 5.5.1. Kaya Şevlerinde Uygulanan Duraylilik Analiz Yöntemlerinin Esasları

İncelenen kaya şevlerinde düzlemsel, kama tipi kayma ve düşme-devrilme beklenigidinden uygulanan analitik-grafik ve stereografik yöntemlerinin esasları açıklanmıştır.

#### 5.5.1.1. Analitik ve Grafik Yöntemler

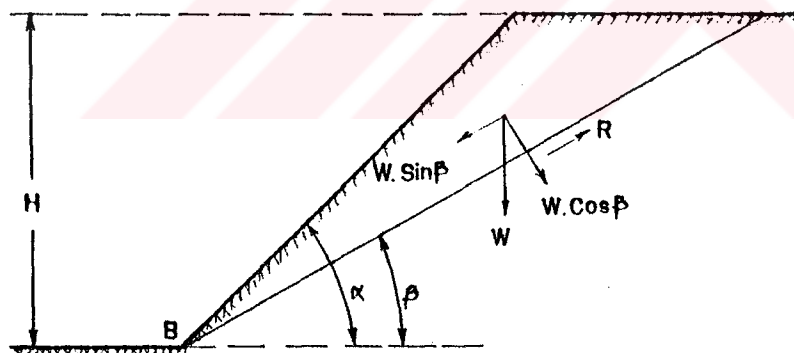
Hem analitik hem de grafik yolla analizi incelenen kaya şevleri her ikisini beraberinde bulunduran çözümleri de içerrir.

Kaya şevlerinde uygulanan "analitik ve grafik" yöntemler şunlardır.

- \* İki boyutlu analiz yöntemi (düzlemsel kaymada)
- \* Kama tipi kayma analizi (kama tipi kaymada)
- \* Sadece sürtünme açısı içeren kama tipi kaya bloğu stabilité diyagramları (kama tipi kayma da).

#### 5.5.1.1.1. İki Boyutlu Analiz

Düzlemsel kaymalarda uygulanan bu yöntemin esasını kavrayabilmek için olay iki boyutlu olarak düşünülür.



**Şekil 5.4:** Kırılma düzleminin boyunca kayma mekanizması  
(Inceefe, 1974 - Hoek, 1970 ve 1977' den)

B : Kırılma düzleminin açısı

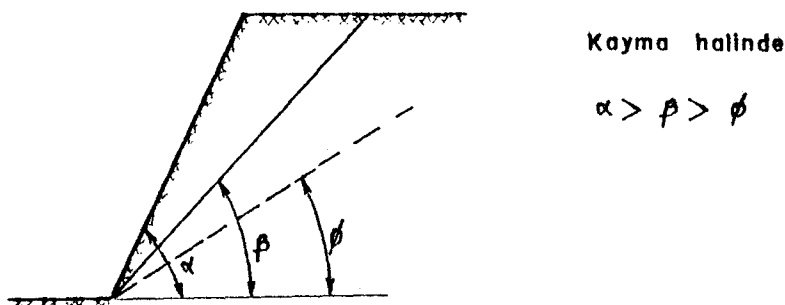
$\alpha$  : Şev açısı

H : Şevin yüksekliği

R : Kayma yüzeyinin makaslama dayanımı veya kaymaya karşı olan kuvveti

W : Bloğun ağırlığı

A : Bloğun taban alanı



**Şekil 5.5 :** Düzlemsel kaymada şev açısı, kırılma düzleminin açısı ve içsel sürtünme açıları arasındaki ilişkiler (Hoek ve Bray, 1977)

Sekil 5.5'de kaymanın olduğu düzlem, şev yüzeyine paralel olmalı ( $\pm 20^\circ$ ), kayma düzleminin eğimi şev eğiminden küçük ve kayma düzleminin eğimi bu yüzeydeki içsel sürtünme açısından büyük olmalıdır.

Denge durumu sınırlarında bulunmayan şevlerin dengelerini karşılaştırmak için kullanılan en yaygın indekslerden birisi şev güvenlik katsayısidır.

F (Güvenlik katsayısı) ise,

$F = \text{Kaymaya karşı kayan kuvvet}/\text{Kaymayı oluşturan kuvvet}$

$$F = (C.A + W.\cos\beta \cdot t_e \theta) / (W.\sin\beta)$$

Seklin geometrisinden:

$$F = [(2c \cdot \sin\alpha) / YH \cdot \sin(\alpha - \beta) \cdot \sin\beta] + [t_e \theta / t_e \beta]$$

elde edilir. Bu eşitlikten de  $\alpha$  (şev açısı) çekilecek olursa  $\cot\alpha = \cot\beta \cdot 2c / YH \cdot [(F) \cdot \sin\beta \cdot \tan\theta \cdot \cos\beta] \cdot \sin\beta$  eşitliği elde edilir. Bu eşitlikte, Y kaya veya zeminin yoğunluğu olup, F güvenlik katsayısı genellikle 2 olarak alınır. (Hoek, 1974).

Bu eşitlikte; H, dizayn mühendisince belirlenir.  $\beta$  açısının doğrudan ölçülmesine olanak yoktur. Çünkü jeolojik zaman süreci içinde sıcaklık, basınc etkileri, akma gibi olaylar nedeniyle bu kırık düzlemi belirgin değildir. Ancak burada yaklaşım yapıldığı gözönüne alınırsa, gerek bu ve gerekse bundan sonra verilecek olan yöntemlerde  $\beta$  açısı:

$$\beta = 45^\circ + \theta/2 \quad (\text{Inceef, 1974}) \quad \text{eşitliği ile hesaplanır.}$$

Y,  $\theta$ , c değerleri ya deneysel olarak saptanır, ya da Çizelge 5.4, 5, 6, 7, 8'den üzerinde çalışılan kaya cinsine göre bakılarak kullanılır (Not: Burada şevin yeraltı suyu tablasının üzerinde olduğu kabul edilmiştir).

Cizelge 5.4 : Çatlak dolgu malzemelerinin yaklaşık içsel sürtünme açıları (Hoek, 1970)

ÇATLAK DOLGU MALZEMESİ	İÇSEL SÜRTÜNME AÇISI DERECE
Fay killi	10-20
Kalsitli kırık zonu	20-27
Killi şistlerde fay	14-22
Sert kaya breşi	22-30
Sıkışmış sert kaya agregası	40
Sert kaya	38

Cizelge 5.5 : Bazı kayacıların içsel sürtünme ( $\phi$ ) ve kohezyon (C) değerleri (Hoek, 1970; Hoek ve Bray, 1974)

Kayaç Tipi	Sağlam Kayaçta $\phi$	Çatlaklı Kayaçta $\phi$	Kalıcı $\phi$	Kohezyon Masif Kayaçta
Andezit	45	31-45	28-30	-
Bazalt	48-50	47	-	-
Tebesir	-	31-41	-	-
Diyorit	53-55	-	-	-
Granit	50-64	-	31-33	100-300
Grovak	45-50	-	-	-
Kireçtaşı	30-60	-	33-37	50-150
Monzonit	48-65	-	28-32	-
Porfirit	-	40	30-34	100-300
Kuvarsit	64	44	32-34	-
Kumtaşısı	45-50	27-88	25-34	50-150
Şist	26-70	-	-	-
Killi şist	45-64	37	27-32	25-100
Silttaşısı	50	43	-	-
Arduvaz	45-60	-	24-34	-

Cizelge 5.6 : Toprak ve kayaçlar için kohezyon değerleri (Hoek, 1970)

Zemin veya kayaç cinsi	$c$ ( $lb/ft^2$ )	$c$ ( $kg/m^2$ )
Çok yumuşak toprak	35	170
Yumuşak toprak	70	340
Sert (pekişmiş) toprak	180	880
Sert toprak	450	2 200
Çok sert toprak	1 600	7 800
Çok yumuşak kayaç	3 500	17 000
Yumuşak kayaç	11 500	56 000
Sert kayaç	35 000	170 000
Çok sert kayaç	115 000	560 000
Çok çok sert kayaç	230 000	1 000 000

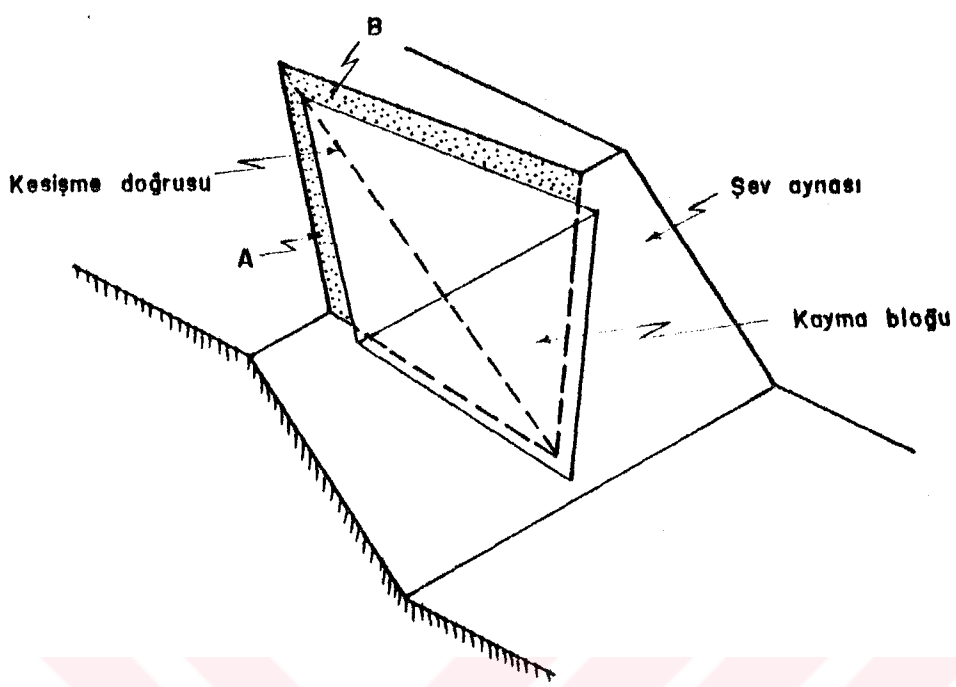
Cizelge 5.7 : Bazı yumuşak kayaçların yoğunlukları ve sürtünme açıları (Tannrıverdi, 1970)

Kayaç cinsi	Kaynak	Yoğunluk ( $kg/m^3$ )	Sürtünme açısı (derece)
Kil	Ferrandon		15-27
Kumlu marn	L'Herminier		34
Killi kum	Ferrandon		27-33
Orta ve ince kum	Bishop		33-43
Orta kum	Labasse	1 700	35-45
Yumuşak kömürlü şist	Labasse	1 800-2 000	30
Orta sertlikte kömürlü şist	Labasse	2 000-2 200	37
Sert kömürlü şist	Labasse	2 200-2 600	45
Sert kireç taşı	Labasse	2 500-2 900	45-50
Kireç taşı	Duriez		41
Kumtaşısı	Labasse	2 200-3 000	50-70

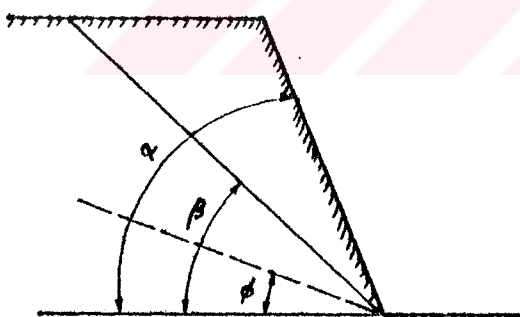
**Çizelge 5.8 : Kayac ve zeminlerin bazı jeoteknik parametreleri (Paşamehmetoğlu, 1977)**

KAYAC VE ZEMİN ÖZELLİKLERİ								
Tip	Formatyon sınıfı	Yağluluk (%)		İçsel sürtünme agası (G)			Kohesyon (c)	
		kg/m <sup>3</sup>	lb/ft <sup>3</sup>	Malzeme	Derece	Formatyon sınıfı	kg/m <sup>2</sup>	lb/ft <sup>2</sup>
Z	Kum	Kuru, İri tanelli kum	1 440	90	Kompakt, finiform	40-50		
		Kuru, ince tanelli kum	1 600	100	Tanelli, uniform			
		Sulu kum	1 810	115	Uniform, İri-orta incekte veya milli kum	35-40		
		Cök sulu kum	1 920	120	Gevşek, Uniform taneli kum İnce susuz kum	35-40 30-35		
S	Çakıl	Karışık Nehir çakılı	1 760	110	Karışık Ufak, yuvarlak taneli çakıl	35-40 40		
		Gevşek yuvarlak taneli çakıl	2 210	110				
		Kumlu çakıl	1 810	115	Kumlu kompakt	40-45		
		Kumlu çakıl	1 920	120	Kumlu gevşek	35-40		
O	Arıt kaya (zeminsiz)	Granit	1 600	100	Kırılmış kaya	35-40		
		Bazalt ve dolerit	1 200	125				
		Kireçtaşı ve kumtaşı	1 760	110	Kırılmış tebeşir	35-45		
		Tebeşir	1 210	110	Kırılmış şejl	35-45		
Z	Şejl	1 280	80					
		1 600	100					
		1 200	125					
		Kuru kıl	1 760	110	Kuru, İri tanelli kıl	30	Çok sert, İri tanelli kıl	17 600 3 600
U	Drenede edilmiş kıl	Drenede edilmiş kıl	1 840	115	Drenede edilmiş, İri tanelli kıl	40	Sert şejlli kıl	14 600 3 000
		Sulu kıl	1 920	120	Sert kıl			
		Kumlu sulu kıl	1 600	100	Yumuşak kıl	5-7		
		Marn	1 760	110	Dolgu kıl	10-20	Sağlam kıl	4 900 1 000
N	Çakılı kıl	Çakılı kıl	2 000	125	Makaslama bölgesi malzemesi	20-27	Yumuşak kıl	2 400 500
					Fay, şejl malzemesi	14-22		
		Yüzey toprağı	1 360	85				
T	Örtü tabakası	Kuru toprak	1 410	90	Örtü toprağı	30-35	Örtü toprağı	490- 100-
		Nemli toprak	1 600	100			4 900	1 000
		Sulu toprak	1 680	105				
M	Kaya katidesi	Granit	2 611	164	Granit	30-50	Sert kaya (granit)	9 800- 2 000-
		Kuyvarsit	2 611	164	Kuyvarsit	35-45	porfir vb.)	30 000 6 400
		Kumtaşı	1 950	122	Kumtaşı	30-45	Kumtaşı veya kireçtaşı	4 900- 1 000-
		Kireçtaşı	3 169	180	Kireçtaşı	30-50	Porfir	14 600 3 000
		Porfir	2 580	160		30-40	Şejl veya yumuşak kaya	2 400- 500-
		Şejl	2 400	150	Şejl	27-35		9 800 2 000
		Tebeşir	1 760	110	Tebeşir	30-40		

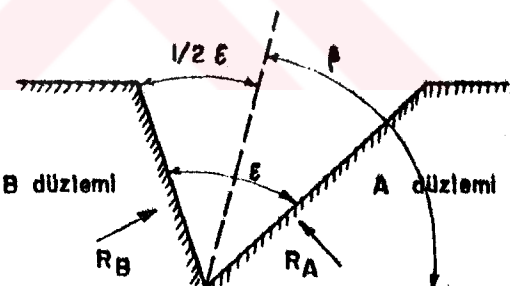
### 5.5.1.1.2. Kama Tipi Kayma Analizi



Şekil 5.6 : Kama tipi kaymanın üç boyutlu görünümü



Şekil 5.7 : Kesme doğrusundan  
paralel alınan kesit



Şekil 5.8 : Kesme doğrusuna  
diktir alınan kesit

- $\beta$  (Kılgılk olası): Arakemit doğrultusunun yatay düzleme yaptığı açı
  - Kayma yüzeyleri arasındaki açı
  - İçsel mürtrütme açısını
  - Kayma düzleminin açısını
  - Şev açısını
- $E$
- $\phi$
- $\beta$
- $\alpha$

$\beta$  ve  $\epsilon$  değerleri stereografik çizimden de elde edilebilir.

Kaymanın yalnız sürtünme ile engellendiği bir durumda güvenlik katsayısı sürtünme açısı her iki düzlemede de  $\theta$  ise aşağıda verilen eşitlikten yararlanılır.

$$F = [(R_a + R_b) \cdot \tan \theta] / W \cdot \sin \beta$$

$R_a$  ve  $R_b$  değerleri ait oldukları kayma yüzeylerindeki sürtünme kuvvetleri (Şekil 5.8).

$R_a$  ve  $R_b$  değerlerini bulmak için kesişme doğrusu boyunca kuvvetler yatay ve düşey olarak ikiye ayrılır.

$$R_a \cdot \sin(\beta - \frac{1}{2}\epsilon) = R_b = \sin(\beta + \frac{1}{2}\epsilon)$$

$$R_a \cdot \cos(\beta - \frac{1}{2}\epsilon) - R_b \cdot \cos(\beta + \frac{1}{2}\epsilon) = W \cdot \cos \beta$$

$$R_a + R_b = W \cdot \cos \beta \cdot \sin \beta / \sin \frac{1}{2}$$

Buradan:

$$F = (\sin \beta / \sin \frac{1}{2}) / (\tan \theta / \tan \beta)$$

$$F = K \cdot F_m$$

$F$  = Yalnız sürtünmeyle kayması engellenen kama bloğunun emniyet katsayıısı

$F_m$  = Kayma düzlemi eğiminin ( $\beta$ ) ve şev eğiminin ( $\alpha$ ) olduğu düzlemsel kaymanın emniyet katsayıısı

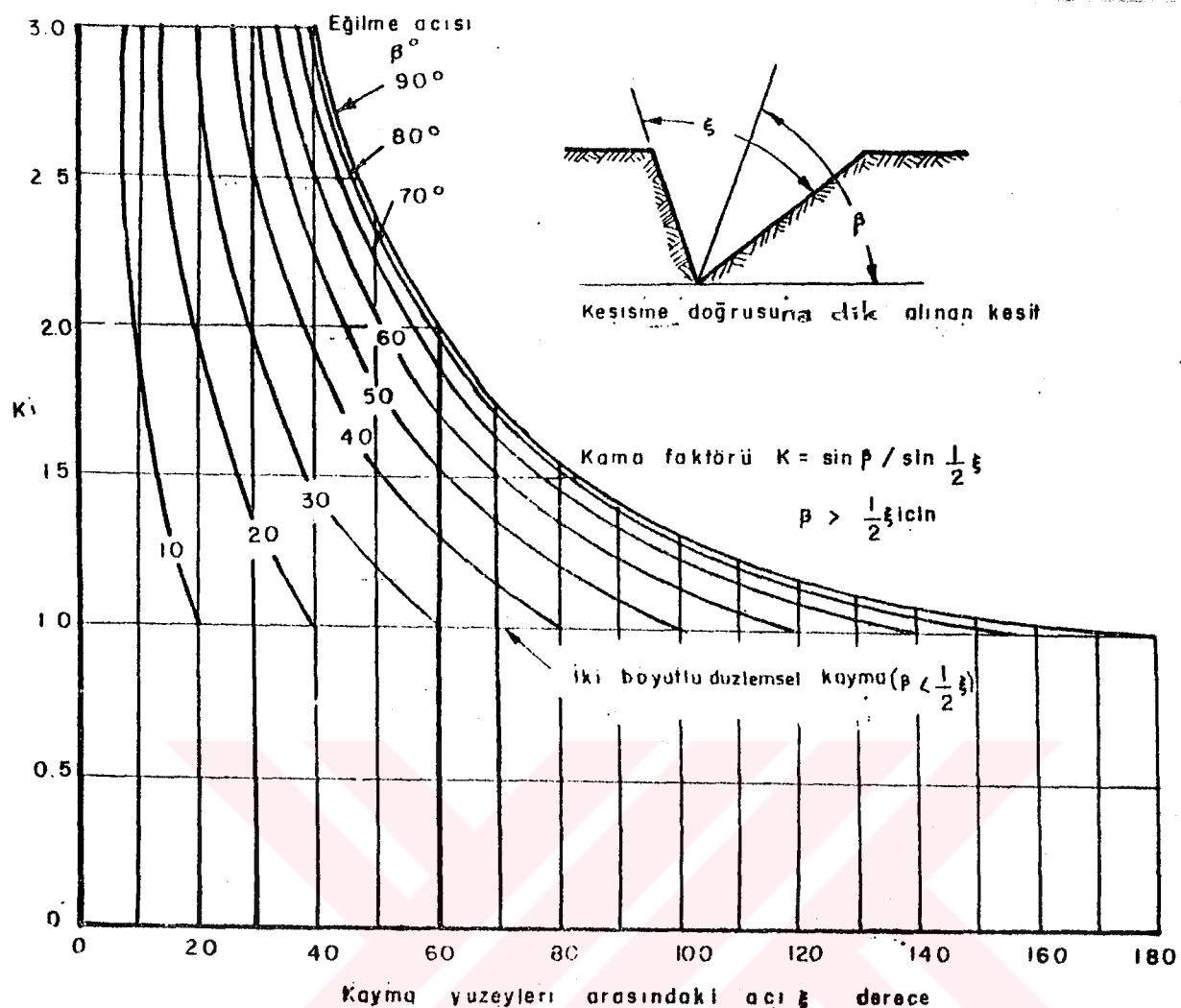
$K$  = Kamalanma faktörü

Kama faktörü  $K$ , Şekil 5.9'de verilen eşitlikle hesaplanabilir. Aynı şekilde bir dizi  $\beta$  ve  $\epsilon$  açıları  $K$  faktörü değerleri çizilmüştür.

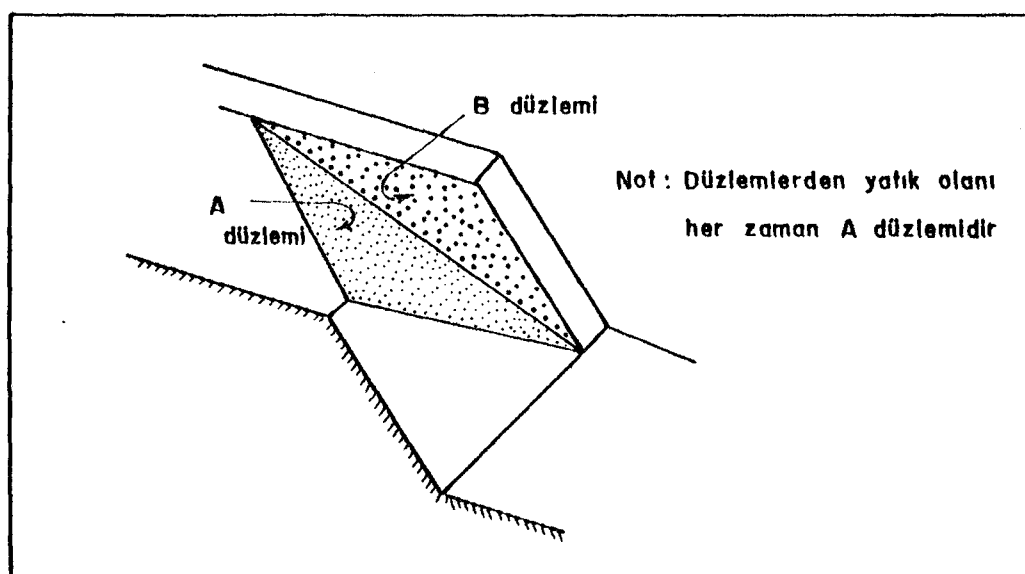
#### 5.5.1.1.3. Sadece Sürtünme Açısı İçeren Kama Tipi Kaya Bloğu Stabilite Diyagramları

Bu yöntem, yapılan bazı yaklaşımların yanı sıra, grafiklerin de kullanılması ve sahada ölçülen süreksizliklere ait eğim ve eğim yönü ölçülerinin stereo-netlerle değerlendirilmesinden meydane gelir.

Saha ölçüler stereo-netlerde yerlerine konarak (kutup noktaları), kutup kümeleşmelerinin yüzde değerlerine göre aynı % değerini veren noktalardan konturlar geçirilir. Bu kontur gruplarını ifade eden ana süreksizliklerin büyük dairelere stereo-netlere çizilir. Süreksizlik düzlemlerini ifade eden bu çizgilerin kesişmesi halinde kama tipi bir kayma beklenir (Hoek ve Bray, 1977), (Şekil 5.10).



Sekil 5.9 : "  $K$  " Kama faktörü kama geometrisinin bir fonksiyonu olarak gösterilmesi



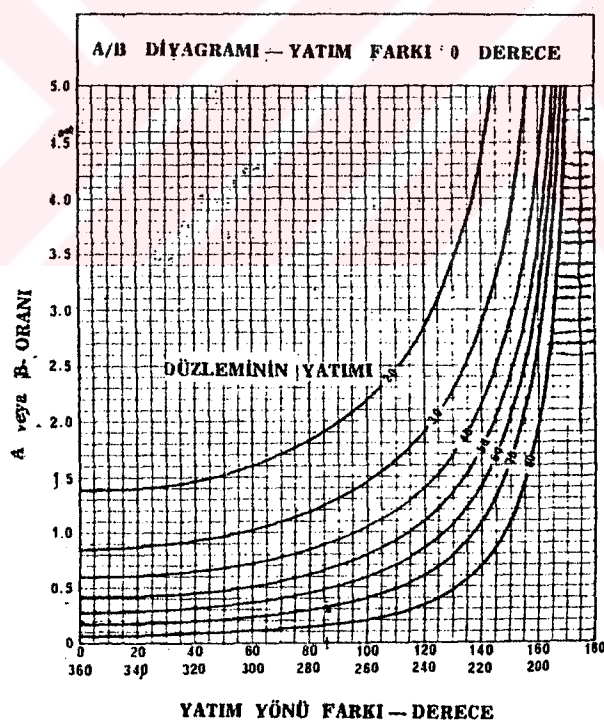
Sekil 5.10 : Kama tipi kaymalarda kesisen düzlemlerin belirtilmesi

Eğer kesişen düzlemlerin kohezyonları sıfır'a eşitlenir ve şevin tamamen direne edildiği varsayımlı yapılrsa,  $F$  güvenlik katsayısı aşağıdaki şekilde alır (Hoek ve Bray, 1977).

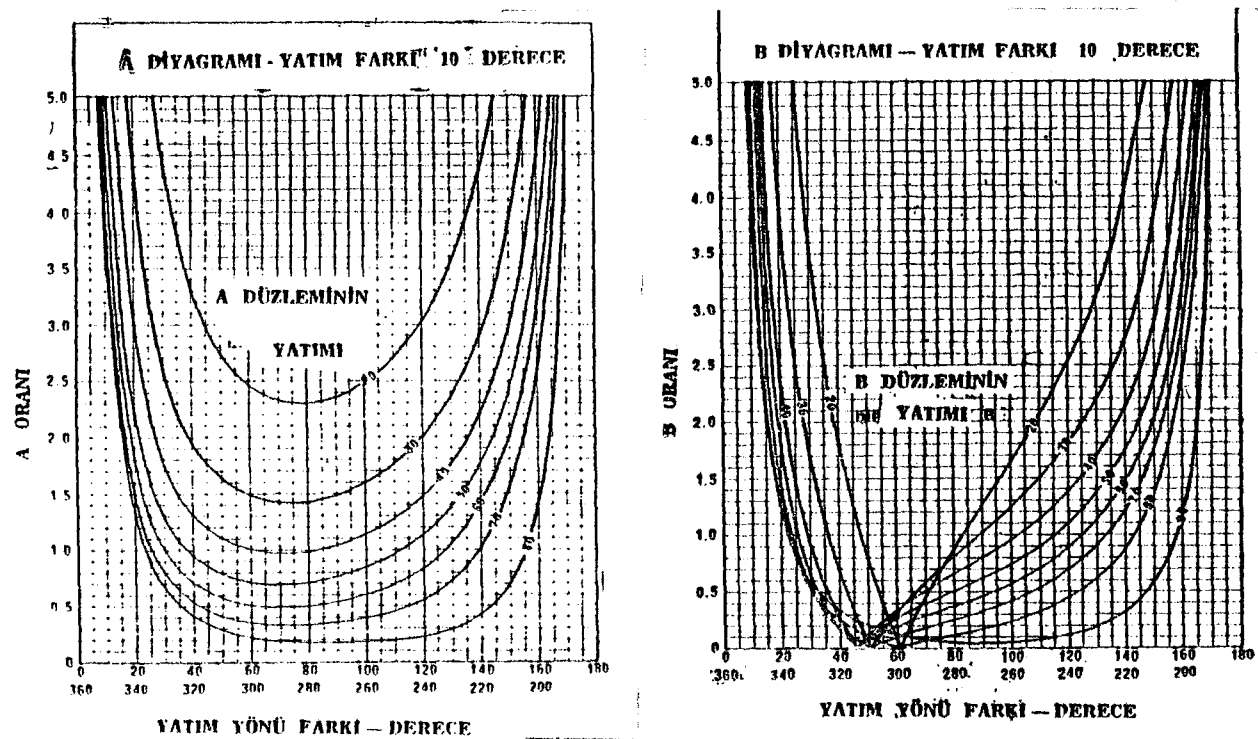
$$F = A \cdot \operatorname{tg}\theta_A + B \cdot \operatorname{tg}\theta_B$$

Bu eşitlikte,  $A$  ve  $B$  değerleri iki düzlemin eğim ve eğim yönlerine bağlı katsayılardır. Bir dizi kama geometrisi için bu iki katsayının değişik değerleri hesaplanmış ve alınan sonuçlar bir diyagram serisinde gösterilmiştir (Şekil 5.11a,b,c,d,e,f,g,h,i,j,k,l,m,n,o,).

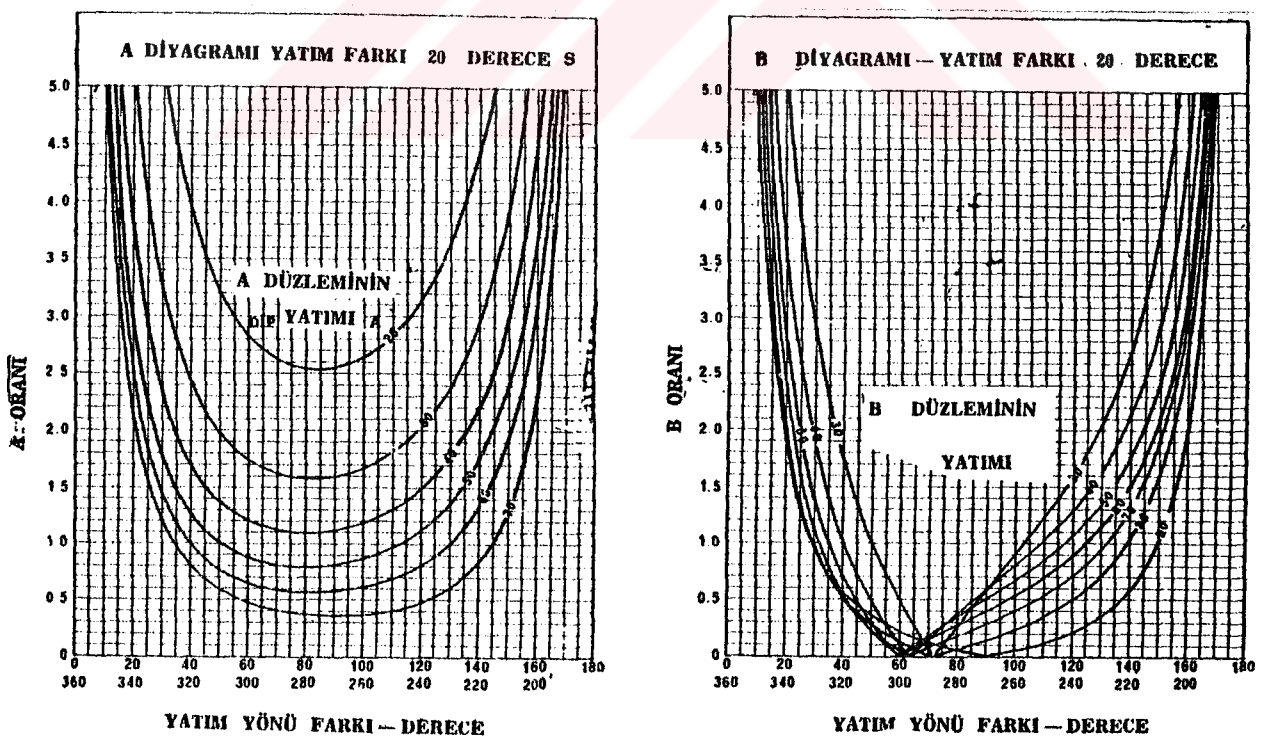
$\theta_A$ ,  $\theta_B$  ise kesişen düzlemleri oluşturan formasyonların içsel sürtünme açılarıdır. Coğu kez kesişen düzlemler aynı formasyon içinde yer alındıklarından  $\theta_A$  ve  $\theta_B$  değerleri birbirine eşit olarak kabul edilirler.



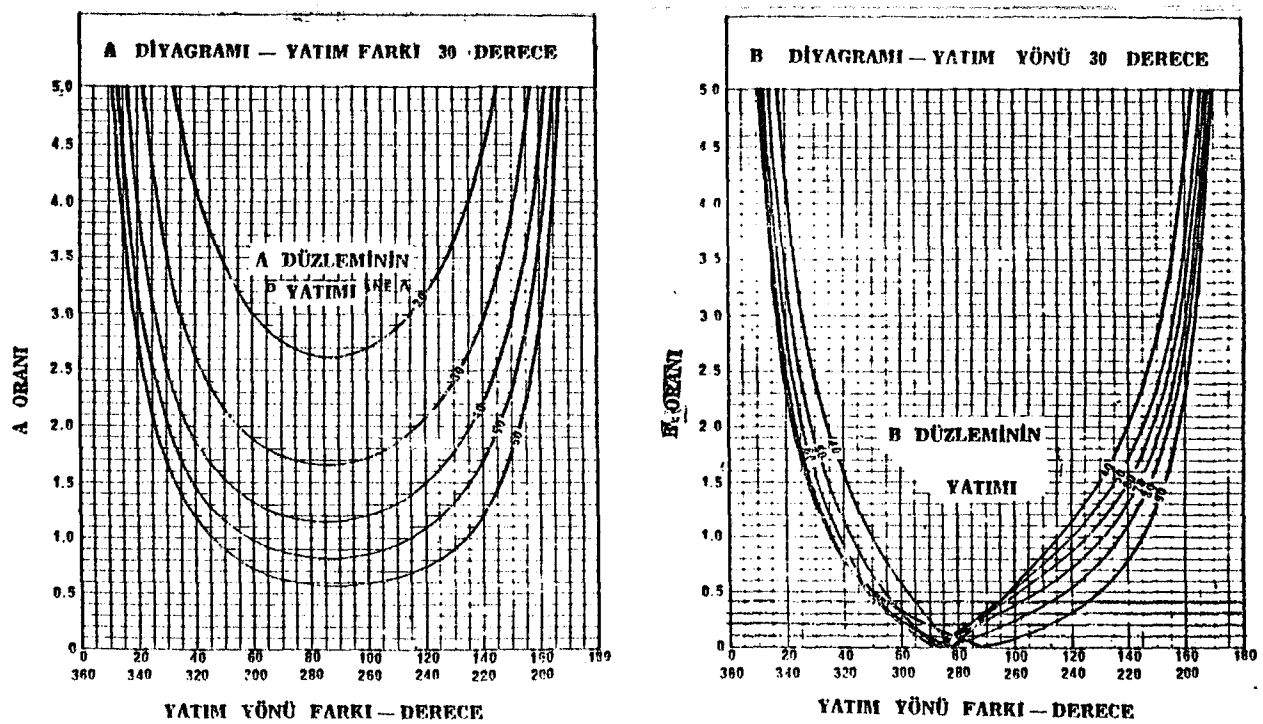
Şekil 5.11a :  $0^\circ$  eğim farkını A ve B diyagramı  
( Hoek ve Bray, 1977 )



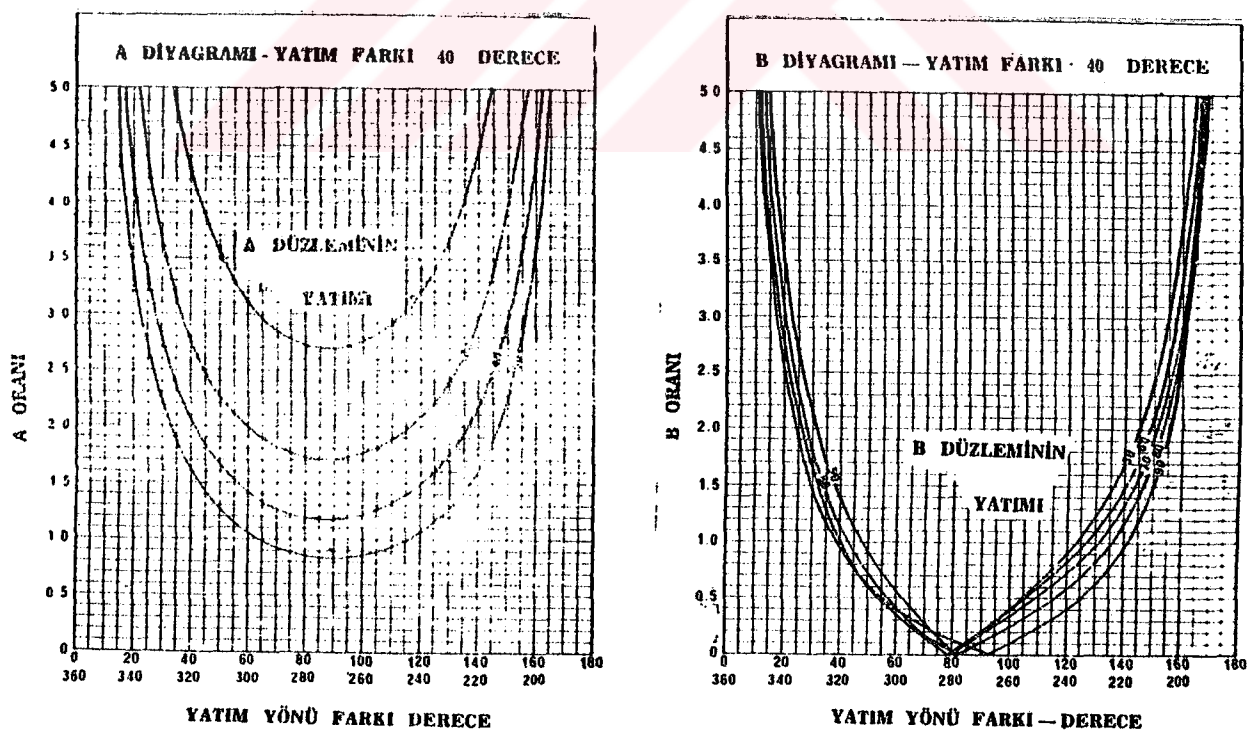
Sekil 5.11 b,c :  $10^\circ$  ce eğim farkının A ve B diyagramları  
(Hoek ve Bray, 1977)



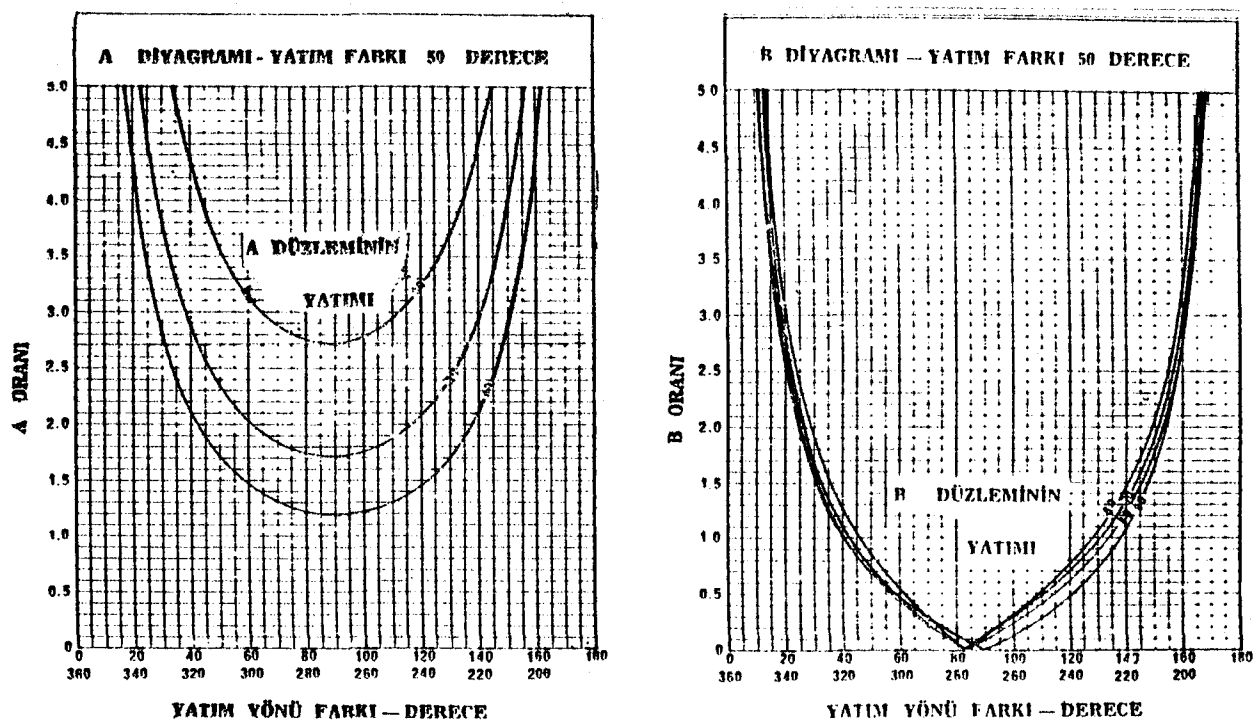
Sekil 5.11 d,e :  $20^\circ$  ce eğim farkının A ve B diyagramları  
(Hoek ve Bray, 1977)



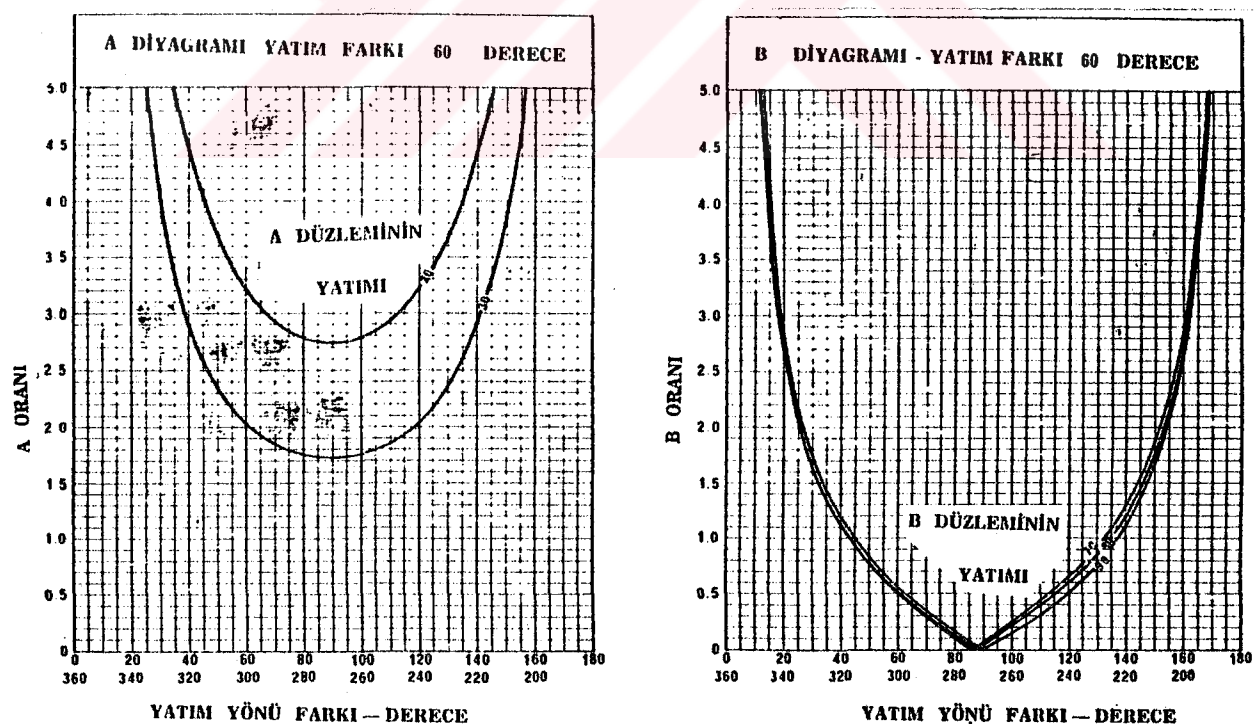
Sekil 5.11 f, g :  $30^\circ$  ce eğim farkının A ve B diyagramları  
(Hoek ve Bray, 1977)



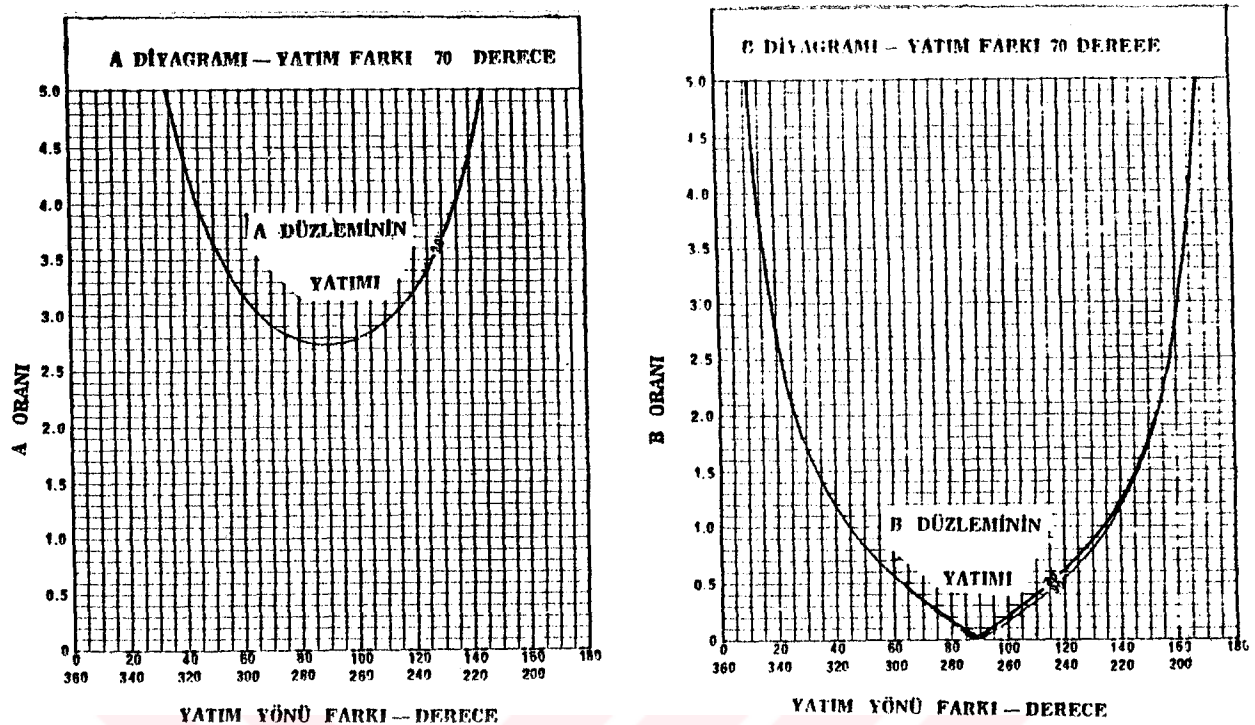
Sekil 5.11 h, i :  $40^\circ$  ce eğim farkının A ve B diyagramları  
(Hoek ve Bray, 1977)



Sekil 5.11 j, k :  $50^\circ$  ce eğim farkının A ve B diyagramları  
(Hoek ve Bray, 1977)



Sekil 5.11 l, m :  $60^\circ$  ce eğim farkının A ve B diyagramları  
(Hoek ve Bray, 1977)



Şekil 5.11n,  $\alpha = 70^\circ$  ce eğim farkının A ve B diyagramları  
(Hoek ve Bray, 1977)

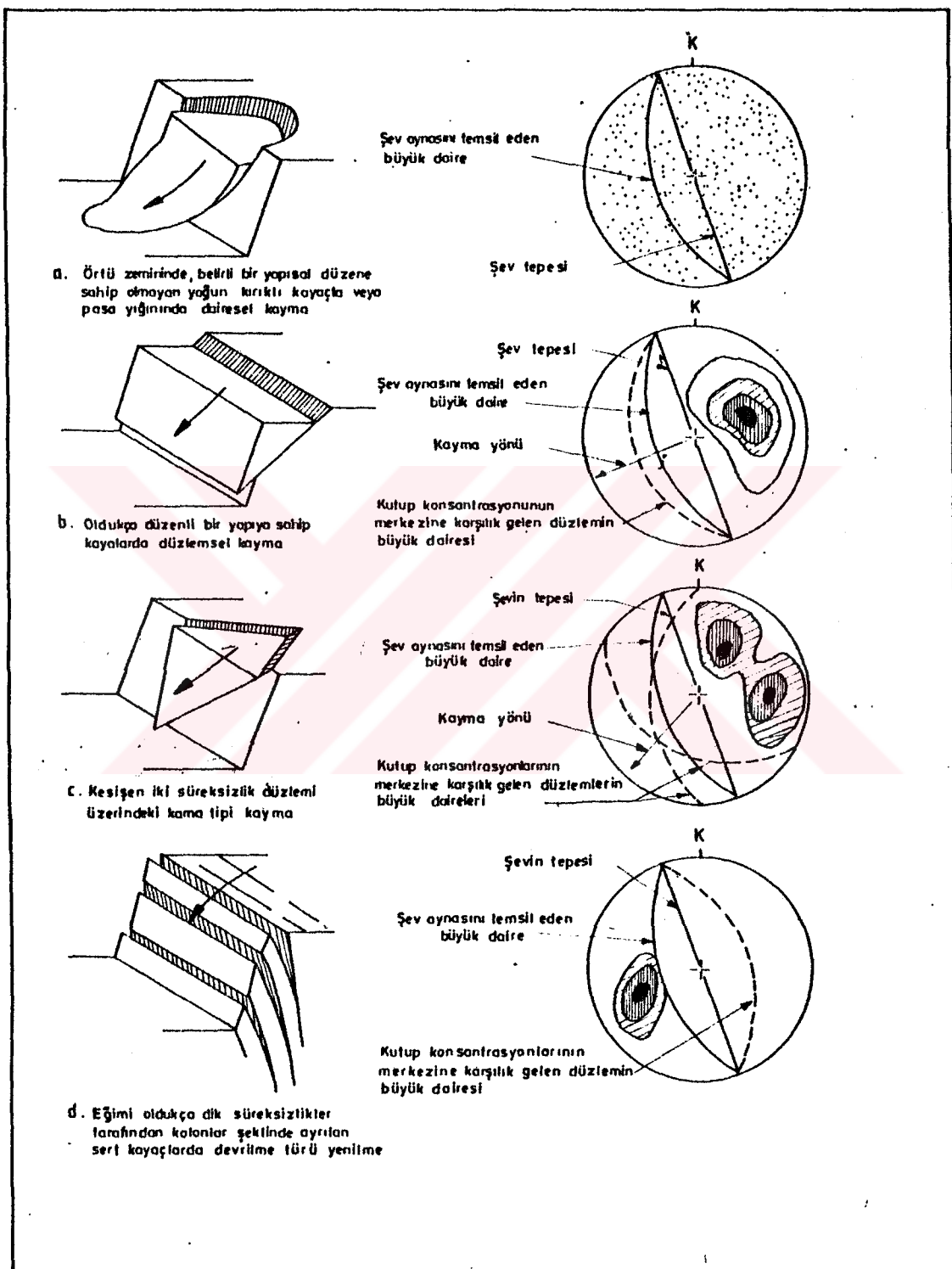
#### 5.5.1.2. Stereografik İzdüşüm (Projeksiyon) Yöntemi

Kaya şevlerinin duraylılık (stabilité) analizlerinde jeolojik verilerin kolayca gösterilebildiği en uygun yöntem stereografik projeksiyonların kullanılmasıdır.

Bu yolla şev duraylılığında etkili olan, kayaların içerdigi süreksızlık düzlemleri küresel projeksiyonda gösterilebilir.

Birbirinden farklı doğrultu ve eğimdeki düzlemlerin birbiriyle ve şev düzlemi ile olan ilişkileri ortaya koyulabilir. Kayaların içerdigi süreksızlıklar; fay, tabaka, çatlak gibi belirgin süreksızlıklar olabileceği gibi çatlak takımları da olabilir. Çatlak takımları olması halinde, "Eş-Alan Projeksiyon" üzerinde her çatlak takımı bir kutup kümeleşmesi olarak gösterilebilir. Çatlak sayısı 10'dan fazla olursa büyük dairelerin çizimi çok karışık olur. Bu nedenle büyük daireler yerine bu ölçülerin kutupları ile çalışma daha uygun olmaktadır.

Kayaçlarda açılan şevlerde süreksızlık düzlemleri göz önüne alındığında olabilecek kitle hareket türleri Şekil 5.12'de gösterilmiştir.



Sekil 5.12 : Kaya şeşlerinde gelişen başlıca kitle hareketleri, çeşitleri ve bunların stereonetlerdeki görünümü

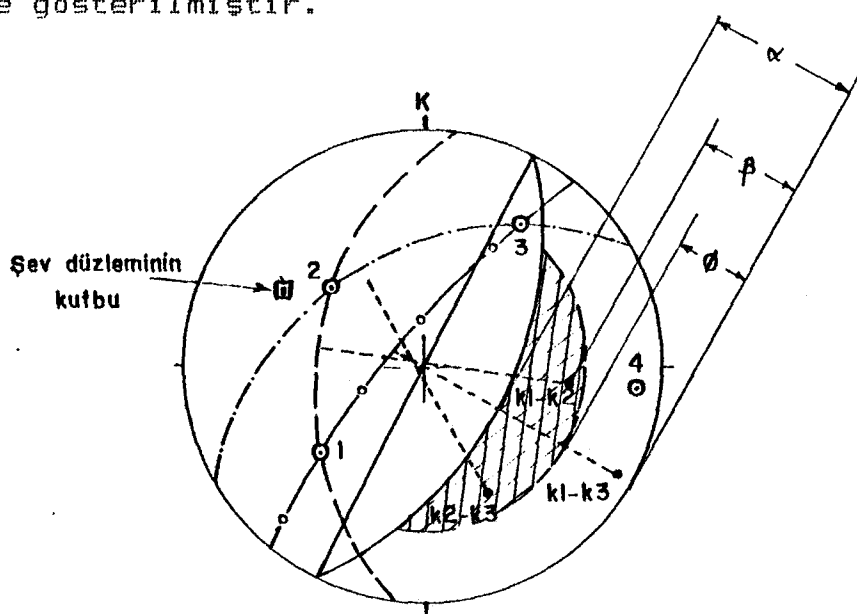
Şekil 5.12 incelendiğinde;

- a-Zemin ve çok sık çatlaklı kayalarda dairesel kaymayı,
- b-Fay, tabaka yada bir istikamette gelişmiş çatlak içeren kayalarda düzlemsel kaymayı,
- c-Kesişen süreksizlik içeren kayalarda kama tipi kaymayı,
- d-Düşey ve düşeye yakın kesişen süreksizlikler içeren kayalarda kaya devrilmesi ve düşmesinin oluşabileceği,

Düzlemsel kayma olabilmesi için, süreksizlik ve şev düzlemi kutuplarının birbirlerine çok yakın olmaları, düzlemlerin doğrultularının  $\pm 20^\circ$  sınırlar içinde olması, kama tipi kaymada süreksizlik düzlemleri arakesitlerinin, stereonet üzerindeki tehlikeli bölgeye düşmesi, devrilmə türü kitle hareketinde ise, kutup noktalarının stereonetin merkezine göre simetrik ve simetrige yakın durumda olmalıdır.

Kaya şevleri duraylılığında etkili olan, süreksizlik yüzeylerinin içsel sürtünme açısında ( $\phi$ ) stereonet üzerinde gösterilebilir. İçsel sürtünme açısı Eş-Alan Projeksiyonunda dış kenar sıfır, dairenin merkezi  $90^\circ$ yi gösterecek şekilde, daireler halinde belirtilir. Stereonet üzerinde, şev düzlemi büyük dairesi ile içsel sürtünme açısı daresinin belirlendiği alan, süreksizliklerin oluşturduğu kaya kamaları için duraylılık açısından tehlikeli bölgeyi oluşturur.

Stereografik izdüşüm yöntemi ile şev duraylılığı analizinde, süreksizlik yüzeyleri, şev yüzeyi ve süreksizlik düzlemlerindeki içsel sürtünme açısı arasındaki ilişki Şekil 5.13'de gösterilmiştir.



Şekil 5.13 : Dört yapısal süreksizlik içeren kayada duraylılık yorumu

- (1,2,3,4) : Süreksizliklerin kutup noktaları  
 $k_1-k_2$  : Kutup noktalarının ikişer ikişer ele alınmasıyla elde edilen arakesitlerin kutup noktaları  
 $\alpha$  : Sev düzleminin eğimi  
 $\beta$  : İki düzlemin arakesitinin dalım açısı  
 $\theta$  : İçsel sürtünme açısı

Şekil 5.13 incelendiginde, içsel sürtünme açıları  $\theta$  derece olan dört süreksizlik içeren bir kayada açılan şevin ilk duraylilik analizi yapılmıştır. Burada 1 ve 2 no'lu süreksizlik düzlemlerinin arakesiti tehlikeli bölgeye düştüğünden, bu iki süreksızlığın oluşturduğu kaya kamalarında, arakesit boyunca kayma olasılığı vardır. Aynı şekilde 2-3 no'lu süreksizliklerin oluşturduğu kaya kamalarında kayma olasılığı olup, kaymada daha çok kutbu, sev düzlemi korbuna yakın olan 2 no'lu süreksizlik, düzlemsel kayma açısından etkili olacaktır. 1-3 no'lu süreksizliklerin oluşturduğu kaya kamalarında ve 4 no'lu süreksızlığın diğer üç süreksizlikle oluşturduğu kaya kamalarında da kayma olasılığı yoktur. Ancak 4 no'lu süreksizlige bağlı olarak kaya devrilmesi, kaya düşmesiveya gerilme çatlakları oluşabilir. Bu şekilde stereografik projeksiyonlardan yararlanarak kayalarda açılacak şevlerde, duraylilik açısından, etkili olabilecek süreksizlikler saptandıktan sonra, bu süreksizliklerde daha ayrıntılı çalışmalar yapılarak etkili veriler toplanır. Bu verilerin ışığında yine stereografik izdüşüm yöntemi yada diğer analiz yöntemleri uygulanarak sev duraylılığı sorunu çözülmür.

Stereografik izdüşümü yöntemiyle kaya şevlerinde hangi türde bir hareket meydana gelebileceğine karar verdikten sonra uygulanacak analizlere geçilir.

Kaya şevlerinde görülen düzlemsel kaymalar ile kama tipi kaymalarda "Yalnızca sürtünme açısı içeren kama tipi kayma blogu stabilité diyagramları" yöntemi konu 5.5.1.1'de sunulmuş olup, burada "kohezyon ve su basıncını içeren kama tipi kayma analizi"ne değinilecektir.

5.5.1.2.1. Kohezyon(c), içsel Sırtunme Açısı(θ) ve Su Basıncını içeren Kama Tipi Kayma Analizi

Bu yöntemde uygulanacak olan analizin geometrisi Şekil 5.14'da verilmiştir. Bu analizde şekilde görüldüğü gibi, üst sev yüzeyi şev aynasına göre eğimli olarak alınmıştır. Şevin toplam yüksekliği Şekil 5.14b'de gösterildiği gibi, kaymanın olduğu varsayılan yüzeylerin kesişme doğrusunun alt ve üst noktalarının arasında kalan düşey uzaklığıdır.

Bu analizde varsayılan su basıncı dağılımı; Kama bloğunun geçirgen olmadığı ve suyun blogun üstündeki 3 ve 4 no'lu kesişme doğruları boyunca girdiği ve şev aynasını 1 ve 2 no'lu kesişme doğruları boyunca terkettiği varsayımda dayandırılmıştır. Bu varsayımdan elde edilen su basıncı dağılımı Şekil 5.14b'de gösterilmiştir. Görüldüğü gibi maximum basınç 5 no'lu kesişme doğrultusu boyunca oluşmaktadır, 1,2,3,4 no'lu doğrultular boyunca ise basınç sıfır olmaktadır.

Bu su basınç dağılımı çok fazla yağışların olduğu koşulları gösterir. Bu analizle değişik düzlemlerin kesişme doğrularının numaralandırılması özel bir önem kazanmaktadır. Bunun nedeni numaralar bir kez karışlığında çok değişik alanların ortaya çıkacağıdır. Şekil 5.14'da kullanılan numaralar aşağıda verilmiştir.

- 1- Düzlem A'nın şev aynası ile kesişme doğrusu
- 2- Düzlem B'nin şev aynası ile kesişme doğrusu
- 3- Düzlem A'nın üst şev aynası ile kesişme doğrusu
- 4- Düzlem B'nin üst şev aynası ile kesişme doğrusu
- 5- Düzlem A ve B'nin kesişme doğrusu

Kama bloğunun her zaman 5 no'lu kesişme doğrusu boyunca kaydiği varsayılmıştır. Bu Şevin güvenlik katsayısı ayrıntılı analiz neticesi bulunmuştur (Şekil 5.15).

$$F = [(3 \times C_A X)/YH] + [(3 \times C_B Y)/YH] + [A - (W \times X/2) Y] \tan \theta_A + [B - (W \times Y/2) X] \tan \theta_B$$

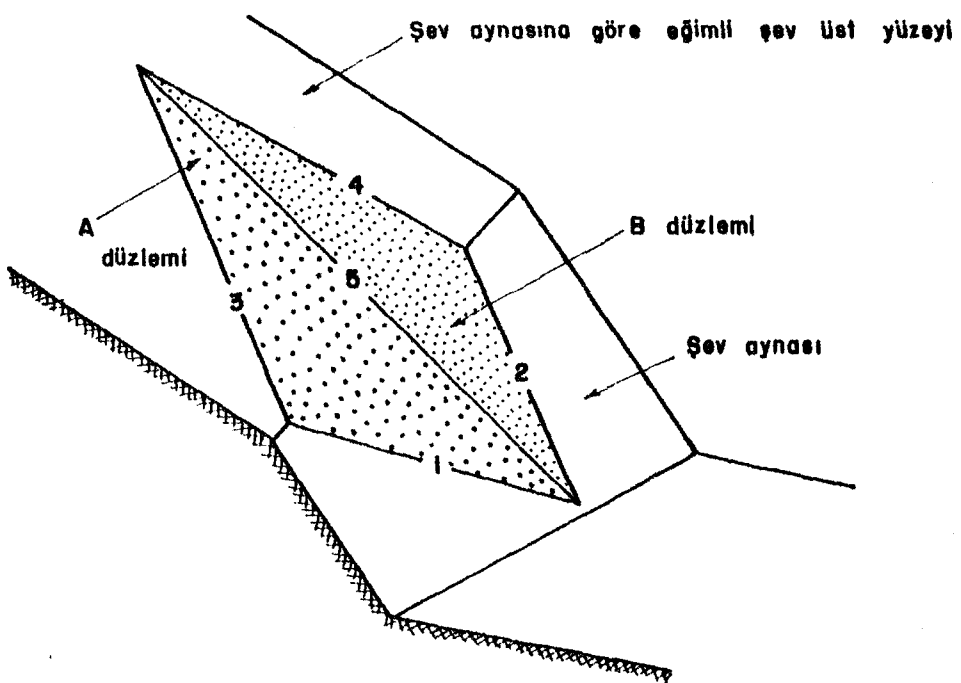
Burada,

$C_A$  ve  $C_B$  düzlem A ve B'nin kohezyon dayanımları,

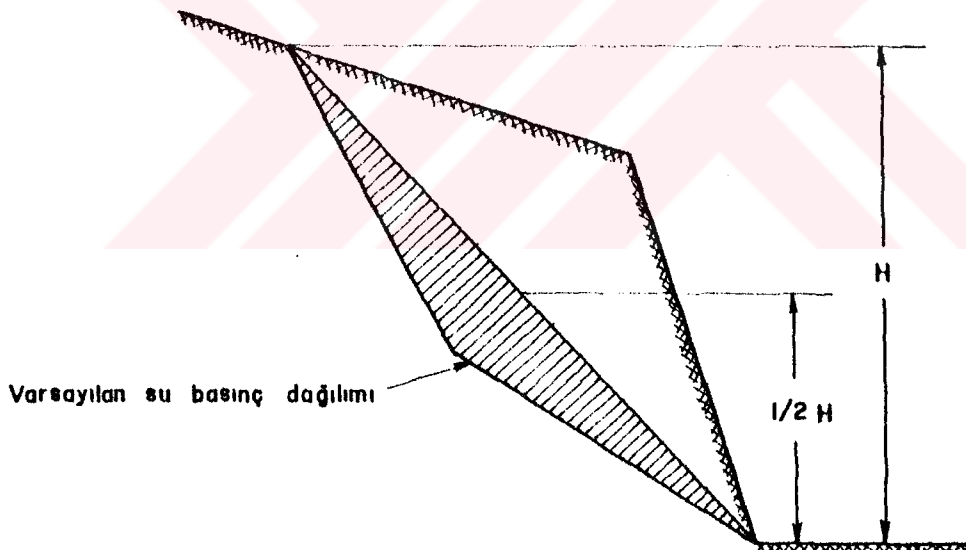
$\theta_A$  ve  $\theta_B$  düzlem A ve B'nin içsel sırtunme açıları,

$X$ , Kayanın yoğunluğu,

$W$ , Suyun yoğunluğu,

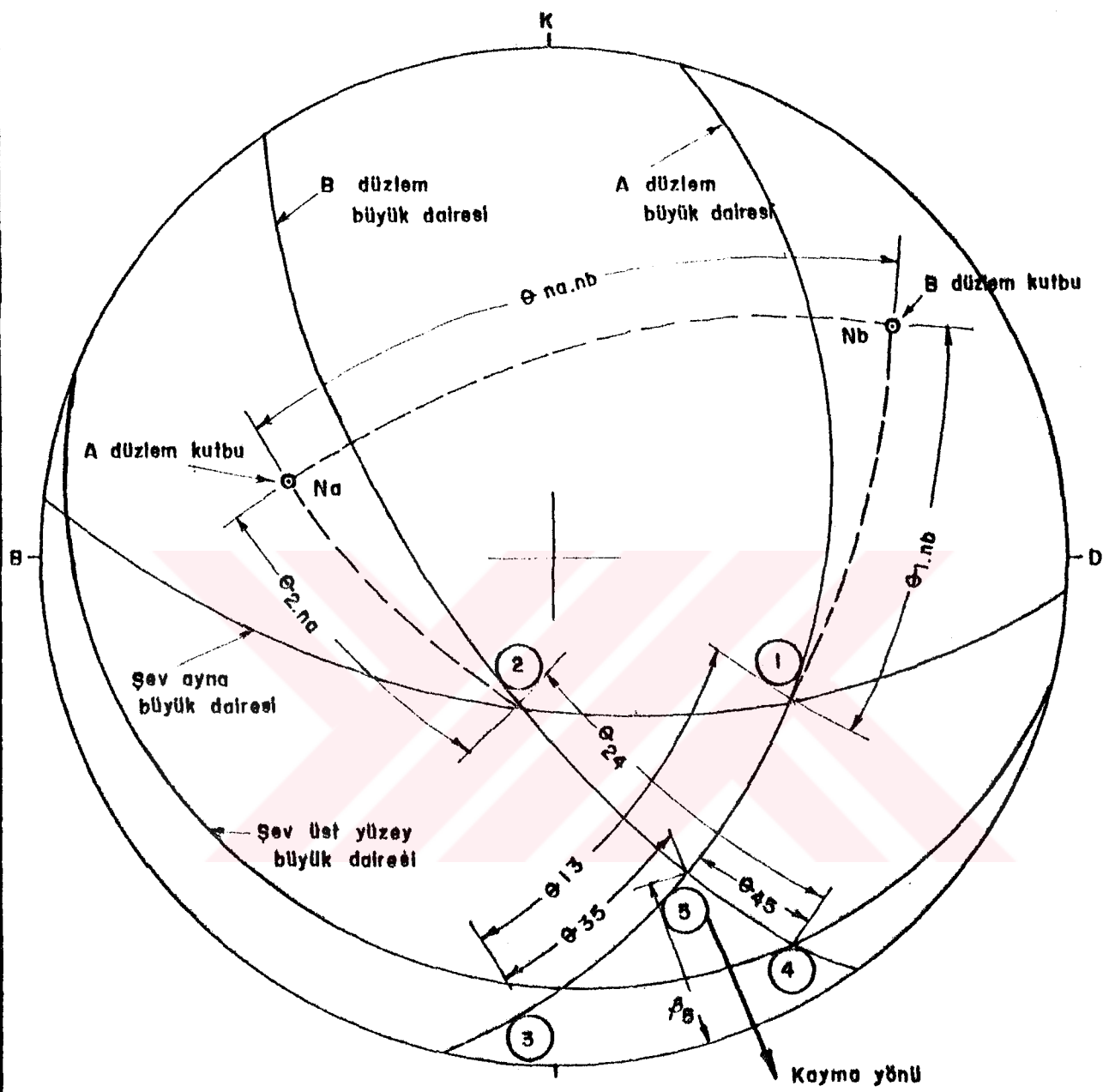


a - Kesme doğrularını ve düzlemlerini gösterir üç boyutlu kama geometrisi.



b - 5 no'lu kesme doğrusuna dikey doğrultuda olnan kesit (Toplam kama blok yüksekliği ve su basınç dağılımı gösterilmektedir)

**Şekil 5.14 :** Kohezyonun ve kayma yüzeylerindeki su basıncının etkilerini içeren stabilité analizleri için kullanılan kama geometrisi.



**Sekil 8.18 :** Kama tipi kayma analizleri için gerekli verilerin stereografik net üzerinde görünümü

H, kama bloğunun toplam yüksekliği (Şekil 5.14).

X,Y,A ve B, Kama geometrisine bağlı birimsiz katsayılarıdır.

$$X = \frac{\sin \theta_{24}}{(\sin \theta_{45} \cdot \cos 2.na)}$$

$$Y = \frac{\sin \theta_{15}}{(\sin \theta_{35} \cdot \cos \theta_{1..nb})}$$

$$A = \frac{[\cos \beta A - (\cos \beta B \cdot \cos \theta_{1..na}.nb)]}{(\sin \beta 5 \cdot \sin^2 \theta_{1..na}.nb)}$$

$$B = \frac{[\cos \beta B - (\cos \beta A \cdot \cos \theta_{1..na}.nb)]}{(\sin \beta 5 \cdot \sin^2 \theta_{1..na}.nb)}$$

Burada:  $\beta A$  ve  $\beta B$ , A ve B düzlemlerinin eğimleri,  $\beta 5$  ise 5 no'lu kesişme doğrusunun yatırmını göstermektedir. Bu eşitliklerin çözümü için gerekli açılar kama ve şev geometrisini belirleyen stereografik çizim yardımıyla hesaplanır (Şekil 5.15).

### 5.5.2. Zemin Şevlerinde Uygulanan Analiz Yöntemi

Zemin şevleri genelde çakılılı, kumlu, kil ve siltlerden meydana gelmekte dolayısı ile homojen bir özellik göstermedikleri ortaya çıkmaktadır.

İncelenen zemin şevlerinde kabul edilen kayma yüzleri boyunca "Janbu'nun dairesel olmayan kayma analiz yöntemi" uygulanmıştır.

#### 5.5.2.1. Janbu'nun Dairesel Olmayan Kayma Analizi

##### Analiz Esasları ve İzlenecek Yol

Herhangi bir şevdeki zemi nin, çok zayıf kaya kütlesinin veya pasa malzemesinin özellikleri şev boyunca çok sık olarak değişkenlik gösteriyorsa, ayrıca zemin-kayaç dokanlığı gibi yapısal bir özellikten dolayı veya kütle içinde, örneğin çok yumuşak bir kil bantı gibi, düşük makaslama dayanımılı düzlemsel seviyelerin varlığı halinde dairesel kayma analiz yöntemlerinin uygulanabilirliği ortadan kalkmaktadır. Bu tür koşularda kaymalar; dairesel olmayan veya şev tepesine yakın kesimlerde dairesel olarak başlayan, derinlerde düzlemsel olarak devam eden yüzeyler (birleşik kayma yüzeyleri) boyunca gelişmektedir. Duraysızlıkların bu tür kayma yüzeyleri boyunca geliştiği veya gelişebileceği şevlerin stabilitiesinin incelenmesi amacı ile bir analiz yöntemi önerilmiştir.

Janbu yöntemi : Bu yöntemde kayan kütle, dilimlere bölünür ve bazı grafiklerden de yararlanılır, aşamalı olarak sevin güvenlik katsayısı hesaplanır. Analiz esasını oluşturan sev geometrisi ve ilgili eşitlıklar Şekil 5.16'da, çözüm sırasında izlenen aşamalar ise aşağıda verilmiştir.

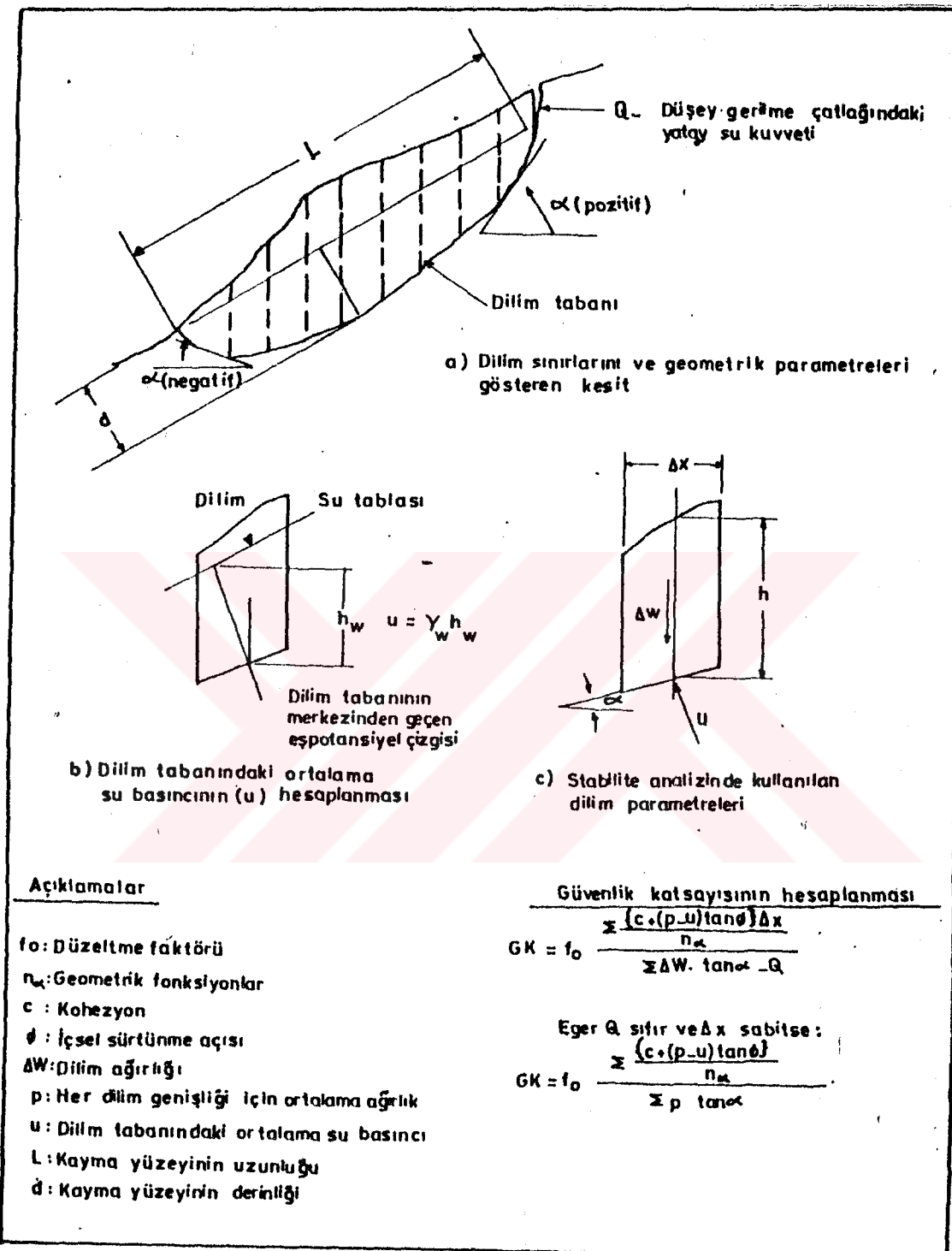
**1. Dilim Parametreleri :** Kayan kütle dilimlere bölünür. Dilimler; malzeme özelliklerindeki değişimler, sev geometri si ve su basıncı dağılımı dikkate alınarak seçilmelidir. Eğer, eşit dilimler kullanılırsa hesaplamalar basitleştirilir, fakat saha gözlemleri ve ortam koşulları eşit olmayan dilimlerin uygun olacagına işaret ediyorsa, kürenin eşit dilimlere ayrılmasına gerek yoktur. Her dilim tabanın merkezinde  $\alpha$  açısı ölçülür. Dilimler için ayrı ayrı  $\alpha$ ,  $\Delta X$ ,  $c$  ve  $tg\theta$  değerleri hesaplama çizelgesine kayıt edilir.

**2. Ağırlık Parametreleri :** Dilim ağırlığı  $\Delta W$  ve her tabanın birim alanı için dilimin ortalama ağırlığı  $P$  hesaplanır. Eğer dilim geometrisi nispeten düzenli ise,  $P=y.h$  olarak alınabilir. ( $h$ ; dilimin ortalama yüksekliği) ve dilimin ağırlığı  $\Delta W=y.h.\Delta X$  eşitliği ile verilir. Dilim yüksekliği düzensiz ise dilimin ağırlığı; planimetre ile dilim alanının ölçülp, malzemenin yoğunluğu ile çarpılmasından hesaplanır. Bu durumda,  $P=\Delta W/\Delta X$  olur.  $P, h$  ve  $\Delta W$  çizelgeye kaydedilir.

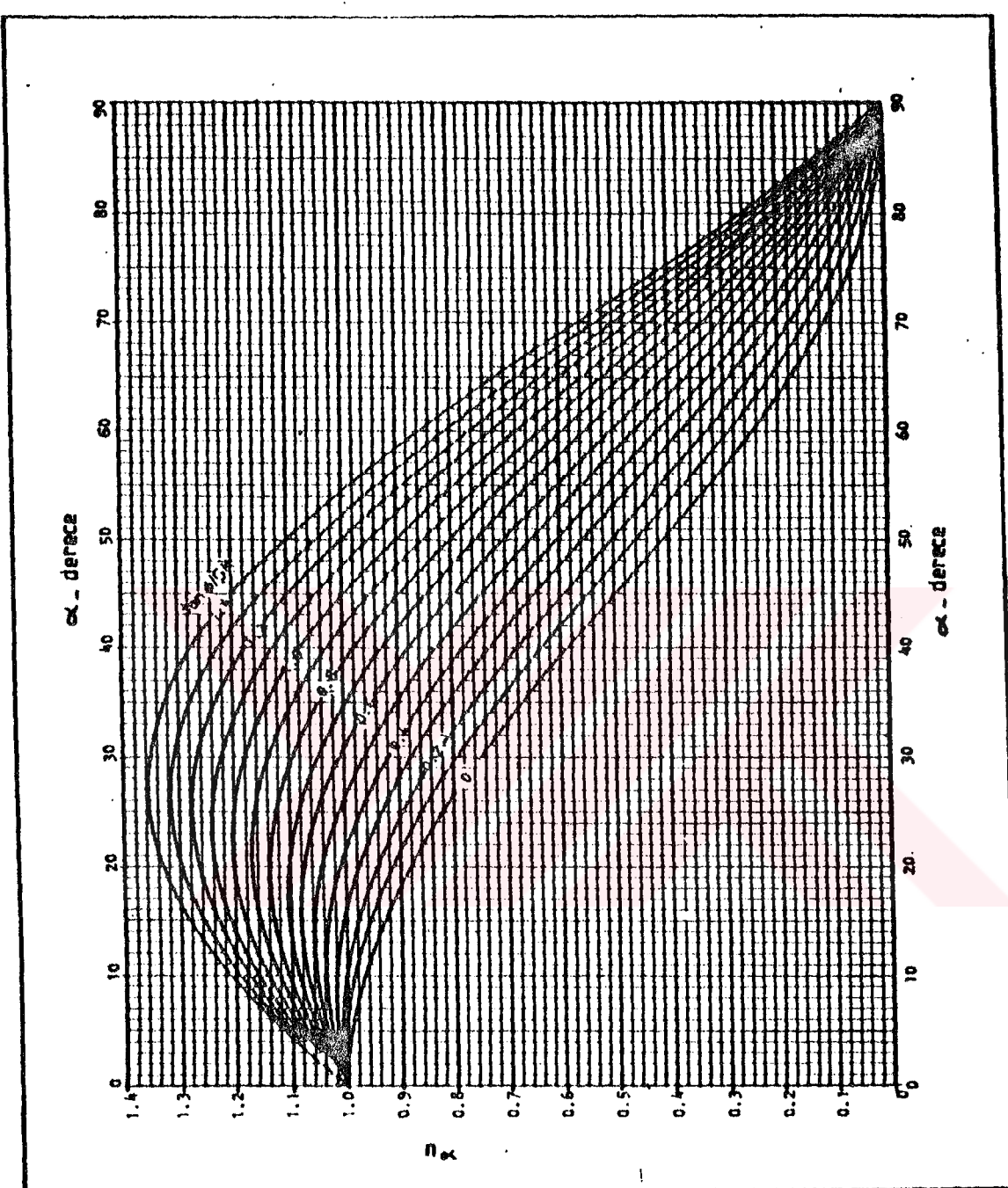
**3. Kayma Yüzeyindeki Su Basıncı :** Her dilimin tabanında etkiyen ortalama su basıncı Şekil 5.16b'de gösterilen şekilde hesaplanır ve hesaplama çizelgesine kaydedilir. Eğer kayan kısmın gerisinde düşey yönlü bir gerilim çatlığı versa, bu çatlakta yer alan suyun oluşturacağı  $Q$  yaray su basıncıda hesaplanmalıdır.

**4. Ayrıntılı Hesaplamalar :** Her dilim için ( $\Delta W$ ,  $\tan\alpha$ ) ve  $x = [C + (p - u) \tan \theta \Delta X]$  değerleri hesaplanır.

**5.  $n_x$ 'nın Tayini :** Başlangıçta bir güvenlik katsayısı değeri kabul edilir. (Genellikle 1 olarak alınır.) Şekil 5.17 a ve b'den her dilim için  $n_x$  değeri bulunur. Buradan  $X/n_x$  hesaplanarak sonuc çizelgesindeki yerine konur.

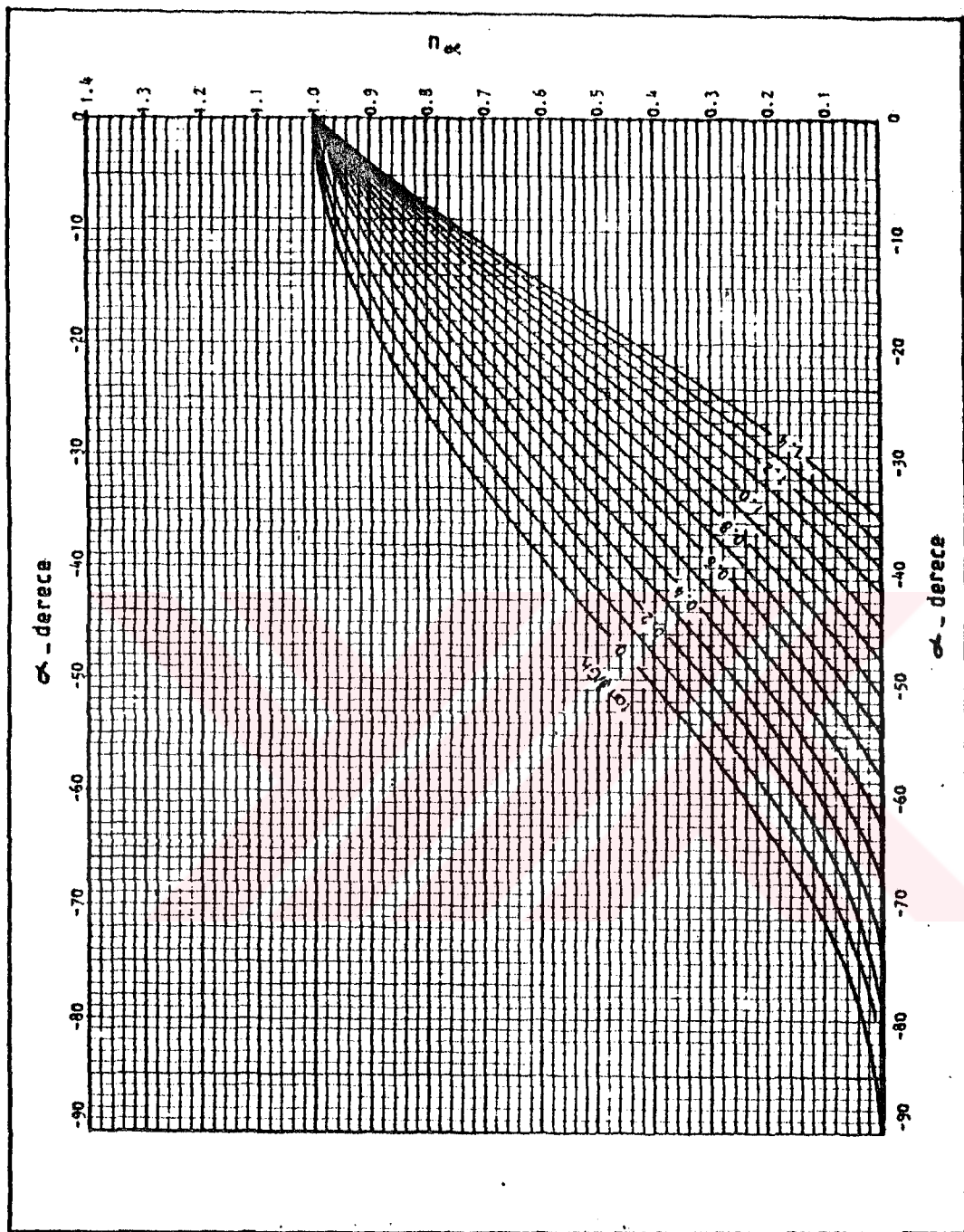


Sekil 5.16: Dairesel olmayan kaymaların analizi için geometrik parametreler ve formüller (Janbu'dan)



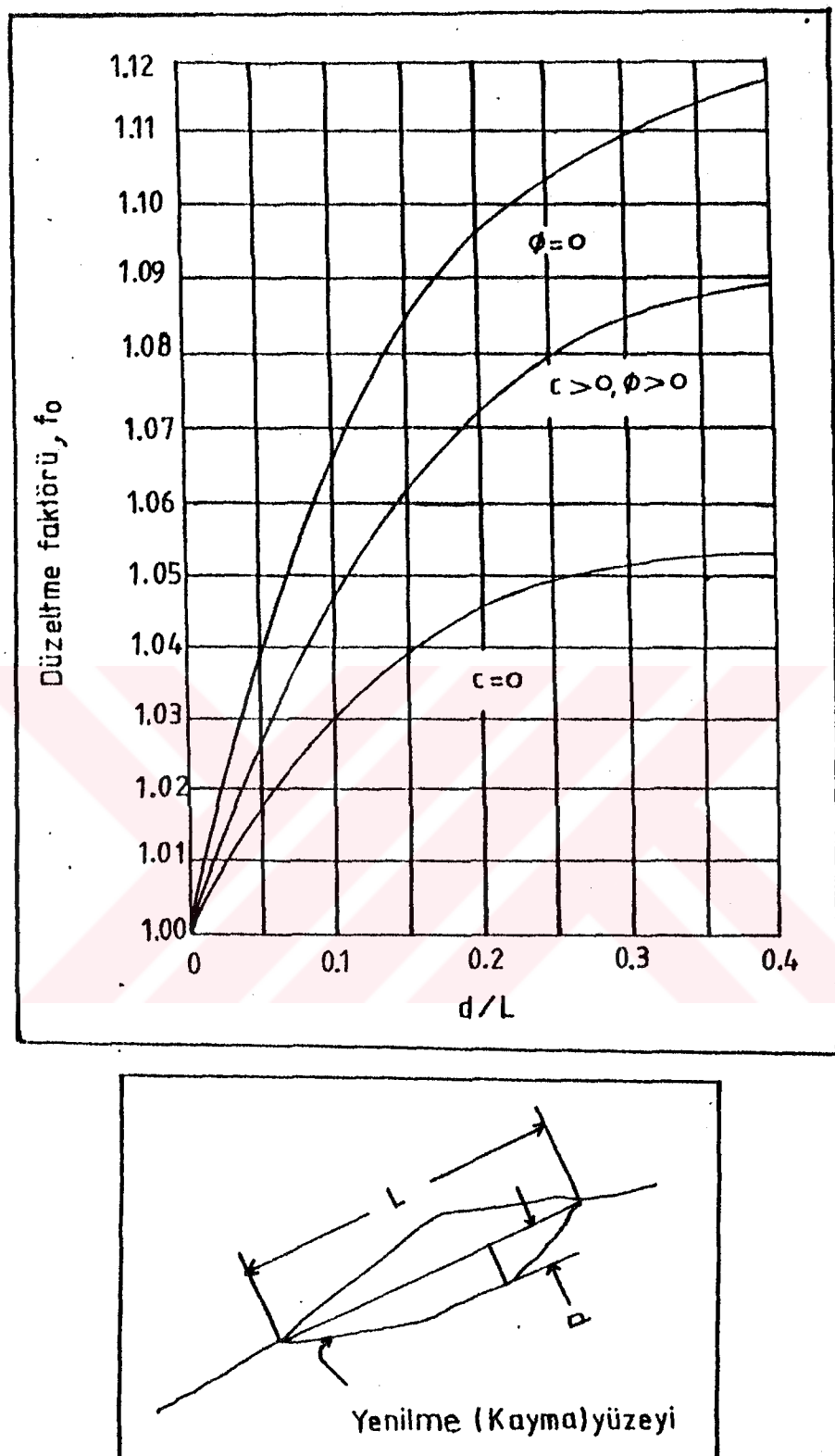
Sekil 5.17a : Pozitif  $\alpha$  açıları için  $n_\alpha$  grafigi (Janbu'dan)

Not : ( $\alpha$  açısı, dilim tabanının eğim yönü ile aynı ise pozitif alınır.



Sekil 5.17b : Negatif  $\alpha$  açıları için  $n_{\alpha}$  grafigi (Janbu'dan)

Not : ( $\alpha$  açısı dilim tabanının eğim yönü, şevin eğim yönünün tersi yönde olması halinde negatif alınır).



Sekil 5.18 : Janbu yönteminde  $f_o$  düzeltme faktörü tayin abagi (Janbu'dan)

6. Güvenlik Katsayıısı : Sekil 5.18'den f0 değeri saptanarak yeni güvenlik katsayıısı hesaplanır.

$$GK (F) = \Sigma x/nx / \Sigma p \cdot tan\alpha$$

7. Eğer altıncı aşamada hesaplanan güvenlik katsayıısı beşinci aşamada kabul edilen güvenlik katsayıısı değerinden farklıysa yeni bir G.K. kabul edilir. (Altıncı aşamada hesaplanan değere yakın bir değer), beş ve altıncı aşamalarda ki işlemler; yeni kabul edilen bu değerle eşit veya çok yakın bir güvenlik katsayıısı hesaplanır tekrarlanır.

#### 5.6. İncelenen Şevlerin Analizleri

Çalışma sahasında incelenen şevler sahil yolu (anayol) üzerinde yer almaktadır (Ek 5.6). Söz konusu şevler kaya ve zemin türündə olup, çözüm için birden fazla yöntem uygulanmaya çalışılmıştır. Uygulanan bu yöntemler sonucu bulunan güvenlik katsayıları aşağıdaki gibi değerlendirilmiştir.

<u>Güvenlik Katsayıısı (F)</u>	<u>Yorum</u>
<1	Güvensiz
=1	Limit denge
1,1-1,3	Kısa süreli güvenli
1,4-1,5	Güvenli
>1,5	Uzun süreli güvenli

##### 5.6.1. Kaya Şev Analizleri

Çalışma sahasında iki tane kaya şevi incelenmiş olup, özellikleri aşağıdaki çizelge 5.9'da verilmiştir.

Cizelge 5.9 : İncelenen Kaya Şevlere Ait Özellikler

SEV KAYA NO TÜRÜ	ÖZELLİKLER						
	C kg/cm <sup>2</sup>		$\theta_s$	$\theta_k$	$\theta_a$	Pürüzlülük (arazide ölçülen)	$\gamma_d$ gr/cm <sup>3</sup>
Sağlam kayaç	Cök yumuşak kaya	Sağlam kaya	Kırıklı yüzey	Arazide ölçulen			
1 TUF	-	1.7	-	25°	35°	7°	2.17
LİTİK- 2 KRİSTAL TUF	45	1.7	44°	25°	35°	7°	2.32

#### 5.6.1.1. Kaya Şevi-1'rin Analizi

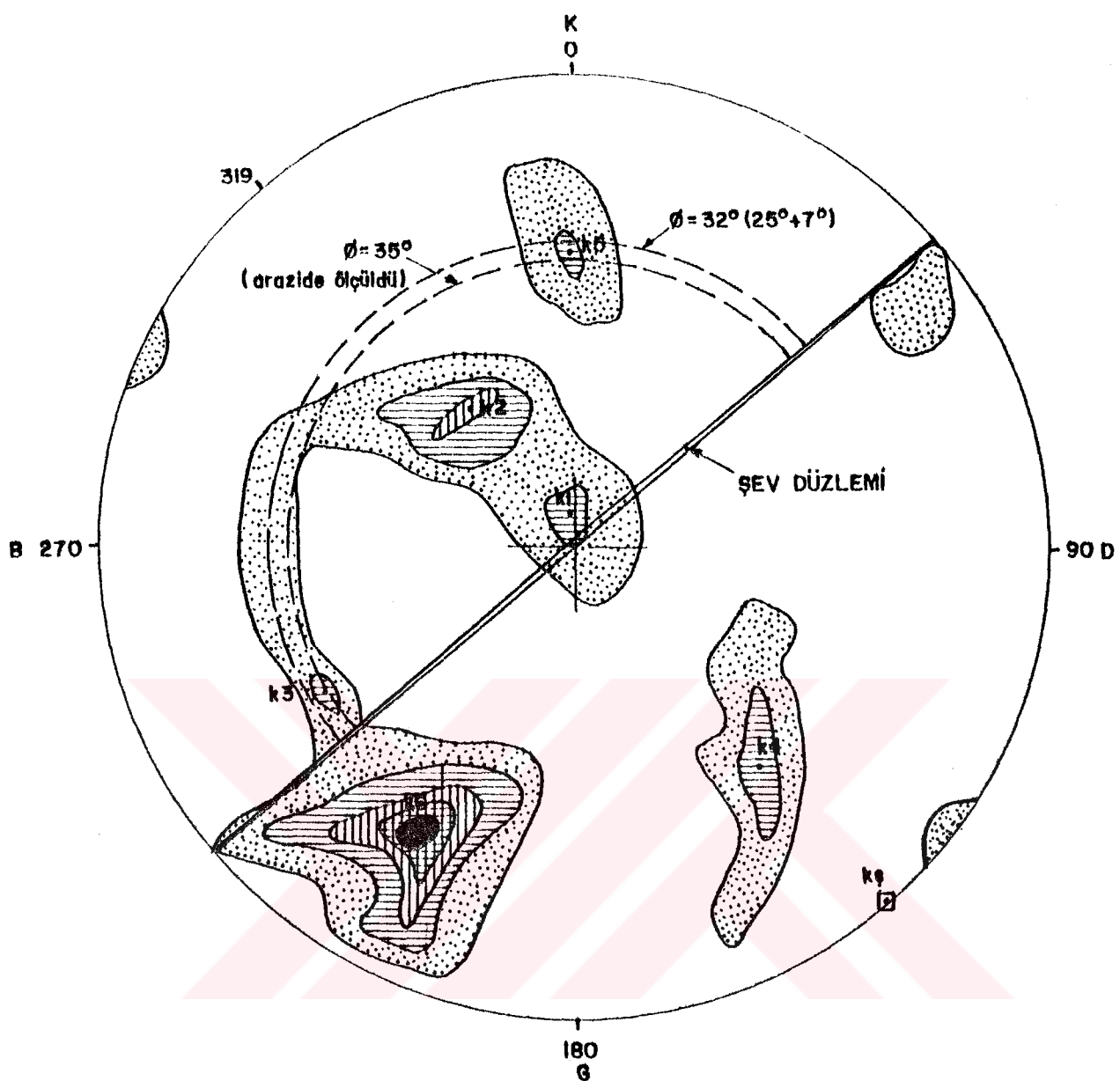
Kaya Şevi-1, Çayeli tünelinden 150 m. Pazar'a doğru sahil yolunun sağında yer almaktadır (Ek 5.6, Foto 5.1). Şevin yatırılmış krokisi çıkarılmış, ölçülebilen çatıak eğim ve doğrultuları işaretlenmiştir. Ayrıca şevden A-A' boyunca bir de kesit çıkarılmıştır (Ek 5.1).



Foto 5.1 : Kaya Şevi-1'den bir görünüm

Kaya Şevi-1 de toplam 33 çatıak ölçüsü alınmış ve Eş-A-İanlı Projeksiyon ağı kullanılarak hakim çatıak takımları ve bunların kutup noktaları bulunmuştur. Bulunan bu kutup noktalarının şev düzlemleriyle olan ilişkileri araştırılmıştır (Şekil 5.19).

İncelenen bu kaya şevinden A-A' doğrultusu boyunca kesit çıkarılmıştır. düzlemsel bir kaymanın olabileceği eş-alan projeksiyon ağında da izlenmiştir (Şekil 5.20). Şekil inceleinliğinde şev düzleminin kutpu ile  $k_4$  kutpu merkeze göre aynı yönde yer aldığı görülmektedir. ( $320^\circ/50^\circ$  ke  $319^\circ/80^\circ$   $k_4$ ).  $k_4$  kutpuna karşılık gelen düzlem tehlikeli bölgede yer almaktadır (Şekil 5.21).

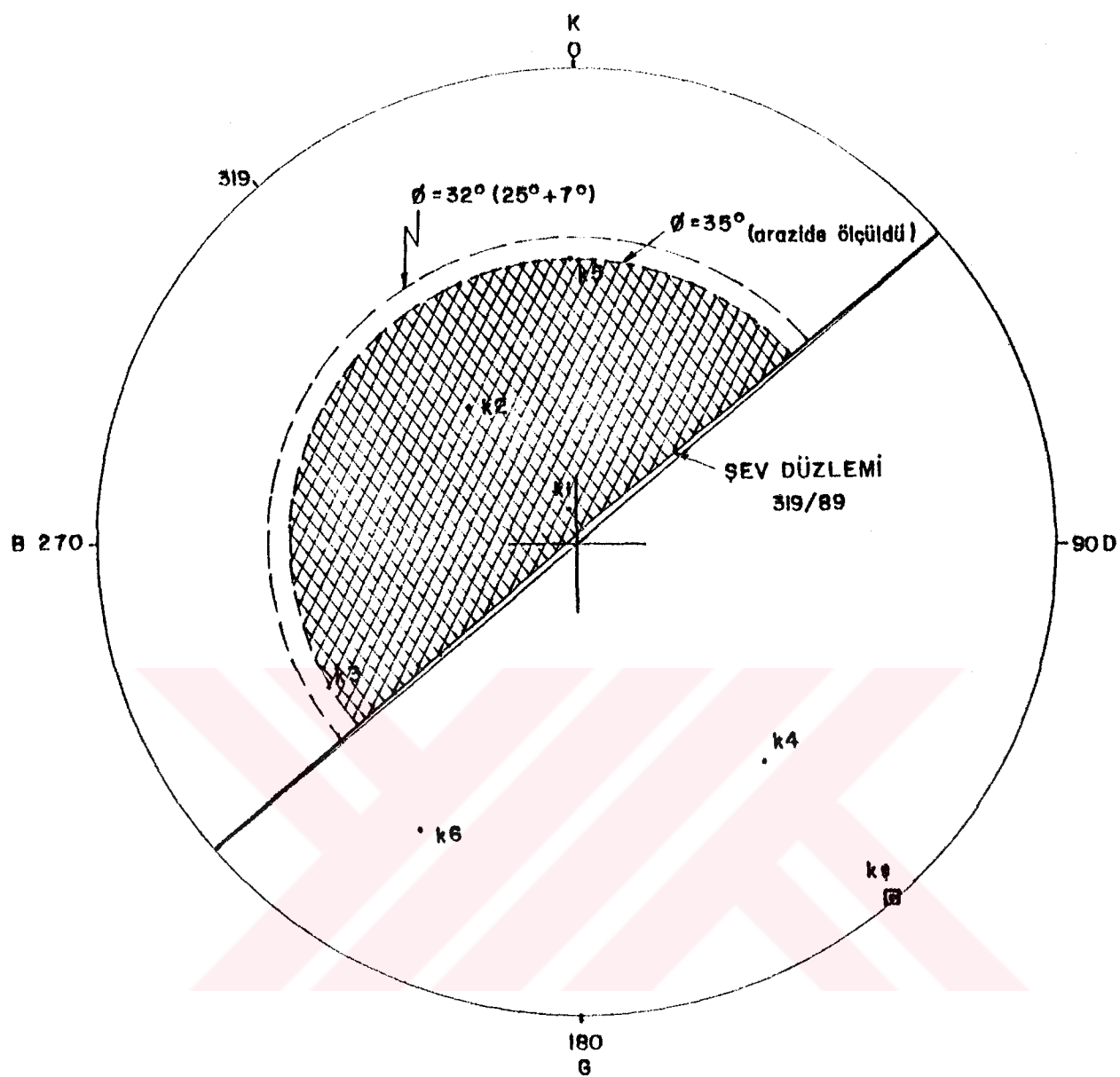


### ALT YARI KÜRE

%	> 15	15-12	12-9	9-6	6-3	< 3
İŞARETLER						

- k3 : Kutup noktaları
- k4 : Sev düzleminin kutup noktası
- O : İçel sürtünme açısı sınırları
- $\varnothing = 35^\circ$  (Arazide ölçülen dini süreksizlige alt düzlemin kayma açısı)
- $\varnothing = 32^\circ$  (Kırıklı yüzeyin içel sürtünmesi + pürüzlülük değerleri)

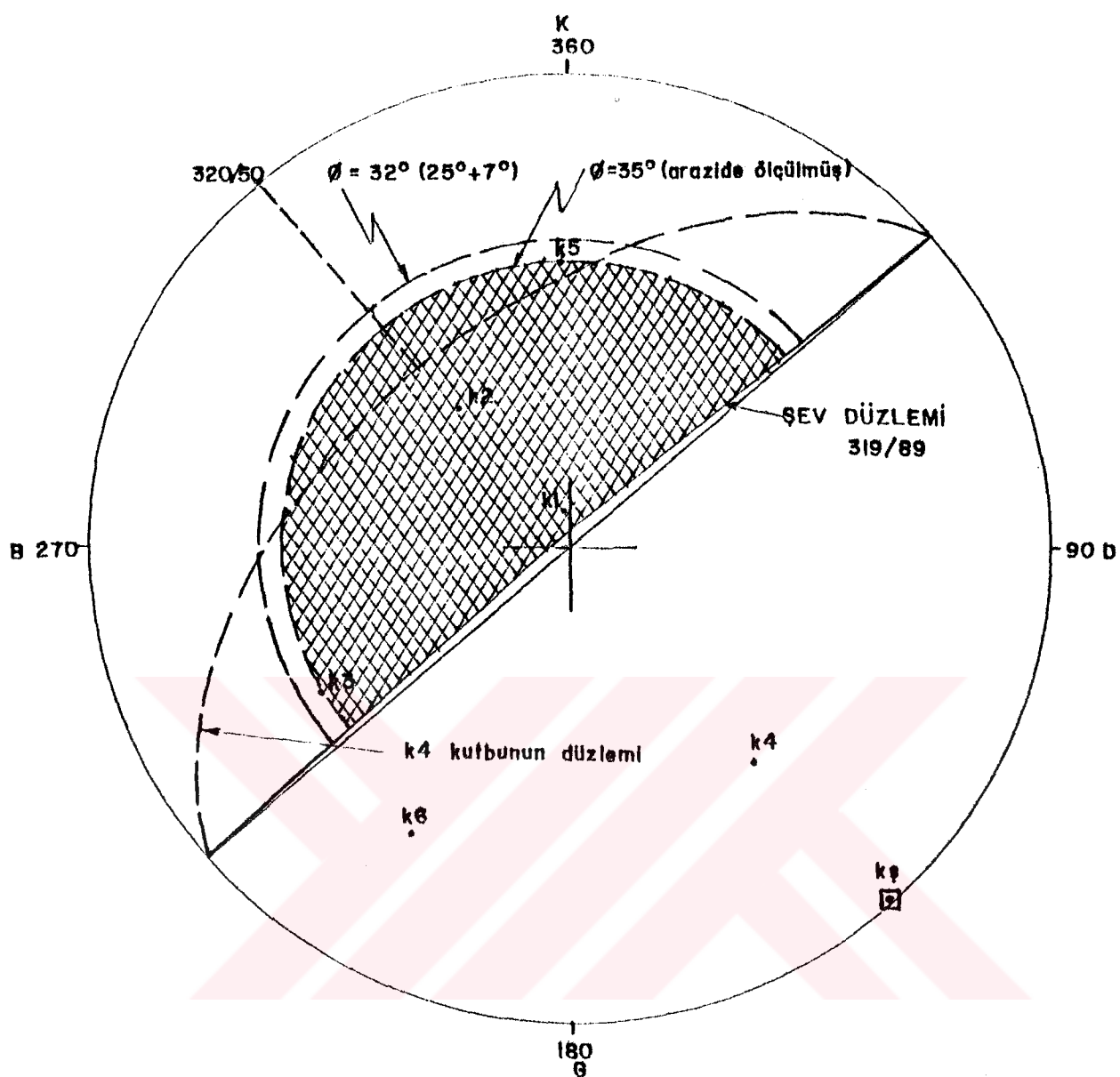
Şekil 8.19 : Kaya Sevi-i'ye alt 33 çatıak ölçüsünden elde edilen kontur diyagramı



- $k_2$  : Kutup noktaları
- $k_4$   : Sev düzleminin kutup noktası
- $\checkmark$  : İçsel sürüünme açısı sınırları
- $\text{---}$  : Tehlikeli bölge
- $\theta = 35^\circ$  : (Arazide ölçülen aynı süreksizlige ait düzlemin kayma açısı)
- $\theta = 32^\circ$  : (Kirikli yüzeyin içsel sürüünme açısı + pürüzlilik açısı)

Şekil 8.20 : Kaya Sevi'ye ait 33 çatıak ölçüsünden elde edilen kutup noktaları

T. C.  
Yükseköğretim Kurulu  
Dokümantasyon Merkezi



$k_1$  : Kutup noktaları

$k_7$  : Şev düzleminin kutup noktası

: Düzlemsel kayma olabilecek kutbun büyük dairesi

: İçsel sürtünme açısı sınırları

: Tehlikeli bölge

$\theta = 35^\circ$  : (Arazide ölçülen aynı süreksizlige alt düzlemin kayma açısı)

$\theta = 32^\circ$  : (Kirikli yüzeyin içsel sürtünme açısı + pürüzeözlük açısı)

Şekil 8.21 : Kaya Şevi' de olabilecek düzlemsel kaymanın elde edilmesi

Ayrıca kutup noktaları ikişer ikişer ele alınarak arakesitlerinin kutup noktaları bulunmuş ve şev duraylılığı açısından tehlikeli bölgeye düşüp-düşmedikleri araştırılmıştır (Şekil 5.22).

Şekil 5.22 incelendiğinde tehlikeli bölgede  $k_3-k_4$  ve  $k_4-k_5$  kutuplarının yer aldığı görülmektedir. Bu kutup noktaları;  $k_3-k_4$  ve  $k_4$  kutuplarının arakesit düzlemlerinin kutup noktalarıdır (Şekil 5.23). Analizleri yapılacak olan kutup noktalarına karşılık gelen düzlemler çizilmiş ve yönleri bulunmuştur (Şekil 5.24).

#### Düzlemsel Kayma Analizi :

Kaya Sevi-1'de düzlemsel kaymaya neden olabilecek veriler aşağıda verilmiştir.

$$H = 51 \text{ m.}$$

$$\text{Sev düzlemi} : 319^\circ/89^\circ$$

$$\text{Kayma düzlemi} : 320^\circ/50^\circ$$

$$\theta_{ek} : 35^\circ \text{ (Arazide ölçülen)}$$

$$\theta_{ek} : 32^\circ \text{ (Kırıkçı yüzeyin içsel sürtünme açısı } ("25^\circ" + \text{ pürüzlülük açısı } "7^\circ")$$

$$c : 1,7 \text{ kg/cm}^2 \text{ (Çok yumuşak kayaya karşılık gelen değer Paşamehmetoğlu, 1977)}$$

$$\gamma : 2,17 \text{ gr/cm}^3 \text{ (Deneylerle bulunmuş)}$$

Bu verilere göre "iki Boyutlu Analiz Yöntemi" uygulanmıştır.

$$\theta_{ek} = 35^\circ \text{ için}$$

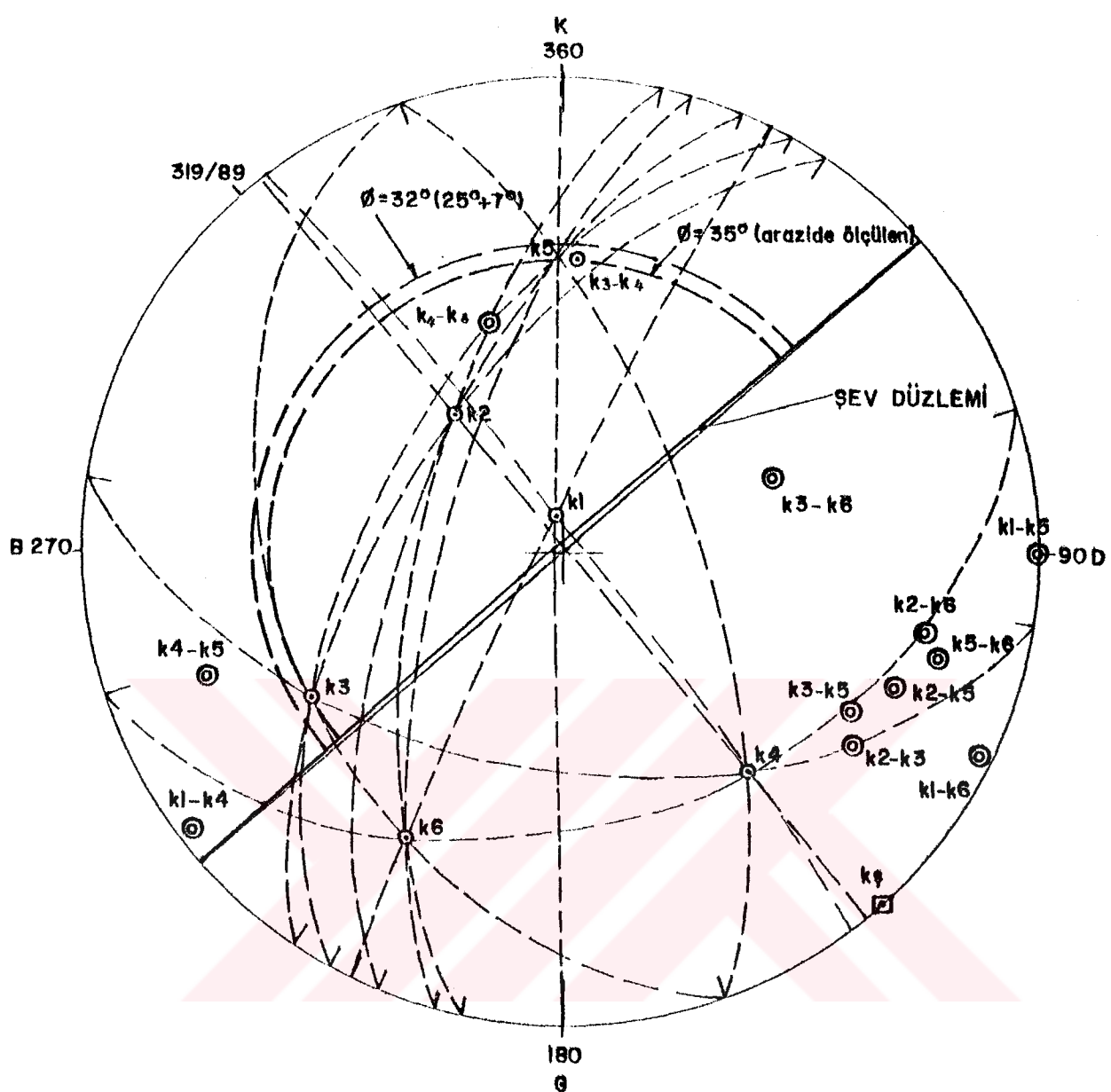
$$F = [(2c \cdot \sin\alpha) / (H \cdot \sin(\alpha - \beta) \cdot \sin\beta)] + [\tan\theta / \tan\beta]$$

$$F = [(2 \times 1700 \times \sin 89^\circ) / (2,17 \times 5100 \times \sin(89 - 50)^\circ \times \sin 50^\circ)] + [\tan 35^\circ / \tan 50^\circ]$$

$F = 1.22$
------------

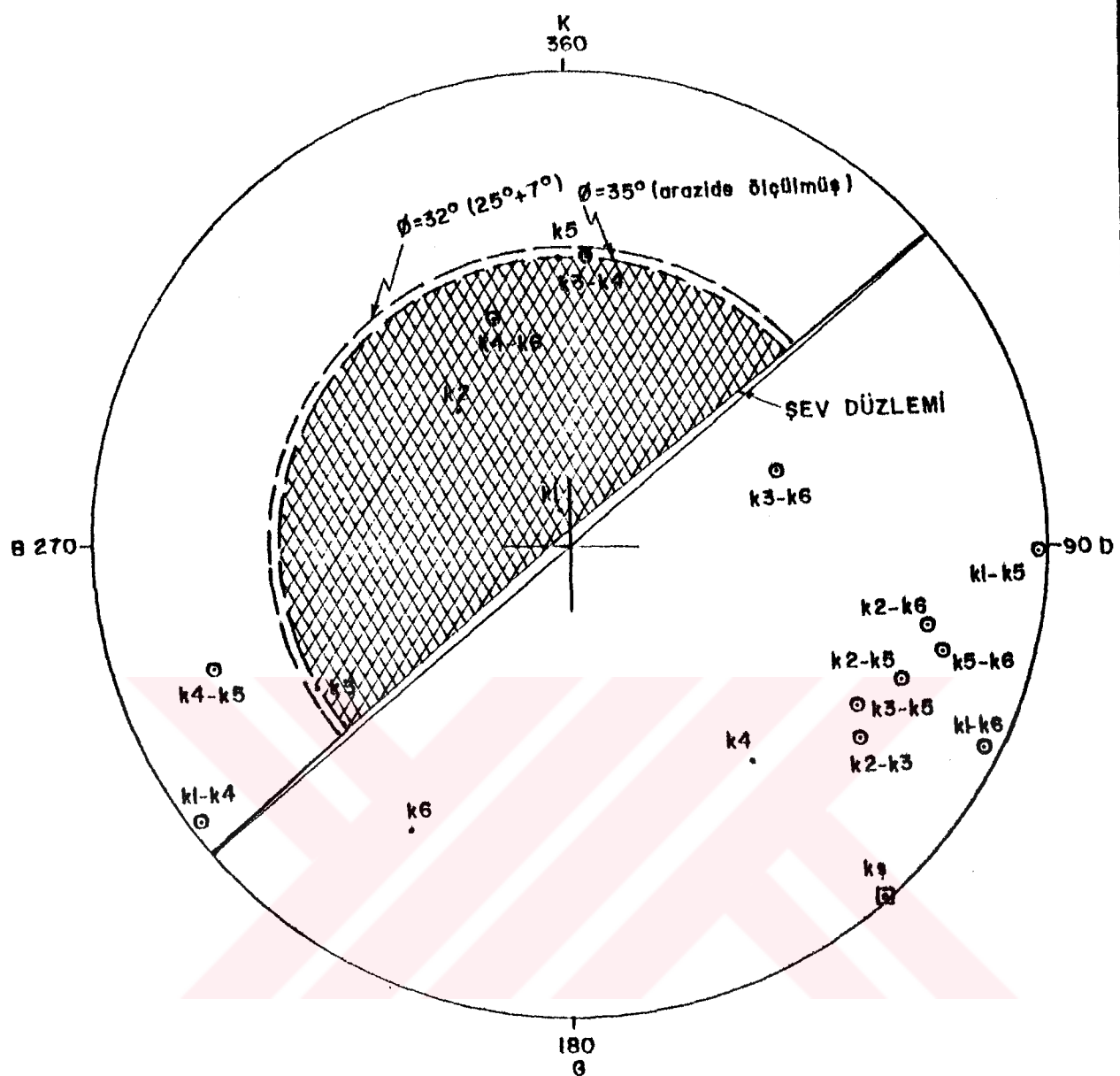
$$\theta_{ek} = 32^\circ \text{ için}$$

$$F = [(2 \times 1700 \times \sin 89^\circ) / (2,17 \times 5100 \times \sin(89 - 50)^\circ \times \sin 50^\circ)] + [\tan 32^\circ / \tan 50^\circ]$$



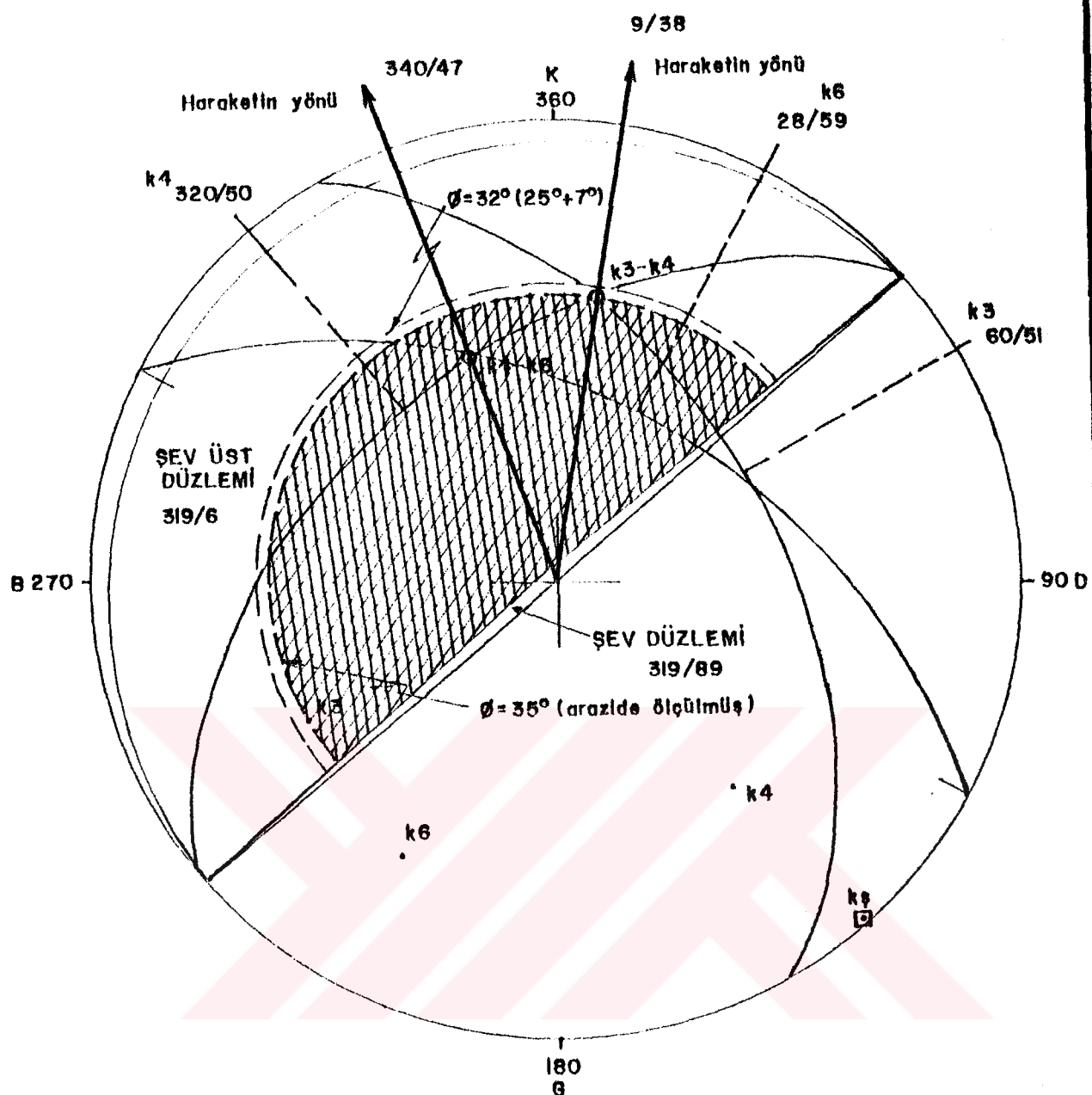
- k1** ⊙ : Kutup noktası
- : Sev düzleminin kutup noktası
- ◎ : Kutup noktalarından elde edilen arakesit düzlemlerinin kutup noktaları
- : İçsel sürtünme açısı sınırları
- $\theta = 35^\circ$  : (Arazide ölçülen aynı süreksizlige ait düzlemin kayma açısı)
- $\theta = 32^\circ$  : (Kırıklı yüzeyin içsel sürtünmesi + pürüzlilik değerleri)

**Şekil 8.22 :** Kaya Sevi-I'ye alt kutup noktalarından yararlanılarak yapılan duraylılık analizi



- $k_i$  : Kutup noktaları
- $k_e$  : Şev düzleminin kutup noktası
- $\odot$  : Kutup noktalarının arakesit düzlemlerinin kutup noktaları
- ( $\nearrow$ ) : İçel sertleşme açısı sınırları
- : Tehlikeli bölge
- $\phi = 35^\circ$  : (Arazide ölçülen aynı süreksizliğe ait düzlemin kayma açısı)
- $\phi = 32^\circ$  : (Kirikli yüzeyin a içel sertleşme açısı + pürüzlülük açısı )

**Sekil 5.23 :** Kaya Şev-i' de kutup noktalarının ikişer ikişer ele alınmasıyla elde edilen arakesit düzlemlerinin kutup noktaları



- $k_1$  : Kutup noktaları
- $k_2$  : Sev düzleminin kutup noktası
- : Kesik düzlemlerin arakesitleri ve yönü
- : İçsel sürüünme açısı sınırları
- : Tehlikeli bölge
- $\theta = 35^\circ$  : (Arazide ölçulen aynı sürekezilğe alt düzlemin kayma açısı)
- $\theta = 32^\circ$  : (Kırıklı yüzeyin içsel sürüünmesi + pürüzlilik değerleri)

Şekil 8.24 : Kaya Sevi'ye ait tehlikeli bölgeye düşen noktaların analizi

F= 1.16
---------

### Kama Tipi Kayma Analizleri :

Tehlikeli bölgeye düşen arakesit düzlemlerinin kutup noktaları ayrı ayrı ele alınmıştır (Şekil 5.24). Söz konusu tehlike oluşturabilecek noktalar  $k_3-k_4$  ve  $k_4-k_5$  kutup noktalarıdır.

$k_3-k_4$  noktasının analizi (Şekil 5.25);

#### I- Kama Tipi Kayma Analizi

A düzlemi :  $320^\circ/50^\circ$

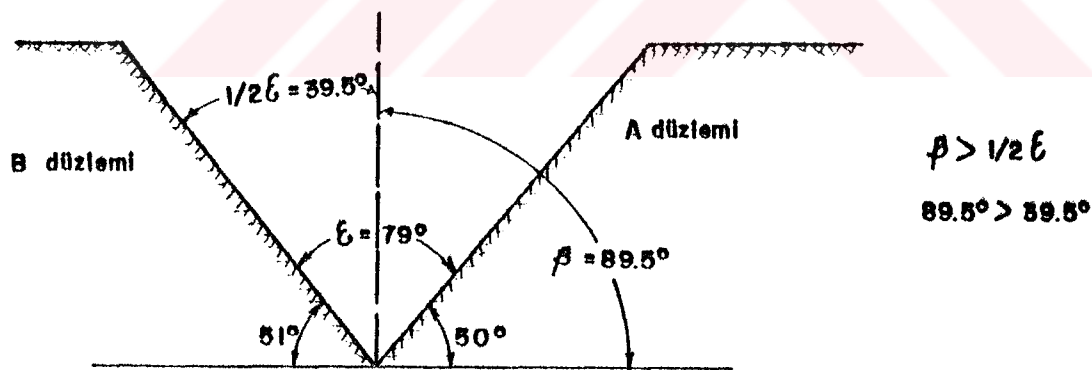
B düzlemi :  $60^\circ/51^\circ$

Sev düzlemi :  $319^\circ/89^\circ$

Kesişme doğrusu :  $9^\circ/38^\circ$

$\theta_m$  :  $35^\circ$

$\theta_k$  :  $32^\circ$

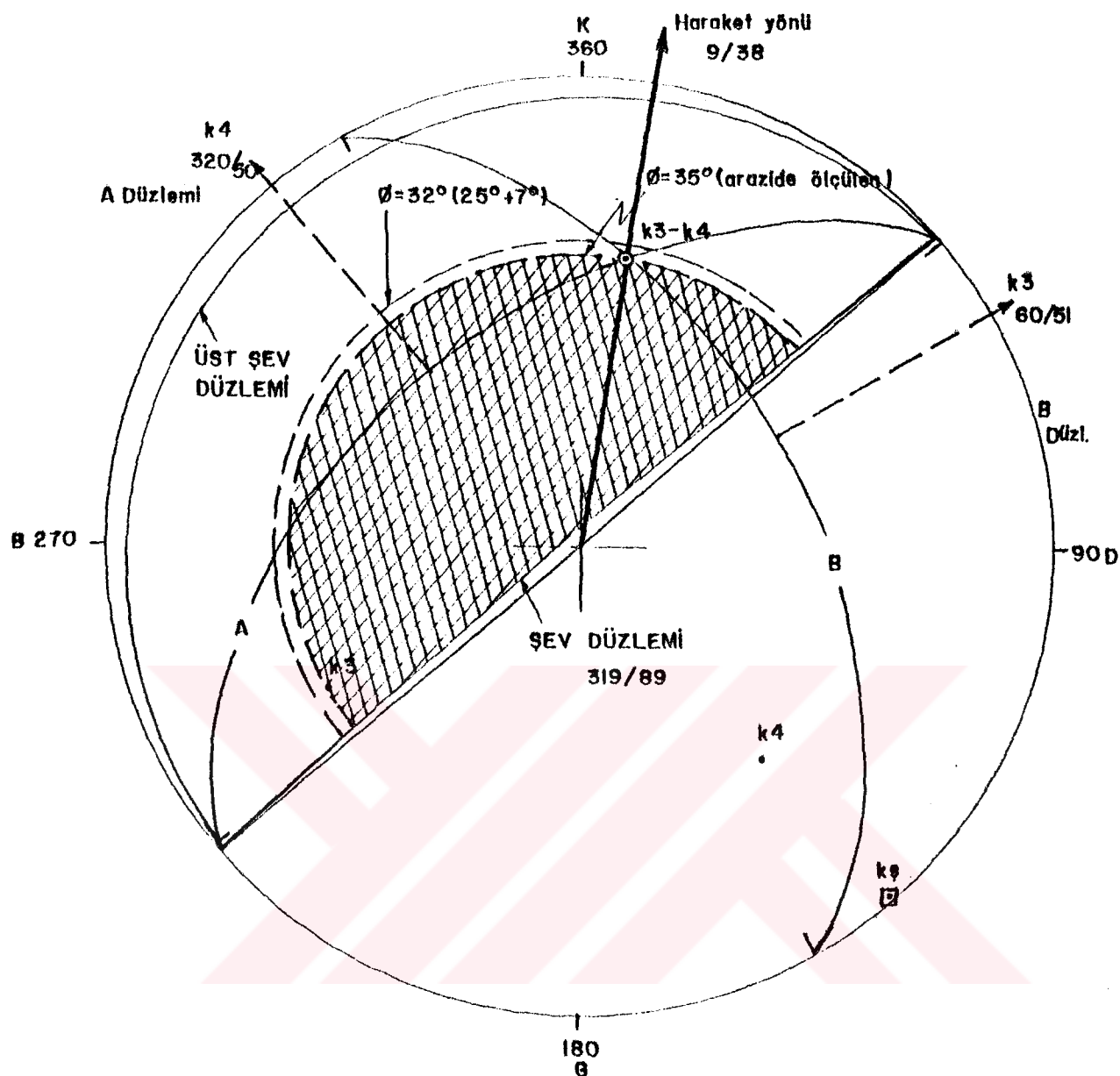


$$F = \left[ \frac{\sin \beta}{\sin \xi} \right] \times \left[ \frac{\tan \theta}{\tan \beta} \right]$$

$\theta_m = 35^\circ$  için

$$F = \left[ \frac{\sin 89.5^\circ}{\sin 39.5^\circ} \right] \times \left[ \frac{\tan 35^\circ}{\tan 38^\circ} \right]$$

F= 1.41
---------



- $k_3$  : Kutup noktası
- $\square$  : Şev düzleminin kutup noktası
- $\circ$  : Kesilen (A-B) düzlemlerinin arakesitleri ve yönü
- $\text{---}$  : İçsel sürtünme açısı sınırları
- $\bullet$  : Tehlikeli bölge
- $\theta = 35^\circ$  : (Arazide ölçülen aynı sürekelsizlige alt düzlemin kayma açısı)
- $\theta = 32^\circ$  : (Kirikli yüzeyin içsel sürtünmesi + pürüzlilik değerleri)

Şekil 8.25 : Kaya Şevi-I'de tehlikeli bölgeye düşen  $k_3-k_4$  noktasının analizi

$\theta_k = 32^\circ$  için

$$F = [( \sin 89,5^\circ / \sin 39,5^\circ )] \times [(\tan 32^\circ / \tan 38^\circ)]$$

F = 1.26
----------

2. Yukarıdaki sonuçlar, Şekil 5.9'daki abak kullanılarak aynı şekilde elde edilmişlerdir.

3. Sadece sürtünme açısı içeren kama tipi kaya bloğu stabilité diyagramlarının kullanılmasıyla yapılan analiz.

	Eğim	Eğim yönü	<u>İçsel sürtünme açısı</u>
Düzlemler A	50°	320°	35°
Düzlemler B	<u>51°</u>	<u>60°</u>	35°
Fark	1°	260°	

$$F = A x \operatorname{tg} \theta_A + B x \operatorname{tg} \theta_B$$

$$A = B = 0,8 \text{ (Şekil 5.11a'dan)}$$

$$\theta_A = \theta_B = 35^\circ \text{ için}$$

$$F = 0,83 x \operatorname{tg} 35^\circ + 0,83 x \operatorname{tg} 35^\circ$$

F = 1.16
----------

$$\theta_A = \theta_B = 32^\circ \text{ için}$$

$$F = 0,83 x \operatorname{tg} 32^\circ + 0,83 x \operatorname{tg} 32^\circ$$

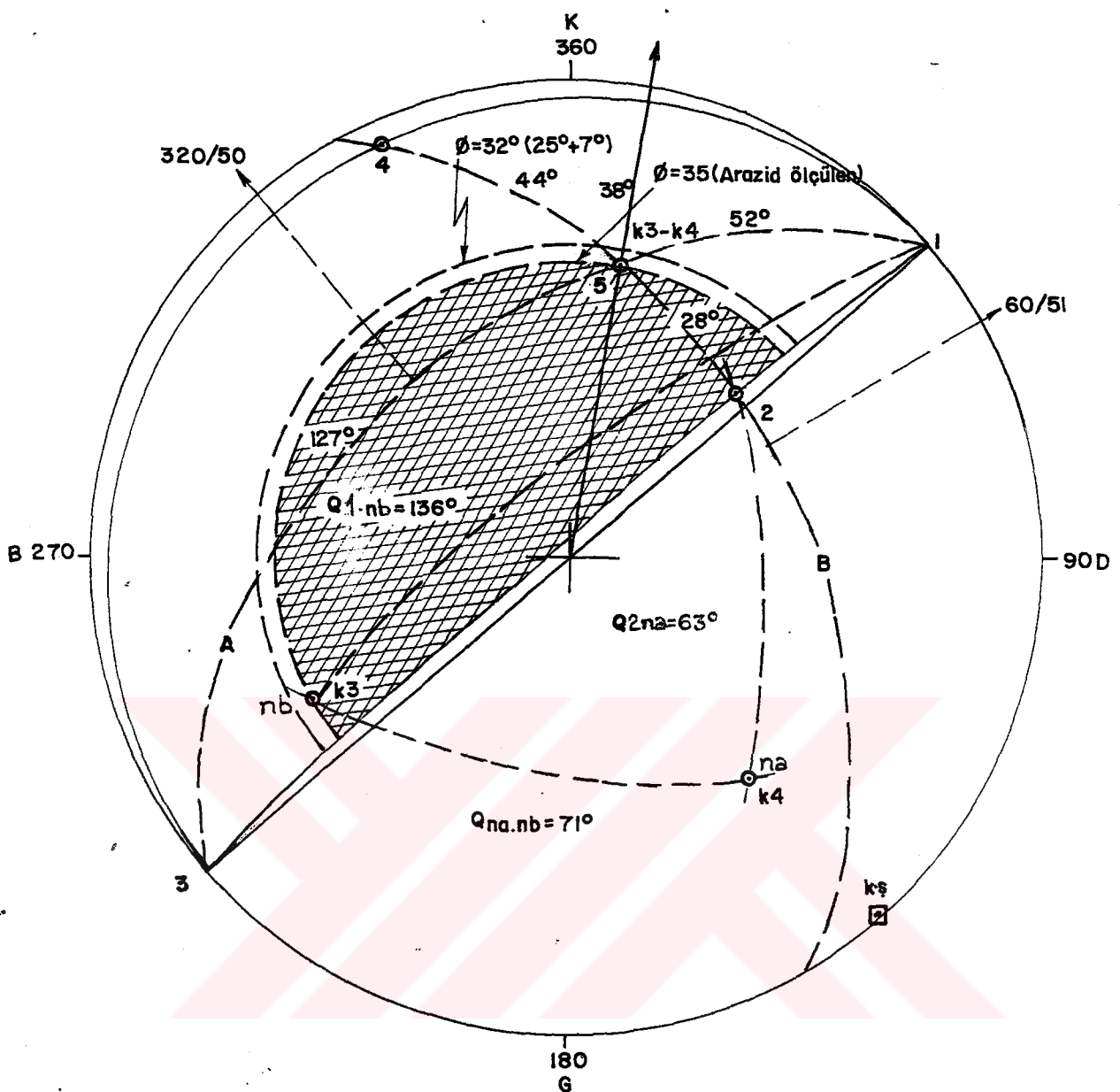
F = 1.04
----------

4. Srereografik izdüşüm yöntemiyle kohezyon ve su basincını içeren kama tipi kaymanın analizi

Şekil 5.26'de elde edilen veriler aşağıdaki gibidir.

$$\beta_A = 50^\circ$$

$$\beta_B = 51^\circ$$



- k!** • : Kutup noktaları
- k\$**  : Şey düzleminin kutup noktası
- : A ve B düzlemlerinin arakesiti
- ✓ : İçsel sürtünme açısı sınırları
- ▨ : Tehlikeli bölge
- $\emptyset = 35^\circ$  : (Arazide ölçülen aynı süreksizliğe ait düzlemin kayma açısı)
- $\emptyset = 32^\circ$  : (Kırıklı yüzeyin içsel sürtünmesi + pürüzlülük değeri)

**Sekil 5.26 :** Kaya Şevi-I'de k3-k4 noktasına ait kama tipi kayma analizi için verilerin bulunması

$$\beta_B = 38^\circ$$

$$\theta_{n.a..nb} = 71^\circ$$

$$\theta_{24} = 72^\circ$$

$$\theta_{45} = 44^\circ$$

$$\theta^1..n^B = 136^\circ$$

$$\theta_{13} = 177^\circ$$

$$\theta_{35} = 127^\circ$$

$$\theta^2..n^A = 63^\circ$$

$$\theta_A = \theta_B = 35^\circ \text{ (Arazide ölçülen)}$$

$$\theta_A = \theta_B = 32^\circ \text{ (Kirikli yüzeye karşılık gelen)}$$

$$\gamma = 2,17 \text{ gr/cm}^3$$

$$c_a = c_b = 1,7 \text{ kg/cm}^2 = 1700 \text{ gr/cm}^2 \text{ (Çok yumuşak kayanın)}$$

H = 72,5 m. [Bu yükseklik, Eş-Alan Projeksiyonundan elde edilen kutup noktalarının ikişer ikişer ele alınmasıyla oluşan kama tipi kaya bloğunun maksimum yüksekliğidir. Kama tipi kaymayı meydana getirecek düzlemlerin arakesit doğrultusunun eğimi şeviden çıkarılan kesitte yerine konarak Hmax elde edilmiştir TARHAN, 1990]

$$X = \sin \theta_{24} / \sin \theta_{45} \times \cos \theta_{n.a..nb} = \sin 72^\circ / \sin 44^\circ \times \cos 63^\circ$$

$$X = 3,02$$

$$Y = \sin \theta_{13} / \sin \theta_{35} \times \cos \theta_{1..n^B} = \sin 178^\circ / \sin 127^\circ \times \cos 163^\circ$$

$$Y = -0,06$$

$$A = \cos \beta_A - \cos \beta_B \times \cos \theta_{n.a..nb} / \sin \beta_A \times \sin^2 \theta_{n.a..nb}$$

$$A = \cos 50^\circ - \cos 51^\circ \times \cos 71^\circ / \sin 38^\circ \times \sin^2 71^\circ$$

$$A = 0,8$$

$$B = \cos \beta_B - \cos \beta_A \times \cos \theta_{n.a..nb} / \sin \beta_B \times \sin^2 \theta_{n.a..nb}$$

$$B = \cos 51^\circ - \cos 50^\circ \times \cos 71^\circ / \sin 38^\circ \times \sin^2 71^\circ$$

$$B = 0,8$$

$$\theta_A = \theta_B = 35^\circ \text{ için } (\theta_a)$$

$$F = [(3 \times C^2 \times X) / \gamma \times H] + [(3 \times C^2 \times Y) / \gamma \times H] + [A - (Y \times X / 2Y)] \times \operatorname{tg} \theta^A + [B - (Y \times X / 2 \times Y)] \times \operatorname{tg} \theta^B$$

$$F = [(3 \times 1700 \times 3,02) / 2,17 \times 7250] + [(3 \times 1700 \times -0,06) / 2,17 \times 7250]$$

$$+ [0,8 - (1 \times 3,02 / 2 \times 2,17)] \times \operatorname{tg} 35^\circ + [0,8 - (1 \times -0,06 / 2 \times 2,17)] \times \operatorname{tg} 35^\circ$$

F=1.6
-------

$\theta_a = \theta_b = 32^\circ$  için ( $\theta_k$ )

$$F = [(3 \times 1700 \times 3,02) / 2,17 \times 72501 + [(3 \times 1700 \times 0,06) / 2,17 \times 7200] \\ + [0,8 - (1 \times 3,02 / 2 \times 2,17)] \times \tan 32^\circ + [0,8 - (1 \times 0,6 / 2 \times 2,17)] \times \tan 32^\circ]$$

F = 1.54
----------

#### K<sub>a</sub>-K<sub>b</sub> Noktasının Analizi (Şekil 5.27)

1- Kama tipi kayma analizi :

A düzlemi :  $320^\circ / 50^\circ$

B düzlemi :  $28^\circ / 59^\circ$

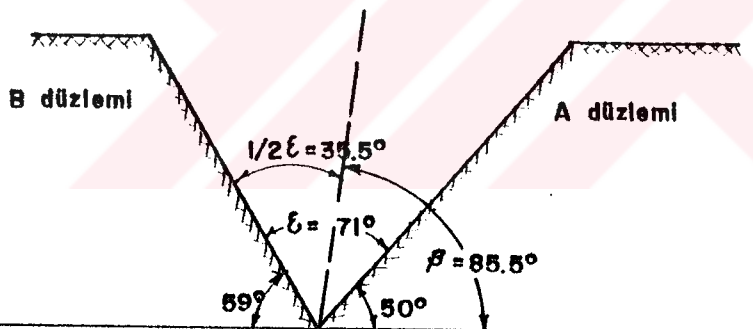
Şev düzlemi :  $319^\circ / 89^\circ$

Kesişme doğrusu:  $340^\circ / 47^\circ$

$\theta_a$  :  $35^\circ$

$\theta_b$  :  $32^\circ$

$$\beta > 1/2 \delta \\ 85,5^\circ > 39,5^\circ$$



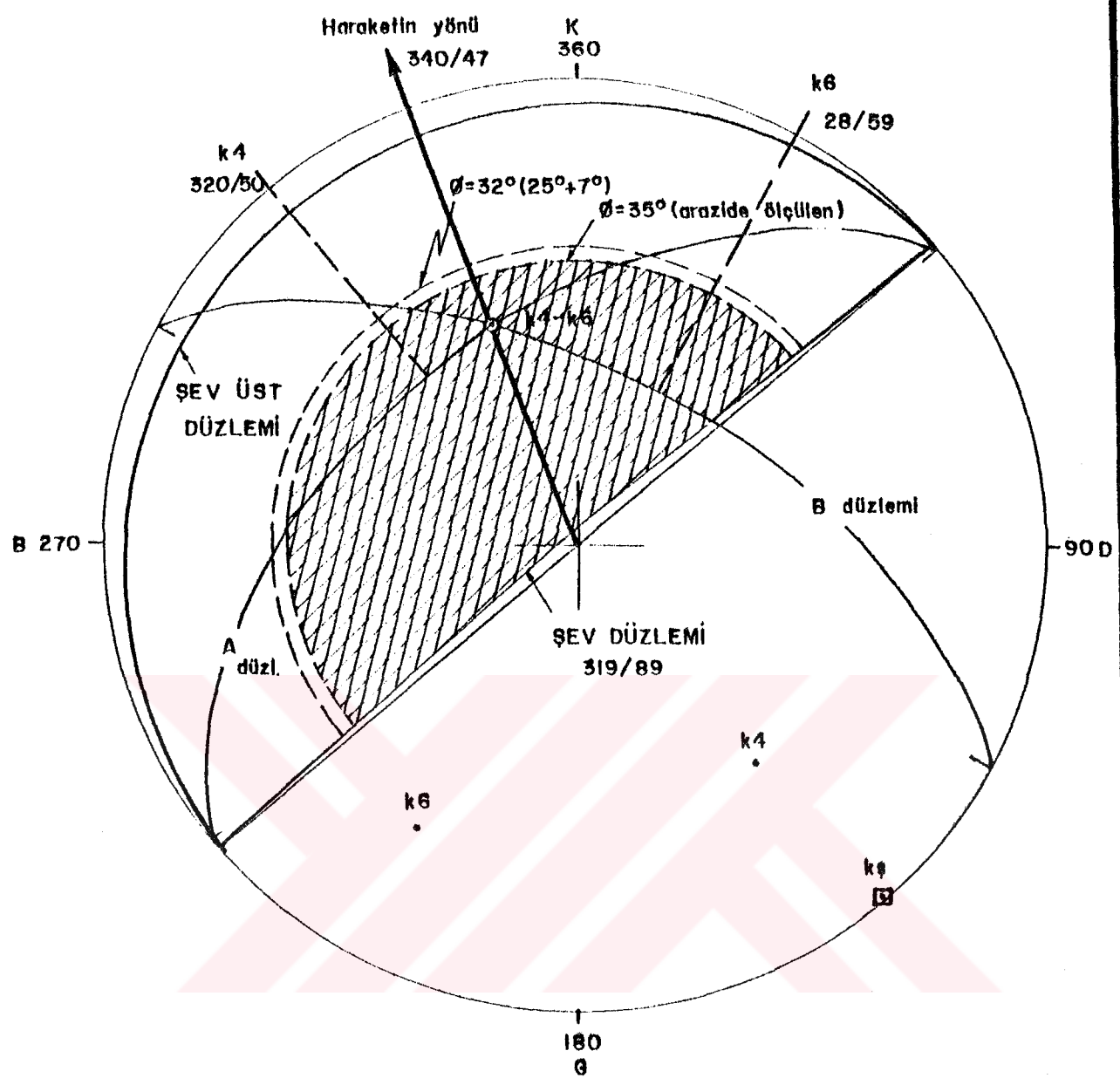
$$F = (\sin \beta / \sin \epsilon) \times (\tan \theta / \tan \alpha)$$

$\theta_a = 35^\circ$  için,

$$F = (\sin 85,5^\circ / \sin 35,5^\circ) \times (\tan 35^\circ / \tan 47^\circ)$$

$$F = 1,7 \times 0,7$$

F = 1.19
----------



- $k_3$  : Kutup noktaları
- $k_4$  : Sev düzleminin kutup noktası
- ( ) : Kesisen (A-B) düzlemlerinin arakesiti ve yönü
- ( ) : İçsel sürtünme açısı sınırları
- ( ) : Tehlikeli bölge
- $\theta = 35^\circ$  : (Arazide ölçulen aynı süreksizlige alt düzlemin kayma açısı)
- $\theta = 32^\circ$  : (Kırıklı yüzeyin içsel sürtünmesi + pürüzlilik değerleri)

Şekil 8.27 : Kaya Şevi- I'de tehlikeli bölgeye düşen k4-k6 noktasının analizi

$\theta_k = 32^\circ$  için,  
 $F = (\sin 85,5^\circ / \sin 35,5^\circ) \times (\tan 32^\circ / \tan 47^\circ)$

F = 1.00
----------

2- Bu sonuçlar, Şekil 5.9'daki abak kullanılarak aynı şekilde elde edilmiştir.

4-  $k_4-k_6$ 'nın stereografik izdüşüm yöntemiyle kohezyon ve su basıncı içeren kam tipi kaymanın analizi (Şekil 5.28).

Şekil 5.28'den elde edilen veriler aşağıdaki gibidir.

$$\beta_A = 50^\circ$$

$$\beta_B = 59^\circ$$

$$\beta_C = 48^\circ$$

$$\theta_{na,nb} = 54^\circ$$

$$\theta_{24} = 92^\circ$$

$$\theta_{45} = 53^\circ$$

$$\theta_{2na} = 60^\circ$$

$$\theta_{13} = 177^\circ$$

$$\theta_{35} = 103^\circ$$

$$\theta_{1nb} = 152^\circ$$

$$\theta_A = \theta_B = 35^\circ (\theta_m)$$

$$= 2,17 \text{ gr/cm}^3$$

$$C_a = C_b = 1,7 \text{ kg/cm}^2 = 1700 \text{ gr/cm}^2$$

H = 80,5 m. [Bu yükseklik de bir önceki kama tipi kayma ana izinde olduğu gibi elde edilmiştir].

$$X = \sin \theta_{24} / (\sin \theta_{45} \times \cos \theta_{2na}) = \sin 92^\circ / (\sin 53^\circ \times \cos 60^\circ)$$

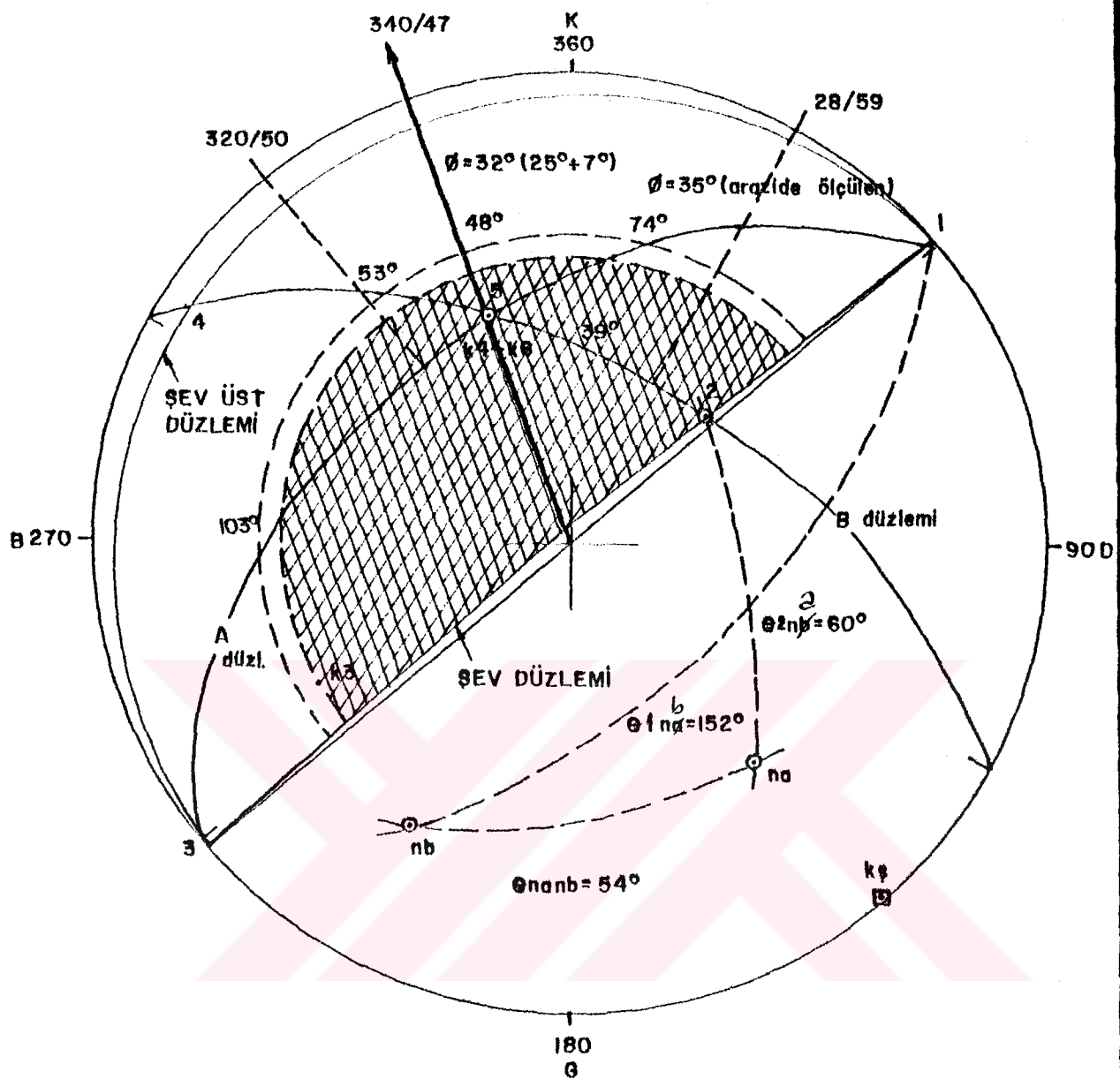
$$X = 2,5$$

$$Y = \sin \theta_{13} / (\sin \theta_{35} \times \cos \theta_{1nb}) = \sin 177^\circ / (\sin 103^\circ \times \cos 60^\circ)$$

$$Y = -0,06$$

$$A = (\cos \beta_A - \cos \beta_B) \times \cos \theta_{na,nb} / \sin \beta_A \times \sin^2 \theta_{na,nb} = (\cos 50^\circ - \cos 59^\circ) \times \cos 54^\circ / \sin 48^\circ \times \sin^2 54^\circ$$

$$A = 0,7$$



- $k_2$  : Kutup noktaları
- $k_4$  : Şev düzleminin kutup noktası
- $\odot$  : Kesişen düzlemlerin arakesifleri ve yönü
- $\cap$  : İçsel sürüünme açısı sınırları
- ♥ : Tehlikeli bölge
- $\theta = 35^\circ$  : (Arazide ölçulen aynı süreksizlige alt düzlemin kayma açısı)
- $\theta = 32^\circ$  : (Kirikli yüzeyin içsel sürüünmesi + pürüzlilik değeri)

Şekil 5.28 : Kaya Şevi'nde  $k_4-k_6$  noktasına alt kama tipi kayma analizi için verilerin bulunması

$$B = (\cos \beta_a - \cos \beta_b) \times \cos \theta_{na,nb} / \sin \beta_a \times \sin^2 \theta_{na,nb} = (\cos 59^\circ - \cos 50^\circ) \times \cos 54^\circ / \sin 48^\circ \cdot \sin^2 54^\circ$$

$$B = 0,3$$

$$F = [(3 \times C_a x X) / H] + [(3 \times C_b x Y) / H] + [A - (w x X / 2)] \times \tan \theta_a + [- (w x Y / 2)] \times \tan \theta_b$$

$$\theta_a = \theta_b = 35^\circ$$

$$F = [(3 \times 1700 \times 2,5) / 2,17 \times 8050] + [(3 \times 1700 \times -0,06) / 2,17 \times 8050] \\ + [0,7 - (1 \times 2,5 / 2 \times 2,17)] \times \tan 35^\circ + [0,3 - (1 \times -0,060) / 2 \times 2,17] \times \tan 35^\circ$$

F=1,02
--------

$$\theta_a = \theta_b = 32^\circ \text{ için,}$$

$$F = [(3 \times 1700 \times 2,5) / 2,17 \times 8050] + [(3 \times 1700 \times -0,06) / 2,17 \times 8050] \\ + [0,7 - (1 \times 2,5 / 2 \times 2,17)] \times \tan 32^\circ + [0,3 - (1 \times -0,060) / 2 \times 2,17] \times \tan 32^\circ$$

F=0,99
--------

#### YORUM

Kaya Sevi-1, Çayeli tünelinden 150 m. Pazar'a doğru sahil yolunun sağında, tuf ve aglomeralarda açılmıştır. Sev'in duraylılığı eş alan projeksiyon yardımıyla yapılmıştır. Catlak takımlarına ait kutup noktalarından  $k_4$ ,  $k_1$  ve  $k_2$  ile sev düzlemine ait kutup noktaları merkeze göre ters veya aynı doğrultuda yer aldıklarından tehlikeli görülmüşlerdir.  $k_4$  kutup noktası ile sev'in kutup noktası merkeze göre aynı istikamette olduğundan düzlemsel bir kaymanın olabileceği ortaya çıkmıştır. "iki boyutlu analiz yöntemi"nin uygulanmasıyla  $\theta_a = 35^\circ$  için,  $F = 1,22$  ve  $\theta_{k_4} = 32^\circ$  için  $F = 1,16$  olarak bulunmuştur. Her iki güvenlik katsayısı sonucuna göre sevin "kısa süreli güvenli" olduğu düzlemsel bir kaymanın beklenmediği ortaya çıkmıştır.

$k_1$  ve  $k_2$  kutup noktaları sev düzleminin kutup noktası ile merkeze göre ters istikamette yer aldıklarından az ihti-

malde olsa devrilme-düşme meydana getirebilecekleri kanısını yansıtmaktadır.

Çatlak takımlarının kutup noktalarını ikişer ikişer birleştiren dairelerin kutup noktalarından iki tanesi ( $k_3-k_4$  ve  $k_4-k_6$ ) tehlikeli bölgeye düştüğü görülmüştür.

Kama tipi kaymayı oluşturabilecek bu noktalara ( $k_3-k_4$  ve  $k_4-k_6$ ) birden fazla analiz yöntemi uygulanmaya çalışılmıştır. Bulunan neticeler Çizelge 5.10'da verilmiştir.

**Çizelge 5.10 :  $k_3-k_4$  ve  $k_4-k_6$  Noktaları Boyunca Hesaplanan Güvenlik Katsayıları**

	$(k_3-k_4)$ boyunca		$(k_4-k_6)$ boyunca	
Uygulanan Yöntemler	$\theta = 35^\circ$	$\theta = 32^\circ$	$\theta = 35^\circ$	$\theta = 32^\circ$
Yalnızca $\theta$ esas alan yöntemler ( $c = 0$ )	$F = 1,41$ $F = 1,19$	$F = 1,26$ $F = 1,0$	$F = 1,12$	$F = 1,0$
$c, \theta$ ve su basıncını esas alan yöntem	$F = 1,6$	$F = 1,54$	$F = 1,02$	$F = 0,99$

Çizelge 5.10 incelendiginde güvenlik katsayılarının "1" altında olmadığı görülmüştür. Burada  $c$ ,  $\theta$  ve su basıncını dikkate alarak uygulanan yöntemde; yükseklik maksimum kaya bloğunun yüksekliği olarak hesaplanabildiğinden, gerçekte bu yükseklik daha düşük olacagından güvelik katsayısı artacaktır. Dolayısı ile bulunan güvenlik katsayıları bize şevde kama tipi kaymanın beklenmediğini göstermektedir.

#### 5.6.1.2. Kaya Şev-2'nin analizi

Şev-2, Çayeli tünelinden 900 m. Pazar'a doğru sahil yolunun sağında yer almaktadır (Ek 5.6 ve Foto 5.2). Sözkonusu şevin yatırılmış krokisi çıkarılarak ölçülebilen çatlakların eğim ve doğrultuları işaretlenmiştir (Ek 5.2). Ayrıca şevden A-A' boyunca birde kesit çıkarılmıştır (Ek 5.2).

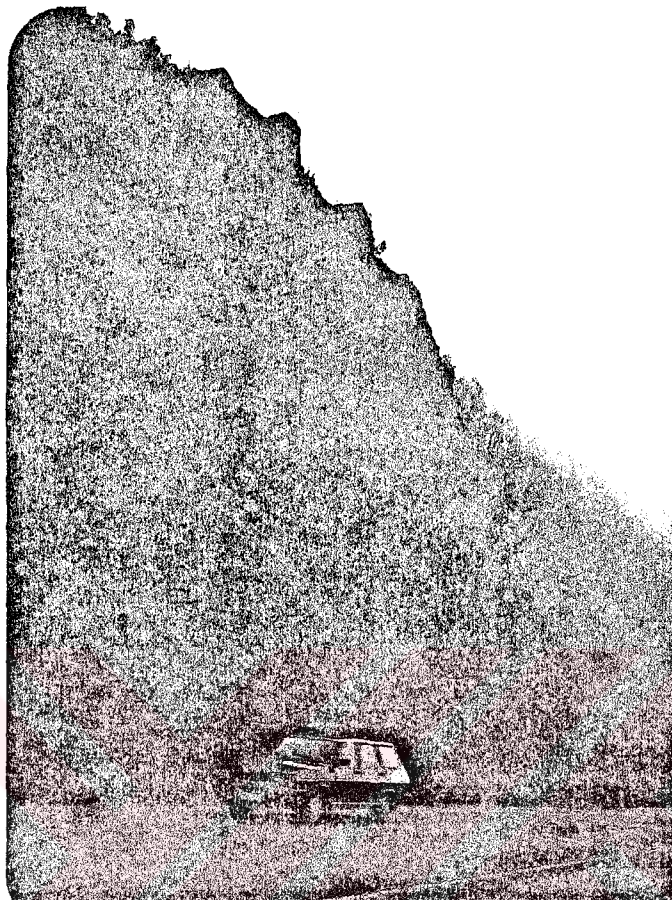
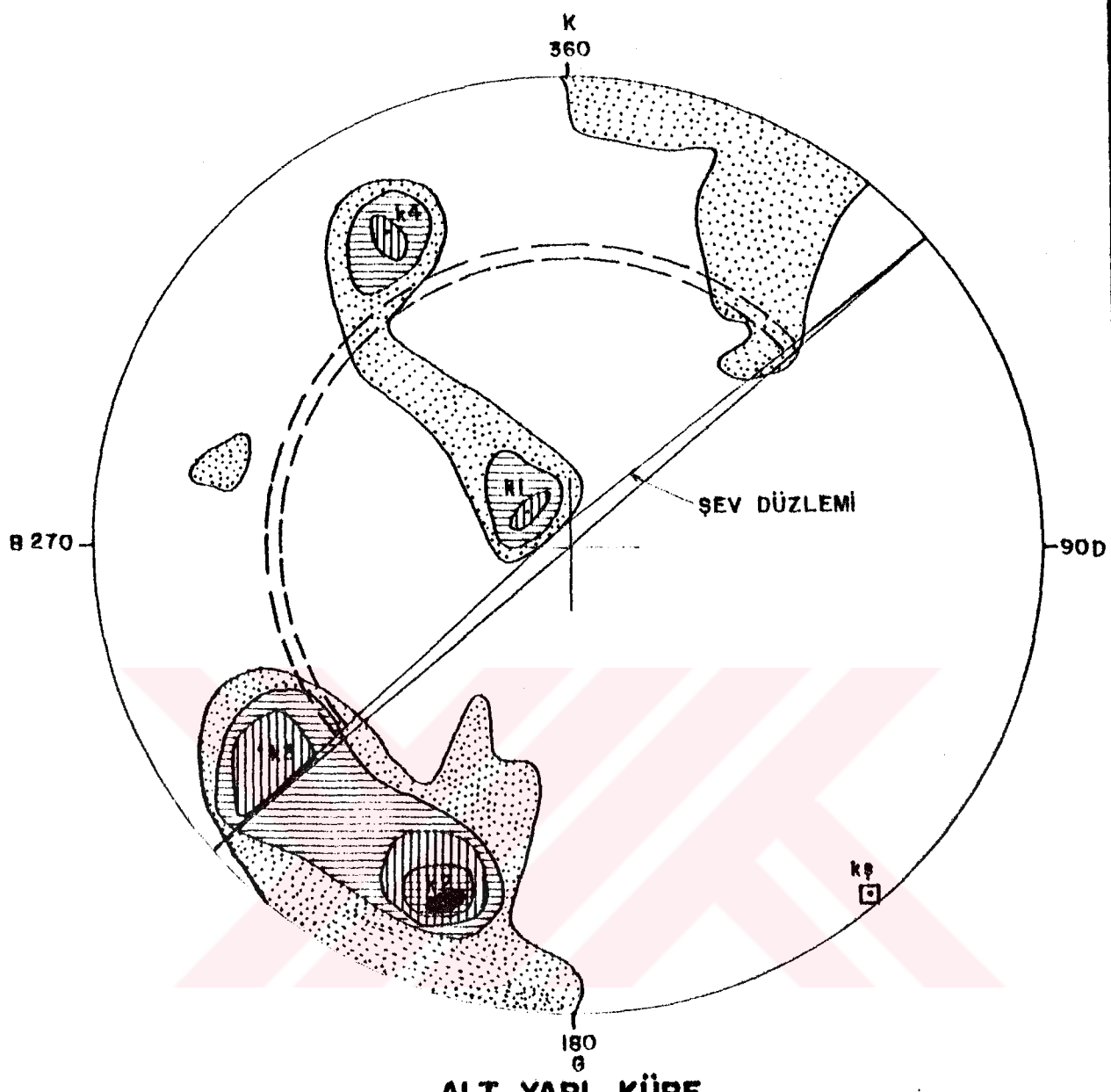


Foto 5.2 : Kaya Sevi-2'den Bir Görünüm

Kaya Sevi-2'de toplam 20 çatlak ölçüsü alınmış ve Eş-Alanlı Projeksiyon ağı kullanılarak hakim çatlak takımları ve bunların kutup noktaları bulunmuştur (Şekil 5.29). Bulunan bu kutup noktalarının sev düzlemeyle olan ilişkileri araştırılmıştır (Şekil 5.30). Kutup noktalarının ikişer ikişer ele alınmasıyla arakesit doğruları ve kutup noktaları bulunarak sev durayılılığı açısından tehlikeli bölgeye düşüp-düşmedikleri araştırılmıştır (Şekil 5.31).

Tehlikeli bölge sınırları içerisinde herhangi iki kutup arakesit düzleminin kutpu düşmediği anlaşılmıştır (Şekil 5.31 ve Şekil 5.32).

Şekil 5.32 incelendiginde sevin kutup noktasıyla merkeze göre hemen hemen aynı doğrultuda fakat ters istikamette bulunan k<sub>4</sub> kutup noktasında devrilme-düşme meydana gelebileceği kanısına varılmıştır.



**KL** : Kutup noktaları

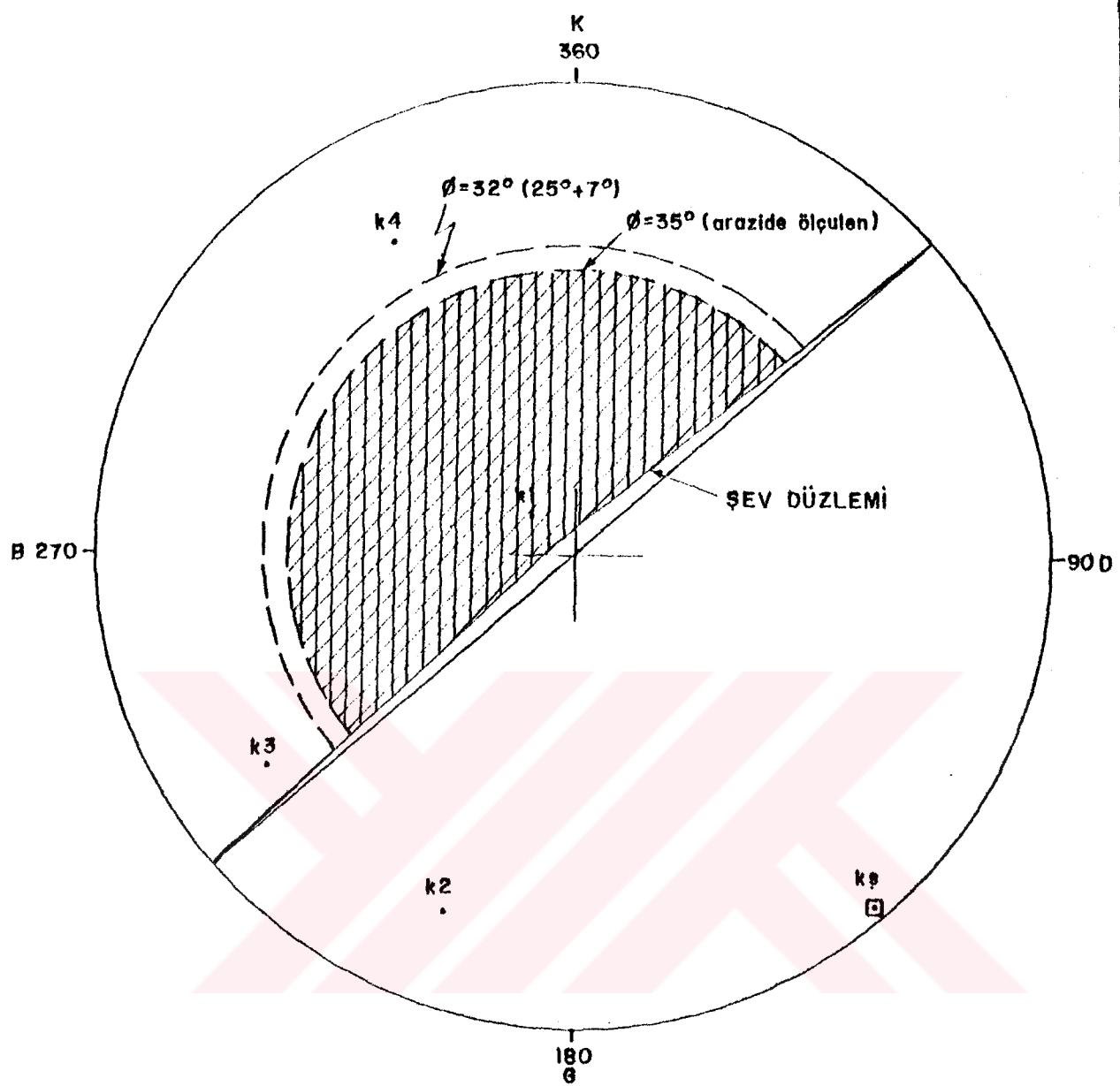
**KG** : Şev düzleminin kutup noktası

**JV** : İçsel sürüünme açısı sınırları

**$\theta = 35^\circ$**  : (Arazide ölçülen aynı sürekelsizlige alt düzlemin kayma açısı)

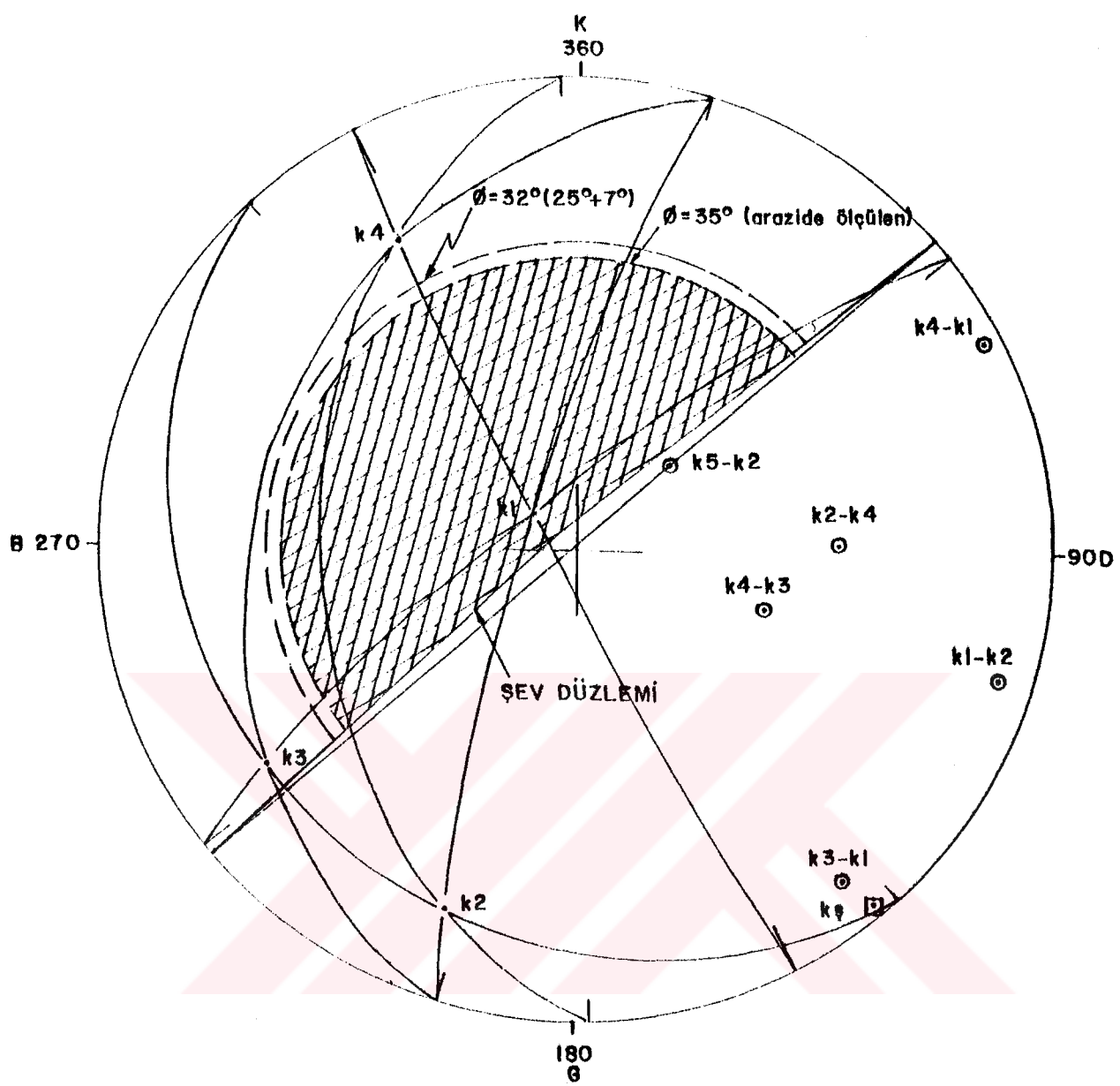
**$\theta = 32^\circ$**  : (Kırıklı yüzeyin içsel sürüünmesi + pürüzlülük değeri)

**Şekil 5.29 :** Kaya Şevi-2' ye alt 20 çatılık ölçüsünden elde edilen kontur diyagramı



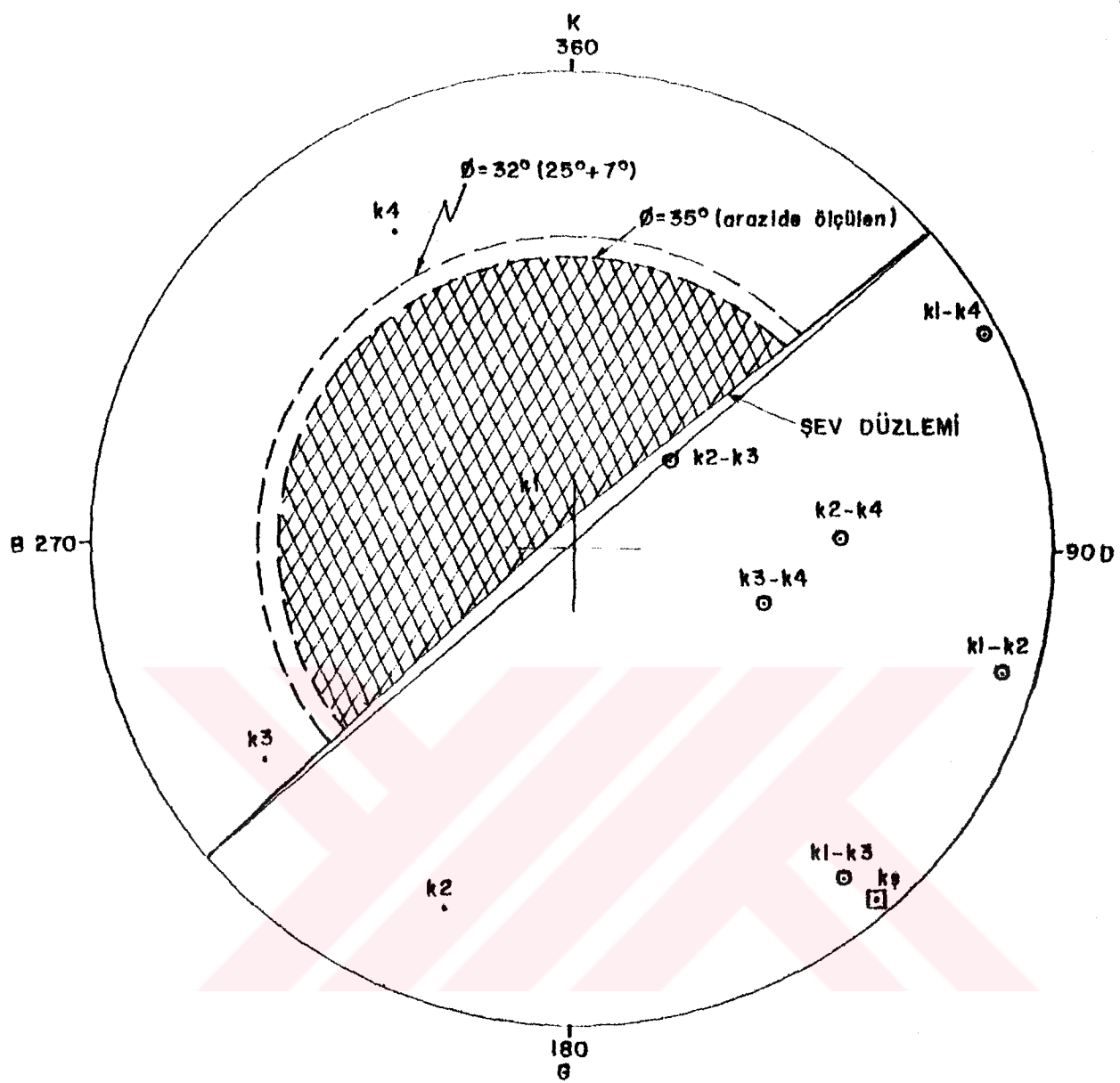
- $k_1$  : Kutup noktaları
- $k_9$  : Sev düzleminin kutup noktası
- : İçsel sürüünme açısı sınırları
- : Tehlikeli bölge
- $\theta = 35^\circ$  : (Arazide ölçülen aynı sürekliliğe alt düzlemin kayma açısı)
- $\theta = 32^\circ$  : (Kırıklı yüzeyin içsel sürüünmesi + pürüzlilik değeri)

Şekil 8.30 : Kaya Sevi-2'ye alt 20 çatıak ölçüsünden elde edilen kutup noktaları



- $k_1$  : Kutup noktaları
- $k_9$  : Sev düzleminin kutup noktası
- ◎ : Kesisen düzlemlerin arakesitleri
- : İçsel sürfünlme açısı sınırları
- : Tehlikeli bölge
- $\varnothing = 35^\circ$  : (Arazide ölçülen aynı süreksizlige alt düzlemin kayma açısı)
- $\varnothing = 32^\circ$  : (Kiriklik yüzeyin içsel sürfünlmesi + pürüzlilik değeri)

Şekil 8.31 : Kaya Sevi - 2<sup>1</sup> ye alt kutup noktalarından yararlanılarak yapılan duraylılık analizi



- $k_1$  : Kutup noktaları
- $k_2$  :  $k_3$  : Şev düzleminin kutup noktası
- $\odot$  : Kesilen düzlemlerin arakesifleri
- $\text{---}$  : İçsel sürtünme açısı sınırları
- $\text{---}$  : Tehlikeli bölge
- $\Phi=35^\circ$  : (Arazide ölçülen aynı süreklilikte alt düzlemin kayma açısı)
- $\Phi=32^\circ$  : (Kırıklı yüzeyin içsel sürtünmesi + pürüzlülük değeri)

**Sekil 8.32 :** Kaya Şevi-2' de kutup noktalarının ikişer ikişer ele alınmasıyla elde edilen arakesit düzlemlerinin kutup noktaları

## YORUM

Kaya Şevi-2, Çayeli tünelinden Pazar'a doğru 900 m. de sahil yolunun sağında, Litik-kristal tuf ve aglomerallarda açılmıştır. Şevdeki çatlak ölçülerinden yapılan duraylılık analizlerinde elde edilen çatlak takımlarının kutup noktaları ikişer ikişer birleştirilmek suretiyle büyük dairelerin kutup noktaları tehlikeli bölge içerisinde düşmemiştir. Yalnız k<sub>4</sub> kutup noktası şev düzleminin kutup noktası ile merkeze göre ters istikamette oluklarından devrilme-düşme olabileceği kanısına varılmıştır.

## 5.6.2. Zemin Şevlerin Analizleri

Çalışma sahasında 3 tane zemin şevi incelenmiş olup, özellikleri Çizelge 5.11'de verilmiştir.

Belirli bir kayma yüzeyi bulunmayan (izlenemeyen) bu zemin şevlerde uygulanan analizlerin esasına konu 5.5.2'de değinilmiştir.

Janbu'nun dairesel olmayan kayma analizi yöntemi uygulanırken muhtemel (olası) kayma yüzeyleri kabul edilmiş ve en tehlikeli olabilecek kayma yüzeyi bulunmaya çalışılmıştır. Kabul edilen kayma yüzeyleri, arazi gözlemlerine dayanılarak çizilmiştir.

## 5.6.2.1. Zemin Şev-3'ün Analizi

Şev-3, çalışma sahasında Çayeli tünelinden 1,5 km. Pazar'a doğru sahil yolunun sağında yer almaktadır (Ek 5.6).

Çizelge 5.11 : İncelenen Zemin Şevlere Ait Özellikler

Şev No	Zemin Türü	Ö Z E L L İ K L E R		
		C' kg/cm <sup>2</sup>	θ°	γd gr/cm <sup>3</sup>
3	Ayrışmış (Rezidüel) kil	0,20	29	1,92
4	Taraca-2	0,36	22	1,67
6	Taraca-2	0,30	27	1,81

Bu şev, volkanik piroklastiklerden aglomera ve tüflerin yeyerinde ayrışmasından oluşmuştur.

Sözkonusu şevin krokisi çıkarılmış ve A-A' boyunca da bir kesit alınmıştır (Ek 5.3).

1. Janbu'nun dairesel olmayan kayma yönteminin uygulanması

Yöntemin esasına konu 5.5.2'de değinilmiştir.

Kabul edilen kayma yüzeyleri boyunca zeminin kuru ve doygun halleri göz önüne alınarak duraylılık analizleri yapılmıştır. Yöntem Jeo.Yük.Müh. S.CERYAN tarafından programlanmış ve çözümler için bilgisayardan yararlanılmıştır. Bilgisayarda bulunan sonuçlar Ek 5.7 ve Ek 5.8'de sunulmuştur.

#### YORUM

Zemin Şevi, Cayeli tünelinden 1,5 km. Pazar'a doğru sahil yolunun sağında aglomera ve tüflerin ayrışmış (rezidüel) kısmında açılmıştır. Şevin duraylılığı için kabul edilen kayma yüzeylerinde zeminin kuru ve doygun halleri göz önüne alınarak Cizelge 5.12'deki sonuçlar bulunmuştur.

Cizelge 5.12 : Zemin Şev-3'de kabul edilen kayma yüzeylerine göre bulunan güvenlik katsayıları

		Uygulanan Yöntem			
		Janbu'nun dairesel olmayan kayma yöntemi sonucu bulunan F katsayıları			
Zeminin Durumu		1	2	3	4
Kuru		1,32	1,53	1,03	1,0
Doygun		0,85	0,98	0,61	0,57

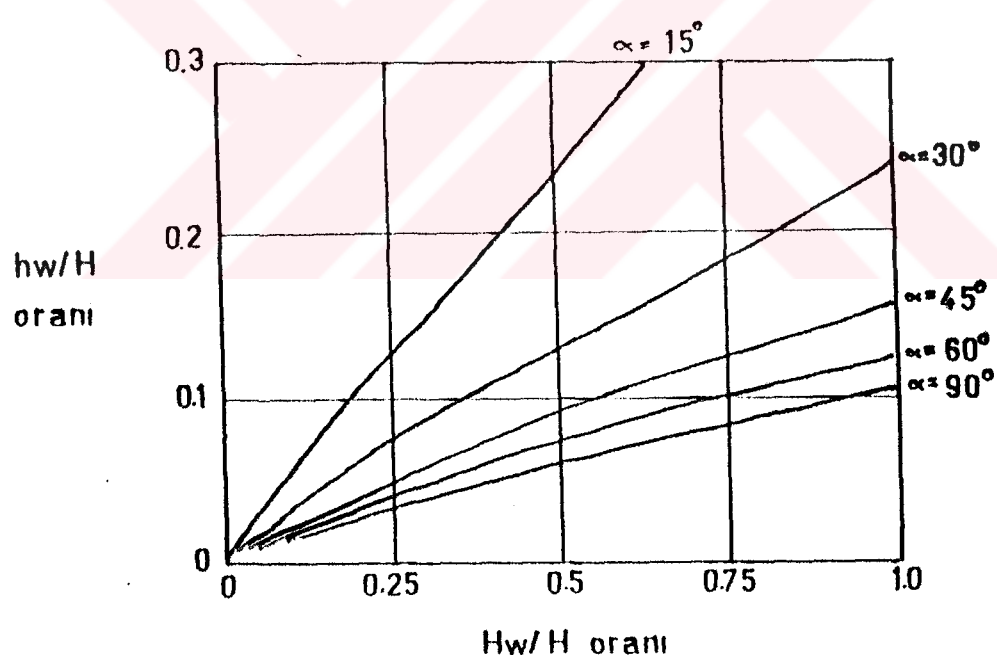
Cizelge 5.12 incelendiginde şevin kuru durumda kabul edilen 1,3 ve 4 kayma yüzeylerinde kayma beklenmediği yalnız şev eğimi geriye doğru arttığından güvenlik katsayısını düşürdüğü anlaşılmıştır. Doygun durumda ise kabul edilen her kayma yüzeyinde kayma beklenmekle beraber özellikle 4'üncü yüzeyde en düşük değer elde edilmiştir (Ek 5.3).

### 5.6.2.2. Zemin Sevi-4'ün Analizi

Sevi-4 çalışma sahasında Çayeli tarafından Balıkçilar mahallesine 150 m. kala satılık yolunun sağında yer almaktadır (Ek 5.4). Bu sev, Denizel taraca-2'de (taşınarak oluşmuş) sağlanmıştır. Taraca-2, tabanda gevşek çakılı seviye ( $3.5\text{ m}$ ) öste doğru çakılı kumu kıl ve silitten oluşmaktadır.

Söz konusu sev'in krokisi çıkarılarak üzerine jeolojisi işlenmiştir (Ek 5.4). Ayrıca kaymanın olabilecegi A-A' boyunca bir de kesit çıkarılarak sevin yüksekliği, açısı, birimlerin birbiriyle olan ilişkileri, yeraltı su seviyesi ve kayma yüzeyi olabilecek eğrilerin çizilmesi sağlanmıştır (Ek 5.4).

Burada yeraltı su seviyesinin hesbitinde şevideki sizintinin yüksekliği ile sev açısı eses alınarak Hoek, 1970 tarafından geliştirilen aşağıdaki Sekil 5.35'den yararlanılmıştır.



Sekil 5.33 :hw/sizinti yüksekliği ile HW düzenli yeraltı suyu tablası arasındaki ilişki (Hoek, 1970)

$hw$  : Sızinti yüksekliği

$H$  : Sev yüksekliği

$\alpha$  : Sev açısı

$Hw$  : YASS'nın yüksekliği

## Uygulanan Analiz :

## 1. Janbu'nun dairesel olmayan kayma yöntemi

Bir önceki Zemin Şev'i-3'ün analizinde olduğu gibi burada da aynı yol izlenmiştir. Kabul edilen kayma yüzeylerine göre, zeminin sızıntı, yeraltı su seviyesi ve doygun hali göz önüne alınarak elde edilen verilerle güvenlik katsayıları bulunmuş ve değerler Ek 5.9, Ek 5.10 ve Ek 5.11'de sunulmuştur.

## YORUM

Çalışma sahasında, Çayeli'nden Balıkçılar mahallesine 150 m. kala sahil yolunun sağında Denizel taraça-2'de açılmıştır Şevin duraylılığı, "Janbu'nun dairesel olmayan kayma analizi" yöntemi ile yapılmıştır. Uygulanan Janbu'nun bu yöntemine göre kabul edilen kayma yüzeyleri, zeminin sızıntı durumu, yeraltı su seviyesi ve doygun hali göz önüne alınarak Cizelge 5.13'deki sonuçlar bulunmuştur.

Cizelge 5.13 : Zemin şev-4'de kabul edilen kayma yüzeylerine göre bulunan güvenlik katsayıları

ZEMİNİN DURUMU	UYGULANAN YÖNTEM					
	Janbu'nun Dairesel olmayan Kayma Yöntemi					
K. Y. No	1	2	3	4	5	6
Kuru	1,81	1,51	1,41	1,49	1,70	1,75
YASS	1,20	1,04	0,97	0,99	1,23	1,29
DOYGUN	1,18	0,95	0,88	0,90	1,04	1,08

Cizelge 5.13 incelendiginde zemin kuru durumda iken şevin duraylı olduğu, YASS durumunda iken şevin genelde "limit denge" de olduğu ve kaymanın ancak 3 ncü yüzey boyunca olabileceği anlaşılmaktadır. Doygun durumda ise 2,3 ve 4 ncü yüzeylerde kayma beklenmekle birlikte 3 ncü yüzeyde hera bir kaymanın olabileceği ihtimali (olasılığı) daha fazla olarak görülmektedir (Ek 5.4).

### 5.6.2.3. Zemin Sevi-6'ının Analizi

Zemin sevi-6 çalışma sahasında Çayeli'nden 2,200 km. Fazlar'a doğru sahil yolunun sağında yer almaktadır (Ek 5.6). Bu şevde, bir önceki zemin sevi-4'dekigibi denizel taraça-2' de açılmıştır (Foto 5.3).

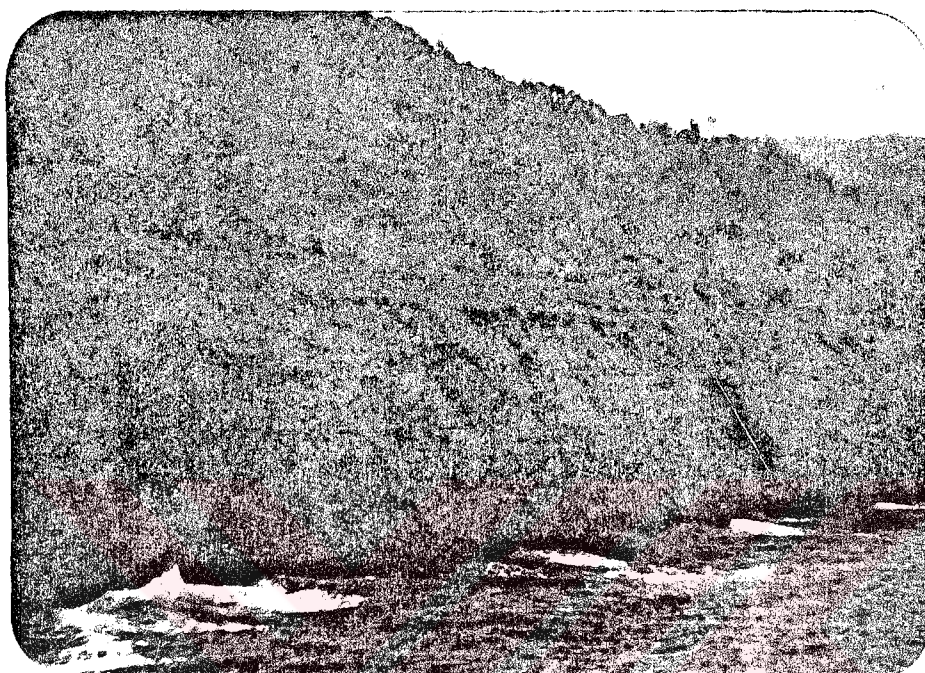


Foto 5.3 : Zemin Sevi-6'den bir görünüm

Birim gevşek çimentolu, çakılı, kumlu kil ve siltlerden oluşmaktadır.

Sözkonusu şevin krokisi çıkarılmış ve üzerine jeolojisi işlenmiştir (Ek 5.5). Ayrıca kaymanın olabileceği hıyanlı kısmından B-B' boyunca kesit çıkarılmıştır (Ek 5.5).

Kesitten yararlanarak, şevin yüksekliği, açısı ve kayma yüzeyi olabilecek eğrilerin çizilmesi gerçekleştirilmiştir (EK 5.5).

#### Uygulanan Analiz :

1. Janbu'nun dairesel olmayan kayma yöntemi daha önceki zemin şevlerin analizlerinde olduğu gibi burada da aynen uygulanmıştır.

Şevde B-B' boyunca çıkarılan kesit üzerinde kabul edilen kayma yüzeylerinin zeminin kuru ve doygun hali gözönüne alınarak elde edilen verilerle güvenlik katsayıları bulunmuş ve Ek 5.12 ve Ek 5.13'de sunulmuştur.

## YORUM

Çalışma sahasında Balıkçılar mahallesinden 1,5 km. Pazarcı'ya doğru sahil yolunun sağında Denizel taraça-2'de açılmıştır. Şevin duraylılığı, Janbu'nun dairesel olmayan kayma yöntemiyle yapılmıştır. Uygulanan janbu'nun bu yöntemine göre kabul edilen kayma yüzeyleri zeminin kuru ve doygun halleri gözönüne alınarak Çizelge 5.14'deki sonuçlar bulunmuştur.

**Cizelge 5.14 : Zemin Şevi-6'da kabul edilen kayma yüzeylerine göre bulunan güvenlik katsayıları**

ZEMİNİN DURUMU	UYGULANAN YÖNTEM			
	"Janbu'nun Dairesel Olmayan Kayma Yöntemi" Sonucu Kabul Edilen Kayma Yüzeylerine Ait F Katsayıları			
	1	2	3	4
Kuru	1,12	1,18	1,38	1,19
Doygun	0,97	0,88	0,94	0,76

Cizelge 5.14 incelendiginde zemin kuru durumda kayma beklenmemektedir.

Zemin doygun durumunda ise kaymanın tüm yüzeyler boyunca olabileceği görülmekte beraber 4'üncü kayma yüzeyinde birinci derecede kaymanın olabileceği anlaşılmaktadır (Ek 5.5).

## BÖLÜM 6

### SONUÇ ve ÖNERİLER

#### 6.1. Sonuçlar

Bu çalışmada, Çayeli-Pazar (RIZE) arasında ana yol şevleri "Mühendislik Jeolojisi" açısından incelenmiştir. Bunun için sahil yolumu içine alan 36 km<sup>2</sup>'lik bir sahanın jeolojisi incelenmiş, kayaç ve zeminlerin mühendislik özellikleri bulunmuş, şevlerin krokileri çıkarılmış ve şevlerde durayılılık analizleri uygulanarak, olabilecek kitle hareketleri üzerinde durulmuştur.

#### A. Genel Jeoloji Sonuçları;

Cayeli-Pazar (RIZE) arasındaki sahanın 1/25.000 ölçekli jeoloji haritası yapılmıştır.

Sahada en alta Eosen yaşlı Melyat Formasyonu izlenmiştir. Melyat Formasyonu; bazaltik lav, tuf, bres ve aglomerallardan oluşmuştur. Formasyonun lav ve tüflü seviyelerinden alınan örneklerin petrografik incelemeleri sonucunda bunların daha önceki çalışmalardan farklı olarak olivin mineraleri içerdigi saptanmıştır. Melyat formasyonunun Üzerine uyumsuz olarak, Miyosen yaşlı Pazar Formasyonu gelir. Bu formasyon tabanda iri bloklu çakıltaşı ile başlar, üste doğru kumtaşı, silttaşı ve killi silttaşı ile devam eder. En üstte de kırmızı renkli çakıllı killer gelir.

Bu formasyonun üzerine uyumsuz olarak Pliyo-Kuvaterner yaşlı Hamidiye formasyonu gelir. Çalışma sahasında çok küçük bir alanda mostra veren bu birim gevşek cimentolu bloklu, kumlu çakıllar ile kum ve kum merceklerinden oluşur. Bu formasyonun üzerine, önceki çalışmalardan farklı olarak, iki ayrı seviyede tesbit edilen Kuvaterner yaşlı Denizel taraça-

tar gelir. Taraça-1, gevşek çimentolu bloklu çakıl, kum, siltli kum ve çok az da killerden oluşur. Taraça-2 ise, tabanda yaklaşık 5 m. kalınlığında, gevşek çimentolu, bloklu kumlu çakillar ve bu seviyenin üzerine çakılı kumlu kalın bir ( 65 m.) silt ve kil seviyesi gelir. Bütün bu birimlerin üzerine deniz ve nehir alüvyonları gelir.

Formasyonların yapısal özelliklerinden, tabaka kalınlıkları, çatlak eğim ve doğrultuları ve faylar araştırılmıştır.

Melyat Formasyonundan alınan çatlak ölçülerinden yararlanarak maksimum deformasyon kuvveti K66°B, Pazar Formasyonunda K79°D olarak bulunmuştur.

Melyat Formasyonunda graviteye bağlı olarak 3 tane normal fay tespit edilmiştir.

#### B. Mühendislik Jeolojisi Sonuçları

Çayeli-Pazar (RİZE) arasında ana yol şeveleri, Melyat ve Pazar Formasyonu ile Taraça-2'de açılmıştır. Ana yol Üzerindeki kaya şeveleri Melyat ve Pazar Formasyonlarından açılmıştır. Melyat Formasyonu bazaltik lav, tüf, bres ve aglomeralardan oluşur. Pazar Formasyonu ise bloklu çakıltasılarından oluşur.

Melyat Formasyonu ile Pazar Formasyonunun mühendislik özellikleri araştırılmış ve aşağıdaki genel sonuçlar bulunmaktadır.

MELYAT FOR.		PAZAR FOR.
Tabaka kalınlığı	: Genelde "Çok kalın" Yer yer "ince"	Genelde "Orta"
Çatlak arası uzaklığı	: Genelde "Orta"	Genelde "Sıkık"
Çatlak açıklığı	: Genelde "ince"	Genelde "ince"
Dolgu türü	: Kil,silt,kalsit zeolit,silis yer yer dolusuz	Genelde dolusuz yer yer kil,silt
Çatlak yüzü pürüzülü- pükleri	: Genelde "hafif-orta"	Genelde "hafif- orta"
Ondülasyon	: 7°	3,2°
1 m.ki ort. çatlak sayısı RQD % değeri	: 5,2 90,36 "çok iyi kaliteli"	3,3 95,62 "çok iyi kaliteli"

Melyat Formasyonunun tüflü seviyelerinden kaya örnekleri alınmış ve bu örneklerin fiziksel ve mekanik özellikleri bulunmaya çalışılmıştır.

Fiziksel özelliklerinin ortalaması değerleri ortalamalarak bulunmuş ve aşağıda verilmiştir.

#### KAYAÇLAR

	Tüf ve Litik-kristal tüf
Kuru birim hacim ağırlık Bk (gr/cm <sup>3</sup> )	2.10
Doygun birim hacim ağırlık Bd (gr/cm <sup>3</sup> )	2.25
Özgül ağırlık G	2.65
Hacimca su emme hv %	14
Ağırlıkça su emme gs %	7
Boşluk oranı e %	27

Kayaçların sertlikleri Schmidt çekici geri tepme sayısına göre "yumuşak-sert" kaya sınıfında yer aldıkları anlaşılmıştır. Anizotropi değerlerine göre litik-kristal tüflerin "izotrop" kabul edilecekleri kanısına varılmıştır.

Mekanik özelliklerden, tek eksenli basınç direnci değerlere göre "çok düşük-orta dirençli" kaya sınıfında yer aldıkları anizotropi değerlerine göre sadece litik-kristal tüflerin "izotrop" kabul edilecekleri anlaşılmıştır.

İndirekt çekme ve üç eksenli basınç deneyleri litik-kristal tüfler üzerinde yapılmış ve bulunan sonuçlar ile daha önce yapılmış tek eksenli basınç direnci sonuçlarından da yararlanılarak sağlam kayanın kuru halde kohezyonu (c), 67 kg/cm<sup>2</sup>, içsel sürtünme açısı ( $\theta$ ), 52° ve doygun halde ise kohezyon (c), 45 kg/cm<sup>2</sup>, içsel sürtünme açısı ( $\theta$ ), 44° olarak bulunmuştur.

Volkanik piroklastiklerin ayrışmasıyla oluşmuş zeminler ile Taraça-2'deki zeminlerin fiziksel ve mekanik özellikleri deneylerle ortaya konmaya çalışılmıştır.

Fiziksel özelliklerden ortalama değerler

$\gamma_n$ (gr/cm <sup>3</sup> )	:	1.71
$\gamma_k$ (gr/cm <sup>3</sup> )	:	1.39
$\gamma_d$ (gr/cm <sup>3</sup> )	:	1.79
G	:	2.73
W (%)	:	28.08
e (%)	:	96.16
n (%)	:	48.91
s (%)	:	73
LL (%)	:	47.73
PL (%)	:	39.22
PI (%)	:	8.51

olarak bulunmaktadır.

Mekanik özelliklerinden, tek eksenli basınc direnci deney sonuçlarına göre zeminin kıvamı genellikle "sert" yer yer "orta-yumuşak" olduğu anlaşılmıştır.

Kesme kutusu deneylerinde, zeminler konsolidasyonlu-drenajlı hale getirilerek deneyler yapılmış ve ortalama efektif kohezyonu( $c'$ ) 0.29 kg./cm.<sup>2</sup> ve efektif içsel sürtünme açısı ( $\theta$ ) 26° değerleri bulunmaktadır.

Zeminleri oluşturan killerde 4 örneğin DTA analizleri yapılmış ve hepsinin "illit" olduğu anlaşılmıştır.

Çalışma sahasının bulunduğu yöre, hazırlanmış diyagramlara göre "güçlü kimyasal ayrışma" sınıfından da daha fazla ayrışma gösterdiği anlaşılmıştır. Ayrıca Melyat formasyonunda I. dereceden VI. dereceye kadar "ayrışma derecesi" yer yer görülür.

Çalışma sahasında sahil yolu üzerindeki mevcut tüm şevelerin krokileri çıkarılmış ve beş tanesi üzerinde durayılılık (stabilité) analizleri yapılarak güvenlik katsayıları bulunmuştur.

İncelenen şevelerden 2 tanesi kaya şevi bir tanesi ayrılmış (rezidüel) zemin şevi ve iki tanesi de taşınarak oluşmuş (Taraça 2'de) zemin şevdir.

Kaya şevelinde "Analitik ve Grafik Yöntemler" ile "Stereografik İzdüşüm Yöntemi" uygulanarak çözümler getirilmeye çalışılmıştır.

Kaya Şevi-1'de düzlemsel, kama tipi kayma ( $k_4-k_6$ ) ve devrilme-düşme analizleri yapılmıştır. Düzlemsel ve kama tipi kaymalarда güvenlik katsayıları genelde 1 ile 1.6 arasında bulunmuştur. Şevde, bulunan güvenlik katsayılarına göre herhangi bir düzlemsel ve kama tipi kayma beklenmemekle birlikte devrilme ve düşmenin kaçınılmaz olduğu anlaşılmıştır.

Kaya Şevi-2'de yalnızca düşmenin meydana gelebileceği ortaya konmuştur.

Zemin şevlerde "Janbu"nun dairesel olmayan kayma yöntemi" uygulanmıştır.

Zemin Şevi-3'de kabul edilebilen dört kayma yüzeyi boyunca zeminin kuru ve doygun durumları gözönüne alınarak analizler yapılmıştır. Zemin kuru halde iken kayma yüzeylerinde güvenlik katsayıları 1'den büyük bulunmuştur. Zemin suya doygun kabul edildiğinde 4'ncü kayma yüzeyi boyunca kayma olasılığı artmakla birlikte diğer kayma yüzeylerinde de kayma olasılığı görülmüştür.

Zemin Şevi-4'de, kabul edilebilen altı kayma yüzeyi boyunca zeminin sızıntı, YASS ve kuru durumları gözönüne alınarak analizler yapılmıştır. Zemin kuru halde iken kabul edilen kayma yüzeylerinde güvenlik katsayıları 1.3 ile 1.7 arasında bulunmuştur. Zeminin YASS'si dikkate alındığında üçüncü kabul edilen kayma yüzeyinde güvenlik katsayısı 1'in altında bulunmuş ve bu yüzey boyunca kaymanın meydana gelebileceği anlaşılmıştır. Zemin suya doygun kabul edildiğinde 2,3 ve 4'üncü kayma yüzeylerinde hesaplanan güvenlik katsayıları 1'in altında bulunmuş olup, 4'üncü kayma yüzeyi boyunca kayma olasılığı en yüksek bulunmuştur.

Zemin Şevi-6'da, kabul edilen dört kayma yüzeyinde zemin kuru halde iken güvenlik katsayıları 1.3 ile 1.5 arasında bulunmuştur. Zemin doygun halde iken kabul edilen bütün kayma yüzeyleri boyunca kaymanın olabileceği anlaşılmıştır.

Kaya ve zemin heyelanlarına göre sahil yolundaki şevler işaretlenmiştir.

Kaya Şevi-1'de, kaya düşmesi ve devrilmesi, Zemin Şevi-6'da zemin kayması olabileceği ortaya konmuş, Çalışmaların hemen sonunda her iki şevde de bu hareketler görülmüştür.

## 6.2. Öneriler

1. Çalışma sahasında volkanik piroklastlarda (tüf, bres ve aglomera) çok hızlı bir ayrışmanın varlığı izlenmiş olup, bunun nedenleri üzerinde detaylı bir çalışma yapılarak ayrılmış kısımlar daha büyük ölçekli haritalarla ortaya konabilir.

2. Zemin Özellikleri daha sağlıklı olarak ortaya konması için daha sık örnek alınabilir.

3. Kaya Sevi 1 ve Kaya Sevi 2'de duraysızlığın oluşturacağı problemler aşağıdaki önlemlerle azaltılabilir.

- a)- Sevlerde, özellikle yüzey ve yeraltı suları dren edilerek, su basıncı azaltılmalı,
- b)- Sevlerde kısa sürede düşebilecek bloklar, kontrollü olarak düşürülmeli,
- c)- Sevlerde kontrollü olarak düşürülmesi mümkün olmayan ve ileride tehlike oluşturabilecek bloklar kaya civileri ile sağlamlaştırılmalı,
- d)- Sevlerde hem blok hem de küçük parçaların düşüşünü sürekli kontrolde tutabilmek için çelik hasırlarından yararlanılmalı,
- e)- Sevlerden bu önlemlerden en az biri alınamıysa sevin hemen altında inşa edilmiş yollar emniyetli alana çekilmeli ve bu önlemde denize dolgu yaptırmayı gerektirebilir.

5. Zemin Sev-3,4 ve 6'da duraysızlığın oluşturacağı problemler aşağıdaki önlemlerle azaltılabilir :

- a)- Sevlerde, öncelikle yüzey ve yeraltı sularının zemine girişi drenajla önlenmeli,
- b)- Zemin Sevi 3'de zeminin suya doygun durumu gözönüne alındığında geriye doğru sürekli bir kayma beklenliğinden yolun emniyetli alana çekilmesini gerektirmektedir. Bu önlemde çok dar kıyı şeridinde yapılacak dolgu ile mümkündür.
- c)- Zemin Sevi-4'de alınabilecek ekonomik yöntem özellikle 2,3 ve 4'üncü kayma yüzeylerinde yüzey ve yeraltı sularının mutlaka dren edilerek ortamdan uzaklaştırılmasıdır. Bunun için sevin üzerinde suları toplayıcı beton kanal yapılabilir ya da suyun

zemine sızmasını engelleyici tedbirlere baş vurulur (ağaçlandırma, zemini sertleştirme gibi). Bu önlemlerin yanında şevde yamaç düzenlenmesi yapılabilir (Kademelendirme, yatırma, traşlama, topuğa yük, ağaçlandırma v.b. gibi) Bu şev için yamaç düzenlenmesi çarelerinden en uygunu traşlama gözükmektedir. Zira traşlama yapıldığında suların toplanma ve birikinti yapması önlenip, belli bir rejimde akmasını sağlayacaktır. Ayrıca kademelendirme de yapılrsa çözüm getirilebilir.

d)- Zemin Sevi-6'da önce kayma kontrol altına alınarak etkisi azaltılmalıdır. Bunun için yolun hemen şeviden 5m. derinliğinde bir temel açıp sağlam temele inilerek yüzeyden 9m. yüksekliğinde bir istinat duvarı yapılmalıdır. Duvar sağlam temele çok kuvvetli bağlanmalı (ankraj) ve zeminin suyu sızdırması için gerek duvara drenaj delikleri (barbalcam) gerekse de duvarın arkasına drenajı sağlayacak malzeme konulmalıdır. Sonra zemini doygun hale getirecek yüzey ve yeraltı sularının mutlaka drene edilmesi, ayrıca zemin yüzeyi sertleştirilerek suyun zemine sızması önlenebilir.

5. Deniz tahribatı sonucu bozulan ve bozulabilecek yollar, ya dolgu yapılarak ya da yol güzergahı değiştirilmesi ile gerekli önlem alınabilir.

Bu tür yöntemler daha çok lokal yerlerde uygulanmaktadır Maliyetlerin yüksek olması nedeniyle lokal de olsa yukarıda bahsedilen önlemlerin en az birinin alınması sağlanabilir.

## K A Y N A K L A R

- ALPMAN, B. ve TANYAŞ, C. (1972). Sevlerin Stabilite Analizi, İ.T.Ü. Kütüphanesi, Sayı: 896, İSTANBUL.
- ASLANER, M. (1983). Kor ve Kor Kırıntıları Kayacılar, K.Ü. Mühendislik-Mimarlık Fakültesi Genel Yayın No: 23, TRABZON.
- ATALAY, İ.F. ve BEKAROGLU, N. (1973). Heyelanlar ve Mühendislik Uygulamaları. Karayolları Genel Müdürlüğü Yol Yapım Etüd Eğitim Seftliği Yayınu, ANKARA.
- ATAOGLU, E. (1989). Trabzon Saraf Tepe Bazanitinin Fiziko-Mekanik Özellikleri. Bitirme Ödevi, K.T.Ü., TRABZON.
- BULUT, F. (1989). Çambaşı (Trabzon-Çaykara) Barajı ve Uzun-göl Hidroelektrik Santral Yerlerinin Mühendislik Jeolojisi açısından İncelenmesi, Doktora Tezi K.T.Ü., TRABZON
- ÇOGULU, E. (1976). Petrografi ve Petroloji. İ.T.Ü., Mühendislik-Mimarlık Fakültesi Yayın No: 111, İSTANBUL.
- DILEK, R. (1979). Trabzon-Hopa Kıyı Şeridinin Yeraltı Suyu Olanakları, K.T.Ü., Merkez Kütüphanesi, TRABZON.
- ERGUUVANLI, K. (1982). Mühendislik Jeolojisi. İ.T.Ü., Kütüphanesi, Sayı: 1096, İSTANBUL.
- KETİN, İ. (1977). Genel Jeoloji, Cilt I, İ.T.Ü., Kütüphanesi Sayı : 1096, İSTANBUL
- KETİN, İ. ve CANITEZ, N. (1979). Yapısal Jeoloji. İ.T.Ü., Kütüphanesi Sayı : 1143, İSTANBUL.
- KORKMAZ, S. ve GEDIK, A. (1988). Rize-Fındıklı-Çamlıhemşin Arasında Kalan Bölgenin Jeolojisi ve Petrol Oluşumları. Jeoloji Mühendisleri Odası Yayıni Sayı : 32-33.
- KORKMAZ, T. (1988). Maçka-Gürgenağac (TRABZON) Yeni Yol Sevlerinin Duraylılık Açısından İncelenmesi, Yüksek Lisans Tezi, K.T.Ü., TRABZON.
- KUMBASAR, V. ve KİP, F. (1985). İnşaat Mühendisliğinde Zemin Mekanığı. (çeviri), Çağlayan Kitabevi, İSTANBUL.
- KUMBASAR, V. ve KİP, F. (1985). Zemin Mekaniği Problemleri. Çağlayan Kitabevi, İSTANBUL.

- ÖNALP, A. (1983). İnşaat Mühendislerine Geoteknik Bilgisi. Cilt: I ve II. K.T.U., Yayın No: 187, TRABZON.
- ÖNALP, A., TARHAN, F. ve SEVİNÇ, N. (1987). Doğu Karadeniz Heyelanları: Analiz-Dengeli Yamaç Tasarımı. Türkiye Bi-İmsel ve Teknik Araştırma Kurumu, Mühendislik Araştırma Grubu, Proje No: MAG-588, SAKARYA.
- ÖZBENLİ, E. ve TÜDES, T. (1986). Ölçme Bilgisi. K.T.U., Yayın No: 87, TRABZON.
- ÖZSAYAR, T. (1984). Pazar (RİZE) Yöreni Sarmasiyen Oluşuklarındaki Protelphidium Türleri. Karadeniz Üniversitesi Yayıını. Cilt 3, Sayı : 1-2.
- PASAMEHMETOĞLU, G.A., ÖNCÜL, K.M., ÇAKMAK, F., SATIRLAR, B.T. (1977). Kaya Sev Stabilitesi (çeviri), Maden Mühendisleri Odası Yayıını, ANKARA.
- TARHAN, F. (1982). Artvin Granitinin Mühendislik Jeolojisi ve Baraj Yeri Olma Açısından İrdelenmesi. Doçenlik Tezi, K.T.U. Yer Bilimleri Fakültesi, TRABZON.
- TARHAN, F. (1989). Mühendislik Jeolojisi Prensipleri, K.T.U., Yayın No: 145, TRABZON.
- TATAR, Y. (1975). Jeolojik Haritalar. Çağlayan Basımevi, İSTANBUL.
- TSE. (1972). İnşaat Mühendisliğinded Zemin Deneyleri. (Tasarı).
- TSE. (1975). Kayaçların Tek Eksenli Basma Dayanımlarının Tayini, UDK 622.02, ANKARA.
- TSE. (1975). Kayaçların Üç Eksenli Basma Dayanımlarının Tayini, UDK 622.02, ANKARA.
- TSE. (1978). Doğal Yapı Taşlarının Muayene ve Deney Metodları, UDK 691.2, ANKARA.
- ULUSAY, R. (1982). Sev Stabilite Analizlerinde Kullanılan Pratik Yöntemler ve Jeoteknik Çalışmalar. M.T.A. Yayınları Eğitim Serisi, No: 25, ANKARA.
- ULUSAY, R. (1989). Pratik Jeoteknik Bilgiler. Teknomad Yayınları, ANKARA.

## EKLER

- Ek-3.1 : Çayeli-Pazar (RİZE) Arasındaki Sahanın Jeoloji Haritası ve Kesitleri.
- Ek-3.2 : Çayeli-Pazar (RİZE) Arasındaki Sahanın Örnek Alım Haritası.
- Ek-3.3 : Çayeli-Pazar (RİZE) Arasındaki Sahanın Tektonik Haritası.
- Ek-4.1 : Tüf ve Litik-kristal Tüflerin Fiziksel Özelliklerinin Tayini İçin Yapılan Deney Sonuçları.
- Ek-4.2 : Tüf ve Litik-kristal Tüflerin Kuru Halde Tek Eksenli Basınç Deneyi Sonucu Elde Edilen Değerler.
- Ek-4.3 : Tüf ve Litik-kristal Tüflerde Doygun Örneklerde Tek Eksenli Basınç Deneyi Sonucu Elde Edilen Değerler ile Litik-kristal Tüflerde Üç Eksenli Basıncın Deney Sonuçları.
- Ek-4.4 : Litik-kristal Tüflerde İndirekt Çekme Deneyi Sonucu Elde Edilen Değerler.
- Ek-5.1 : 1 no'lu Kaya Sevinin (Yatırılmış) Krokisi ve Kesiti.
- Ek-5.2 : 2 no'lu Kaya Sevinin (Yatırılmış) Krokisi ve Kesiti.
- Ek-5.3 : 3 no'lu Zemin Sevi Krokisi ve Duraylılık Analizleri İçin Alınan Kesit.
- Ek-5.4 : 4 no'lu Zemin Sevi Krokisi ve Duraylılık Analizleri İçin Alınan Kesit
- Ek-5.5 : 6 no'lu Zemin Sevi Krokisi ve Duraylılık Analizleri İçin Alınan Kesit.
- Ek-5.6 : Çayeli-Pazar (RİZE) Arasında Sahil Yolu Üzerindeki Mevcut Şevler.
- Ek-5.7<sub>a,b</sub> : Zemin Sevi-3'de Zemin Kuru Halde İken Kabul Edilen 1, 2, 3 ve 4'ncü Kayma Yüzeyleri Boyunca Yapılan Analizler ve Bulunan Güvenlik Katsayıları.
- Ek-5.8<sub>a,b</sub> : Zemin Sevi-3'de Zeminin Suya Doygun Durumu Gözönüne Alınarak Kabul Edilen 1,2,3 ve 4'ncü Kayma Yüzeyleri Boyunca Yapılan Analizler ve Bulunan Güvenlik Katsayıları.
- Ek-5.9<sub>a,b</sub> : Zemin Sevi-4'de Kuru Halde İken Kabul Edilen 1,2,3,4,5 ve 6'cı Kayma Yüzeyleri Boyunca Yapılan Analizler ve Bulunan Güvenlik Katsayıları.
- Ek-5.10<sub>a,b</sub> : Zemin Sevi-4'de YASS(Yeraltı Su Seviyesi) Dikkate Alınarak Kabul Edilen 1,2,3, 4, 5 ve 6'ncı Kayma Yüzeyleri Boyunca Yapılan Analizler ve Bulunan Güvenlik Katsayıları.
- Ek-5.11<sub>a,b</sub> : Zemin Sevi-4'de Zeminin Suya Doygun Durumu Dikkate Alınarak Kabul Edilen 1,2,3, 4, 5 ve 6'ncı Kayma Yüzeyleri Boyunca Yapılan Analizler ve Bulunan Güvenlik Katsayıları.
- Ek-5.12<sub>a</sub> : Zemin Sevi-6'da Zemin Kuru Halde İken Kabul Edilen 1,2,3 ve 4'ncü Kayma Yüzeyleri Boyunca Yapılan Analizler ve Bulunan Güvenlik Katsayıları.
- Ek-5.12<sub>b</sub> : Zemin Sevi-6'da Zeminin Suya Doygun Durumu Gözönüne Alınarak Kabul Edilen 1,2,3 ve 4'ncü Kayma Yüzeyleri Boyunca Yapılan ve Bulunan Güvenlik Katsayıları.



Tablo A.2: Tüf ve Litik-kristal türlerin kuru halde tek eksenli basınç deneyi sonucu elde edilen değerler.

KAYAÇ TÜRÜ	ÖRNEK NO	d mm	L mm	A <sub>2</sub> cm <sup>2</sup>	F <sub>k</sub> kg	G <sub>bk</sub> kg/cm <sup>2</sup>	G <sub>bk</sub> kg/cm <sup>2</sup>
TÜF	1A1	38	76.0	11.34	1350	119	119
	1A2	38	75.6	11.34	1570	138	138
	1A3	38	75.6	11.34	1350	119	119
	1A4	38	75.6	11.34	1400	123	123
	1A5	38	75.3	11.34	1500	132	132
	1B2	38	77.2	11.34	1580	139	139
	1B3	38	75.1	11.34	1550	137	137
	1B4	38	74.4	11.34	1500	132	132
	1B9	38	76.0	11.34	1540	128	128
	1B10	38	76.0	11.34	1450	128	128
LITIK- KRİSTAL TÜF	1C1	38	78.3	11.34	1350	119	120
	1C2	38	75.4	11.34	1350	119	119
	1C4	38	76.3	11.34	1300	115	115
	1C5	38	76.9	11.34	1400	123	123
	1C6	38	74.8	11.34	1300	115	115
	2A1	38	77.1	11.34	5200	459	460
B	2A2	38	77.2	11.34	5600	495	496
	2A3	38	76.9	11.34	5000	442	443
	2A4	38	76.3	11.34	6475	571	571
	2A5	38	76.2	11.34	5600	494	494
	2B1	38	76.6	11.34	5450	481	481
	2B2	38	76.8	11.34	5400	476	476
	2B3	38	77.7	11.34	5000	441	442
	2B4	38	75.6	11.34	6000	529	529
	2B5	38	77.1	11.34	5500	485	486
	2C1	38	77.3	11.34	6100	538	539
C	2C2	38	77.0	11.34	6200	547	548
	2C3	38	75.0	11.34	5800	510	509
	2C7	38	76.0	11.34	6000	529	529
	2C8	38	76.0	11.34	5900	520	520

Tablo A.3a: Tüf ve Litik - kristal tüflerde doygun örnekler üzerinde yapılan tek eksenli basınç deneyi sonucu elde edilen değerler.

KAYAÇ TÜRÜ	ÖRNEK NO	d mm	L mm	A cm <sup>2</sup>	F <sub>d</sub> kg	G <sub>bd</sub> kg/cm <sup>2</sup>	Ḡ <sub>bd</sub> kg/cm <sup>2</sup>
TÜF	1A11	38	75.7	11.34	1250	110	110
	1A12	38	76.0	11.34	1500	132	132
	1A13	38	77.1	11.34	1250	110	110
	1A14	38	76.8	11.34	1300	115	115
	1A15	38	76.0	11.34	1400	123	123
	1B11	38	77.1	11.34	1500	132	132
	1B12	38	75.4	11.34	1500	132	132
	1B13	38	75.6	11.34	1400	123	123
	1B14	38	77.1	11.34	1300	115	115
	1B15	38	76.0	11.34	1400	120	123
	1C11	38	77.9	11.34	1300	115	115
	1C12	38	76.9	11.34	1200	106	106
	1C13	38	77.7	11.34	1250	110	110
	1C14	38	77.8	11.34	1250	110	110
	1C15	38	76.0	11.34	1250	110	110
LITİK- KRİSTAL TÜF	2A11	38	75.7	11.34	4250	375	375
	2A12	38	76.3	11.34	4200	370	370
	2A13	38	77.0	11.34	4400	388	389
	2A14	38	75.3	11.34	4250	375	375
	2A15	38	76.0	11.34	4250	375	375
	2B11	38	77.7	11.34	4100	362	363
	2B12	38	75.0	11.34	4200	370	371
	2B13	38	77.5	11.34	4900	432	431
	2B14	38	76.7	11.34	4500	397	397
	2B15	38	76.0	11.34	4400	388	388
	2C11	38	76.9	11.34	4400	388	388
	2C12	38	75.1	11.34	4500	397	398
	2C13	38	77.5	11.34	4600	406	405
	2C14	38	75.4	11.34	4100	362	362
	2C15	38	76.0	11.34	4300	379	379

Tablo A.3b: Litik - kristal tüflerde üç eksenli basınç deneyi sonuçları.

KAYAÇ TÜRÜ	ÖRNEK NO	d mm	L mm	G <sub>3</sub> kg/cm <sup>2</sup>	F <sub>k</sub> kg	Ḡ kg/cm <sup>2</sup>
LITİK- KRİSTAL TÜF	2A16	31	60.8	75	8000	1060
	2B16	31	62.5	100	8400	1113
	2C16	31	63.3	50	6150	815
	2A18	31	62.4	50	4000	530
	2B18	31	61.4	100	5050	742
	2C18	31	63.2	75	5600	669

Tablo A.4: Litik-kristal tıflerde indirekt çekme deneyi sonucu kuru ve doygun halde elde edilen değerler.

KAYAÇ TÜRÜ	ÖRNEK NO	d mm	L mm	F <sub>k</sub> kg	Gök kg/cm <sup>2</sup>
LİTIK- KRİSTAL TÜF	2A22	38	76.3	2200	48
	2A23	38	76.3	2000	44
	2A24	38	77.2	2000	44
	2B22	38	75.4	1800	40
	2B23	38	76.2	2250	50
	2B24	38	76.4	2350	52
	2C22	38	77.8	2400	52
	2C23	38	74.3	2200	50
	2C24	38	77.1	2200	48

KAYAÇ TÜRÜ	ÖRNEK NO	d mm	L mm	F <sub>d</sub> kg	G <sub>cd</sub> kg/cm <sup>2</sup>
Litik- KRİSTAL TÜF	2A19	38	76.9	1800	39
	2A20	38	76.01	1750	39
	2A21	38	76.5	1650	36
	2B19	38	76.1	1600	35
	2B20	38	77.4	1550	34
	2B21	38	75.9	1600	35
	2C19	38	76.1	1750	39
	2C20	38	76.7	1800	39
	2C21	38	76.1	1850	40



Tablo B.2: Zemin Sevi - 3'de zemin kuru halde iken kabul edilen 4'ncü kayma yüzeyi boyunca yapılan analiz ve bulunan güvenlik katsayısı.

:no :	c': $\theta'$ :	Bh :	Hw :	Hd :	b:	$\alpha$ :	u :	W :	Weinß :	c*1 :	N'*tnθ
1	2.00 29	1.44	0.0	0.5	2	+53	+0.0	1.1	0.9	5.0	0.4
2	2.00 29	1.44	0.0	1.8	3	+50	+0.0	6.3	4.8	7.8	2.2
3	2.00 29	1.44	0.0	3.0	3	+51	+0.0	10.8	8.3	7.9	3.8
4	2.00 29	1.44	0.0	5.3	3	+49	+0.0	18.9	14.3	7.6	6.9
5	2.00 29	1.44	0.0	7.3	3	+49	+0.0	26.1	19.5	7.5	9.6
6	2.00 29	1.44	0.0	8.5	3	+48	+0.0	30.6	22.7	7.5	11.3
7	2.00 29	1.44	0.0	10.5	3	+48	+0.0	37.8	28.1	7.5	14.0
8	2.00 29	1.44	0.0	11.8	3	+47	+0.0	42.3	30.9	7.3	16.0
9	2.00 29	1.44	0.0	13.3	3	+47	+0.0	47.7	34.9	7.3	18.0
10	2.00 29	1.44	0.0	14.5	3	+46	+0.0	52.2	37.5	7.2	20.1
11	2.00 29	1.44	0.0	15.5	3	+45	+0.0	55.8	39.5	7.1	21.9
12	2.00 29	1.44	0.0	15.8	3	+42	+0.0	56.7	37.9	6.7	23.4
13	2.00 29	1.44	0.0	15.5	3	+40	+0.0	55.8	35.9	6.5	23.7
14	2.00 29	1.44	0.0	15.0	3	+40	+0.0	54.0	34.3	6.5	23.1
15	2.00 29	1.44	0.0	14.0	3	+39	+0.0	50.4	31.7	6.4	21.7
16	2.00 29	1.44	0.0	12.5	3	+34	+0.0	45.0	25.2	6.0	20.7
17	2.00 29	1.44	0.0	11.5	3	+33	+0.0	41.4	22.5	6.0	19.2
18	2.00 29	1.44	0.0	9.5	3	+31	+0.0	34.2	17.6	5.8	16.2
19	2.00 29	1.44	0.0	8.0	3	+31	+0.0	28.8	14.8	5.8	13.7
20	2.00 29	1.44	0.0	6.3	3	+31	+0.0	22.5	11.4	5.8	10.7
21	2.00 29	1.44	0.0	5.0	3	+29	+0.0	18.0	8.7	5.7	8.7
22	2.00 29	1.44	0.0	6.3	3	+29	+0.0	22.5	10.9	5.7	10.9
23	2.00 29	1.44	0.0	7.5	3	+28	+0.0	27.0	12.7	5.7	13.2
24	2.00 29	1.44	0.0	3.8	3	+28	+0.0	16.2	7.6	6.8	7.9

Y O N T E M.... . . Güvenlik..Sayısı..

JANBU....(1954)..... 1.000



**Tablo B.4:** Zemin Şevi - 3'de zeminin suya doygun durumu gözönüne alınarak kabul edilen 4'ncü kayma yüzeyi boyunca yapılan analiz ve bulunan güvenlik katsayısı.

:no	: c':θ':	Bh	: Hw	: Hd	: b: α :	u	: W	: Wsinθ :	c*1	: N*tnθ
1	2.00 29	1.92	0.5	0.5	2 +53	+0.6	1.9	1.5	6.6	0.3
2	2.00 29	1.92	1.8	1.8	3 +50	+2.8	8.4	6.4	7.8	1.4
3	2.00 29	1.92	3.0	3.0	3 +51	+4.8	14.4	11.1	7.9	2.4
4	2.00 29	1.92	5.3	5.3	3 +49	+8.6	25.2	19.0	7.6	4.4
5	2.00 29	1.92	7.3	7.3	3 +49	+12.0	34.8	26.1	7.5	6.1
6	2.00 29	1.92	8.5	8.5	3 +48	+14.2	40.8	30.3	7.5	7.3
7	2.00 29	1.92	10.5	10.5	3 +48	+17.6	50.4	37.5	7.5	9.0
8	2.00 29	1.92	11.8	11.8	3 +47	+20.0	56.4	41.2	7.3	10.2
9	2.00 29	1.92	13.3	13.3	3 +47	+22.6	63.6	46.5	7.3	11.5
10	2.00 29	1.92	14.5	14.5	3 +46	+25.2	69.6	50.1	7.2	12.8
11	2.00 29	1.92	15.5	15.5	3 +45	+27.4	74.4	52.6	7.1	14.0
12	2.00 29	1.92	15.8	15.8	3 +42	+29.3	75.6	50.6	6.7	14.9
13	2.00 29	1.92	15.5	15.5	3 +40	+29.7	74.4	47.8	6.5	15.1
14	2.00 29	1.92	15.0	15.0	3 +40	+28.9	72.0	45.8	6.5	14.8
15	2.00 29	1.92	14.0	14.0	3 +39	+27.2	67.2	42.3	6.4	13.9
16	2.00 29	1.92	12.5	12.5	3 +34	+25.9	60.0	33.6	6.0	13.2
17	2.00 29	1.92	11.5	11.5	3 +33	+24.1	55.2	30.1	6.0	12.3
18	2.00 29	1.92	9.5	9.5	3 +31	+20.4	45.6	23.5	5.8	10.4
19	2.00 29	1.92	8.0	8.0	3 +31	+17.1	38.4	19.8	5.8	8.7
20	2.00 29	1.92	6.3	6.3	3 +31	+13.5	30.0	15.2	5.8	6.9
21	2.00 29	1.92	5.0	5.0	3 +29	+10.9	24.0	11.6	5.7	5.6
22	2.00 29	1.92	6.3	6.3	3 +29	+13.7	30.0	14.5	5.7	7.0
23	2.00 29	1.92	7.5	7.5	3 +28	+16.6	36.0	16.9	5.7	8.4
24	2.00 29	1.92	3.8	3.8	3 +28	+9.9	21.6	10.1	6.8	5.1

Y O N T E M... ..Guvenlik..Sayisi..

JANBU....(1954)..... 0.570

















## ÖZGEÇMİŞ

ALİ İSKENDEROGLU, 1960 yılında Maçka'da doğdu. İlk öğrenimini Taşalan köyü ilkokulunda, orta öğrenimini Trabzon'da yaparak 1978 yılında Affan Kitapçıoğlu Lisesi Fen Bölümünden mezun oldu. 1979 yılında K.T.U. Yer Bilimleri Fakültesi Jeoloji Mühendisliği Bölümünü kazandı. Bu bölüm 1984 yılında bitirerek aynı yıl Trabzon'da Maden Tetskik ve Arama 12. Bölge Müdürlüğü'nde görev aldı. Askerliğini 1985-86 yılları arasında Yd.Sb. olarak yerine getirdi. 1987 yılında K.T.U. Mühendislik-Mimarlık Fakültesi Jeoloji Mühendisliği Bölümü Mühendislik Jeolojisi Anabilim Dalında Yüksek Lisans öğrenimine başladı. MTA'daki görevine de devam etmektedir.

T. C.  
Yüksekokul Kurulu  
Dokumentasyon  
Dokumentasyon Merkezi